## Instituto Superior de Ciências do Trabalho e da Empresa



## Sincronização de sistemas dinâmicos caóticos por ligação unidireccional e bidireccional

### Maria do Rosário Domingos Laureano

Tese submetida como requisito parcial para obtenção do grau de Doutor em Métodos Quantitativos Especialidade em Matemática

#### Orientadora

Prof. Doutora Diana Aldea Mendes, Prof. Auxiliar, ISCTE Business School, Departamento de Métodos Quantitativos

 $\mathbf{S}$ 

### Co-orientador

Prof. Doutor Manuel Alberto M. Ferreira, Prof. Catedrático, ISCTE Business School, Departamento de Métodos Quantitativos

Agosto de 2008

## Resumo

Abordamos o fenómeno de sincronização de sistemas dinâmicos caóticos em tempo contínuo e em tempo discreto. Por permitir abordar as questões que consideramos essenciais em sincronização, todas as ligações estudadas envolvem apenas dois sistemas caóticos. Em tempo contínuo, nos regimes de sincronização idêntica e generalizada, aplicamos diversos esquemas de ligação unidireccional e bidireccional entre sistemas de Lorenz ou de Rössler com comportamento caótico. Procedemos à combinação de alguns deles com substituição total ou parcial nos termos não-lineares do segundo sistema, uma possibilidade que tem sido pouco explorada. Embora em alguns esquemas apenas se conclua acerca da estabilidade local do estado sincrónico, apresentamos esquemas de ligação onde a estabilidade global é garantida. As condições de estabilidade global resultam de uma abordagem do método directo de Lyapunov diferente da usual. Em tempo discreto estudamos um esquema de ligação não-linear que surge de forma natural a partir da família de transformações quadráticas complexas analíticas. Tanto quanto sabemos esta ligação não foi até agora objecto de estudo. Trata-se de uma ligação assimétrica entre transformações quadráticas reais. Quando não é alcançada sincronização prática, mas a diferença entre as variáveis dinâmicas dos dois sistemas é limitada, aplicamos uma técnica de controle de caos. Obtemos sincronização idêntica e generalizada estável com algumas variantes da ligação original, privilegiando a ausência de simetria. Duas delas constituem uma generalização ao uso de parâmetros de ligação distintos. Por análise da diferença entre as variáveis dinâmicas dos sistemas, estabelecemos alguns resultados que garantem a sua sincronização estável.

#### Palayras-chave

Sistemas dinâmicos caóticos contínuos e discretos, sincronização de caos, estabilidade assimptótica local e global, simulações numéricas.

Classificação do JEL: C65 e C68

## Abstract

We consider synchronization phenomena of chaotic dynamical systems, both in continuous and discrete time. In what follows we will always consider two chaotic dynamical systems, since they are sufficient to study the essential in the proposed coupling schemes. In continuous time, for identical and generalized synchronization, we apply various unidirectional and bidirectional coupling schemes between Lorenz or Rössler systems with chaotic behavior. We combine some of these with total or partial substitution on the nonlinear terms of the second system, a coupling version that was less explored. In some cases we only conclude about local stability of the synchronous state, and in other studies we present coupling schemes where the global stability is guaranteed. The conditions of global stability are obtained from a different approach of the Lyapynov direct method. In discrete time, we study a nonlinear coupling scheme that appears in natural a family of analytic complex quadratic maps. We are not aware about any studies of this type of coupling. It is an asymmetric coupling between two real quadratic maps. When practical synchronization is not achieved, but the difference between the dynamical variables of the systems is limited, we still can apply a chaos control technique. We obtain stable identical and generalized synchronization with some versions of the original coupling, highlighting the absence of symmetry. Two of them are generalizations promoting the use of different parameters coupling. By analysing the difference between the dynamical variables of the systems, we obtain some results leading to stable synchronization.

## **Key-words**

Continuous and discrete chaotic systems, chaos synchronization, local and global asymptotical stability, numerical simulations.

JEL Classification: C65 e C68.

## Agradecimentos

Quero prestar um enorme agradecimento aos meus orientadores, Diana Mendes e Manuel Alberto, pela disponibilidade constante no esclarecimento de dúvidas, pelas valiosas sugestões que deram e por toda a dedicação ao trabalho desenvolvido.

Aos meus filhos, Xavier e Maria Inês, agradeço a compreensão que tiveram nos momentos em que a falta de tempo impedia que lhes desse toda a atenção a que têm naturalmente direito.

Para os meus pais, Estela e José, a minha irmã Fátima, o meu irmão António e a minha prima Maria Teresa vai um agradecimento muito especial, pela ajuda incondicional que sempre disponibilizaram durante a preparação deste trabalho.

Quero ainda agradecer as palavras de incentivo que tive o privilégio de receber da Francisca Sousa, do Abdul, do Álvaro Rosa, da Anabela, do António Teixeira, da Helena Soares, da Marina, do Nuno e do Sérgio.

Um obrigado ao ISCTE por me ter sido proporcionado a dispensa das actividades lectivas e as necessárias condições de trabalho.

Para Maria Inês e Xavier, os meus filhos

# Conteúdo

In	Introdução			1
1	Nog	ções pr	eliminares em dinâmica não-linear e sincronização de caos	17
	1.1	Gener	alidades em sistemas dinâmicos	17
		1.1.1	Sistemas dinâmicos	18
		1.1.2	Conjuntos invariantes e sua estabilidade	23
		1.1.3	Conjuntos atractores e bacias de atracção	33
		1.1.4	Comportamento caótico	39
		1.1.5	Bifurcações	51
	1.2	Gener	alidades em sincronização de caos	59
		1.2.1	Sincronização idêntica	62
		1.2.2	Generalizações da noção de sincronização idêntica	70
2	Sino	croniza	ção de sistemas dinâmicos contínuos	75
	2.1	Sincro	nização idêntica	76
		2.1.1	Diferentes tipos de ligação unidireccional	77
		2.1.2	Estabilidade do sistema ligado em ligação unidireccional	82
		2.1.3	Ligação difusiva linear bidireccional	87

	2.2	Sincro	onização generalizada	92
		2.2.1	Ligação unidireccional por controle $feedback$ negativo	94
		2.2.2	Ligação unidireccional por função de controle	95
	2.3	Estud	o de caso	97
		2.3.1	Análise de sincronização no sistema não-linear de Lorenz	97
		2.3.2	Análise de sincronização no sistema não-linear de Rössler	13
3	Liga	ação as	ssimétrica de sistemas dinâmicos discretos caóticos 1:	27
	3.1	Ligaçã	ão obtida da transformação quadrática complexa	29
		3.1.1	Análise da dinâmica do sistema ligado	30
		3.1.2	Estabilidade local da sincronização	34
		3.1.3	Abordagem computacional	37
		3.1.4	Sincronização por controle de caos	40
	3.2	Caso j	particular da ligação entre transformações idênticas	44
		3.2.1	Análise da dinâmica do sistema ligado	45
		3.2.2	Estabilidade local da sincronização	46
		3.2.3	Abordagem computacional	50
		3.2.4	Aplicação de controle de caos	55
	3.3	Gener	alização da ligação a parâmetros distintos $\rho_1$ e $\rho_2$	57
		3.3.1	Caso particular de transformações idênticas	58
		3.3.2	Transformações não-idênticas e dois parâmetros $\rho_1$ e $\rho_2$	76
	3.4	Gener	alização da ligação em configuração unidireccional	91
		3.4.1	Análise da dinâmica do sistema ligado	92
		3.4.2	Estabilidade local da sincronização	93

			vii
	3.4.3	Abordagem computacional	
4	Conclusõe	s	199
Bi	ibliografia		202

# Lista de Tabelas

:	2.1	Comportamento do atractor caótico $\mathcal{A}$ em função de $\rho$
:	2.2	Ligações unidireccionais por $feedback$ negativo deslocado 123
:	2.3	Ligações por decomposição activo-passivo
:	2.4	Ligações por substituição completa de variáveis
131		
	2.5	Controle feedback negativo no sistema de Rössler
:	2.6	Ligações unidireccionais por $feedback$ negativo e substituição parcial 138
;	3.1	Valores próprios relativos aos pontos fixos do sistema ligado
;	3.2	Pontos fixos $P_i'\left(u,v\right)$ e valores próprios $\Lambda_{\pm}^{P_i'}$ para $i=1,2\ldots\ldots\ldots$ 156
;	3.3	Pontos fixos $P_i$ , $i=1,\ldots,4$ , e respectivos valores próprios
;	3.4	Pontos fixos $P_i$ de (3.13), $i = 1,, 4$ para $a = -0.24$ e $a = 0.74$ 168
;	3.5	Intervalos $I(1.97, x_0, -x_0)$ para diferentes valores de $x_0 \dots \dots$
;	3.6	Intervalos $I_{e}\left(\rho\right)$ de amplitude de inferior a 1
173		
;	3.7	Pontos fixos $P_i$ , $i=1,\ldots,4$ , e valores próprios para $a=1.97\ldots\ldots 178$
;	3.8	Pontos fixos $P_i$ , $i = 1,, 4$ para $a = -0.24$ e $a = 0.74 $
;	3.9	Intervalos $I^{i}\left(\rho_{1}\right)$ $I_{e,\max}^{i}\left(\rho_{1}\right)$ e $I_{e,\max}^{i}\left(\rho_{1}\right)$ , $i=1,2\ldots\ldots\ldots$ 188

Intervalos $I^{i}(\rho_{1})$ $I^{i}_{e,\max}(\rho_{1})$ e $I^{i}_{e,\max}(\rho_{1})$ , $i=1,2\ldots\ldots\ldots$ 189
Intervalos $I^{i}\left(\rho_{1}\right)I_{e,\max}^{i}\left(\rho_{1}\right)$ e $I_{e,\max}^{i}\left(\rho_{1}\right),i=1,2\ldots\ldots\ldots$ 191
Intervalos $I^{i}\left(\rho_{1}\right)I_{e,\max}^{i}\left(\rho_{1}\right)$ e $I_{e,\max}^{i}\left(\rho_{1}\right),i=1,2\ldots\ldots\ldots$ 191
Intervalos $I^{i}\left(\rho_{1}\right)I_{e,\max}^{i}\left(\rho_{1}\right)$ e $I_{e,\max}^{i}\left(\rho_{1}\right),i=1,2\ldots\ldots\ldots$ 191
Intervalos $I(\rho_1)$ e respectiva amplitude
Intervalos $I(\rho_1)$ , $I_{e,\min}(\rho_1)$ e $I_{e,\max}(\rho_1)$ e amplitude de $I(\rho_1)$ 193
Intervalos $I(\rho_1)$ , $I_{e,\min}(\rho_1)$ e $I_{e,\max}(\rho_1)$ e amplitude de $I(\rho_1)$ 193
Pontos fixos $P_i'$ e valores próprios $\Lambda_{\pm}^{P_i'}$ para $i=1,\ldots,4$
Intervalos $I(\rho_2)$ com amplitude de $I_{e,\max}(\rho_2)$ inferior a 1 199
Intervalos $I(\rho_2)$ com amplitude de $I_{e,\max}(\rho_2)$ superior a 1 200
Intervalos $I(\rho_2)$ , $I_{e,\min}(\rho_2)$ e $I_{e,\max}(\rho_2)$ e $\max I_K(\rho_2)$
Intervalos $I(\rho_2)$ , $I_{e,\min}(\rho_2)$ e $I_{e,\max}(\rho_2)$ e $\max I_K(\rho_2)$
Intervalos $I(\rho_2)$ , $I_{e,\min}(\rho_2)$ e $I_{e,\max}(\rho_2)$ e $\max I_K(\rho_2)$
Intervalos $I(\rho_2)$ , $I_{e,\min}(\rho_2)$ e $I_{e,\max}(\rho_2)$ e $\max I_K(\rho_2)$
Pontos de período 4 para $\rho_1 = \max I_K(\rho_2) \dots \dots$
Pontos de período 2 para $\rho_1 = \max I_K(\rho_2) \dots \dots$
Intervalos $I_A(\rho_2) \subset I(\rho_2)$ e valores extremos de $e$
Intervalos $I_A\left(\rho_2\right)=I\left(\rho_2\right)$ e valores extremos de $e$
Intervalos $I_A(\rho_2) = I(\rho_2)$ e valores extremos de $e$

# Lista de Figuras

2.1	Atractor caótico de Lorenz
2.2	Espectro dos expoentes de Lyapunov do sistema ligado: tangenciais e condi-
	cionados
2.3	(a) Atractor do sistema ligado; (b) Variedade de sincronização; (c) Evolução
	do erro de sincronização
2.4	(a) Atractor do sistema ligado; (b) Variedade de sincronização; (c) Evolução
	do erro de sincronização
2.5	(a) Atractor do sistema ligado; (b) Variedade de sincronização; (c) Evolução
	do erro de sincronização
2.6	(a) Atractor do sistema ligado; (b) Variedade de sincronização; (c) Evolução
	do erro de sincronização
2.7	(a) Atractor do sistema ligado; (b) Variedade de sincronização; (c) Evolução
	do erro de sincronização
2.8	(a) Atractor do sistema ligado; (b) Variedade de sincronização; (c) Evolução
	do erro de sincronização
2.9	Atractor caótico de Rössler

2.10	(a) Atractor do sistema ligado; (b) Variedade de sincronização; (c) Evolução
	do erro de sincronização
2.11	Espectro dos expoentes de Lyapunov do sistema ligado: tangenciais e condi-
	cionados
2.12	(a) Atractor do sistema ligado; (b) Variedade de sincronização; (c) Evolução
	do erro de sincronização
2.13	(a) Atractor do sistema ligado; (b) Variedade de sincronização; (c) Evolução
	do erro de sincronização
3.1	Diagrama de bifurcação da transformação quadrática $f(x) = a - x^2$ 131
3.2	Diagrama de bifurcação do sistema ligado (3.5) para $\rho \in [-1.0, 0.5]$ com
	$a = 1.87 \text{ e } b = 1.97 \dots 134$
3.3	Expoentes de Lyapunov do sistema transversal versus $\rho$ para $\rho \in [-1.0, 0.5]$
	com $a = 1.87 \text{ e } b = 1.97$
3.4	Ligação bidireccional em $(3.5)$ : (a) séries temporais, (b) atractor caótico $139$
3.5	Expoentes de Lyapunov do sistema ligado (3.5) versus $\rho$ para $\rho \in [-1.0, 0.5] \supset$
	[-0.39, 0.24] com $a = 1.87$ e $b = 1.97$
3.6	Evolução dos expoentes de Lyapunov do sistema ligado (3.5) para $a=1.87,$
	$b = 1.97 \text{ e } \rho = -0.39 \dots 140$
3.7	Diagrama de bifurcação do sistema ligado (3.13) para $\rho \in [-350, 10]$ com
	$a = 1.97 \dots 147$
3.8	Ligação bidireccional em (3.13): (a,c) séries temporais, (b,d) hiperplanos
	de sincronização

3.9	Evolução dos expoentes de Lyapunov do sistema transversal (3.17) para
	$\rho = 0.01 \text{ e } a = -0.24 \dots \dots$
3.10	Expoentes de Lyapunov do sistema transversal (3.17) versus $\rho$ para $\rho \in$
	$[-10,1] e a = 1.97 \dots 151$
3.11	Ligação bidireccional em $(3.13)$ : (a) séries temporais, (b) atractor caótico $$ . 152
3.12	Ligação bidireccional em (3.13): (a,c) séries temporais, (b,d) hiperplanos
	de sincronização
3.13	Ligação bidireccional em (3.13): (a,c) séries temporais, (b) atractor caótico 154
3.14	Expoentes de Lyapunov do sistema ligado (3.13) versus $\rho$ para $\rho \in [-350, 10] \supset$
	$[-338.29, 0.24] e a = 1.97 \dots 155$
3.15	Expoentes de Lyapunov do sistema ligado (3.24) versus $\rho_2$ para $\rho_2 \in [-20, 25]$
	com $a = 1.97 e \rho_1 = 0.9$
3.16	Diagram de bifurcação do sistema ligado (3.24) em função de $\rho_2$ para $a=$
	1.97 e $\rho_1 = 0.9$
3.17	Diagram de bifurcação do sistema ligado (3.24) em função de $\rho_1$ para $a=$
	1.97 e $\rho_2 = 3.8$
3.18	Ligação bidireccional em (3.24): (a,c) séries temporais, (b,d) hiperplanos
	de sincronização
3.19	Evolução dos expoentes de Lyapunov do sistema transversal (3.27) para
	$a = -0.24,  \rho_1 = -0.01 \mathrm{e}  \rho_2 = 0.02  \ldots  \ldots  \ldots  \ldots  \ldots  \ldots  166$
3.20	Expoentes de Lyapunov do sistema transversal (3.27) versus $\rho_1$ para $\rho_1 \in$
	$[-15, 15]$ com $a = 1.97$ e $\rho_2 = 0.02$

3.21	Expoentes de Lyapunov do sistema transversal (3.27) versus $\rho_2$ para $\rho_2 \in$
	$[-15, 15]$ com $a = 1.97$ e $\rho_1 = -0.01$
3.22	Ligação bidireccional em (3.24): (a,c,e) séries temporais, (b,f) hiperplanos
	de sincronização, (d) atractor caótico
3.23	Ligação bidireccional em (3.24): (a,c,e) séries temporais, (b,f) hiperplanos
	de sincronização, (d) atractor caótico
3.24	Ligação bidireccional em (3.24): (a,c,e) séries temporais, (b) atractor caótico,
	(d,f) hiperplanos de sincronização
3.25	Ligação bidireccional em (3.24): (a) séries temporais, (b) hiperplano de
	sincronização
3.26	Ligação bidireccional em (3.24): (a) séries temporais, (b) atractor caótico $$ . 173
3.27	Ligação bidireccional em $(3.24)$ : (a) séries temporais, (b) atractor caótico  . 175
3.28	Diagrama de bifurcação do sistema ligado (3.23) para $\rho_1 \in [-7.5, -0.5]$ com
	$ \rho_2 = -0.7, \ a = 1.67 \ e \ b = 1.97 \dots \dots$
3.29	Diagrama de bifurcação do sistema ligado (3.23) para $\rho_2 \in [-2.5, 0.5]$ com
	$ \rho_1 = -7.00, \ a = 1.67 \ e \ b = 1.97 \ \dots $
3.30	Expoentes de Lyapunov do sistema transversal versus $\rho_2$ para $\rho_2 \in [-0.5, 6.5]$
	com $\rho_1 = 9.53$ , $a = 1.67$ e $b = 1.97$
3.31	Expoentes de Lyapunov do sistema transversal versus $\rho_1$ para $\rho_1 \in [2,4.5]$
	com $\rho_2 = -7$ , $a = 1.67$ e $b = 1.97$
3.32	Ligação bidireccional em (3.23): (a,c) séries temporais, (b,d) atractores
	caóticos

3.33	Ligação bidireccional em (3.23): (a,c) séries temporais, (b,d) atractores	
	periódicos	185
3.34	Ligação bidireccional em (3.23): (a) séries temporais, (b) atractor periódico	187
3.35	Ligação bidireccional em (3.23): (a) séries temporais, (b) atractor periódico	188
3.36	Ligação bidireccional em (3.23): hiperplano de sincronização	188
3.37	Ligação bidireccional em $(3.23)$ : (a) séries temporais, (b) hiperplano de	
	sincronização	191
3.38	Diagrama de bifurcação do sistema ligado (3.30) para $\rho \in [-18, 23]$ com	
	a=1.97	193
3.39	Expoentes de Lyapunov do sistema transversal (3.27) versus $\rho$ para $\rho \in$	
	[-45, 45] com $a = 1.97$	196
3.40	Ligação unidireccional em (3.30): (a,c,e) séries temporais, (b,d) hiperplanos	
	de sincronização, (f) atractor caótico	197

## Introdução

A primeira observação de sincronização foi descrita pelo físico holandês Christiaan Huygens em 1665 [24]. Neste caso, o fenómeno foi evidenciado pela igualdade de período em relógios mutuamente ligados. Posteriormente, a sincronização de sinais periódicos foi sendo detectada em muitos outros processos dinâmicos, tornando-se comum a outras áreas científicas e objecto de aplicações diversas em engenharia. Dada esta descoberta original de Huygens, o fenómeno de sincronização está, no sentido clássico do termo, associado à capacidade de sistemas dissipativos auto-oscilatórios ajustarem os seus comportamentos de modo a seguirem um movimento periódico global.

O estudo de sistemas dinâmicos baseou-se, durante muito tempo, em exemplos de equações diferenciais com soluções regulares. Se essas soluções permaneciam numa região limitada do espaço de fase, então elas ajustavam-se a um de dois tipos de comportamento, um ponto de equilíbrio estável ou uma oscilação periódica ou quase-periódica.

Actualmente, o termo "sincronização" é usado num sentido mais amplo incluindo sistemas caóticos, tanto discretos como contínuos. A análise numérica de populações caóticas presentes na natureza, mesmo heterogéneas, revela que a sincronização é possível e frequente.

O caos pertence ao vasto campo da teoria de oscilações não-lineares cujo desenvolvimento significativo foi iniciado no século passado. Embora, já nos anos 20 e 30, Andronov tenha proposto uma classificação de comportamentos não-lineares (1933) e Van der Pol tenha detectado experimentalmente oscilações tipo-ruído em circuitos electrónicos (1927), a experiência que impulsionou a consideração de comportamento caótico deve-se a Lorenz [42]. Em 1961, trabalhando num modelo simplificado de transferência atmosférica de três equações diferenciais não-lineares simples, observou numericamente que fazendo mudanças muito pequenas nas condições iniciais obtinha um efeito enorme nas suas soluções. Tratava-se da evidência de uma das propriedades fundamentais da dinâmica caótica que mais tarde foi designada por dependência sensível às condições iniciais. É de notar que

esta propriedade já havia sido investigada do ponto de vista topológico por Poincaré, e descrita na sua monografia *Science and Method* de 1903.

A sensibilidade às condições iniciais leva a que uma perturbação infinitesimal nas condições iniciais de um sistema dinâmico, em tempo discreto ou contínuo, conduza à divergência/separação exponencial no decurso do tempo de órbitas inicialmente próximas. Por muitos anos esta propriedade tornou o caos indesejável, visto que reduz a previsibilidade do sistema caótico em longos períodos de tempo. No entanto, a comunidade científica foi progressivamente tomando consciência de um terceiro tipo de comportamento na dinâmica: o comportamento caótico. Algumas experiências, cujo resultado anómalo tinha sido anteriormente explicado em termos de erro experimental ou ruído introduzido, foram reavaliadas para uma explicação em termos de caos e este passou a ser objecto de um estudo matemático rigoroso. Uma medida da sensibilidade às condições iniciais é hoje quantificada pelos expoentes de Lyapunov. A entropia topológica e a entropia métrica são quantidades que, tal como os expoentes de Lyapunov, também medem a complexidade da dinâmica de um sistema.

Em meados dos anos 70, o termo "caos determinístico" foi introduzido por Li e Yorke [41] num célebre artigo Period three implies chaos. Nesse artigo é apresentado o estudo dos possíveis períodos em pontos periódicos de transformações reais contínuas definidas num intervalo e é provado que se uma transformação tem uma órbita periódica de período três então ela é caótica. No entanto, este resultado pode ser considerado como um corolário de um forte resultado de Sharkowski [78] apresentado num artigo escrito em russo de 1964. Esse resultado, relativo à existência de pontos periódicos para transformações contínuas, baseia-se numa certa ordem dos números naturais hoje designada por sucessão ou ordem de Sharkowski. Embora não exista uma definição formal única do termo "caos determinístico", o comportamento caótico pode ser definido como um padrão observável que se apresenta irregular e imprevisível em grandes escalas de tempo.

Muitos sistemas dinâmicos não-lineares são dependentes de parâmetros de controle num certo espaço paramétrico. Para fins aplicativos é crucial entender a evolução do comportamento qualitativo dos elementos de uma família de sistemas dinâmicos quando os parâmetros variam. A mudança qualitativa do comportamento de sistemas dinâmicos induzida por variação de um dos seus parâmetros é hoje conhecida por bifurcação. O trabalho de Poincaré – para descrever a separação das soluções de equilíbrio numa família de equações diferenciais – é pioneiro na importância dada às mudanças qualitativas/topológicas do comportamento dinâmico, e na introdução do termo "bifurcação".

No entanto, ainda não há concordância quanto ao significado rigoroso deste termo. É de salientar que a teoria de bifurcações é um tema com origens matemáticas clássicas, por exemplo nos trabalhos de Euler no século XVIII. Para esclarecer quais os possíveis "itinerários para caos", tem grande relevância um artigo [45] de May, publicado em 1976 na revista Nature, em que descreve a bifurcação duplicação-período na transformação logística.

Geometricamente, um atractor pode ser um único ponto, uma curva, uma variedade, ou mesmo um conjunto com estrutura fractal conhecido por atractor estranho.

A presença de um atractor caótico no espaço de fase – que tem tipicamente mergulhado no seu interior um conjunto infinito e denso de órbitas periódicas instáveis – leva a que seja impossível determinar qual a posição do sistema no atractor ao longo do tempo, mesmo conhecendo a sua posição nesse (mesmo) atractor num momento anterior. As órbitas periódicas instáveis mergulhadas no atractor caótico constituem um invariante dinâmico do sistema e, a sua investigação sistemática, permite a caracterização e a estimação de muitos outros invariantes dinâmicos tais como a medida invariante natural, o espectro de expoentes de Lyapunov e as dimensões fractais. A relação entre as trajectórias do atractor caótico e as órbitas periódicas instáveis nele mergulhadas tem sido explorada com detalhe para sistemas dinâmicos hiperbólicos, para os quais a divisão em subespaços invariantes estável e instável é consistente (robusta) sob a evolução da dinâmica [16], e sistemas não-hiperbólicos com tangências homoclínicas. O conjunto infinito de órbitas periódicas instáveis mergulhadas num atractor caótico localizado nalguma variedade invariante simétrica desempenha um papel fundamental no mecanismo de desestabilização desse atractor, pois é responsável pela dinâmica de fenómenos tais como riddling da bacia de atracção e bubbling do atractor caótico ([48],[38]).

Pode suceder que, para diferentes regiões do espaço paramétrico do sistema, existam diferentes atractores (atractores múltiplos) e, como tal, até o comportamento assimptótico qualitativo do sistema depende em muito das condições iniciais estabelecidas. Mesmo em sistemas com simetria, pode ocorrer o fenómeno de multi-estabilidade, onde se verifica a coexistência de mais do que um atractor para um dado conjunto de parâmetros. Neste caso, o comportamento assimptótico qualitativo do sistema não pode ser previsto pois para cada condição inicial não sabemos, em príncipio, em qual dos atractores a dinâmica do sistema finalmente estabiliza.

O comportamento caótico pode ser observado em sistemas naturais e em experiências e modelos computacionais de muitas áreas científicas, revelando-se um fenómeno robusto.

A capacidade da dinâmica caótica para ampliar pequenas perturbações potencia o seu uso na obtenção de estados específicos desejados num sistema caótico, sem mudar substancialmente as suas principais propriedades dinâmicas e com um dispêndio de energia pequeno. Os desenvolvimentos em teoria de controle e de sincronização de caos são disso consequência. Estes dois processos (fenómenos) têm raízes comuns. Em ambos os processos está subjacente a ideia de intervir num sistema caótico não-linear, por escolha de regiões paramétricas a perturbar ou por condução externa, de modo a restringir o seu movimento a um subespaço acessível do espaço de fase. Em controle de caos procura-se deslocar o sistema para um conjunto invariante acessível onde os movimentos são mais regulares, enquanto em sincronização de caos se procura obter um conjunto invariante no espaço de fase do sistema ligado, o subespaço de sincronização, no qual tem lugar o movimento sincrónico. Embora o conceito de sincronização de caos tenha, em geral, evoluído de forma autónoma, há uma tendência recente para unificar o estudo de controle e sincronização de caos sob a mesma rúbrica.

A dinâmica de um sistema exibe comportamento caótico quando nunca se repete a si própria e mesmo que condições iniciais estejam correlacionadas por proximidade, as trajectórias correspondentes rapidamente se tornam não-correlacionadas. Como tal, a possibilidade de obter sincronização de sistemas caóticos através de ligação apropriada pode parecer impossível. Digamos que, intuitivamente, os termos "caos"e "sincronização"são mutuamente exclusivos. Mesmo seguindo a evolução de dois sistemas caóticos idênticos que iniciem de pontos próximos no espaço de fase, mas não exactamente iguais, verificamos que divergem entre si nos seus comportamentos, embora ambos conservem o mesmo padrão de atractor caótico. Observam-se dois processos caóticos sem qualquer correlação mútua (independentes).

Por outro lado, a possibilidade de mudanças qualitativas/topológicas no comportamento dinâmico dos elementos de uma família de sistemas dinâmicos, indicadas pelos possíveis pontos de bifurcação, dificulta a sincronização de sistemas não-idênticos, mesmo que diferindo por pequenos desajustes paramétricos. Um desvio infinitesimal em qualquer um dos parâmetros pode conduzir a dinâmicas qualitativamente distintas.

Ainda, duas trajectórias já sincronizadas podem perder a estabilidade da sincronização por influência de ruído externo. Contudo, devido à propriedade ergódica das trajectórias caóticas, após um tempo transitório finito, estas ficarão de novo próximas e podem voltar a sincronizar. Neste sentido, o método de sincronização é robusto contra ruído externo pequeno.

Os estudos efectuados nas duas últimas décadas têm revelado que é falsa a ideia intuitiva de impossibilidade de sistemas caóticos se comportarem em sincronia. Na verdade, embora seja impossível reproduzir exactamente condições iniciais e parâmetros iguais, existem conjuntos de osciladores caóticos ligados em que o efeito atractivo de uma ligação suficientemente forte pode anular/compensar a tendência das trajectórias para divergirem devido à dinâmica caótica. Como resultado, é possível alcançar sincronização total em sistemas caóticos desde que sejam ligados por uma ligação dissipativa apropriada. Sincronizar sistemas caóticos é então ligá-los de modo a "forçar" que sigam a mesma trajectória no atractor caótico, por aplicação de pequenas perturbações entre os sistemas.

Em sincronização de dois sistemas caóticos é possível considerar duas configurações de ligação: unidireccional (ou direccional) e bidireccional (mútua ou global). Em ligação unidireccional um dos sistemas, designado por transporte ou mestre, interfere no outro, designado por resposta ou escravo, sem que este forneça retorno ao primeiro. A ligação bidireccional implica interação mútua entre dois sistemas.

Sistemas dinâmicos caóticos ligados são construídos de elementos simples e de baixadimensão para formar novas e mais complexas organizações, com a garantia de que as características dominantes das componentes individuais subjacentes sejam mantidas, ou seja, que os dois sistemas sejam capazes de actuar de forma independente na sua maior parte, sem que um domine o outro. Esta construção "cumulativa" pode também ser usada para criar um novo sistema cujo comportamento é mais flexível e/ou rico do que as suas componentes, mas cuja análise e controle se mantenham acessíveis. O conceito de que vários sistemas, quando interagindo não-linearmente, dão origem colectivamente a novas dinâmicas que não são atribuíveis às partes componentes individuais é designado por emergência.

Não é possível prever antecipadamente as consequências de uma ligação. A introdução de ligação em sistemas caóticos pode mudar drasticamente as propriedades qualitativas da dinâmica. Ela pode estabilizar em comportamento periódico, pode produzir ocasionalmente correlações escondidas entre os elementos (embora a dinâmica seja aparentemente turbulenta), ou pode induzir a sincronização de um subconjunto das variáveis dinâmicas. A eficácia de uma ligação entre sistemas de igual dimensão decorre, em primeiro lugar, da análise da diferença entre as coordenadas respectivas das variáveis dos sistemas envolvidos, que pode ser designada por erro de sincronização. Em situação optimal, uma ligação de sistemas caóticos conduz à sua sincronização assimptótica, em que o erro de sincronização converge para zero ao longo do tempo. No entanto, foi introduzida recentemente por

Stefański e Kapitaniak [85] uma forma de sincronização menos exigente, em que apenas é esperada a estabilização do erro de sincronização abaixo de uma constante inferior a um, designada por sincronização prática no sentido de Kapitaniak. Nota-se que a dinâmica caótica introduz novos graus de liberdade em conjuntos de sistemas ligados. Contudo, quando dois ou mais osciladores caóticos são ligados e é alcançada sincronização, em geral o número de graus dinâmicos de liberdade para o sistema ligado efectivamente decresce. No entanto, as especificidades do comportamento caótico tornam impossível aplicar directamente à sincronização de sistemas caóticos os métodos desenvolvidos para sincronização de oscilações periódicas.

A sincronização de caos iniciou-se em meados dos anos 80 com os estudos de Kaneko [28] e de Afraimovich et al. [4] sobre a ligação de sistemas idênticos discretos e contínuos, respectivamente, evoluindo de condições iniciais diferentes. De salientar, na mesma década, os trabalhos de Fujisaka e Yamada ([90],[91]) que introduziram o estudo dos expoentes de Lyapunov transversais no sistema ligado, acentuando a ideia de como a dinâmica pode mudar com a ligação, e os de Pikovsky ([62],[63]) e Afraimovich et al. [4] que apresentaram muitos dos conceitos fundamentais em sincronização de caos. Só na década de 90, com os trabalhos de Pecora e Carroll ([58],[59],[13]), foi consolidada sincronização de caos como um tópico de pesquisa autónomo, a par com o estabelecimento rigoroso da teoria de controle de caos por Ott, Grebogy e Yorke [51]. Os artigos referidos mereceram, desde logo, muita atenção por parte da comunidade científica e desencadearam o desenvolvimento de vários métodos de sincronização.

Em sistemas de comunicação, especialmente os que envolvem sinais cujo comportamento futuro é difícil (ou impossível) prever durante a transmissão, algum tipo de sincronização entre transmissor e receptor é evidentemente útil. Este facto motivou os trabalhos de Pecora e Carroll ([58],[59],[13]), onde é estabelecido um método de sincronização por ligação de dois sistemas dinâmicos idênticos e caóticos por transmissão de um subsistema condutor que funciona como um sinal caótico comum entre eles. Deste modo, o método de Pecora e Carroll, também designado por substituição completa, sugere como um estado caótico sincrónico pode ser usado como um condutor em comunicação. Assim, dado um sistema caótico, a sincronização por este método exige a decomposição do sistema de modo a obter um subsistema condutor apropriado. Para tal testam-se usualmente várias combinações de um subconjunto de variáveis estado para identificar um subsistema condutor estável. Parece contra-intuitivo que um sistema não-dissipativo possa conduzir a sincronização mas, num sistema dinâmico multidimensional preservando-volume, deve

existir pelo menos uma direcção contractora de modo que volumes no espaço de fase sejam conservados, o que permite escolher um subsistema estável. Dada a possibilidade de sincronizar dois sistemas caóticos, é necessário determinar condições sob as quais tal sincronização é estável. Nesses trabalhos, além de estabelecer o mecanismo de ligação, que é relativamente directo mas ilusoriamente simples, Pecora e Carroll ([58],[59]) apresentam as primeiros respostas a esta questão.

Embora em substituição completa apenas exista um número finito de possíveis decomposições de um sistema caótico, a ideia base de Pecora e Carroll de decompor sistemas caóticos para obter um subsistema condutor, tem conduzido a outros métodos de sincronização mais gerais, sem requerer a decomposição do sistema caótico original em dois subsistemas estáveis. Kocarev e Parlitz ([35],[56]) propuseram o método de decomposição activo-passivo baseado na decomposição do sistema transporte em duas componentes, uma activa e outra passiva, e na transmissão de um sinal escalar do sistema transporte para o sistema resposta que pode ser função de um sinal informação. Diferentes réplicas da componente passiva sincronizam quando conduzidas pela mesma componente activa. Segundo Stefański e Kapitaniak [86] uma trajectória caótica de um sistema pode sincronizar com uma trajectória caótica de um sistema idêntico por adição de um termo amortecedor linear proporcional à diferença entre as variáveis estado correspondentes dos dois sistemas. Este termo funciona como um sinal de controle aplicado apenas ao sistema resposta na forma de feedback negativo e, como tal, a ligação diz-se por controle feedback negativo. A aplicação deste método a diferentes modelos experimentais, por autores como Lai e Grebogy [37], Kapitaniak [29], John e Amritkar [26], Anishchenko et al. [6], Ding e Ott [15], Pyragas [68] e Wu e Chua [93], mostra que é eficaz quando o sistema ligado tem um único atractor.

Segundo Fujisaka e Yamada ([90],[91]), uma maneira natural de introduzir uma ligação bidireccional entre dois sistemas idênticos e caóticos é adicionar termos de ligação lineares simétricos às expressões que os definem. Este mecanismo de ligação, que pode ser total ou parcial, é designado por ligação difusiva linear. Um estudo de Stefański [84] mostra que as propriedades de divergência e convergência exponencial em ligação total permitem estimar o maior expoente de Lyapunov de qualquer sistema dinâmico caótico, uma possibilidade que é especialmente útil em sistemas não-suaves, onde a estimação de expoentes de Lyapunov não é directa.

Conforme o exposto, existem várias configurações de ligação entre sistemas idênticos e caóticos de modo que eles se tornem sincronizados. Neste regime, designado por sincronização idêntica, as trajectórias caóticas dos sistemas idênticos e caóticos ligados coincidem exactamente no tempo devido à forte interacção entre eles. Cada um dos sistemas mantém o seu comportamento caótico mas, quando é atingido o estado sincrónico simétrico, ou seja, quando a evolução dos seus vectores estado é coincidente, a dinâmica do sistema ligado fica restringida a um hiperplano de sincronização no espaço de fase.

Em ligação de sistemas caóticos discretos são considerados parâmetros que controlam a força de ligação entre os sistemas, tal como em ligação difusiva linear e em ligação por controle feedback negativo de sistemas contínuos. Conforme a estrutura dos termos de ligação envolvendo esses parâmetros, distinguem-se vários esquemas de ligação em tempo discreto: ligação dissipativa externa ou interna, ligação difusiva linear, ligação por termos quadráticos ou ligação bilinear. Os resultados de estabilidade do estado caótico sincrónico dependem dos parâmetros de ligação considerados.

Embora o fenómeno de sincronização de caos tenha sido detectado a partir de exemplos com sistemas caóticos idênticos, o comportamento destes sistemas em sincronia constitui apenas uma amostra da abundância de diferentes tipos de comportamento interdependente que podem ser detectados em sistemas caóticos ligados. Embora o regime de sincronização idêntica seja o mais corrente e com maior número de resultados teóricos, muitos trabalhos têm revelado que também é possível a sincronização de sistemas não-idênticos, definidos por leis de evolução que apenas diferem por pequenos desajustes paramétricos ou que são mesmo distintas (podendo até diferir em dimensão), caso em que se diz sincronização generalizada, em configuração bidireccional ou até unidireccional. Muitos dos esquemas de ligação entre sistemas caóticos não-idênticos são uma extensão dos conhecidos entre sistemas idênticos.

A primeira definição matemática do caos sincronizado num sentido generalizado devese a Afraimovich et al. [4], em 1986, e é baseada na existência de um homeomorfismo entre sistemas com desajustes paramétricos que relacione as projecções das trajectórias caóticas sincronizadas sobre subespaços dos espaços de fase dos sistemas transporte e resposta. No entanto, o termo "sincronização generalizada"só foi introduzido por Rulkov et al. [77] em 1995. Reportando à sincronização de sistemas periódicos unidireccionalmente ligados, a ideia central neste artigo, assim como no de Kocarev e Parlitz [36] de 1996, é a de tomar a capacidade de prever o estado actual do sistema resposta a partir da informação caótica medida no sistema transporte como uma definição de sincronização generalizada. A previsibilidade aponta para a existência e estabilidade de um atractor caótico do sistema ligado.

Assim, a maioria dos métodos de detecção de sincronização generalizada considera que

esta se traduz pela existência de uma relação funcional entre os sistemas, tanto melhor quanto mais regular, cujo gráfico contenha uma variedade invariante e estável, designada por variedade de sincronização, na qual esteja mergulhado o atractor caótico relativo à sincronização. Este regime de sincronização é mais fraco que o de sincronização idêntica, dado que a dependência persistente (robusta) e estável entre os vectores estado de cada um dos sistemas não é necessariamente a identidade de estados. Por outro lado, a ausência, em geral, de simetria intrínseca no sistema ligado dificulta a obtenção de um estado sincrónico estável. Nota-se que a relação funcional não tem de ser necessitamente válida em todo o espaço de fase dos sistemas ligados, mas apenas na variedade invariante.

Nota-se que a definição original de Afraimovich et al. [4], embora permita um conjunto de resultados analíticos sobre estabilidade dos estados sincrónico, não é particularmente satisfatória por não fazer referência à natureza atractora do conjunto de sincronização e por exigir a verificação de condições cuja validade em experiências reais nem sempre pode ser exibida. Por outro lado, a definição apresentada por Rulkov et al. [77], abrange situações da física, da biologia e da economia, nas quais foi detectada sincronização de caos, em que a exigência de um homeomorfismo entre as projecções não era satisfeita. Contudo, para sistemas com dinâmica invertível, a definição de Rulkov et al. [77] é equivalente à existência de uma função contínua entre os estados dos sistemas quando eles estão no atractor caótico sincrónico.

Os estudos efectuados mostram que o sistema resposta é assimptoticamente estável sempre que exista uma função que transforme cada trajectória no atractor do sistema transporte numa trajectória no atractor do sistema resposta, designada por função de sincronização. Neste caso, as trajectórias caóticas sincronizadas estão localizadas numa variedade de sincronização estável. Com base na equivalência entre sincronização generalizada no sistema ligado e estabilidade assimptótica do sistema resposta, Abarbanel et al. [2] estabeleceram um critério para detecção de sincronização generalizada, designado por abordagem sistema auxiliar.

A sincronização generalizada inclui a idêntica como caso particular, em que a relação funcional é a função identidade e a variedade de sincronização é um hiperplano. No entanto, enquanto esta é facilmente visualizada na representação da diferença entre as coordenadas dos dois sistemas liagdos, a detecção de sincronização generalizada não obedece a um método simples, especialmente quando se analisa informação obtida experimentalmente. Excepto em casos especiais de ligação entre sistemas com pequenos desajustes paramétricos, raramente é possível exibir fórmulas explícitas da função de sincronização

ou ter uma variedade de sincronização trivial no espaço de fase. Em geral, as oscilações caóticas sincronizadas são diferentes das geradas pelos sistemas caóticos desligados. Portanto, a analogia entre o atractor caótico sincrónico e os atractores caóticos dos sistemas desligados não pode ser considerada como uma exigência para definir sincronização generalizada.

A estabilidade assimptótica do sistema resposta não garante que a função de sincronização é contínua, nem sequer a existência de uma função de sincronização entre os sistemas. Têm sido observadas situações experimentais em que o sistema resposta é assimptoticamente estável mas o atractor caótico para o sistema ligado tem uma estrutura complexa e a função de sincroniação não é diferenciável. A dinâmica na variedade de sincronização é, em geral, bastante complexa, em consequência da falta de simetria no sistema ligado ou da não-invertibilidade do sistema transporte. Contrariamente ao verificado em sincronização idêntica, em que as trajectórias são atraídas ao plano de simetria e a variedade de sincronização é trivial, muitos sistemas reais exibem subespaços de sincronização com estruturas geométricas não-triviais inerentes ao sistema ligado: rugosidades, cusps ou bandas, que podem coexistir num mesmo sistema e ter um efeito prejudicial na detecção de sincronização. Diversos métodos existentes para detecção de sincronização generalizada, apresentados em [77], [60] e [80], são dificultados pela presença de tais estruturas. A ocorrência de rugosidades é provocada, em geral, pela existência de conjuntos invariantes mergulhados no subespaço de sincronização nos quais a função de sincronização ter diferentes graus de regularidade Hölder. Os diferentes expoentes Hölder, dados pelo módulo do quociente entre o expoente de Lyapunov relativo à direcção contractora transversal e o menor expoente de Lyapunov negativo do transporte, dependem da intensidade da taxa de contracção na direcção transversal ao subespaço de sincronização [23]. A presença de cusps decorre tipicamente da existência de pontos críticos no atractor do sistema transporte definido por uma transformação não-invertível suave. Numa vizinhança de um ponto crítico, onde a matriz Jacobiana é singular, podem existir órbitas do sistema transporte ao longo das quais a contracção é arbitrariamente grande e o subespaço de sincronização ser tipicamente não-diferenciável próximo dele. Se o sistema transporte não é invertível, a função de sincronização pode não ser contínua ou nem sequer existir como função, pois existem estados típicos do transporte que têm mais do que uma pré-imagem. No subespaço de sincronização podem então ocorrer diversas bandas, caso em que a função de sincronização é, em geral, substituída por uma relação multívoca entre os sistemas ligados, embora a resposta seja ainda assimptoticamente estável. Neste caso não é possível prever um estado da resposta pelo do transporte.

A detecção de características de sincronização generalizada com base em informação experimental, conta fortemente com a continuidade da função de sincronização e, em geral, também requer um certo grau de suavidade. Neste caso as funções no sistema ligado são desconhecidas e, quando a sincronização generalizada é estável, pode tentar-se em casos relativamente simples a construção aproximada da função de sincronização por meio de métodos numéricos. No entanto, se ocorrem desvios à dependência funcional entre os sistemas, nunca será claro se são consequência da perda de sincronização no sistema ligado ou da inexactidão da função considerada. Assim, têm surgido definições alternativas que diferem quanto às propriedades de regularidade impostas à função de sincronização e têm revelado diferentes resultados na detecção de sincronização generalizada em informação experimental. Recentemente têm sido requeridas propriedades difeomórficas por autores como Abarbanel et al. [2], Pyragas [70] e Hunt et al.[23]. Pyragas [70] distingue ainda entre dois tipos de sincronização generalizada: sincronização forte no caso de uma transformação de sincronização suave e sincronização fraca no caso contrário.

Para que a sincronização generalizada tenha interesse prático (aplicativo), ela deverá persistir sob perturbações arbitrariamente pequenas quer da ligação quer da dinâmica dos sistemas componentes. Tal como no caso de sincronização idêntica, a estabilidade da variedade de sincronização pode ser local, garantida pela negatividade dos expoentes de Lyapunov que caracterizam as perturbações transversais à variedade de sincronização (expoentes de Lyapunov tranversais ou condicionados) [70] e/ou pelo estudo dos valores próprios da linearização do sistema ligado, ou global, garantida pela existência de uma função de Lyapunov (método directo de Lyapunov) [36]. Os resultados de estabilidade local da sincronização não garantem que esta se verifica quando o sistema ligado é iniciado a partir de outra condição inicial. Para averiguar a possibilidade de sincronização estável no sistema ligado, não é indiferente a escolha da condição inicial quando este possui mais do que um atractor no espaço de fase. Em contraste com o método directo de Lyapunov, o estudo dos expoentes de Lyapunov transversais é bastante directo e pode ser facilmente aplicado, mesmo em sistemas muito complicados. Contudo, tem sido apontado por Stefański e Kapitaniak [85] que, na prática, a negatividade de expoentes de Lyapunov nem sempre garante que não existam conjuntos invariantes instáveis na variedade de sincronização que possam causar perda de sincronização quando existe ruído ou pequenos desajustes paramétricos. Nota-se que, ao contrário do que se verifica em ligação unidireccional, em bidireccional os expoentes de Lyapunov de um dos sistemas

não são os mesmos que os expoentes que caracterizam as perturbações transversais. Em ligação unidireccional, o comportamento do sistema ligado na variedade de sincronização é controlado apenas pela dinâmica do sistema transporte. Quando ocorre perda de sincronização, o sistema transporte deixa de ter controle completo sobre o comportamento do sistema resposta e pequenas perturbações no sistema resposta crescerão. Embora o processo de perda de sincronização seja análogo ao verificado em sincronização idêntica, a identificação de bifurcações tipo-bubbling ou tipo-blowout pode ser dificultada pela complexidade do subespaço de sincronização. Por diferenciação contínua entre o transporte e a resposta quando a força de ligação decresce, Barreto et al. [10] propõem um método que permite tratar o problema usando uma decomposição baseada na identificação de órbitas periódicas instáveis do sistema transporte. É descrita a criação e evolução de um conjunto complicado de órbitas que se desenvolvem fora da variedade de sincronização, designado por conjunto emergente. É também identificado um ponto de transição crítico deste processo.

Ao longo desta tese abordamos o fenómeno de sincronização de sistemas dinâmicos caóticos em tempo contínuo e em tempo discreto.

São várias as razões que motivaram a escolha deste tema de trabalho. O fenómeno de sincronização de caos é, desde logo, interessante pelo seu elevado potencial aplicativo. Esse potencial é transversal a áreas do conhecimento tão distintas como a física, a biologia ou a economia. Consideramos sobretudo estimulante o estudo de um fenómeno que exige o ajustamento de comportamentos dinâmicos, de modo a obter um movimento caótico coincidente, e tal ser possível precisamente em sistemas dinâmicos caóticos em que a dependência sensível às condições iniciais é uma das características. A existência de algumas analogias entre sincronização e controle de caos e a possibilidade de aplicar técnicas de controle de caos como forma de optimizar os resultados de sincronização constitui mais um elemento motivador da escolha do tema. Além de tudo isto, não descuramos o facto de o fenómeno de sincronização de caos ser bastante recente na teoria não-linear de sistemas dinâmicos e ainda continuar a suscitar um elevado interesse na comunidade científica. Contudo, apesar do esforço desenvolvido na investigação deste fenómeno, muitas questões permanecem em aberto.

Apresentamos uma breve revisão de noções preliminares em dinâmica não-linear e, em particular, em sincronização de sistemas dinâmicos caóticos. Por permitir abordar as questões que consideramos essenciais no fenómeno de sincronização, todas as ligações estudadas envolvem apenas dois sistemas caóticos. Nos regimes de sincronização idêntica

e generalizada aplicamos aos sistemas de Lorenz e de Rössler, para valores paramétricos que conduzem a comportamento caótico, diversos esquemas de ligação. Averiguamos a obtenção de sincronização estável quando se procede à combinação de alguns deles com substituição parcial, em especial nos termos não-lineares do segundo sistema, ou total. Tanto quanto sabemos esta possibilidade tem sido pouco explorada. Embora em alguns esquemas apenas se conclua acerca da estabilidade local do estado sincrónico, apresentamos esquemas de ligação onde a estabilidade global é garantida. As condições de estabilidade global resultam do método directo de Lyapunov, numa abordagem diferente da usual. Em tempo discreto estudamos um esquema de ligação não-linear que surge de forma natural a partir da família de transformações quadráticas complexas analíticas. Tanto quanto sabemos esta ligação não foi até agora objecto de estudo. Trata-se de uma ligação assimétrica entre transformações quadráticas reais, o que constitui um desafio acrescido. Quando não é alcançada sincronização prática mas a diferença entre as variáveis dos dois sistemas é limitada, aplicamos uma técnica de controle de caos. Obtemos sincronização idêntica e generalizada estável ao considerarmos algumas variantes da ligação original, privilegiando a ausência de simetria. Duas delas constituem uma generalização ao uso de parâmetros de ligação distintos.

Terminamos esta introdução com a apresentação da estrutura, por capítulos e secções, desta tese.

O Capítulo 1 tem o propósito de introduzir os conceitos e resultados fundamentais ao estudo da sincronização de caos e de fixar a terminologia, necessários ao trabalho de pesquisa efectuado. A Secção 1.1 consta de uma breve revisão de elementos gerais em dinâmica não-linear, tanto em tempo contínuo como em tempo discreto. Na Secção 1.2 apresentamos uma breve introdução à teoria clássica de sincronização, expondo os principais regimes de sincronização entre sistemas dinâmicos caóticos idênticos ou não. Para os regime de sincronização idêntica e generalizada, optamos por abordar a estabilidade do estado sincrónico, com a determinação dos limiares de sincronização, e a transição/perda de sincronização do ponto de vista topológico apenas em ligação dissipativa externa e ligação dissipativa externa generalizada, respectivamente. Esta escolha deve-se ao facto de estes esquemas de ligação serem os mais realistas do ponto de vista aplicativo, nomeadamente na modelação de populações interligadas. Embora não sendo um dos regimes escolhido para o nosso estudo, apresentamos brevemente a sincronização de fase. Optamos por expor nesta secção apenas os elementos relativos à sincronização de sistemas caóticos discretos (a que melhor modela as ligações naturais entre populações), visto que os métodos de

sincronização em sistemas contínuos são apresentados e aplicados no Capítulo 2.

A pesquisa relatada nos Capítulos 2 centra-se na possibilidade de sincronizar assimptoticamente pares arbitrários de sistemas contínuos caóticos, quer por ligação unidireccional quer por ligação bidireccional. Na Secção 2.1 descrevemos os equemas de ligação mais usados para sincronizar dois sistemas dinâmicos contínuos idênticos e caóticos. Em ligação unidireccional apresentamos as ligações por substituição completa ou parcial, por decomposição activo-passivo, por controle feedback negativo e por decomposição valor singular, indicando os critérios de estabilidade respectivos. No final desta secção abordamos também a ligação difusiva linear bidireccional e descrevemos, em termos do parâmetro de ligação, as várias transições de estabilidade do atractor caótico mergulhado na variedade de sincronização considerando as bifurcações caracterizadas pelas equações do sistema ligado. A Secção 2.2 é relativa à sincronização generalizada de sistemas dinâmicos contínuos não-idênticos. Na Secção 2.3 apresentamos a aplicação dos métodos descritos aos sistemas de Lorenz (Subsecção 2.3.1) e de Rössler (Subsecção 2.3.2), tomando em cada um deles valores paramétricos que conduzem a comportamento caótico. Uma das ligações estudadas usa também o sistema hipercaótico de Rössler de dimensão quatro. Muitos dos sistemas ligados são obtidos pela combinação dos diferentes esquemas de ligação com substituição parcial, em especial nos termos não-lineares do segundo sistema, ou total. São obtidos alguns resultados de estabilidade da sincronização assimptótica. Para averiguar acerca da estabilidade assimptótica local, calculamos os valores próprios da equação linearizada do sistema ligado ou estudamos os expoentes de Lyapunov transversais. Construindo uma função de Lyapunov apropriada cuja derivada pode ser majorada, conseguimos exibir condições dependentes do(s) parâmetro(s) de ligação que garantem estabilidade assimptótica global. Estas condições resultam da possibilidade de majorar a derivada da função de Lyapunov através de constantes que limitam as variáveis dinâmicas dos sistemas. Consta ainda desta secção uma descrição breve dos atractores caóticos dos sistemas de Lorenz e de Rössler.

No Capítulo 3 é estudada a dinâmica de sistemas caóticos discretos bidimensionais obtidos por ligação assimétrica. Na Secção 3.1 apresentamos o estudo de uma ligação que surge de forma natural a partir da família de transformações quadráticas complexas analíticas. A decomposição em partes real e imaginária de cada transformação resulta num sistema bidireccionalmente ligado de duas transformações quadráticas reais unidimensionais com parâmetros de controle distintos. O termo de ligação obtido é proporcional ao quadrado da diferença entre as variáveis dinâmicas dos sistemas componentes. No estudo

efectuado tomamos valores do parâmetro de controle que conduzem a comportamento caótico nas transformações componentes. Tanto quanto sabemos, esta ligação não foi até agora objecto de estudo. Com o objectivo de optimizar os resultados obtidos, também aplicamos ao sistema ligado uma técnica de controle, que estende o conhecido método de controle de caos de Ott-Grebogy-Yorke (OGY) [51], através de uma pequena perturbação do parâmetro de ligação. Nas restantes secções deste capítulo é apresentado o estudo de algumas variantes desta ligação. Exceptuando a apresentada na Secção 3.2, todas essas variantes foram construídas com o propósito de manter a ausência de simetria. Na Secção 3.2 é considerado o caso particular da ligação entre transformações idênticas. Continuamos a considerar um único parâmetro de ligação pois pretendemos averiguar acerca das vantagens da presença de simetria no sistema ligado. Trata-se ainda de uma ligação bidireccional entre sistemas idênticos que, ao que sabemos, também não foi ainda estudada. Na Secção 3.3 apresentamos o estudo efectuado numa generalização da ligação ao caso de parâmetros de ligação distintos em cada um dos sistemas componentes. Consideramos o caso de transformações idênticas (Subsecção 3.3.1) e não-idênticas (Subsecção 3.3.2). A Secção 3.4 consta do estudo da mesma ligação mas na configuração unidireccional respectiva. Trata-se de uma ligação assimétrica embora consideremos transformações idênticas. Para todas as ligações analisamos a dinâmica do sistema ligado e, de seguida, averiguamos acerca da estabilidade assimptótica local da sincronização, com base nos valores próprios da equação linearizada do sistema transversal e na estimação dos correspondentes expoentes de Lyapunov. Por análise da diferença entre as variáveis dinâmicas dos sistemas, estabelecemos alguns resultados que garantem a sua sincronização estável. As abordagens computacionais apresentadas, além de confirmarem esses resultados, elucidam acerca do estudo necessário em cada esquema de ligação para determinar os valores paramétricos que conduzem a sincronização estável.

## Capítulo 1

# Noções preliminares em dinâmica não-linear e sincronização de caos

Este capítulo tem por objectivo introduzir os conceitos e resultados fundamentais ao estudo da sincronização de sistemas dinâmicos caóticos, necessários nos capítulos seguintes, e fixar notação. Iniciamos com uma revisão de elementos gerais em dinâmica não-linear, tanto para sistemas dinâmicos discretos como contínuos. Prosseguimos a primeira secção com uma abordagem sobre conjuntos invariantes e questões relativas à sua estabilidade. Apresentamos algumas definições de conjunto atractor e o fenómeno de bacias de atracção riddled. Para uma melhor compreensão do comportamento caótico, definimos os expoentes de Lyapunov e a entropia topológica. Finalizamos com a descrição de algumas bifurcações frequentes na perda de sincronização, entre as quais a bifurcação blowout e a bubbling. Quando conveniente os conceitos e resultados são dados em separado para tempo discreto e para tempo contínuo. Na segunda secção expomos alguns dos regimes de comportamento caótico sincronizado: sincronização idêntica, generalizada e de fase. São também abordadas a estabilidade do estado sincrónico, com a determinação dos limiares de sincronização, e a transição de sincronização do ponto de vista topológico. Nesta secção os conceitos e resultados são apresentados para sistemas dinâmicos discretos, visto que os correspondentes para sistemas autónomos contínuos são análogos, com as devidas adaptações.

## 1.1 Generalidades em sistemas dinâmicos

No que segue apresentam-se algumas generalidades sobre sistemas dinâ-micos. A teoria clássica de sistemas dinâmicos consiste na análise das propriedades qualitativas e

do comportamento assimptótico dos sistemas. Para sistemas dinâmicos não-lineares, onde o princípio da sobreposição não é válido, os conceitos baseados em tempo finito perdem alguma da sua importância e dão lugar ao estudo dos estados assimptóticos, definidos em termos de conjuntos limite.

### 1.1.1 Sistemas dinâmicos

**Definição 1.1.1** Um sistema dinâmico S é um triplo  $(X, T, \phi^t)$ , onde T é um conjunto tempo com estrutura de grupo, o conjunto X é um espaço de estados e  $\phi^t : X \to X$  é uma lei de evolução parametrizada em  $t \in T$  que satisfaz as propriedades:

**(S1)** 
$$\phi^0 = id_X$$
,

(S2) 
$$\phi^{t+s} = \phi^t \circ \phi^s$$
,  $\forall t, s \in T$ , sempre que ambos os membros da igualdade estão definidos.

Seguindo a tradição da mecânica clássica, é usual designar X por espaço de fase. Para que exista uma estrutura natural que permita a comparação entre os estados, X é tomado como um espaço métrico completo. Conforme a dimensão de X o sistema dinâmico S diz-se de dimensão finita ou infinita.

Quando  $T \subseteq \mathbb{Z}$  o sistema dinâmico S diz-se discreto e quando  $T \subseteq \mathbb{R}$  diz-se contínuo. Para cada  $t \in T$ , a lei de evolução  $\phi^t$  está definida no espaço de fase X e transforma um estado inicial  $\mathbf{x}_0 \in X$  no estado  $\mathbf{x}_t \in X$ , ou seja,  $\mathbf{x}_t \equiv \phi^t(\mathbf{x}_0)$ . Os sistemas dinâmicos com  $\phi^t$  definida para  $t \geq 0$  e para t < 0 dizem-se invertíveis. Se S é invertível então o estado inicial  $\mathbf{x}_0$  não define apenas os estados futuros mas também os passados.

Uma órbita do sistema  $S = (X, T, \phi^t)$  com ponto inicial  $\mathbf{x}_0$  é o subconjunto ordenado do espaço de fase X, denotado por  $\mathcal{O}(\mathbf{x}_0)$ , definido como

$$\mathcal{O}(\mathbf{x}_0) \equiv \left\{ \mathbf{x} \in X \mid \mathbf{x} = \phi^t(\mathbf{x}_0), \ t \in T \right\}$$

para os valores de t em que  $\phi^t(\mathbf{x}_0)$  está definida. Cada órbita  $\mathcal{O}(\mathbf{x}_0)$  de S é o subconjunto do espaço de fase dos pontos relacionados com  $\mathbf{x}_0$  pela lei de evolução  $\phi^t$ . Se  $\mathbf{y}_0 = \phi^t(\mathbf{x}_0)$  para algum  $t \in T$ , as órbitas  $\mathcal{O}(\mathbf{x}_0)$  e  $\mathcal{O}(\mathbf{y}_0)$  coincidem. Assim, o conjunto de todas as órbitas de S constitui uma partição de X visto que órbitas diferentes não se intersectam em X.

Quando  $T = \mathbb{N}_0$  o sistema dinâmico S fica univocamente determinado por uma única transformação  $\mathbf{f} \equiv \phi^1$ . Dado  $\mathbf{x} \in X$ , a lei de evolução do sistema S pode ser escrita como uma equação às diferenças,

$$\mathbf{x}_{n+1} = \mathbf{f}\left(\mathbf{x}_n\right), \quad n \in \mathbb{N}_0$$

onde  $\mathbf{f}(\mathbf{x}_n) \equiv \mathbf{f}^n(\mathbf{x})$ , indicando que  $\mathbf{f}$  transforma cada estado  $\mathbf{x}_n$  no estado seguinte  $\mathbf{x}_{n+1}$ . O sistema (1.1) é linear se a transformação  $\mathbf{f}$  o for. Dada uma condição inicial  $\mathbf{x}_0 \in X$ , a órbita (trajectória) de  $\mathbf{x}_0$  é definida por

$$\mathcal{O}(\mathbf{x}_0) = \left\{ \mathbf{x}_0, \mathbf{f}(\mathbf{x}_0), \mathbf{f}^2(\mathbf{x}_0), \ldots \right\} = \left\{ \mathbf{f}^n(\mathbf{x}_0) \right\}_{n \in \mathbb{N}_0}$$

Se S é invertível então a órbita de  $\mathbf{x}_0 \in X$  é a sequência bilateral infinita

$$\mathcal{O}(\mathbf{x}_0) = \{\dots, \mathbf{f}^{-2}(\mathbf{x}_0), \mathbf{f}^{-1}(\mathbf{x}_0), \mathbf{x}_0, \mathbf{f}(\mathbf{x}_0), \mathbf{f}^{2}(\mathbf{x}_0), \dots\} = \{\mathbf{f}^{n}(\mathbf{x}_0)\}_{n \in \mathbb{Z}}.$$

Quando  $T = \mathbb{R}$  o sistema dinâmico é muitas vezes definido por um sistema de equações diferenciais. Suponha o espaço de fase  $X \subseteq \mathbb{R}^m$  com vectores estado  $\mathbf{x}$  de coordenadas  $\mathbf{x} = (x_1, x_2, \dots, x_m)$ . Dado um campo vectorial  $\mathbf{f} = (f_1, f_2, \dots, f_m) : X \to X$  com um certo grau de regularidade, a equação diferencial

(1.2) 
$$\dot{\mathbf{x}} \equiv \frac{d\mathbf{x}}{dt} = \mathbf{f}(\mathbf{x})$$

define um sistema dinâmico contínuo. Se  $\mathbf{f}$  não depende de t, então o sistema (1.2) diz-se autónomo e o tempo inicial pode ser tomado como  $t_0 = 0$ . O sistema contínuo (1.2) é linear se o campo vectorial  $\mathbf{f}$  o for.

Suponha que o campo vectorial  $\mathbf{f}$  em (1.2) está definido numa região aberta U de  $\mathbb{R}^m$  e é suave. Para cada  $\mathbf{x}_0 \in U$ , existe uma única função

$$\phi \equiv \phi_{\mathbf{x}_0} : \mathbb{R}^m \times \mathbb{R} \to \mathbb{R}^m$$

suave em  $(\mathbf{x},t)$  tal que  $\phi(\mathbf{x}_0,0) = \mathbf{x}_0$  e, para certo intervalo  $I = (-\delta_1, \delta_2) \subseteq \mathbb{R}$ , com  $\delta_{1,2} = \delta_{1,2}(\mathbf{x}_0) > 0$ , tem-se

$$\phi(\mathbf{x}_0, t) \in U$$
 e  $\dot{\phi}(\mathbf{x}_0, t) = \mathbf{f}(\phi(\mathbf{x}_0, t))$ 

onde  $t \in I$  e  $\dot{\phi}(\mathbf{x}_0, t)$  denota a derivada de  $\phi$  relativamente a  $\mathbf{x}$  calculada em  $\mathbf{x}_0$ . O grau de regularidade de  $\phi(\mathbf{x}_0, t)$  relativamente a  $\mathbf{x}_0$  é o mesmo que o de  $\mathbf{f}$  como função de  $\mathbf{x}$ . A função  $\phi(\mathbf{x}_0, t)$ , considerada como uma função de t, diz-se a solução de (1.2) para a condição inicial  $\mathbf{x}_0$ . Assim, para cada  $\mathbf{x}_0 \in U$ , está definida univocamente a curva solução em  $\mathbb{R}^m \times \mathbb{R}$ 

$$C(\mathbf{x}_0) \equiv \{ (\mathbf{x}, t) \in \mathbb{R}^m \times \mathbb{R} \mid \mathbf{x} = \phi(\mathbf{x}_0, t), \ t \in I \},$$

e a órbita de  $\mathbf{x}_0$  (ou trajectória através de  $\mathbf{x}_0$ ) como a sua projecção sobre o espaço de fase,

$$\mathcal{O}(\mathbf{x}_0) = \{ \mathbf{x} \in \mathbb{R}^m \mid \mathbf{x} = \phi(\mathbf{x}_0, t), \ t \in I \}.$$

Ambas as curvas são parametrizadas em t e orientadas no sentido de t crescente. O vector  $\mathbf{f}(\mathbf{x}_0) \neq \mathbf{0}$  é tangente à curva solução  $C(\mathbf{x}_0)$  em  $\mathbf{x}_0$ . A órbita  $\mathcal{O}(\mathbf{x}_0)$  evolui para fora da região U em  $t = -\delta_1$  (e/ou em  $t = \delta_2$ ), ou permanece em U para sempre; neste último caso pode tomar-se  $I = \mathbb{R}$ . É então possível considerar a transformação  $\phi^t : \mathbb{R}^m \to \mathbb{R}^m$  definida por  $\phi^t(\mathbf{x}_0) \equiv \phi(\mathbf{x}_0, t)$ , que atribui a  $\mathbf{x}_0$  o ponto, na órbita de  $\mathbf{x}_0$ , obtido ao fim de t unidades de tempo. Verificam-se as propriedades (S1) e (S2) e, portanto,  $S = (\mathbb{R}^m, \mathbb{R}, \phi^t)$  é um sistema dinâmico contínuo invertível. Cada transformação  $\phi^t$  está definida para  $\mathbf{x} \in U$  e  $t \in I$ , onde I depende de  $\mathbf{x}_0$  e é suave em  $\mathbf{x}$ . A família 1-parâmetro de aplicações  $\phi^t : U \to \mathbb{R}^m$  diz-se o fluxo local gerado pelo campo vectorial  $\mathbf{f}$ .

Do ponto de vista computacional, as equações às diferenças são frequentemente mais acessíveis do que os fluxos, visto que um computador pode calcular com grande precisão os pontos da órbita para qualquer condição inicial. Em geral, na obtenção das soluções num fluxo, está subjacente um integrador numérico que transforma efectivamente o fluxo numa transformação e resolve uma versão discreta do sistema contínuo.

O tipo de comportamento assimptótico mais simples é representado pela convergência dos estados de uma órbita para um estado particular.

**Definição 1.1.2** Seja  $S = (X, T, \phi^t)$  um sistema dinâmico definido num compacto X de dimensão finita por  $\phi^t : X \to X$  contínua. Dado  $\mathbf{x} \in X$ , um ponto  $\mathbf{x}_{\infty}$  diz-se  $\omega$ -limite de  $\mathbf{x}$  se existe uma sucessão  $\{t_k\}_k \subset T$  tal que  $t_k \to +\infty$  quando  $k \to +\infty$  e

$$\lim_{k\to+\infty}\phi^{t_k}\left(\mathbf{x}\right)=\mathbf{x}_{\infty}.$$

O conjunto de todos os pontos  $\omega$ -limite de  $\mathbf{x}$  para o sistema S diz-se o conjunto  $\omega$ -limite de  $\mathbf{x}$  e é denotado por  $\omega(\mathbf{x}, \phi^t)$ .

O conjunto  $\omega$ -limite  $\omega(\mathbf{x}, \phi^t)$  é o conjunto dos pontos de acumulação da órbita de  $\mathbf{x}$  e pode ser escrito como

$$\omega(\mathbf{x}, \phi^t) = \bigcap_{t \ge 0} \operatorname{cl} \bigcup_{s \ge t} \left\{ \phi^s(\mathbf{x}) \right\}$$

(onde cl(A) denota o fecho do conjunto A). O conjunto dos pontos recorrentes de  $\phi^t$ , denotado por  $\text{Rec}(\phi^t)$ , é dado como

$$\operatorname{Rec}\left(\phi^{t}\right) = \left\{\mathbf{x} \in X \mid \mathbf{x} \in \omega\left(\mathbf{x}, \phi^{t}\right)\right\}.$$

São válidas as seguintes propriedades:

- (L1) Para  $T = \mathbb{N}_0$ , se  $\mathcal{O}(\mathbf{x})$  é limitada então  $\omega(\mathbf{x}, \phi^t)$  é conexo;
- (L2) Se  $y = \phi^t(\mathbf{x})$  para um certo  $t \in T$  então  $\omega(\mathbf{x}, \phi^t) = \omega(\mathbf{y}, \phi^t)$ ;
- (L3) Se  $y \in \omega(\mathbf{x}, \phi^t)$  então  $\omega(\mathbf{y}, \phi^t) \subset \omega(\mathbf{x}, \phi^t)$ .

O conjunto  $\omega$ -limite do sistema dinâmico S define-se como o fecho do conjunto de todos os conjuntos  $\omega$ -limite,

$$\omega\left(\phi^{t}\right) = \operatorname{cl}\left(\bigcup_{\mathbf{x}\in X}\omega(\mathbf{x},\phi^{t})\right).$$

Se  $\phi^t$  é um homeomorfismo podem ainda ser definidos pontos limite e conjuntos limite tempo-inverso designados por pontos e conjuntos  $\alpha$ -limite. As definições são análogas às apresentadas substituindo  $t_k \to +\infty$  quando  $k \to +\infty$  por  $t_k \to -\infty$  quando  $k \to +\infty$ . É válida a igualdade

$$\alpha\left(\mathbf{x},\phi^{t}\right) = \omega(\mathbf{x},\left(\phi^{t}\right)^{-1}).$$

Um ponto  $\mathbf{x} \in X$  diz-se errante (ou não-recorrente) se, existe uma vizinhança aberta U de  $\mathbf{x}$  e um tempo t' tal que, para t > t', se verifica

$$\phi^{t'}(U) \cap U = \emptyset.$$

Um conjunto errante é uma colecção de pontos errantes. Quando um sistema dinâmico tem um conjunto errante de medida positiva, então a lei de evolução  $\phi^t$  do sistema diz-se dissipativa (e o sistema S diz-se dissipativo). Caso contrário, a lei  $\phi^t$  diz-se conservativa (e o sistema S diz-se conservativo). O conceito de conjunto errante formaliza uma certa ideia de "mistura" no sistema dinâmico.

**Definição 1.1.3** Os sistemas dinâmicos  $S = (X, T, \phi^t)$  e  $S' = (Y, T, \psi^t)$  dizem-se topologicamente (ou qualitativamente) equivalentes se existe um homeomorfismo  $\mathbf{h}: X \to Y$  que aplica órbitas de S em órbitas de S' e uma função reparametrização  $\gamma: T \times X \to T$  tal que

$$\left(\mathbf{h} \circ \phi^{\gamma(t,\mathbf{x})}\right)(x) = \left(\psi^t \circ \mathbf{h}\right)(\mathbf{x}), \quad \forall \mathbf{x} \in X, \ \forall t \in T$$

onde, para cada  $\mathbf{x}$  fixado, é assumido que  $\gamma(t, \mathbf{x})$  é monótona crescente em t e sobrejectiva em T.

Os retratos de fase de sistemas topologicamente equivalentes também se dizem topologicamente equivalentes. Quando não é exigida a existência da função  $\gamma$  mas apenas de um homeomorfismo que aplique órbitas de S em órbitas de S',

$$\phi^{t}(\mathbf{x}) = (\mathbf{h}^{-1} \circ \psi^{t} \circ \mathbf{h})(\mathbf{x}), \quad \forall \mathbf{x} \in X, \ \forall t \in T,$$

não são preservadas muitas da propriedades geométricas do retrato de fase (em particular a orientação no tempo) e os sistemas dizem-se topologicamente conjugados, sendo  ${\bf h}$  uma conjugação topológica entre eles. Se  ${\bf h}$  não é um homeomorfismo mas apenas uma função sobrejectiva contínua tal que  ${\bf h} \circ \phi^t = \psi^t \circ {\bf h}$ , então os sistemas S e S' dizem-se topologicamente semi-conjugados.

Se  $S = (X, \mathbb{Z}, \phi^1 \equiv \mathbf{f})$  e  $S' = (Y, \mathbb{Z}, \psi^1 \equiv \mathbf{g})$  são sistemas topologicamente equivalentes através de um homeomorfismo  $\mathbf{h}: X \to Y$ , então é válida a igualdade de funções

$$\mathbf{f} = \mathbf{h}^{-1} \circ \mathbf{g} \circ \mathbf{h}.$$

As transformações  $\mathbf{f}$  e  $\mathbf{g}$  dizem-se topologicamente conjugadas. A conjugação topológica define uma relação de equivalência muito útil em teoria de sistemas dinâmicos, pois cada classe contém todas as transformações que partilham a mesma dinâmica do ponto de vista topológico. Se os homeomorfismos  $\mathbf{h}$  e  $\mathbf{h}^{-1}$  são de classe  $C^k$ ,  $0 \le k \le r$ , as transformações  $\mathbf{f}$  e  $\mathbf{g}$  dizem-se  $C^k$ -conjugadas. Para  $k \ge 1$  as transformações  $C^k$ -conjugadas (e os correspondentes retratos de fase) dizem-se suavemente conjugadas ou difeomorfas. Dois sistemas discretos difeomorfos podem ser considerados como o mesmo sistema mas escrito em diferentes sistemas de coordenadas e  $\mathbf{h}$  pode ser entendido como a mudança de coordenadas suave entre eles.

**Definição 1.1.4** Seja  $S = (X, \mathbb{Z}, \mathbf{f})$  um sistema dinâmico definido numa variedade suave compacta X por uma transformação  $\mathbf{f}$  de classe  $C^r$ ,  $r \geq 1$ . Diz-se que  $\mathbf{f}$  é  $C^k$ -estruturalmente estável se existe uma vizinhança U de  $\mathbf{f}$  no espaço dos homeomorfismos de X, Homeo(X), munido da topologia  $C^r$ , tal que cada elemento de U é topologicamente conjugado a  $\mathbf{f}$  através de um homeomorfismo  $\mathbf{h}$  de classe  $C^k$ ,  $1 \leq k \leq r$ .

Enquanto em tempo discreto a conjugação topológica  $\mathbf{h}$  pode ser vista como uma relação de equivalência, em tempo contínuo é exigida a noção de equivalência topológica. Para sistemas dinâmicos contínuos  $S = (X, \mathbb{R}, \phi^t)$  e  $S' = (Y, \mathbb{R}, \psi^t)$  não basta exigir que as órbitas de  $\phi^t$  sejam aplicadas homeomorficamente em órbitas de  $\psi^t$ . É necessário que as aplicações  $\phi^t$  e  $\psi^t$  sejam topologicamente conjugadas para cada t, ou seja,

$$h\left(\mathcal{O}\left(\mathbf{x};\phi\right)\right) = \left\{h\left(\phi^{t}\left(\mathbf{x}\right)\right) \mid t \in \mathbb{R}\right\} = \left\{\psi^{t}\left(h\left(\mathbf{x}\right)\right) \mid t \in \mathbb{R}\right\} = \mathcal{O}\left(h\left(\mathbf{x}\right);\psi\right),$$

para cada órbita  $\mathcal{O}(\mathbf{x}; \phi)$  de  $\mathbf{x} \in X$  por  $\phi^t$ , e que seja preservada a orientação das órbitas. Assim é a equivalência topológica que fornece uma partição do conjunto de todos os fluxos em X em classes de equivalência de fluxos que partilham a mesma dinâmica, ainda do ponto de vista topológico.

Para sistemas dinâmicos contínuos S e S' topologicamente equivalentes definidos em  $X \subseteq \mathbb{R}^m$  por  $\dot{\mathbf{x}} = \mathbf{f}(\mathbf{x})$  e  $\dot{\mathbf{y}} = \mathbf{g}(\mathbf{y})$ , respectivamente, não existe uma relação explícita entre  $\mathbf{f}$  e  $\mathbf{g}$  análoga à fórmula (1.3) obtida no caso discreto. Contudo existem pelo menos dois casos particulares de equivalência topológica que podem ser expressos analiticamente [34].

Tal como em tempo discreto, pode ser considerada a seguinte relação, com vista à análise da robustez de um sistema dinâmico contínuo a pequenas perturbações.

**Definição 1.1.5** Seja  $S = (X, \mathbb{R}, \phi^t)$  um sistema dinâmico definido numa variedade suave X por  $\dot{\mathbf{x}} = \mathbf{f}(\mathbf{x})$  onde  $\mathbf{f}$  é de classe  $C^r$ ,  $r \geq 1$ . O campo vectorial  $\mathbf{f}$  diz-se  $C^k$ -estruturalmente estável se existe uma vizinhança U de  $\mathbf{f}$  no espaço  $\mathbf{f}^r(X)$  dos campos vectoriais de classe  $C^r$ , munido da topologia  $C^r$ , tal que cada campo vectorial em U gera um fluxo em X topologicamente equivalente ao fluxo gerado por  $\mathbf{f}$  através de um homeomorfismo  $\mathbf{h}$  de classe  $C^k$ ,  $1 \leq k \leq r$ .

## 1.1.2 Conjuntos invariantes e sua estabilidade

Seja  $S = (X, T, \phi^t)$  um sistema dinâmico. Um ponto  $\mathbf{x}^* \in X$  diz-se um ponto de equilíbrio ou um ponto fixo se, para todo o  $t \in T$ ,

$$\phi^t\left(\mathbf{x}^*\right) = \mathbf{x}^*.$$

A órbita de  $\mathbf{x}^*$  consiste num único ponto e diz-se constante. Em geral, o termo "ponto de equilíbrio" é usado para sistemas contínuos e o termo "ponto fixo" para discretos.

Um ponto  $\mathbf{x}^* \in X$  diz-se periódico se, para algum t' > 0 e para todo o  $t \in T$ , é válida a igualdade

$$\phi^{t+t'}\left(\mathbf{x}^*\right) = \phi^{t'}\left(\mathbf{x}^*\right).$$

O menor número t' que satisfaz esta condição diz-se o período do ponto periódico  $\mathbf{x}^*$ . A órbita de  $\mathbf{x}^*$  diz-se periódica (ou ciclo). Se o sistema S inicia num ponto  $\mathbf{x}$  de um ciclo, ele retorna a esse ponto após cada t' unidades de tempo.

Quando  $T = \mathbb{N}_0$ , uma órbita periódica da equação às diferenças (1.1) de período N é um conjunto finito de pontos

$$\mathcal{O}\left(\mathbf{x}^{*}\right)=\left\{ \mathbf{x}_{n}=\mathbf{f}^{n}\left(\mathbf{x}^{*}\right)\mid n=0,1,\ldots,N-1\right\} ,$$

com  $\mathbf{f}^N(\mathbf{x}^*) = \mathbf{x}^*$  e  $\mathbf{f}^n(\mathbf{x}^*) \neq \mathbf{x}^*$  para todo o 0 < n < N. Se N = 1,  $\mathbf{x}^*$  é um ponto fixo. O conjunto dos pontos periódicos de  $\mathbf{f}$  é denotado por  $Per(\mathbf{f})$  e o número de pontos periódicos de  $\mathbf{f}$  de período N (não necessariamente mínimo) por  $P_N(\mathbf{f})$ . Identificar os pontos periódicos de período N de um sistema dinâmico discreto, ou seja, resolver a equação  $\mathbf{f}^N(\mathbf{x}) = \mathbf{x}$ , pode ser uma tarefa difícil; por exemplo, para uma função quadrática, corresponde a resolver uma equação polinomial de grau  $2^N$ . Quando não é possível a determinação explícita dos pontos periódicos, podem ser aplicadas técnicas analíticas que averiguem acerca da sua existência. Um ponto  $\mathbf{x}^* \in X$  diz-se eventualmente periódico de período N se não é periódico mas existe k > 0 tal que

$$\mathbf{f}^{N+i}\left(\mathbf{x}^*\right) = \mathbf{f}^i\left(\mathbf{x}^*\right)$$

para todo o  $i \geq k$ , ou seja,  $\mathbf{f}^i(\mathbf{x}^*)$  é periódico para  $i \geq k$ . Um ponto  $\mathbf{x} \in X$  diz-se aperiódico se  $\mathbf{f}^{n_1}(\mathbf{x}) \neq \mathbf{f}^{n_2}(\mathbf{x})$  sempre que  $n_1 \neq n_2$ . Seja d a métrica tomada em X. Dado um ponto aperiódico  $\mathbf{x}^*$ , um ponto  $\mathbf{x} \in X$  diz-se assimptótico para  $\mathbf{x}^*$  se

$$\lim_{n\to\infty} d\left(\mathbf{f}^n\left(\mathbf{x}\right), \mathbf{f}^n\left(\mathbf{x}^*\right)\right) = 0.$$

Considere agora  $T = \mathbb{R}^0_+$ . Se  $\mathbf{x}^* \in \mathbb{R}^m$  é um ponto de equilíbrio do sistema dinâmico suave definido por (1.2) então  $\mathbf{x}^*$  é um zero do campo vectorial  $\mathbf{f}$ ,  $\mathbf{f}(\mathbf{x}^*) = \mathbf{0}$ . Se  $\mathbf{x}^*$  é um ponto periódico, a órbita de  $\mathbf{x}^*$  é uma curva fechada. Neste caso o ponto  $\mathbf{x}^*$  não é o único ponto periódico de  $\mathcal{O}(\mathbf{x}^*)$ : se  $\mathbf{x}^*$  é periódico de período t' e  $\mathbf{x} \in \mathcal{O}(\mathbf{x}^*)$ , então  $\mathbf{x}$  também é um ponto períodico com o mesmo período. Se numa vizinhança de uma órbita periódica  $\mathcal{O}(\mathbf{x}^*)$  não existem outras órbitas periódicas, ou seja, se existe um ponto  $\mathbf{x} \notin \mathcal{O}$  tal que  $\omega(\mathbf{x}, \phi^t) = \mathcal{O}(\mathbf{x}^*)$ , então  $\mathcal{O}(\mathbf{x}^*)$  diz-se isolada ou um ciclo limite. Em particular, o conjunto  $\omega$ -limite de um ponto  $\mathbf{x}$  pertencente a um ciclo limite no plano é a curva fechada dos pontos da trajectória  $\phi^t(\mathbf{x})$  difeomorfa à circunferência unitária  $\mathcal{S} \equiv \{z \in \mathbb{C} : |z| = 1\}$  do plano complexo.

**Definição 1.1.6** Seja d a métrica tomada em X e  $\mathbf{x}^*$  um ponto periódico do sistema S. O conjunto dos pontos assimptóticos para  $\mathbf{x}^*$  definido como

$$W^{s}\left(\mathbf{x}^{*}\right) \equiv \left\{\mathbf{x} \in X \mid d\left(\phi^{t}\left(\mathbf{x}\right), \phi^{t}\left(\mathbf{x}^{*}\right)\right) \rightarrow 0 \text{ quando } t \rightarrow +\infty\right\}$$

diz-se o conjunto estável de  $\mathbf{x}^*$ . Se o sistema S é invertível, define-se analogamente o conjunto dos pontos assimptóticos para  $\mathbf{x}^*$  como

$$W^{u}\left(\mathbf{x}^{*}\right)\equiv\left\{ \mathbf{x}\in X\mid d\left(\phi^{-t}\left(\mathbf{x}\right),\phi^{-t}\left(\mathbf{x}^{*}\right)\right)\rightarrow0\ quando\ t\rightarrow+\infty\right\} ,$$

designado por conjunto instável de  $\mathbf{x}^*$ .

Os conjuntos estável e instável de um ponto periódico  $\mathbf{x}^*$  verificam  $\phi^t(W^{s,u}(\mathbf{x}^*)) \subseteq W^{s,u}(\mathbf{x}^*)$ , para todo o  $t \in T$ .

**Definição 1.1.7** Um subconjunto  $\mathcal{A}$  do espaço de fase de um sistema dinâmico  $S = (X, T, \phi^t)$  diz-se  $\phi^t$ -absorvente se  $\phi^t(\mathcal{A}) \subseteq \mathcal{A}$ , e diz-se  $\phi^t$ -invariante se  $\phi^t(\mathcal{A}) = \mathcal{A}$ .

Qualquer órbita de S é um conjunto invariante. Por outro lado um subconjunto invariante consiste em órbitas do sistema. Para a métrica tomada em X podem considerar-se conjuntos invariantes fechados em X. Os pontos de equílibrio e as órbitas periódicas são os exemplos mais simples de conjuntos invariantes fechados. Os sistemas dinâmicos diferenciáveis invertíveis muito simples podem exibir conjuntos invariantes fechados extremamente complexos, contendo um número infinito de órbitas periódicas e não-periódicas. Se X é compacto, os conjuntos  $\alpha$ - e  $\omega$ -limite são exemplos de conjuntos invariantes compactos não-vazios.

Define-se o conjunto estável e instável de um conjunto invariante  $\mathcal{A} \subset X$  como

$$W^{s}(\mathcal{A}) \equiv \left\{ \mathbf{x} \in X \mid d\left(\phi^{t}\left(\mathbf{x}\right), \phi^{t}\left(\mathcal{A}\right)\right) \to 0 \text{ quando } t \to +\infty \right\}$$

$$W^{u}\left(\mathcal{A}\right) \equiv \left\{x \in X \mid d\left(\phi^{-t}\left(\mathbf{x}\right), \phi^{-t}\left(\mathcal{A}\right)\right) \to 0 \text{ quando } t \to +\infty\right\}$$

de que são casos particulares os conjuntos invariantes  $W^{s,u}(\mathbf{x}^*)$  de um ponto de equilíbrio  $\mathbf{x}^*$ .

Se uma órbita é ligeiramente perturbada, a evolução daí decorrente pode não diferir demasiado da relativa à órbita original não perturbada. No entanto o efeito da perturbação também pode ser progressivamente eliminado com o decorrer do tempo. Em causa estão diferentes noções de estabilidade em sistemas dinâmicos. Seguem-se as definições para o caso mais geral de conjuntos invariantes.

**Definição 1.1.8** Seja d a métrica definida em X para um sistema dinâmico  $S = (X, T, \phi^t)$ . A órbita de um ponto  $\mathbf{x} \in X$  diz-se:

(E1) Lyapunov estável ou estável se, para qualquer  $\epsilon > 0$ , existe um  $\delta(\epsilon) > 0$  tal que

$$d\left(\phi^{t}\left(\mathbf{\tilde{x}}\right),\phi^{t}\left(\mathbf{x}\right)\right)<\epsilon$$

sempre que  $d(\mathbf{\tilde{x}}, \mathbf{x}) < \delta(\epsilon)$ ; caso contrário, a órbita de  $\mathbf{x}$  diz-se instável.

(E2) assimptoticamente estável ou atractora se é Lyapunov estável e existe um  $\xi > 0$  tal que

$$\lim_{t \to +\infty} d\left(\phi^{t}\left(\tilde{\mathbf{x}}\right), \phi^{t}\left(\mathbf{x}\right)\right) = 0$$

sempre que  $d(\tilde{\mathbf{x}}, \mathbf{x}) < \xi$ .

Define-se a bacia de atracção de uma órbita atractora  $\mathcal{O}(\mathbf{x})$  como

$$\mathcal{B}\left(\mathcal{O}\left(\mathbf{x}\right)\right) = \left\{\tilde{\mathbf{x}} \in X \mid \omega\left(\tilde{\mathbf{x}}, \phi^{t}\right) = \mathcal{O}\left(\mathbf{x}\right)\right\}.$$

A Definição 1.1.8 é generalizável a qualquer conjunto invariante  $\mathcal{A} \subset X$ . As órbitas periódicas assimptoticamente estáveis são exemplos de ciclos limite. Um sistema dinâmico S que possui uma órbita periódica assimptoticamente estável diz-se um oscilador.

Se um ponto de equilíbrio  $\mathbf{x}^*$  é assimptoticamente estável ou atractor então é Lyapunov estável e existe um  $\delta > 0$  tal que  $d(\mathbf{x}, \mathbf{x}^*) < \delta$  implica

$$\omega\left(\mathbf{x},\phi^{t}\right)=\left\{\mathbf{x}^{*}\right\}.$$

Conforme se expõe de seguida, em separado para tempo discreto e tempo contínuo, o estudo da estabilidade de um ponto de equilíbrio num sistema não-linear baseia-se no sinal dos valores próprios da linearização do sistema em torno desse ponto – o método de linearização – ou na análise de uma função de Lyapunov apropriada – o método directo de Lyapunov. Em alguns casos, pode ser feito o estudo quantitativo determinando os vectores próprios associados a cada valor próprio. Quando é possível obter uma função de Lyapunov, esta fornece uma caracterização global da estabilidade.

**Tempo discreto.** Considere a equação às diferenças (1.1) definida num subconjunto aberto  $X \subset \mathbb{R}^m$  por um difeomorfismo não-linear  $\mathbf{f}: X \to X$  de classe  $C^r$  com  $r \ge 1$ . Dado um ponto periódico do sistema, existem condições suficientes para a sua estabilidade assimptótica em termos da transformação linear associada à sua órbita.

Seja  $\mathbf{x}^*$  um ponto periódico de  $\mathbf{f}$  de período N. Os pontos  $\mathbf{x}_1, \mathbf{x}_2, \dots, \mathbf{x}_N$  da órbita de  $\mathbf{x}^*$  são pontos fixos da transformação  $\mathbf{f}^N$ . Pode associar-se à N-ésima iterada  $\mathbf{f}^N$  a transformação linear em  $\mathbb{R}^m$ 

$$\mathbf{y}_{n+1} = \mathbf{Df}^{N}\left(\mathbf{x}_{j}\right) \cdot \mathbf{y}_{n}$$

para  $j=1,\ldots,N$ , onde  $\mathbf{Df}^{N}\left(\mathbf{x}_{j}\right)$  é a matriz Jacobiana de  $\mathbf{f}^{N}$  calculada em  $\mathbf{x}_{j}$ . Os valores próprios da matriz  $\mathbf{Df}^{N}\left(\mathbf{x}_{j}\right)$ ,  $j=1,\ldots,N$ , são os mesmos em cada ponto  $\mathbf{x}_{j}$  da órbita de  $\mathbf{x}^{*}$ .

Considere a circunferência unitária S do plano complexo. No que segue denota-se por  $n_0$  o número de valores próprios situados em S e por  $n_ (n_+)$  o número de valores próprios no interior (exterior) de S.

**Teorema 1.1.1** Seja  $\mathbf{x}^*$  um ponto periódico de período N do sistema dinâmico definido num aberto  $X \subset \mathbb{R}^m$  por  $\mathbf{x}_{n+1} = \mathbf{f}(\mathbf{x}_n)$  onde  $\mathbf{f}$  é um difeomorfismo de classe  $C^r$  com  $r \geq 1$ . Se à matriz Jacobiana  $\mathbf{A} \equiv \mathbf{D}\mathbf{f}^N(\mathbf{x}^*)$  corresponde  $n_0 = 0$ , então a estabilidade assimptótica do ponto fixo  $\mathbf{y} = \mathbf{0}$  da transformação linear  $\mathbf{y}_{n+1} = \mathbf{A} \cdot \mathbf{y}_n$  corresponde à estabilidade assimptótica de  $\mathbf{x}^*$ .

Se  $n_0 \neq 0$  a estabilidade não pode ser facilmente determinada com base na matriz  $\mathbf{Df}^N(\mathbf{x}^*)$ . A proposição seguinte estabelece a estabilidade assimptótica de um ponto fixo único quando  $n_0 = n_+ = 0$ .

**Proposição 1.1.1** Seja  $S = (X, \mathbb{Z}, \mathbf{f})$  um sistema dinâmico definido num aberto  $X \subset \mathbb{R}^m$  por uma difeomorfismo  $\mathbf{f}$  de classe  $C^r$  com  $r \ge 1$ . Se  $\mathbf{x}^*$  é o único ponto fixo de S, então  $\mathbf{x}^*$  é assimptoticamente estável se os valores próprios de  $\mathbf{Df}(\mathbf{x}^*)$  verificam  $n_0 = n_+ = 0$ .

Em sistemas dinâmicos não-lineares que não são definidos por uma contracção, podem existir mais do que um ponto fixo. Neste caso, nenhum dos pontos fixos tem estabilidade assimptótica global. Quando existem vários pontos fixos assimptoticamente estáveis, diz-se que o sistema exibe multiestabilidade.

Os pontos fixos de um difeomorfismo  $\mathbf{f}$  definido em  $X \subset \mathbb{R}^m$  correspondem à intersecção do gráfico de  $\mathbf{f}$ ,  $\operatorname{Graf}(f) = \{(\mathbf{x}, \mathbf{f}(\mathbf{x})) \in X \times X \mid \mathbf{x} \in X\}$ , com a diagonal principal  $D = \{(\mathbf{x}, \mathbf{x}) \mid \mathbf{x} \in X\}$ .

Duas subvariedades  $\mathcal{M}$  e  $\mathcal{N}$  de  $\mathbb{R}^m$  dizem-se transversais em  $\mathbf{x} \in \mathbb{R}^m$ , e denota-se por  $\mathcal{M} \pitchfork_{\mathbf{x}} \mathcal{N}$ , se  $\mathbf{x} \notin \mathcal{M} \cap \mathcal{N}$  ou  $\mathcal{T}_x \mathcal{M} + \mathcal{T}_x \mathcal{N} = \mathcal{T}_x \mathbb{R}^m$ , onde  $\mathcal{T}_x \mathcal{M}$  é o plano tangente de  $\mathcal{M}$  no ponto  $\mathbf{x}$ . As subvariedades  $\mathcal{M}$  e  $\mathcal{N}$  dizem-se transversais entre si,  $\mathcal{M} \pitchfork \mathcal{N}$ , se  $\mathcal{M} \pitchfork_{\mathbf{x}} \mathcal{N}$  para todo o  $\mathbf{x} \in \mathcal{M} \cap \mathcal{N}$ .

**Definição 1.1.9** Seja  $\mathbf{f}: X \to X$  uma transformação diferenciável. Um ponto fixo  $\mathbf{x}^*$  de  $\mathbf{f}$  diz-se transversal se  $\operatorname{Graf}(\mathbf{f}) \pitchfork_{\mathbf{x}^*} D$  em  $X \times X$ .

A persistência de tais pontos fixos está relacionada com a Proposição 1.1.1 e é exposta na proposição seguinte.

**Proposição 1.1.2** Seja  $\mathbf{f}: X \to X$  uma transformação diferenciável. Um ponto fixo  $\mathbf{x}^*$  é transversal se e só se  $\Lambda = 1$  não é um valor próprio da matriz Jacobiana  $D\mathbf{f}(\mathbf{x}^*)$ .

Um outro método para determinar a estabilidade de um ponto fixo baseia-se no conceito de função de Lyapunov. Seja  $S = (X, \mathbb{Z}, \mathbf{f})$  um sistema dinâmico definido em  $X \subset \mathbb{R}^m$  por um difeomorfismo  $\mathbf{f}$ . A função  $L : \mathbb{R}^m \to \mathbb{R}$  de classe  $C^1$  diz-se uma função de Lyapunov (fraca) para S numa vizinhança aberta U de  $\mathbf{x}^*$  contida em X se  $\mathbf{L}(\mathbf{x}^*) = 0$ ,

$$\mathbf{L}(\mathbf{x}) > 0$$
 e  $(\mathbf{L} \circ \mathbf{f})(\mathbf{x}) \leq \mathbf{L}(\mathbf{x})$ 

para todo o  $\mathbf{x} \in U \setminus \{\mathbf{x}^*\}$ , e  $(\mathbf{L} \circ \mathbf{f})(\mathbf{x}^*) = \mathbf{L}(\mathbf{x}^*)$ . Segue da definição que  $\mathbf{f}(\mathbf{x}^*) = \mathbf{x}^*$ , ou seja, que  $\mathbf{x}^*$  é um ponto fixo de  $\mathbf{f}$ . Se é ainda válido  $(\mathbf{L} \circ \mathbf{f})(\mathbf{x}) < \mathbf{L}(\mathbf{x})$  para todo o  $\mathbf{x} \in U \setminus \{\mathbf{x}^*\}$ , então  $\mathbf{L}$  diz-se uma função de Lyapunov estrita (forte ou completa).

**Teorema 1.1.2** (Método directo de Lyapunov) Seja  $\mathbf{x}^*$  um ponto fixo do sistema dinâmico  $S = (X, \mathbb{Z}, \mathbf{f})$  definido em  $X \subset \mathbb{R}^m$  por um difeomorfismo  $\mathbf{f}$ . Se existe uma vizinhança U de  $\mathbf{x}^*$  e uma função de Lyapunov  $\mathbf{L}: U \to \mathbb{R}$  para o sistema S, então  $\mathbf{x}^*$  é Lyapunov estável. Se existe uma função de Lyapunov estrita então  $\mathbf{x}^*$  é assimptoticamente estável.

A estabilidade garantida pelo método directo de Lyapunov não é local visto que a bacia de atracção de  $\mathbf{x}^*$  contém todo o conjunto aberto U. Além disso, se é possível considerar U = X, então  $\mathbf{x}^*$  diz-se globalmente assimptoticamente estável.

Segue-se a definição de ponto fixo hiperbólico. Como um ponto periódico de período N é um ponto fixo para  $\mathbf{f}^N$ , para o propósito de análise local é suficiente considerar apenas pontos fixos hiperbólicos.

**Definição 1.1.10** Seja  $S = (X, \mathbb{Z}, \mathbf{f})$  um sistema dinâmico definido num aberto  $X \subset \mathbb{R}^m$  onde  $\mathbf{f}$  é um difeomorfismo de classe  $C^1$ . Um ponto fixo  $\mathbf{x}^*$  diz-se hiperbólico se à matriz Jacobiana  $\mathbf{Df}(\mathbf{x}^*)$  corresponde  $n_0 = 0$ .

Dada a invertibilidade de  $\mathbf{f}$ , a matriz  $\mathbf{Df}(\mathbf{x}^*)$  não tem valores próprios nulos. Visto que uma matriz genérica não tem valores próprios com módulo 1, a hiperbolicidade é uma propriedade frequente em sistemas dinâmicos discretos. Um ponto fixo hiperbólico é transversal, mas o inverso não é necessariamente verdade.

Se  $\mathbf{x}^*$  é um ponto periódico de período N, então  $\mathbf{x}^*$  é hiperbólico se a matriz Jacobiana  $\mathbf{Df}^N(\mathbf{x}^*)$  verifica  $n_0 = 0$ . Um ponto periódico hiperbólico diz-se uma sela se  $n_+ \neq 0$  e  $n_- \neq 0$ , e diz-se um nodo ou ponto periódico atractor (foco ou ponto periódico repulsor) se  $n_- = m$  ( $n_+ = m$ ), onde m é a dimensão do espaço de fase.

**Teorema 1.1.3** (de Hartman-Grobman) Seja  $\mathbf{x}^*$  um ponto fixo hiperbólico do sistema dinâmico  $S = (X, \mathbb{Z}, \mathbf{f})$  definido num aberto  $X \subset \mathbb{R}^m$  por um difeomorfismo  $\mathbf{f}$  de classe  $C^r$  com  $r \geq 1$ . Então, existem vizinhanças U de  $\mathbf{x}^*$  e V de  $\mathbf{0}$  e um homeomorfismo  $\mathbf{h}: V \to U$  tais que

$$(\mathbf{f} \circ \mathbf{h})(\mathbf{x}) = (\mathbf{h} \circ \mathbf{Df})(\mathbf{x}), \quad \forall \mathbf{x} \in V.$$

Corolário 1.1.1 Nas condições do teorema anterior, se  $\mathbf{x}^*$  é uma sela ou um foco então  $\mathbf{x}^*$  não é Lyapunov estável (é instável). Se  $\mathbf{x}^*$  é um nodo então  $\mathbf{x}^*$  é assimptoticamente estável.

Nas condições do Teorema de Hartman-Grobman, o espaço tangente de X em  $\mathbf{x}^*$  pode ser decomposto na soma directa (de Whitney)

$$\mathcal{T}_{\mathbf{x}^*}X = E^u_{\mathbf{x}^*} \oplus E^s_{\mathbf{x}^*}$$

de dois subespaços  $E_{\mathbf{x}^*}^u$  e  $E_{\mathbf{x}^*}^s$  invariantes para  $\mathbf{Df}(\mathbf{x}^*)$ , tais que os vectores de  $E_{\mathbf{x}^*}^s$  ( $E_{\mathbf{x}^*}^u$ ) verificam propriedades de contracção (expansão), para certas constantes reais C > 0 e  $\alpha \in (0,1)$ . O subespaço  $E_{\mathbf{x}^*}^s$  ( $E_{\mathbf{x}^*}^u$ ) é o subespaço próprio generalizado gerado pelos valores próprios  $\Lambda_i$ , i = 1, ..., m, da matriz Jacobiana  $\mathbf{Df}(\mathbf{x}^*)$  com  $|\Lambda_i| < 1$  ( $|\Lambda_i| > 1$ ) e, como tal, diz-se o espaço próprio estável (instável). Se existe uma decomposição (1.4) para cada  $\mathbf{x} \in X$ , o difeomorfismo  $\mathbf{f}$  diz-se uniformemente hiperbólico ou de Anosov.

Teorema 1.1.4 (Variedades estável e instável locais) Seja  $\mathbf{x}^*$  um ponto fixo hiperbólico do sistema dinâmico  $S = (X, \mathbb{Z}, \mathbf{f})$  definido num aberto X de  $\mathbb{R}^m$  por um difeomorfismo  $\mathbf{f}$  de classe  $C^r$  com  $r \geq 1$ . Para  $\epsilon > 0$  suficientemente pequeno, os conjuntos

$$W_{loc}^{s}(\mathbf{x}^{*}) = \left\{ \mathbf{x} \in X \mid d\left(\mathbf{f}^{i}(\mathbf{x}), \mathbf{x}^{*}\right) \leq \epsilon, i \geq 0 \right\}$$

e

$$W_{loc}^{u}(\mathbf{x}^{*}) = \left\{ \mathbf{x} \in X \mid d\left(\mathbf{f}^{-i}(\mathbf{x}), \mathbf{x}^{*}\right) \leq \epsilon, i \geq 0 \right\},$$

contidos em intersecções de  $W^s(\mathbf{x}^*)$  e  $W^u(\mathbf{x}^*)$  com uma vizinhança suficientemente pequena de  $\mathbf{x}^*$ , são subvariedades suaves de dimensão  $n_-$  e  $n_+$ , respectivamente. Além disso,  $W^s_{loc}(\mathbf{x}^*)$  ( $W^u_{loc}(\mathbf{x}^*)$ ) é tangente ao subespaço linear  $E^s_{\mathbf{x}^*}$  ( $E^u_{\mathbf{x}^*}$ ) em  $\mathbf{x}^*$ ,

$$\mathcal{T}_{\mathbf{x}^*}W_{loc}^s(\mathbf{x}^*) = E_{\mathbf{x}^*}^s \quad e \quad \mathcal{T}_{\mathbf{x}^*}W_{loc}^u(\mathbf{x}^*) = E_{\mathbf{x}^*}^u,$$

e existem constantes C > 0 e  $\alpha \in (0,1)$  tais que

$$d\left(\mathbf{f}^{i}(\mathbf{x}), \mathbf{x}^{*}\right) \leq C \cdot \alpha^{i} \cdot d\left(\mathbf{x}, \mathbf{x}^{*}\right), \quad \mathbf{x} \in W_{loc}^{s}\left(\mathbf{x}^{*}\right), i \geq 0$$

e

$$d\left(\mathbf{f}^{-i}(\mathbf{x}), \mathbf{x}^*\right) \leq C \cdot \alpha^i \cdot d\left(\mathbf{x}, \mathbf{x}^*\right), \quad \mathbf{x} \in W_{loc}^u(\mathbf{x}^*), i \geq 0.$$

A variedade  $W^s_{loc}(\mathbf{x}^*)$   $(W^u_{loc}(\mathbf{x}^*))$  é continuamente dependente de  $\mathbf{x}^*$  e diz-se a variedade invariante estável (instável) local de  $\mathbf{x}^*$ . Estas variedades têm as mesmas propriedades de regularidade que a transformação  $\mathbf{f}$ . Os conjuntos

$$W^{s}(\mathbf{x}^{*}) = \bigcup_{i \geq 0} \mathbf{f}^{-i}(W^{s}_{loc}(\mathbf{x}^{*}))$$
 e  $W^{u}(\mathbf{x}^{*}) = \bigcup_{i \geq 0} \mathbf{f}^{i}(W^{u}_{loc}(\mathbf{x}^{*}))$ 

dizem-se as variedades estável e instável globais de  $\mathbf{x}^*$ , respectivamente. Ao contrário das variedades estável e instável locais, as globais estão usualmente imersas no espaço de fase com uma estrutura muito complicada.

**Tempo contínuo.** Em sistemas dinâmicos contínuos lineares, a estabilidade assimptótica é determinada pelas partes reais dos valores próprios da matriz que define o sistema. Num sistema dinâmico não-linear  $S = (X, \mathbb{R}, \mathbf{f})$ , definido num subconjunto aberto  $X \subset \mathbb{R}^m$  por (1.2) onde o campo vectorial  $\mathbf{f}$  é suave, o estudo da estabilidade assimptótica de uma órbita baseia-se na análise local dos valores próprios de uma certa matriz Jacobiana.

Seja  $\phi^t(\mathbf{x}_0)$  a solução de (1.2) para uma condição inicial  $\mathbf{x}_0$ . Considere  $\mathbf{x}(t) = \phi^t(\mathbf{x}_0) + \mathbf{y}(t)$  onde  $\mathbf{y}(t)$  é uma pequena perturbação, ou seja,  $\|\mathbf{y}(t)\| \ll 1$ . Para  $\|\mathbf{y}(t)\|$  suficientemente pequeno, podem negligenciar-se os termos não-lineares e, atendendo a que  $\dot{\phi}^t(\mathbf{x}_0)$  e  $\mathbf{f}(\phi^t(\mathbf{x}_0))$  se anulam, obtem-se a equação linearizada

(1.5) 
$$\dot{\mathbf{y}} = \mathbf{Df}\left(\phi^t\left(\mathbf{x}_0\right)\right) \cdot \mathbf{y},$$

onde  $\mathbf{Df}\left(\phi^{t}\left(\mathbf{x}_{0}\right)\right)$  é matriz Jacobiana de  $\mathbf{f}$  calculada em  $\phi^{t}\left(\mathbf{x}_{0}\right)$ .

Considere  $\mathcal{I} \equiv \{iy \in \mathbb{C} \mid y \in \mathbb{R}\}$ , o eixo imaginário do plano complexo. No que segue, denota-se por  $n^0$  o número de valores próprios de uma matriz Jacobiana situados em  $\mathcal{I}$ , e por  $n^+$   $(n^-)$  o número de valores próprios à direita (esquerda) de  $\mathcal{I}$ .

Teorema 1.1.5 (de Hartman-Grobman para fluxos) Seja  $S = (X, \mathbb{R}, \mathbf{f})$  um sistema dinâmico definido num aberto  $X \subset \mathbb{R}^m$  por  $\dot{\mathbf{x}} = \mathbf{f}(\mathbf{x})$  em que o campo vectorial  $\mathbf{f}$  é suave. Se  $\mathbf{A} \equiv \mathbf{D}\mathbf{f}(\tilde{\mathbf{x}}_0)$  é uma matriz constante tal que  $n^0 = 0$ , então existe uma vizinhança U de  $\tilde{\mathbf{x}}_0$  para a qual o fluxo não-linear  $\phi^t$  gerado pelo campo vectorial  $\mathbf{f}$  é topologicamente conjugado ao fluxo linear

$$\mathbf{y}(t; \mathbf{y_0}) = e^{t\mathbf{A}} \cdot \mathbf{y_0}.$$

Ou seja, existe um homeomorfismo  $\mathbf{h}: U \to U$  tal que

$$(\mathbf{h} \circ \phi^t)(\mathbf{x}) = e^{t\mathbf{A}} \cdot \mathbf{y}(t),$$

sempre que  $\phi^t(\mathbf{x}) \in U$ .

O homeomorfismo **h** preserva a orientação das órbitas e pode ser escolhido de modo a preservar a parametrização por tempo.

A proposição seguinte estabelece uma condição necessária e suficiente para que a equação linearizada (1.5) seja assimptoticamente estável numa vizinhança de um ponto de equilíbrio  $\mathbf{x}^*$ , caso em que  $\phi^t(\mathbf{x}^*)$  é constante igual a  $\mathbf{x}^*$ . A solução geral  $\mathbf{y}(t)$  da equação linearizada  $\dot{\mathbf{y}} = \mathbf{Df}(\mathbf{x}^*) \cdot \mathbf{y}$  é determinada pelos valores e vectores próprios da matriz Jacobiana  $\mathbf{Df}(\mathbf{x}^*)$ .

Proposição 1.1.3 Seja S um sistema dinâmico definido num aberto  $X \subset \mathbb{R}^m$  por  $\dot{\mathbf{x}} = \mathbf{f}(\mathbf{x})$  em que o campo vectorial  $\mathbf{f}$  é suave. Seja ainda  $\mathbf{x}^*$  um ponto de equilíbrio de S e  $\mathbf{Df}(\mathbf{x}^*)$  a matriz Jacobiana de  $\mathbf{f}$  calculada em  $\mathbf{x}^*$ . Então o ponto de equilíbrio  $\mathbf{x}^*$  é assimptoticamente estável se os valores próprios  $\Lambda_1, \Lambda_2, \ldots, \Lambda_m$  da matriz Jacobiana  $\mathbf{Df}(\mathbf{x}^*)$  verificam  $n^0 = n^+ = 0$ . Se  $n^+ \neq 0$  o ponto de equilíbrio  $\mathbf{x}^*$  é instável.

Definição 1.1.11 Um ponto de equilíbrio  $\mathbf{x}^*$  de um fluxo  $\left\{\phi^t\right\}_{t\in\mathbb{R}}$  diz-se transversal se, para  $t\neq 0$ , a derivada de qualquer aplicação  $\phi^t$  em ordem a t calculada em  $\mathbf{x}^*$  não tem  $\Lambda=1$  como valor próprio. Ou seja, se a parte linear do campo vectorial em  $\mathbf{x}^*$  não tem  $\Lambda=0$  como valor próprio. Um ponto periódico  $\mathbf{x}^*$  de período t'>0 de um fluxo  $\left\{\phi^t\right\}_{t\in\mathbb{R}}$  diz-se transversal se  $\Lambda=1$  é um valor próprio simples da derivada de qualquer aplicação  $\phi^t$  em ordem a t calculada em  $\mathbf{x}^*$ .

A persistência de pontos de equilíbrios transversais é exposta na proposição seguinte.

**Proposição 1.1.4** Seja  $\mathbf{f}: X \to X$  um campo vectorial diferenciável. Um ponto de equilíbrio  $\mathbf{x}^*$  é transversal se e só se  $\Lambda = 1$  não é um valor próprio da matriz Jacobiana  $\mathbf{Df}(\mathbf{x}^*)$ .

Uma função  $\mathbf{L}: \mathbb{R}^m \to \mathbb{R}$  de classe  $C^1$  diz-se uma função de Lyapunov (fraca) para o fluxo  $\phi^t$  gerado por  $\mathbf{f}$  numa vizinhança aberta U de  $\mathbf{x}^*$  contida em X se

(1.6) 
$$\mathbf{L}(\mathbf{x}^*) = \mathbf{x}^*, \quad \mathbf{L}(\mathbf{x}) > \mathbf{x}^* \quad e \quad \dot{\mathbf{L}}(\mathbf{x}) \equiv \frac{d\mathbf{L}}{dt} \left(\phi^t(\mathbf{x})\right)|_{t=0} \le 0$$

para todo o  $\mathbf{x} \in U \setminus \{\mathbf{x}^*\}$ . Se  $\dot{\mathbf{L}}(\mathbf{x}) < 0$  para todo o  $\mathbf{x} \in U \setminus \{\mathbf{x}^*\}$ , então  $\mathbf{L}$  diz-se uma função de Lyapunov estrita (forte ou completa). As condições em (1.6) implicam que

$$\left(\mathbf{L} \circ \phi^t\right)(\mathbf{x}) \leq \mathbf{L}(\mathbf{x})$$

para todo o  $\mathbf{x} \in U$  e para todo o  $t \geq 0$  tais que  $\phi^s(\mathbf{x}) \in U$  para  $0 \leq s \leq t$ . As funções de Lyapunov não são únicas. Embora esteja provado que existe alguma função de Lyapunov para cada sistema estável, não existem métodos gerais para encontrar uma tal função. No entanto, é possível calcular a sua derivada sem conhecer explicitamente as soluções do campo vectorial  $\mathbf{f}$ , o que constitui uma vantagem. De facto, a derivada de  $\mathbf{L}$  pode ser tomada ao longo das curvas solução  $x_i = \phi_i^t(\mathbf{x})$  como

$$\dot{\mathbf{L}}(\mathbf{x}) = \sum_{i=1}^{m} \frac{\partial \mathbf{L}}{\partial x_i} \dot{x}_i = \sum_{i=1}^{m} \frac{\partial \mathbf{L}}{\partial x_i} f_i(\mathbf{x}),$$

onde  $f_i$  é a *i*-ésima componente de **f**. É então válida uma versão contínua do Teorema 2 para o estudo da estabilidade numa vizinhança de um ponto de equilíbrio.

Segue-se a definição de ponto de equilíbrio hiperbólico para fluxos definidos num conjunto aberto de  $\mathbb{R}^m$ .

**Definição 1.1.12** Seja  $S = (X, \mathbb{R}, \mathbf{f})$  um sistema dinâmico definido num aberto  $X \subset \mathbb{R}^m$  por  $\dot{\mathbf{x}} = \mathbf{f}(\mathbf{x})$  em que o campo vectorial  $\mathbf{f}$  é suave. Um ponto de equilíbrio  $\mathbf{x}^*$  diz-se hiperbólico (ou não-degenerado) se à matriz Jacobiana  $\mathbf{Df}(\mathbf{x}^*)$  corresponde  $n^0 = 0$ . Caso contrário  $\mathbf{x}^*$  diz-se um centro.

Um ponto hiperbólico diz-se um nodo ou ponto de equilíbrio atractor (foco ou ponto de equilíbrio repulsor) se  $n^- = m$  ( $n^+ = m$ ), e diz-se uma sela se  $n^+ \neq 0$  e  $n^- \neq 0$ .

O teorema de Hartman-Grobman estabelece que o fluxo do sistema contínuo nãolinear definido por (1.2) é topologicamente conjugado, numa vizinhança de um ponto de equilíbrio hiperbólico  $\mathbf{x}^*$ , ao fluxo linear induzido pela matriz Jacobiana calculada em  $\mathbf{x}^*$ . Considere o seguinte corolário deste teorema.

Corolário 1.1.2 Seja  $\mathbf{x}^*$  um ponto de equilíbrio hiperbólico do sistema dinâmico  $S = (X, \mathbb{R}, \mathbf{f})$  definido num aberto  $X \subset \mathbb{R}^m$  por  $\dot{\mathbf{x}} = \mathbf{f}(\mathbf{x})$  em que o campo vectorial  $\mathbf{f}$  é suave. Se  $\mathbf{x}^*$  é uma sela ou um foco então  $\mathbf{x}^*$  não é Lyapunov estável (é instável). Se  $\mathbf{x}^*$  é um nodo então  $\mathbf{x}^*$  é assimptoticamente estável.

Tal como no caso discreto, existe um subespaço próprio  $E_{\mathbf{x}^*}^s$  ( $E_{\mathbf{x}^*}^u$ ) que depende continuamente de  $\mathbf{x}^*$ , gerado pelos valores próprios  $\Lambda_i$ ,  $i=1,\ldots,m$ , da matriz Jacobiana  $\mathbf{Df}(\mathbf{x}^*)$  com Re  $\Lambda_i < 0$  (Re  $\Lambda_i > 0$ ), designado por espaço próprio estável (instável) de  $\mathbf{x}^*$ . Existe então uma versão contínua do Teorema 4 para pontos de equilíbrio hiperbólicos.

## 1.1.3 Conjuntos atractores e bacias de atracção

Conforme a Definição 1.1.2, os conjuntos  $\omega$ -limite de um sistema dinâmico  $S=(X,T,\phi^t)$  são relativos ao comportamento assimptótico de órbitas correspondentes a uma condição inicial particular. Se, para um número suficientemente grande de condições iniciais num conjunto  $\mathcal{B}$ , o comportamento assimptótico do sistema evolui para um mesmo subconjunto  $\mathcal{A}$  de X, então  $\mathcal{A}$  é um conjunto atractor do sistema com bacia de atracção  $\mathcal{B}(\mathcal{A}) \equiv \mathcal{B}$ .

Existem várias definições de conjunto atractor que, no essencial, diferem quanto às condições iniciais que numa vizinhança devem evoluir para o conjunto. A noção de conjunto atractor depende da topologia tomada em X; usualmente é assumida a topologia induzida pela métrica tomada em X.

Considere que o espaço de fase X é de dimensão finita. São aqui apresentados os vários conceitos de conjunto atractor necessários ao estudo de sincronização, sendo o primeiro baseado em domínios absorventes.

Dado  $U \subset X$ , o conjunto

$$\mathcal{U} = \left\{ x \in U \mid \phi^t(x) \in U, t \ge 0 \right\}$$

para o qual exista t'>0 tal que  $\phi^{t'}(\operatorname{cl}(\mathcal{U}))\subset\operatorname{int}(\mathcal{U})$  diz-se um domínio absorvente ou fundamental. Trata-se do conjunto invariante dos pontos de U que não evoluem para fora de U no decurso do tempo. Se  $\mathcal{A}$  é um conjunto invariante contido em U, então  $\mathcal{U}$  é um conjunto não-vazio que contém  $\mathcal{A}$ . Na prática, encontrar um domínio absorvente é muitas vezes o primeiro passo para localizar conjuntos atractores.

**Definição 1.1.13** Um conjunto  $A \subset X$  diz-se um atractor maximal do sistema dinâmico  $S = (X, T, \phi^t)$  se existe um domínio absorvente  $\mathcal{U}$  tal que

$$\mathcal{A} = \bigcap_{t>0} \phi^t \left( \mathcal{U} \right).$$

Um conjunto  $A \subset X$  diz-se um atractor se existe um domínio absorvente para o qual A é o atractor maximal. Um conjunto B(A) contido em X diz-se a bacia de atracção

do atractor  $\mathcal{A}$  se contém todas as condições iniciais cujas órbitas convergem para  $\mathcal{A}$  no decurso do tempo. Um conjunto  $\mathcal{A}'$  diz-se um repulsor se existe um domínio absorvente  $\mathcal{U}$  tal que

$$\mathcal{A}' = \bigcap_{t \ge 0} \phi^t \left( X \setminus \mathcal{U} \right).$$

Note que um conjunto invariante  $\mathcal{A}$  representa um estado assimptótico observável se  $\mathcal{A}$  atrair órbitas próximas. Também se define o atractor global relativo como um atractor relativamente a um conjunto limitado  $B \subset X$ , isto é,

$$\mathcal{A}_{B} = \bigcap_{t \geq 0} \phi^{t} \left( B \right).$$

Uma definição em termos das propriedades do conjunto invariante  $\mathcal{A}$ , sem recorrer à noção de domínio absorvente, esclarece a noção de atractor.

**Definição 1.1.14** Um conjunto  $A \subset X$  diz-se um atractor do sistema dinâmico  $S = (X, T, \phi^t)$  se verifica:

- (A1)  $\mathcal{A}$  é compacto e invariante para o sistema S;
- (A2) existe uma vizinhança V de  $\mathcal{A}$  correspondente ao conjunto dos pontos  $\mathbf{x}$  tais que, para todas as vizinhanças U de  $\mathcal{A}$ , existe um  $t' \in T$  tal que  $\phi^t(\mathbf{x}) \in U$  sempre que t > t'.

A bacia de atracção do atractor  $\mathcal{A}$  define-se como o conjunto

$$\mathcal{B}\left(\mathcal{A}\right) \equiv \left\{\mathbf{x} \in U \mid \omega\left(\mathbf{x}, \phi^{t}\right) \subseteq \mathcal{A}\right\}$$

de condições iniciais  $\mathbf{x}$  em U cujos conjuntos  $\omega$ -limite estão contidos em  $\mathcal{A}$ .

A estrutura topológica de uma bacia de atracção, vista como uma região no espaço de fase, pode diferir bastante de sistema para sistema. Num sistema não-linear podem existir vários conjuntos  $\omega$ -limite. Em particular, podem existir vários conjuntos  $\omega$ -limite atractores, cada um dos quais com uma bacia de atracção diferente. A condição inicial determina qual o conjunto  $\omega$ -limite atractor que é eventualmente atingido pela evolução do sistema. Como tal, tem especial interesse conhecer o fecho do conjunto de condições iniciais que evoluem assimptoticamente para cada um dos atractores, definindo as respectivas bacias de atracção.

O conhecimento detalhado da estrutura e extensão das bacias de atracção no espaço de fase X é fundamental em todos os procedimentos de estabilização de sistemas não-lineares. Se existem dois ou mais atractores, a transição de uma bacia de atracção para outra diz-se uma fronteira de bacia. Embora a existência de bacias de atracção seja fácil de entender, a sua delimitação é um problema para o qual ainda não existem métodos analíticos. Tanto quanto sabemos, apenas se consegue uma determinação numérica explícita.

A bacia de atracção poderá ser infinitamente grande, assim como pode não conter qualquer ponto. Além disso as bacias de atracção podem ser formadas por uma região conexa no espaço de fase ou por uma união de regiões desconexas entre si. Tanto quanto sabemos, também não se conhece qualquer método que permita antecipar sob que condições estas são ou não formadas por uma única região ou por um conjunto desconexo de regiões.

Embora o conceito de atractor dado pela definição topológica seja eficaz para os atractores mais simples – pontos de equilíbrio e ciclos limite assimptoticamente estáveis – existem atractores que contêm muito mais do que pontos assimptóticos de condições iniciais típicas. A resposta a esta limitação foi dada parcialmente por Milnor [47] quando introduziu o conceito de atractor medida, agora designado por atractor (fraco) de Milnor, como o conjunto limite de trajectórias originadas a partir de um conjunto de condições iniciais de medida de Lebesgue positiva. Embora pareça intuitivo pensar que, se uma condição inicial evolue para um determinado atractor, então trajectórias de condições iniciais próximas também evoluem para o mesmo conjunto, a definição de atractor medida contraria esta ideia. Até ao fim desta subsecção consideram-se o espaço de fase  $X \subseteq \mathbb{R}^m$ , onde está definida a medida de Lebesgue  $\ell$ , e os subconjuntos como conjuntos de Borel em X. Convenciona-se que  $\ell$  (·) > 0 inclui o caso  $\ell$  (·) =  $\infty$  e denota-se por A =0 B a igualdade dos conjuntos A e B, a menos de um conjunto de medida de Lebesgue nula.

Seja X um subconjunto compacto de  $\mathbb{R}^m$  e  $\mathcal{B}$  a  $\sigma$ -álgebra de Borel em X. Uma transformação  $\mathbf{f}:X\to X$  diz-se mensurável se

$$\mathbf{f}^{-1}(A) \equiv {\mathbf{x} \in X \mid \mathbf{f}(\mathbf{x}) \in A} \in \mathcal{B}$$

para qualquer aberto  $A \in \mathcal{B}$ . Se  $\mathbf{f}$  é uma transformação contínua e injectiva de  $A \in \mathcal{B}$  para  $\mathbb{R}^m$  então  $\mathbf{f}(A) \in \mathcal{B}$ .

Seja  $\mathcal{M}$  o conjunto das medidas de probabilidade em  $\mathcal{B}$ . Uma medida  $\mu \in \mathcal{M}$  diz-se  $\mathbf{f}$ -invariante se  $\mu(\mathbf{f}^{-1}(A)) = \mu(A)$ , para todo o  $A \in \mathcal{B}$ . Com o mesmo significado que  $\mu$  ser  $\mathbf{f}$ -invariante, pode dizer-se que a transformação  $\mathbf{f}$  preserva a medida  $\mu$ . Em geral, um sistema dinâmico pode exibir várias medidas invariantes muitas das quais possuem

algum comportamento complexo. É em geral de interesse conseguir seleccionar algumas destas medidas como sendo as mais relevantes para a compreensão da dinâmica do sistema. Nomeadamente, uma medida que caracterize o comportamento assimptótico das suas órbitas.

Uma medida de probabilidade invariante  $\mu$  diz-se ergódica (ou metricamente transitiva) para  $\mathbf{f}$  se  $\mu(A) \in \{0,1\}$ , para todo o  $A \in \mathcal{B}$  tal que  $\mathbf{f}(A) = A$ .

Para  $k \geq 0$ , seja  $\mathbf{f}^k = \mathbf{f} \circ \mathbf{f} \circ \cdots \circ \mathbf{f}$  a transformação obtida pela composição, k vezes, da transformação  $\mathbf{f}$ . Denotando por  $\ell$  a medida de Lebesgue, uma medida ergódica  $\mu$  diz-se de Sinai-Ruelle-Bowen (SRB) para  $\mathbf{f}$  se existe um subconjunto  $U \subset X \subset \mathbb{R}^m$  com  $\ell(U) > 0$  tal que, para cada função contínua  $\mathbf{g} : X \to \mathbb{R}$ , é válido

(1.7) 
$$\lim_{n\to\infty} \frac{1}{n} \sum_{k=0}^{n-1} \mathbf{g}\left(\mathbf{f}^{k}(\mathbf{x})\right) = \int \mathbf{g}\left(\mathbf{y}\right) d\mu\left(\mathbf{y}\right),$$

para cada  $\mathbf{x} \in U$ . Note que, para medidas ergódicas em geral, o teorema ergódico multiplicativo de Birkhoff [34] apenas garante a igualdade (1.7) quase em toda a parte relativamente à medida  $\mu$  ( $\mu$ -q.t.p.). O limite do lado esquerdo de (1.7) diz-se a média temporal da função  $\mathbf{g}$  sob iteração de  $\mathbf{f}$  a partir de um ponto inicial  $\mathbf{x}$  e o integral do lado direito de (1.7) diz-se a média espacial (ou média de fase) da função  $\mathbf{g}$  relativamente à medida  $\mu$ .

**Definição 1.1.15** (de Milnor) Um conjunto invariante compacto  $A \subset X$  de um sistema dinâmico  $S = (X, T, \phi^t)$  diz-se um

(M1) atractor fraco de S se a bacia de atracção

$$\mathcal{B}\left(\mathcal{A}\right)=\left\{ \mathbf{x}\in X\mid\omega\left(\mathbf{x},\phi^{t}\right)\subseteq\mathcal{A}\right\}$$

tem medida de Lebesgue estritamente positiva, ou seja,  $\ell(\mathcal{B}(\mathcal{A})) > 0$ .

- (M2) atractor de Milnor de S se é um atractor fraco e não existe um subconjunto compacto invariante próprio (estritamente menor)  $\mathcal{A}'$  contido em  $\mathcal{A}$ , tal que  $\mathcal{B}(\mathcal{A}') =_0 \mathcal{B}(\mathcal{A})$ .
- (M3) atractor de Milnor minimal de S se é um atractor de Milnor e qualquer subconjunto compacto invariante próprio  $\mathcal{A}'$  contido em  $\mathcal{A}$  satisfaz  $\ell(\mathcal{B}(\mathcal{A}')) = 0$ .

Estas definições diferem substancialmente da definição topológica dado que a bacia de atracção não precisa incluir sequer uma vizinhança do atractor  $\mathcal{A}$ : é permitido que

alguns pontos evoluam para fora de  $\mathcal{A}$ . Os pontos de equilíbrio e as órbitas periódicas são exemplos de atractores de Milnor minimais pois não contêm qualquer subconjunto próprio invariante compacto. Se  $\mathcal{A}$  é um conjunto invariante compacto que tem medida de Lebesgue positiva então é um atractor fraco. No entanto, em sistemas dissipativos, até os atractores fracos têm tipicamente medida de Lebesgue nula.

Atractores de Milnor com bacias de atracção riddled. Segundo artigos de Ott et al. ([53],[82]) e Alexander et al. [5] existem sistemas não-lineares  $S = (X, T, \phi^t)$  que, pela existência de certas restricções, contêm uma subvariedade invariante suave no espaço de fase X. Esta situação ocorre naturalmente em sistemas com simetria, onde os estados simétricos formam uma subvariedade invariante  $\mathcal{M}$  mergulhada em X. É o caso de sistemas de osciladores caóticos ligados onde o estado caótico sincrónico corresponde a uma subvariedade invariante  $\mathcal{M}$  de dimensão inferior à do espaço de fase X.

Em alguns destes sistemas pode acontecer que, arbitrariamente próximo de qualquer condição inicial na bacia de um atractor  $\mathcal{A}$ , existam condições iniciais nas bacias de outros atractores. Nos artigos [5] e [81] é estabelecido que existem atractores de Milnor  $\mathcal{A}$  em sistemas invertíveis suaves tais que qualquer conjunto aberto que intersecte  $\mathcal{B}(\mathcal{A})$  tem uma medida positiva na bacia de um outro atractor. Mais especificamente, sendo  $\mathcal{A}$  um atractor de Milnor do sistema dinâmico  $S = (X, T, \phi^t)$ , para cada ponto  $\mathbf{x} \in \mathcal{B}(\mathcal{A})$ , pode acontecer que qualquer bola  $B_{\epsilon}(\mathbf{x})$  de raio  $\epsilon$  centrada em  $\mathbf{x}$  contenha um conjunto de pontos de medida de Lebesgue positiva nas bacias de atracção  $\mathcal{B}(\mathcal{A}')$  de outros atractores  $\mathcal{A}'$ . Neste caso, a bacia de atracção  $\mathcal{B}(\mathcal{A})$  diz-se riddled. Esta circunstância tem a seguinte implicação atípica: uma trajectória é iniciada em  $\mathbf{x} \in \mathcal{B}(\mathcal{A})$  e a sua órbita  $\mathcal{O}(\mathbf{x})$  evolui para  $\mathcal{B}(\mathcal{A}')$ , para certo atractor  $\mathcal{A}'$  diferente de  $\mathcal{A}$ .

A propriedade riddled da bacia de atracção  $\mathcal{B}(\mathcal{A})$  pode ser caracterizada pela condição

(1.8) 
$$\ell(\mathcal{B}(\mathcal{A}) \cap U) \cdot \ell(\mathcal{B}^{C}(\mathcal{A}) \cap U) > 0,$$

para qualquer conjunto aberto U que intersecte  $\mathcal{B}(\mathcal{A})$ . Embora  $\mathcal{A}$  seja atractor para um conjunto de condições iniciais  $\mathcal{B}(\mathcal{A})$  de medida de Lebesgue positiva (i.e.,  $\ell(\mathcal{B}(\mathcal{A})) > 0$ ),  $\mathcal{B}(\mathcal{A})$  tem um conjunto complementar relativamente a X,  $\mathcal{B}^{C}(\mathcal{A}) = X \setminus \mathcal{B}(\mathcal{A})$ , que é aberto e denso no espaço de fase X. A bacia de atracção  $\mathcal{B}(\mathcal{A})$  e a sua fronteira são o mesmo conjunto. A bacia de atracção  $\mathcal{B}(\mathcal{A})$  diz-se riddled com o conjunto  $\mathcal{B}^{C}(\mathcal{A})$ .

Tanto quanto sabemos, os estudos efectuados ([81],[5],[53],[82]) apontam para que um atractor de Milnor  $\mathcal{A}$  com bacia *riddled* se situe, em geral, numa subvariedade invariante suave  $\mathcal{M}$  do espaço de fase X. Como sistemas dinâmicos típicos não admitem sub-

variedades invariantes suaves, as bacias *riddled* não ocorrem em casos genéricos. Na Subsecção 1.2, expõe-se como a transição para uma bacia *riddled* está associada à perda de estabilidade do atractor de Milnor mergulhado numa subvariedade invariante suave.

Pikovsky e Grassberger [64] observaram explosões temporais extremas próximo de um tipo particular de bifurcação. Platt et al. [67] designaram esse fenómeno por intermitência on-off visto que as trajectórias permaneceriam próximas de uma subvariedade invariante por longos períodos de tempo (on-phase), antes de evoluir para fora do atractor (off-phase) mergulhado na subvariedade. Ashwin et al. ([8],[7]), relacionaram a ideia de intermitência on-off com a de atractor com uma bacia localmente riddled.

Diz-se que  $\mathcal{B}(\mathcal{A})$  é localmente riddled se existe uma vizinhança U de  $\mathcal{A}$  tal que a bacia de atracção de  $\mathcal{A}$  relativa a U,  $\mathcal{B}_U(\mathcal{A})$ , é globalmente riddled. Assim, uma vizinhança arbitrariamente pequena de qualquer ponto de  $\mathcal{B}_U(\mathcal{A})$  tem um conjunto de medida de Lebesgue positiva de pontos que evoluem para fora de U em tempo finito. Uma bacia riddled é localmente riddled, mas o inverso não é válido. Enquanto uma bacia localmente riddled  $\mathcal{B}(\mathcal{A})$  pode verificar  $\mathcal{B}(\mathcal{A}) =_0 E$  para certo conjunto aberto E, tal não é válido para bacias riddled.

Atractores de Milnor instáveis. Na ausência de regularidade ou invertibilidade num sistema  $S = (X, T, \phi^t)$ , podem surgir atractores com outras características. Trabalhos recentes de Timme et al. [88], em redes de osciladores globalmente ligados (com interacções por impulso com atraso) mostram "casos extremos" de atractores com bacia riddled, designados por atractores fracos de Milnor instáveis. São atractores de Milnor que têm propriedades locais de repulsão responsáveis pela existência de vizinhanças U nas quais quase todos os pontos, relativamente à medida de Lebesgue, evoluem para fora de U em tempo finito. No entanto, simulações numéricas em modelos físicos e biológicos indicam que estes atractores podem ser robustos desde que exista um número suficiente de osciladores no sistema. Ashwin e Timme [9] apresentam uma descrição formal desta classe de atractores, um fenómeno relacionado mas distinto de atractores de Milnor com bacia riddled.

**Definição 1.1.16** Um conjunto invariante compacto  $A \subset X$  de um sistema dinâmico  $S = (X, T, \phi^t)$  diz-se um atractor instável se é um atractor de Milnor e existe uma vizinhança U de A cujo domínio absorvente U verifica

$$\ell\left(\mathcal{U}\right) = 0.$$

Tanto quanto sabemos, até agora todos os exemplos de atractores de Milnor com bacia de atracção riddled possuem dinâmica muito irregular ou caótica com atracção local para algumas condições iniciais e repulsão local para outras. Em contraste, a dinâmica observada em atractores instáveis pode ser muito simples, mesmo de equilíbrio. Em [9] é dado um exemplo de um sistema de osciladores contínuos com uma órbita periódica que é um atractor instável. Obviamente pontos fixos e órbitas periódicas assimptoticamente estáveis para um sistema suave invertível não podem ser atractores instáveis; nestes casos o teorema de Hartman-Grobman garante a existência de uma vizinhança contida na bacia de atracção. Mais genericamente, se um atractor  $\mathcal{A}$  é assimptoticamente estável então claramente não pode ser um atractor instável.

Podem distinguir-se duas classes de atractores instáveis.

**Definição 1.1.17** Um atractor instável  $\mathcal{A}$  de um sistema  $S = (X, T, \phi^t)$  diz-se com bacia de atracção local (de medida) positiva se qualquer vizinhança U de  $\mathcal{A}$  verifica

$$\ell\left(\mathcal{B}\left(\mathcal{A}\right)\cap U\right)>0.$$

Embora, pela condição (1.9), quase todas as trajectórias iniciando numa vizinhança suficientemente pequena U evoluam primeiro para fora de U, existe um conjunto de condições iniciais de medida positiva cujas trajectórias eventualmente evoluem para U e são assimptóticas ao atractor  $\mathcal{A}$ .

**Definição 1.1.18** Um atractor instável  $\mathcal{A}$  de um sistema  $S = (X, T, \phi^t)$  diz-se com bacia de atracção local (de medida) nula se existe uma vizinhança U de  $\mathcal{A}$  que verifica  $\ell(\mathcal{B}(\mathcal{A}) \cap U) = 0$ .

Neste caso, quase todas as condições iniciais numa vizinhança suficientemente pequena U de  $\mathcal{A}$  evoluem para fora de U e não voltam a ser assimptóticas ao atractor  $\mathcal{A}$ .

### 1.1.4 Comportamento caótico

Uma das definições de transformação caótica unidimensional mais utilizada foi introduzida por Li e Yorke [41] em 1975. Neste artigo, os autores averiguam os possíveis períodos em pontos periódicos de transformações reais contínuas definidas num intervalo.

**Definição 1.1.19** Seja  $I \subset \mathbb{R}$  um intervalo de números reais. Uma transformação contínua  $f: I \to \mathbb{R}$  diz-se caótica se satisfaz:

- (C1) f tem pontos periódicos de período n, para qualquer  $n \in \mathbb{N}$ ,
- (C2) existe um conjunto não-contável  $J \subset I$  tal que

$$\lim_{n \to \infty} \sup |f^n(x) - f^n(x)| > 0 \quad e \quad \lim_{n \to \infty} \inf |f^n(x) - f^n(x)| = 0,$$

para quaisquer  $x, y \in J$ , e

(C3) para qualquer  $x \in J$  e  $x^*$  um ponto periódico de f é válido

$$\lim_{n \to \infty} \sup |f^n(x) - f^n(x^*)| > 0.$$

Pela condição (C2), quaisquer duas órbitas em J ora estão perto ora estão longe no decurso do tempo e, pela condição (C3), os pontos periódicos não são assimptóticos para nenhum ponto de J.

No artigo [41] é ainda provado que se f tem uma órbita periódica de período 3, então f é caótica. No entanto, já num artigo escrito em russo de 1964, Sharkowski [78] havia provado um forte resultado relativo à existência de pontos periódicos para transformações contínuas. Mais especificamente, considerando a ordem dos números naturais

$$3 \lhd 5 \lhd 7 \lhd \cdots \lhd 2 \cdot 3 \lhd 2 \cdot 5 \lhd 2 \cdot 7 \lhd \cdots \lhd 2^2 \cdot 3 \lhd 2^2 \cdot 5 \lhd 2^2 \cdot 7 \lhd \cdots$$
$$\lhd 2^n \cdot 3 \lhd 2^n \cdot 5 \lhd 2^n \cdot 7 \lhd \cdots \lhd 2^\infty \lhd \cdots \lhd 2^{n+1} \lhd 2^n \lhd \cdots \lhd 2 \lhd 1,$$

hoje designada por sucessão ou ordem de Sharkowski, provou o resultado seguinte.

**Teorema 1.1.6** (de Sharkowski) Seja  $f : \mathbb{R} \to \mathbb{R}$  uma transformação contínua. Se f tem um ponto periódico de período p e  $p \triangleleft q$  na ordem de Sharkowski, então f também tem um ponto periódico de período q.

Assim, se f tem um ponto periódico cujo período não é uma potência de 2, então f tem necessariamente um número infinito de pontos periódicos. Inversamente, se f tem apenas um número finito de pontos periódicos, então todos eles têm necessariamente como período uma potência de 2. O resultado de [41] pode ser considerado como um corolário do Teorema 6, com p=3. Note que o teorema de Sharkowski nada estabelece acerca da estabilidade das órbitas periódicas de tais períodos.

O teorema de Sharkowski não é válido em sistemas dinâmicos definidos em outros espaços topológicos. Para transformações bidimensionais, o seguinte resultado de Smale [79] estabelece a possibilidade de obter comportamento caótico.

**Teorema 1.1.7** Seja  $\mathbf{f}: \mathbb{R}^2 \to \mathbb{R}^2$  um difeomorfismo e  $\mathbf{x}^*$  é um ponto hiperbólico sela de  $\mathbf{f}$ . Se existe  $\mathbf{x} \neq \mathbf{x}^*$  como ponto da intersecção transversal da variedade estável global  $W^s(\mathbf{x}^*)$  com a variedade instável global  $W^u(\mathbf{x}^*)$  (ponto homoclínico) então  $\mathbf{f}$  é caótico.

Na tentativa de clarificar a noção de comportamento caótico para sistemas dinâmicos em geral, foram sendo dadas várias definições, desde noções teóricas de medida de aleatoriedade, em teoria ergódica, a abordagens topológicas que privilegiamos nesta exposição.

**Definição 1.1.20** Seja  $E \subseteq X$  um subconjunto invariante de um sistema dinâmico  $S = (X, T, \phi^t)$ . A restrição  $\phi^t|_E : E \to E$  diz-se topologicamente transitiva se, para qualquer par de conjuntos abertos não-vazios  $U, V \subseteq E$ , se verifica

$$\phi^{t'}(U) \cap V \neq \emptyset$$

para algum t' > 0.

Se o sistema possui uma órbita densa em E, ou seja, se existe  $\mathbf{x} \in X$  tal que

$$\operatorname{cl}\left(\left\{\phi^{t}\left(\mathbf{x}\right)\right\}_{t\in T}\right)=E,$$

então  $\phi^t|_E$  é topologicamente transitiva. O inverso não é necessariamente verdade. No entanto, se E não tem pontos isolados a definição anterior é equivalente à existência de uma órbita densa em E.

**Definição 1.1.21** Um subconjunto invariante  $E \subseteq X$  de um sistema dinâmico  $S = (X, T, \phi^t)$  diz-se ter dependência sensível às condições iniciais se existe  $\delta > 0$  tal que, para cada  $\mathbf{x} \in E$  e cada vizinhanças U de  $\mathbf{x}$ ,

$$d\left(\phi^{t}\left(\mathbf{x}\right) - \phi^{t}\left(\mathbf{x}'\right)\right) \ge \delta$$

para algum ponto  $\mathbf{x}' \in U$  e algum tempo  $t \geq 0$ .

Dado  $\mathbf{x} \in E$ , não é necessário que todos os pontos  $\mathbf{x}'$  próximos de  $\mathbf{x}$  se afastem dele sob iteração; no entanto, a definição exige que exista pelo menos um ponto  $\mathbf{x}'$  em cada vizinhança de  $\mathbf{x}$  com essa propriedade. O valor de tempo  $t \geq 0$  é independente do ponto  $\mathbf{x} \in E$  considerado.

Considere então a seguinte definição de conjunto invariante caótico.

**Definição 1.1.22** Um subconjunto invariante  $E \subseteq X$  de um sistema dinâmico  $S = (X, T, \phi^t)$  diz-se caótico se verifica as propriedades:

- (C4)  $\phi^t$  tem dependência sensível às condições iniciais em E,
- (C5)  $\phi^t$  é topologicamente transitiva em E, e
- (C6) os pontos periódicos de  $\phi^t$  são densos em E.

Alguns sistemas dinâmicos são caóticos em todo o espaço de fase X (por exemplo, os difeomorfismos de Anosov) mas, em geral, o comportamento caótico apenas existe num subconjunto  $E \subset X$ . Têm particular interesse os casos em que o comportamento caótico tem lugar num atractor  $\mathcal{A}$ , pois a um grande conjunto de condições iniciais correspondem órbitas que convergem para a região caótica. Pela transitividade topológica, se o sistema dinâmico é iniciado num ponto da bacia de atracção  $\mathcal{B}(\mathcal{A})$ , a representação computacional da sua órbita permite reproduzir todo o atractor caótico  $\mathcal{A}$ . Tipicamente, um atractor caótico tem um conjunto denso de órbitas periódicas instáveis nele mergulhadas. Além disso, existem invariantes numéricos expressos em termos da soma (média) sobre as órbitas periódicas instáveis, tais como a medida natural (ver Anexo 1), os expoentes de Lyapunov e as entropias topológica e métrica (e as dimensões fractais). As órbitas periódicas instáveis têm ainda um importante papel em muitos processos dinâmicos, tais como bifurcações, perdas de sincronização de sistemas caóticos e bacias de atracção riddled.

O teorema da existência e unicidade de soluções de uma equação diferencial garante que trajectórias distintas num sistema definido por um campo vectorial não se intersectam. Como tal, num sistema dinâmico contínuo e não-linear apenas pode existir um atractor invariante com uma topologia qualitativamente mais complexa que um ciclo limite se os seus estados são determinados por três ou mais variáveis. Em sistemas dinâmicos discretos a existência de um termo não-linear na expressão de uma transformação unidimensional é suficiente para a obtenção de comportamento caótico.

Expoentes de Lyapunov. O comportamento caótico num sistema implica a dependência sensível do resultado da dinâmica a pequenas mudanças nas condições iniciais. Uma medida dessa sensibilidade é quantificada pelos expoentes de Lyapunov. Num sistema dinâmico unidimensional seja  $\delta_0$  a distância inicial no tempo  $t_0$  entre dois pontos próximos  $P_0$  e  $P'_0$  no espaço de fase. Se a distância  $\delta(t)$  entre os pontos resultantes da evolução de  $P_0$  e  $P'_0$  no tempo t cresce exponencialmente com a evolução do sistema, este tem dependência sensível às condições iniciais. Trata-se do caso em que, após um certo tempo t,

se tem

$$\delta(t) = \delta_0 e^{\lambda(t - t_0)},$$

com  $\lambda > 0$ . Note que mesmo em órbitas caóticas, a divergência entre elas apenas pode ser localmente exponencial pois se o sistema é limitado, como a maioria dos modelos físicos,  $\delta(t)$  não pode tender para infinito. Conforme o artigo de Wolf et~al.~[92], para definir uma medida desta divergência, deve ser medido o crescimento exponencial em muitos pontos ao longo da trajectória. Começando com uma órbita de referência e um ponto numa trajectória próxima, é medida a razão  $\delta(t)/\delta_0$ . Quando  $\delta(t)$  se torna demasiado grande, é considerada uma nova órbita próxima e definida uma nova distância  $\delta_0(t)$ . Resulta deste processo que

$$\lambda = \frac{1}{t_N - t_0} \sum_{i=1}^{N} \ln \frac{\delta(t_i)}{\delta_0(t_{i-1})}.$$

O número real  $\lambda$ , designado por expoente de Lyapunov, verifica  $\lambda \leq 0$  se o movimento é regular e  $\lambda > 0$  se o movimento é caótico.

Apenas em casos muito simples é possível o cálculo explícito dos expoentes de Lyapunov. Em 1984, Wolf [94] desenvolveu o algoritmo numérico mais usado para estimar o expoente de Lyapunov  $\lambda$  a partir da medição de uma única variável dinâmica x(t) do sistema. Uma outra revisão deve-se a Abarbanel et al. [1] em 1991.

**Definição 1.1.23** Seja f uma transformação do intervalo de classe  $C^1$ . Para cada ponto  $x_0$ , o expoente de Lyapunov (característico) de f em  $x_0$  define-se pelo limite, caso exista,

(1.10) 
$$\lambda(x_0) \equiv \lim_{n \to \infty} \frac{1}{n} \sum_{i=0}^{n-1} \ln |f'(x_i)| \le \lim_{n \to \infty} \sup \frac{1}{n} \sum_{i=0}^{n-1} \ln |f'(x_i)|,$$

onde  $x_i$  é a i-ésima iterada de f em  $x_0$ .

Dada a possibilidade de não existir o limite em (1.10), a definição original considera o limite superior.

Para atractores caóticos  $\lambda$  é positivo. Para pontos fixos e órbitas periódicas estáveis  $\lambda$  é negativo dado por

$$\lambda = \lim_{n \to \infty} \frac{1}{n} \sum_{i=0}^{n-1} \ln |f'(x_i)| = \frac{1}{N} \sum_{i=0}^{N-1} \ln |f'(x_i)| = \frac{1}{N} \ln |(f^N)'(x_0)|,$$

onde  $N \ge 1$  é o período da órbita de  $x_0$ .

Em dimensões superiores a prova da existência do limite apropriado, para quase todos os pontos em termos de uma medida invariante, requere uma versão mais avançado do teorema ergódico multiplicativo obtida por Oseledec [50].

Seja  $S = (X, \mathbb{Z}, \mathbf{f})$  um sistema dinâmico discreto definido num subespaço vectorial compacto X de  $\mathbb{R}^m$  por (1.1), onde  $\mathbf{f} : X \to X$  é um difeomorfismo de classe  $C^r$ ,  $r \ge 1$ . Dado  $\mathbf{x}_0 \in X$ , considere um vector infinitesimal  $\boldsymbol{\delta}_0$  de deslocamento da condição inicial  $\mathbf{x}_0$ ,  $\mathbf{y}_0 = \mathbf{x}_0 + \boldsymbol{\delta}_0$ . Obtem-se uma equação que caracterize a evolução de  $\boldsymbol{\delta}_0$  considerando o desenvolvimento de Taylor e ignorando os termos de ordem superior, tem-se

$$\mathbf{f}(\mathbf{y}_0) \approx \mathbf{f}(\mathbf{x}_0) + D\mathbf{f}(\mathbf{x}_0) \cdot \boldsymbol{\delta}_0.$$

Para  $\mathbf{f}(\mathbf{y}_0) = \mathbf{x}_1 + \boldsymbol{\delta}_1$  é válido  $\boldsymbol{\delta}_1 = D\mathbf{f}(\mathbf{x}_0) \cdot \boldsymbol{\delta}_0$ . Segue, por indução, a equação linearizada

$$\boldsymbol{\delta}_{n+1} = D\mathbf{f}(\mathbf{x}_n) \cdot \boldsymbol{\delta}_n, \quad n > 0$$

que determina a evolução de um deslocamento infinitesimal  $\delta_0$  da órbita a partir da órbita inicial (não perturbada) de pontos  $\mathbf{x}_n$ . Em particular,

$$\frac{\boldsymbol{\delta}_n}{\|\boldsymbol{\delta}_n\|}$$
 e  $\frac{\|\boldsymbol{\delta}_n\|}{\|\boldsymbol{\delta}_0\|}$ 

são, respectivamente, o vector unitário com a direcção do deslocamento infinitesimal da órbita a partir de  $\mathbf{x}_n$  e o factor pelo qual o deslocamento infinitesimal aumenta (se  $\|\boldsymbol{\delta}_n\| > \|\boldsymbol{\delta}_0\|$ ) ou diminui (se  $\|\boldsymbol{\delta}_n\| < \|\boldsymbol{\delta}_0\|$ ).

O vector  $\mathbf{v}_n = \boldsymbol{\delta}_n / \|\boldsymbol{\delta}_0\|$  é um vector tangente, situado no espaço tangente, cuja equação de evolução de  $\mathbf{v}_n$  é dada por

$$\mathbf{v}_{n+1} = \mathbf{Df}(\mathbf{x}_n) \cdot \mathbf{v}_n.$$

A evolução do vector tangente  $\mathbf{v}_n$  depende da órbita de  $\mathbf{x}_0$  e da orientação inicial do vector tangente unitário  $\mathbf{v}_0$ . Com o objectivo de obter a taxa exponencial pela qual o vector tangente cresce ou diminui por iteração de  $\mathbf{f}$ , considere a expressão  $(\ln \|\mathbf{v}_n\|)/n$ . Obtem-se de (1.11) que

$$\mathbf{v}_{n} = \left[\mathbf{Df}\left(\mathbf{x}_{n-1}\right) \cdot \mathbf{Df}\left(\mathbf{x}_{n-2}\right) \cdot \ldots \cdot \mathbf{Df}\left(\mathbf{x}_{0}\right)\right] \cdot \mathbf{v}_{0} = \prod_{i=0}^{n-1} D\mathbf{f}\left(\mathbf{x}_{i}\right) \cdot \mathbf{v}_{0},$$

logo, pela regra de derivação da função composta, tem-se

$$\frac{1}{n} \ln \|\mathbf{v}_n\| = \frac{1}{n} \ln \left\| \prod_{i=0}^{n-1} D\mathbf{f}(\mathbf{x}_i) \cdot \mathbf{v}_0 \right\| = \frac{1}{n} \ln \|\mathbf{D}\mathbf{f}^n(\mathbf{x}_0) \cdot \mathbf{v}_0\|.$$

Tomando o limite quando  $n \to \infty$ , obtêm-se os m possíveis valores

(1.12) 
$$\lambda_{i}\left(\mathbf{x}_{0}\right) \equiv \lim_{n \to \infty} \frac{1}{n} \ln \left\|\mathbf{v}_{n}\right\| = \lim_{n \to \infty} \frac{1}{n} \ln \left\|\mathbf{Df}^{n}\left(\mathbf{x}_{0}\right) \cdot \mathbf{v}_{0}\right\|,$$

para i = 1, ..., m, conforme as m orientações iniciais possíveis do vector tangente  $\mathbf{v}_0$  no espaço tangente m-dimensional, designados por expoentes de Lyapunov (característicos) para a condição inicial  $\mathbf{x}_0$  e a orientação do deslocamento infinitesimal dada por  $\mathbf{v}_0$ .

As expressões

$$\frac{\ln \|D\mathbf{f}^n(\mathbf{x}_0) \cdot \mathbf{v}_0\|}{n} \quad e \quad e^{\lambda_i(\mathbf{x}_0)}$$

dizem-se, respectivamente, o expoente de Lyapunov tempo-finito e número de Lyapunov. O último representa um factor média pelo qual é multiplicado o comprimento do vector de deslocamento infinitesimal em cada iterada. A aplicação da matriz  $\mathbf{Df}^n(\mathbf{x}_0)$  aos m vectores unitários  $\mathbf{v}_0$  resulta num elipsóide cujos m eixos maiores são os números de Lyapunov. As direcções principais do elipsóide são os m vectores próprios perpendiculares da matriz real simétrica  $\mathbf{Df}^n(\mathbf{x}_0) \cdot [\mathbf{Df}^n(\mathbf{x}_0)]^T$  (T denota a matriz transposta). Os eixos maiores do elipsóide são as raízes quadradas dos m valores próprios, as quais se dizem os valores singulares de  $\mathbf{Df}^n(\mathbf{x}_0)$ .

Segundo Farmer  $et\ al.\ [17]$  é válido o seguinte resultado.

**Proposição 1.1.5** Seja  $S = (X, \mathbb{Z}, \mathbf{f})$  um sistema dinâmico definido num subespaço vectorial compacto  $X \subset \mathbb{R}^m$  por  $\mathbf{x}_{n+1} = \mathbf{f}(\mathbf{x}_n)$  onde  $\mathbf{f}$  é um difeomorfismo de classe  $C^r$ ,  $r \geq 1$ . Sejam  $|\Lambda_{j_1}(\mathbf{x}_0)| \geq |\Lambda_{j_2}(\mathbf{x}_0)| \geq \cdots \geq |\Lambda_{j_m}(\mathbf{x}_0)|$  os módulos dos valores próprios da matriz Jacobiana

$$\mathbf{Df}^{n}(\mathbf{x}_{0}) = D\mathbf{f}(\mathbf{x}_{n-1}) \cdot D\mathbf{f}(\mathbf{x}_{n-2}) \cdot \cdots \cdot D\mathbf{f}(\mathbf{x}_{0})$$

da n-ésima iterada de f. Então os expoentes de Lyapunov de f são

$$\lambda_{i}\left(\mathbf{x}_{0}\right) = \lim_{n \to \infty} \frac{1}{n} \ln \left| \Lambda_{j_{i}}\left(\mathbf{x}_{0}\right) \right|.$$

Tal como em dimensão 1, em dimensão superior os expoentes existem quase em toda a parte em termos de uma medida invariante. O teorema ergódico multiplicativo de Oseledec garante que, se a órbita de  $\mathbf{x}_0$  gera uma medida de probabilidade ergódica  $\mu$  invariante por  $\mathbf{f}$ , então os limites em (1.12) existem e os valores de  $\lambda_i(\mathbf{x}_0)$  são o mesmo para quase todo o  $\mathbf{x}_0$ , relativamente a essa medida  $\mu$ .

Se estão a ser consideradas órbitas num atractor caótico  $\mathcal{A}$ , pode assumir-se que existe uma medida natural ergódica no atractor. Em particular, para quase todo o  $\mathbf{x}_0$  relativamente à medida de Lebesgue na bacia de atracção  $\mathcal{B}(\mathcal{A})$ , a órbita de  $\mathbf{x}_0$  gera a medida natural. Como tal, para esse  $\mathbf{x}_0$ , o teorema ergódico multiplicativo de Oseledec [50] garante que o espectro de Lyapunov  $\{\lambda_i(\mathbf{x}_0)\}$  é o mesmo conjunto para todo o  $\mathbf{x}_0$  na bacia do atractor excepto para um possível conjunto de medida de Lebesgue nula. Além disso, se  $\eta$  é a medida natural no atractor  $\mathcal{A}$ , segundo o trabalho de Ruelle [76] os expoentes de Lyapunov  $\lambda_i(\mathbf{x}_0)$  relativamente a essa medida são os mesmos valores para todos os  $\mathbf{x}_0$  na bacia de atracção  $\mathcal{B}(\mathcal{A})$ , excepto para um conjunto de medida natural nula. Neste caso os expoentes de Lyapunov denotam-se simplesmente por  $\lambda_i$ , entendendo por  $\lambda_i$  o valor de  $\lambda_i(\mathbf{x}_0)$  obtido para quase todos os  $\mathbf{x}_0$ . A multiplicidade de  $\lambda_i(\mathbf{x}_0)$  é a dimensão do subespaço  $W^i(\mathbf{x}_0)$ . Assim, o espectro de Lyapunov pode ser, de facto, considerado uma propriedade do atractor.

Seja agora S um sistema dinâmico contínuo definido num subespaço métrico  $X \subset \mathbb{R}^m$  por (1.2) onde  $\mathbf{f}$  é um campo vectorial de classe  $C^r$ , com  $r \geq 1$ . A discussão para definir os expoentes de Lyapunov como medida da dependência sensível da solução de (1.2), para uma dada condição inicial  $\mathbf{x}_0 = \mathbf{x}(0)$ , é análoga ao caso de tempo discreto.

Seja  $\phi^t$  o fluxo gerado pelo campo vectorial  $\mathbf{f}$ . Seja  $\mu$  uma medida de probabilidade em X que é preservada por  $\phi^t$ . Considere um ponto  $\mathbf{x}_0 \in X$  e um ponto  $\mathbf{y} \in X$  próximo de  $\mathbf{x}_0$ . A taxa de variação da distância entre eles evolue sob a acção do fluxo  $\phi^t$  pela razão

$$\frac{\left\|\phi^{t}\left(\mathbf{y}\right) - \phi^{t}\left(\mathbf{x}_{0}\right)\right\|}{\left\|\mathbf{y} - \mathbf{x}_{0}\right\|},$$

cujo limite quando  $\mathbf{y} \to \mathbf{x}_0$ , ao longo de uma dada curva  $\gamma$ , pode ser escrito como

$$\frac{\left\|\mathbf{D}\phi^{t}\left(\mathbf{x}_{0}\right)\cdot\mathbf{v}\left(\mathbf{x}_{0}\right)\right\|}{\left\|\mathbf{v}\left(\mathbf{x}_{0}\right)\right\|} = \frac{\left\|\dot{\phi}^{t}\left(\mathbf{x}_{0}\right)\cdot\mathbf{v}\left(\mathbf{x}_{0}\right)\right\|}{\left\|\mathbf{v}\left(\mathbf{x}_{0}\right)\right\|} = \frac{\left\|\mathbf{f}\left(\phi^{t}\left(\mathbf{x}_{0}\right)\right)\cdot\mathbf{v}\left(\mathbf{x}_{0}\right)\right\|}{\left\|\mathbf{v}\left(\mathbf{x}_{0}\right)\right\|},$$

onde  $\mathbf{D}\phi^t(\mathbf{x}_0)$  é a derivada de  $\phi^t$  relativamente a  $\mathbf{x}$  calculada em  $\mathbf{x}_0$ , e  $\mathbf{v}(\mathbf{x}_0)$  é um vector do espaço  $\mathcal{T}_{\mathbf{x}_0}X$  tangente à curva  $\gamma$ . A evolução do vector tangente  $\mathbf{v}$  ao longo do tempo é definida pela equação linearizada

(1.13) 
$$\dot{\mathbf{v}}(\mathbf{x}) = \mathbf{Df}\left(\phi^{t}(\mathbf{x_{0}})\right) \cdot \mathbf{v}(\mathbf{x}),$$

onde  $\mathbf{Df}\left(\phi^t(\mathbf{x_0})\right)$  é a matriz Jacobiana de  $\mathbf{f}$  calculada em  $\phi^t(\mathbf{x_0})$ . A matriz  $\mathbf{Df}\left(\phi^t(\mathbf{x_0})\right)$  descreve como uma pequena perturbação no ponto  $\mathbf{x_0}$  se propaga ao ponto final  $\phi^t(\mathbf{x_0})$ .

Os expoentes de Lyapunov (característicos) do fluxo  $\phi^t$  para a condição inicial  $\mathbf{x}_0$  são definidos por

$$\lambda_{i}\left(\mathbf{x}_{0};\mathbf{v}\left(\mathbf{x}_{0}\right)\right) \equiv \lim_{t \to +\infty} \frac{1}{t} \ln \|\mathbf{v}\left(\mathbf{x}\right)\| = \lim_{t \to +\infty} \frac{1}{t} \ln \frac{\left\|D\phi^{t}\left(\mathbf{x}_{0}\right) \cdot \mathbf{v}\left(\mathbf{x}_{0}\right)\right\|}{\left\|\mathbf{v}\left(\mathbf{x}_{0}\right)\right\|},$$

para i=1,...,m. A versão do teorema ergódico multiplicativo apresentada por Oseledec [50], estabelece as condições em X e  $\phi^t$  sob as quais este limite existe para quase todos os pontos  $\mathbf{x}_0 \in X$ , relativamente à medida  $\mu$ . Analogamente ao caso discreto, pode ser considerada a definição alternativa

$$\lambda(\mathbf{x}_0) \equiv \lim_{t \to +\infty} \sup \frac{1}{t} \ln \|\mathbf{Df}\left(\phi^t(\mathbf{x}_0)\right)\|.$$

Nomeadamente, garante a existência da matriz simétrica e positiva

$$L\left(\mathbf{x}_{0}\right) = \lim_{t \to +\infty} \sqrt[2t]{\mathbf{Df}\left(\phi^{t}(\mathbf{x}_{0})\right) \cdot \left[\mathbf{Df}\left(\phi^{t}(\mathbf{x}_{0})\right)\right]^{T}}$$

cujos valores próprios conduzem à determinação do espectro de Lyapunov do fluxo  $\phi^t$  no ponto  $\mathbf{x}_0$  [1].

**Proposição 1.1.6** Seja S um sistema dinâmico definido num subespaço métrico  $X \subset \mathbb{R}^m$  por  $\dot{\mathbf{x}} = \mathbf{f}(\mathbf{x})$  onde  $\mathbf{f}$  é um campo vectorial de classe  $C^r$  com  $r \geq 1$ . Se  $\Lambda_i(\mathbf{x}_0)$  são os valores próprios da matriz

$$L\left(\mathbf{x}_{0}\right) = \lim_{t \to +\infty} \sqrt[2t]{\mathbf{Df}\left(\phi^{t}(\mathbf{x}_{0})\right) \cdot \left[\mathbf{Df}\left(\phi^{t}(\mathbf{x}_{0})\right)\right]^{T}}$$

então os expoentes de Lyapunov  $\lambda_i(\mathbf{x}_0)$  são dados por  $\lambda_i(\mathbf{x}_0) = \ln(\Lambda_i(\mathbf{x}_0))$ .

O espectro de Lyapunov  $\lambda_1(\mathbf{x}_0), \lambda_2(\mathbf{x}_0), \ldots, \lambda_m(\mathbf{x}_0)$ , descrevendo o comportamento dos vectores no espaço tangente  $\mathcal{T}_{\mathbf{x}_0}X$ , depende em geral do ponto inicial  $\mathbf{x}_0$  tomado. Para sistemas em tempo contínuo um dos expoentes de Lyapunov é nulo, correspondente ao deslocamento infinitesimal ao longo do fluxo (a direcção tangente à trajectória). Mais precisamente, dado  $\mathbf{x}_0 \in X$ , tal que  $\omega(\mathbf{x}_0, \mathbf{f})$  não contém nenhuma solução estacionária, existe um i tal que  $\lambda_i = 0$ , correspondente à localização inicial de  $\mathbf{x}_0$  no atractor caótico com orientação de  $\mathbf{v}(\mathbf{x}_0)$  tangente à órbita através de  $\mathbf{x}_0$ .

Seja  $\mathbf{x}^*$  um ponto de equilíbrio hiperbólico de (1.2). A matriz Jacobiana  $D\mathbf{f}(\mathbf{x}^*)$  não tem valores próprios no eixo imaginário  $\mathcal{I}$  e aplica-se o teorema de Hartman-Grobman para fluxos. Então,

$$\lambda\left(\mathbf{x}^{*}\right) = \max_{\lambda} \left\{ \operatorname{Re}\left(\Lambda\right) \mid \Lambda \text{ \'e valor pr\'oprio de } D\mathbf{f}\left(\mathbf{x}^{*}\right) \right\}.$$

Entropia topológica. A entropia topológica e a entropia métrica são quantidades que, tal como os expoentes de Lyapunov, medem a complexidade da dinâmica de um sistema: são positivas para sistemas caóticos e nulas para sistemas não caóticos. Os valores de cada uma das entropias são, em geral, mais difíceis de calcular do que os expoentes de Lyapunov, pelo que o seu uso tem sido menos frequente. Para os propósitos desta tese apenas interessa abordar a entropia topológica.

A entropia topológica é o invariante numérico mais importante relacionado com o crescimento orbital num sistema dinâmico. Representa a taxa de crescimento exponencial do número de órbitas distinguíveis com precisão arbitrariamente pequena mas finita. Tem a vantagem de descrever de um modo sugestivo, através de um único número real, a complexidade exponencial total da estrutura orbital do sistema. Embora a definição original de entropia topológica seja atribuida a Adler, Konheim e McAndrew [3] (1965), é aqui apresentada a definição introduzida por Bowen [11] em 1971.

Seja  $S = (X, T, \mathbf{f})$  um sistema dinâmico definido por uma transformação contínua  $\mathbf{f}$  e d a métrica tomada no compacto X. Um subconjunto  $E \subset X$  diz-se  $(\epsilon, n)$ -separado para  $\mathbf{f}$  se, para quaisquer pontos distintos  $\mathbf{x}, \mathbf{y} \in E$ , existe pelo menos um k, com  $0 \le k < n$ , tal que

$$d\left(\mathbf{f}^{k}\left(\mathbf{x}\right),\mathbf{f}^{k}\left(\mathbf{y}\right)\right)>\epsilon.$$

Uma outra maneira de expressar este conceito é introduzir em X uma sucessão crescente de distâncias

(1.14) 
$$d_{n,\mathbf{f}}(\mathbf{x},\mathbf{y}) = \max_{0 \le i \le n-1} d\left(\mathbf{f}^{i}(\mathbf{x}), \mathbf{f}^{i}(\mathbf{y})\right),$$

com termo inicial  $d_{1,\mathbf{f}} = d$ . O número  $d_{n,\mathbf{f}}(\mathbf{x},\mathbf{y})$  mede a distância entre os segmentos de órbita  $I_{n,\mathbf{x}} \equiv \{\mathbf{x},\mathbf{f}(\mathbf{x}),\ldots,\mathbf{f}^{n-1}(\mathbf{x})\}$  e  $I_{n,\mathbf{y}}$ . Um subconjunto  $E \subset X$  é  $(\epsilon,n)$ -separado para  $\mathbf{f}$  se  $d_{n,\mathbf{f}}(\mathbf{x},\mathbf{y}) > \epsilon$  para quaisquer dois pontos distintos  $\mathbf{x},\mathbf{y} \in E$ .

Seja  $N(\mathbf{f}, \epsilon, n)$  a cardinalidade máxima de um conjunto  $(\epsilon, n)$ -separado, ou seja, o número máximo de órbitas distinguíveis de comprimento n,

$$N(\mathbf{f}, \epsilon, n) = \max \{ \#E \mid E \subset X \text{ \'e um conjunto } (\epsilon, n) \text{-separado para } \mathbf{f} \},$$

onde #E denota o cardinal de E. Dado que X é tomado como compacto,  $N(\mathbf{f}, \epsilon, n)$  é finito. Se  $0 < \epsilon_1 < \epsilon_2$ , então  $N(\mathbf{f}, \epsilon_1, n) \ge N(\mathbf{f}, \epsilon_2, n)$ . Considere a taxa de crescimento exponencial de  $N(\mathbf{f}, \epsilon, n)$  quando n aumenta, como

$$h(f, \epsilon) \equiv \lim_{n \to \infty} \sup \frac{1}{n} \log N(\mathbf{f}, \epsilon, n).$$

Se  $N(\mathbf{f}, \epsilon, n) = e^{n\tau}$ , então  $h(\mathbf{f}, \epsilon) = \tau$ . Assim,  $h(\mathbf{f}, \epsilon)$  mede o expoente pelo qual  $N(\mathbf{f}, \epsilon, n)$  aumenta quando  $n \to \infty$ . Dado que  $N(\mathbf{f}, \epsilon, n) \ge 1$  para qualquer par  $(n, \epsilon)$  e X é compacto, prova-se que  $0 \le h(\mathbf{f}, \epsilon) < \infty$  (para X não compacto apenas é garantido que  $0 \le h(\mathbf{f}, \epsilon) \le \infty$ ). Se  $0 < \epsilon_1 < \epsilon_2$ , então  $h(\mathbf{f}, \epsilon)$  é uma função monótona com  $\epsilon$ ,  $h(\mathbf{f}, \epsilon_1) \ge h(\mathbf{f}, \epsilon_2)$ , o que garante a existência do limite da definição seguinte.

Definição 1.1.24 A entropia topológica de f é definida por

$$h_{top}(\mathbf{f}) = \lim_{\epsilon \to 0, \epsilon > 0} h(\mathbf{f}, \epsilon) = \lim_{\epsilon \to 0, \epsilon > 0} \lim_{n \to \infty} \sup \frac{1}{n} \log N(\mathbf{f}, \epsilon, n).$$

A entropia topológica  $h_{top}(\mathbf{f})$  é independente da métrica d tomada em X. Sendo  $h_{top}(\mathbf{f}, \epsilon)$  monótona crescente, para todo o  $\epsilon > 0$ , é válido

$$0 \le h_{top}(\mathbf{f}, \epsilon) \le h_{top}(\mathbf{f}) < \infty.$$

Obtém-se uma definição equivalente da entropia topológica utilizando conjuntos  $(n, \epsilon)$ geradores minimais para  $\mathbf{f}$  em vez de conjuntos  $(n, \epsilon)$ -separados maximais.

O cálculo da entropia topológica directamente pela definição é, em geral, difícil. No entanto a entropia topológica verifica um conjunto de propriedades de invariância que motivaram a sua introdução na teoria de sistemas dinâmicos e que a tornam particularmente útil. A proposição seguinte apresenta algumas das propriedades elementares.

Proposição 1.1.7 A entropia topológica satisfaz as seguintes propriedades:

- (T1) Se A é um conjunto fechado invariante por  $\mathbf{f}$  então  $h_{top}(\mathbf{f}|_A) \leq h_{top}(\mathbf{f})$ ; se  $\mathbf{f}: X \to X$  e  $\mathbf{f}(X) = A$  então  $h_{top}(\mathbf{f}) = h_{top}(\mathbf{f}|_A)$ ;
- (T2) Se  $X = X_1 \cup X_2 \cup ... \cup X_k$ , onde  $X_1, X_2, ..., X_k$  são subconjuntos fechados invariantes para  $\mathbf{f}$  tais que  $X_i \cap X_j = \emptyset$  sempre que  $i \neq j$ , então  $h_{top}(\mathbf{f}) = \max_{1 \leq i \leq k} h_{top}(\mathbf{f}|X_i)$ ;
- (T3) Se  $\mathbf{f}$  é um homeomorfismo então  $h_T(\mathbf{f}^{-1}) = h_T(\mathbf{f})$ ;
- (T4) Se  $\mathbf{f}: X \to X$ ,  $\mathbf{g}: Y \to Y$  e  $\mathbf{h}: X \to Y$  são transformações contínuas e sobrejectivas tais que  $\mathbf{g} \circ \mathbf{h} = \mathbf{h} \circ \mathbf{f}$  então  $h_{top}(\mathbf{f}) \geq h_{top}(\mathbf{g})$ ; se  $\mathbf{h}$  é um homeomorfismo então  $h_{top}(\mathbf{f}) = h_{top}(\mathbf{g})$ ;
- (T5)  $h_{top}(\mathbf{f}^k) = |k| h_{top}(\mathbf{f});$
- (T6) Se  $\mathbf{f}: X \to X$ ,  $\mathbf{g}: Y \to Y$  e  $\mathbf{f} \times \mathbf{g}: X \times Y \to X \times Y$  definida por  $(\mathbf{f} \times \mathbf{g})(\mathbf{x}, \mathbf{y}) = (\mathbf{f}(\mathbf{x}), \mathbf{g}(\mathbf{y}))$  então  $h_{top}(\mathbf{f} \times \mathbf{g}) = h_{top}(\mathbf{f}) + h_{top}(\mathbf{g})$ ;

- (T7) O conjunto  $Rec(\mathbf{f}) \subset X$  verifica  $h_{top}(\mathbf{f}) = \mathbf{h}_{top}(\mathbf{f}|_{Rec(f)})$ ;
- **(T8)** Se o conjunto  $Rec(\mathbf{f}) \subset X$  é um conjunto finito de órbitas periódicas então  $h_{top}(\mathbf{f}) = 0$ .

No que segue, um intervalo I pode significar um ponto, um intervalo aberto, semiaberto ou fechado.

**Proposição 1.1.8** Seja f uma transformação contínua do intervalo. Então, dado  $n \in \mathbb{N}$ , existem um intervalo  $J_n$ , uma colecção  $\mathcal{D}_n$  de subintervalos de  $J_n$  disjuntos dois a dois e  $k_n \in \mathbb{N}$ , tais que

$$h_{top}(f) = \lim_{n \to \infty} \frac{1}{k_n} \log (\# \mathcal{D}_n)$$

 $e J_n \subset f^{k_n}(I)$  para todo o  $I \in \mathcal{D}_n$ .

Este resultado tem como corolário uma relação entre pontos periódicos e entropia topológica. Seja p(f) a taxa de crescimento exponencial dos pontos periódicos de f definida como

$$p(f) \equiv \lim_{n \to \infty} \sup \frac{1}{n} \ln P_n(f).$$

Corolário 1.1.3 Para qualquer transformação contínua f do intervalo é válida a desigualdade  $p(f) \ge h_{top}(f)$ .

Corolário 1.1.4 Se f é uma transformação contínua do intervalo tal que  $h_{top}(f) > 0$ , então existe um ponto periódico cujo período não é uma potência de 2

Existem relações interessantes entre a entropia topológica e os expoentes característicos de Lyapunov.

**Proposição 1.1.9** Sejam  $\lambda_i^+$  os expoentes característicos de Lyapunov de um sistema dinâmico  $S = (X, T, \mathbf{f})$  definido por uma transformação contínua  $\mathbf{f}$ . Então

$$h_{top}\left(\mathbf{f}\right) \leq \sum_{i} \lambda_{i}^{+}.$$

A definição de entropia topológica para o fluxo  $\Phi = \{\phi^t\}_{t\in\mathbb{R}}$  gerado por um campo vectorial é completamente análoga à definição para o caso de tempo discreto. A expressão (1.14) dá lugar à sucessão não-decrescente de distâncias

$$d_{t',\Phi}(\mathbf{x},\mathbf{y}) = \max_{0 \le t \le t'} d\left(\phi^{t}(\mathbf{x}), \phi^{t}(\mathbf{y})\right).$$

Como correspondente à propriedade (T5), é válida a seguinte proprosição.

Proposição 1.1.10 Dado um fluxo  $\Phi = \left\{\phi^t\right\}_{t \in \mathbb{R}}$ , é válida a igualdade

$$h_{top}\left(\Phi\right) = h_{top}\left(\phi^{1}\right).$$

A entropia topológica para um fluxo é obviamente invariante pela equivalência topológica. No entanto varia com a mudança temporal (reparametrização) e, consequentemente, com uma equivalência orbital.

# 1.1.5 Bifurcações

Embora a teoria de bifurcações seja um tema com origens matemáticas clássicas, por exemplo nos trabalhos de Euler no século XVIII, o termo "bifurcação" foi introduzido por Poincaré, no final do século XIX, para descrever a separação das soluções de equilíbrio numa família de equações diferenciais. No entanto, não há concordância quanto ao significado rigoroso do termo.

Muitos sistemas dinâmicos não-lineares com importância prática, em tempo discreto ou contínuo, são dependentes de parâmetros, designados por parâmetros de controle. Portanto, um sistema dinâmico S, além de ser função do tempo, pode ser pensado como função de um vector de parâmetros  $\boldsymbol{\rho}$  num certo espaço paramétrico, caso em que se representa genericamente por  $S = (X, T, \phi_{\boldsymbol{\rho}}^t)$ . Para fins aplicativos é crucial entender a evolução do comportamento qualitativo desses sistemas quando os parâmetros variam.

**Definição 1.1.25** Seja  $\{\phi_{\boldsymbol{\rho}}^t\}_{\boldsymbol{\rho}\in\mathbb{R}^l}$  uma família de sistemas dinâmicos definidos em  $X=\mathbb{R}^m$  e  $\Delta\boldsymbol{\rho}$  uma variação suave arbitrariamente pequena dos valores paramétricos a partir de um valor  $\boldsymbol{\rho}_0$ . Se o retrato de fase sob a variação  $\Delta\boldsymbol{\rho}$  do parâmetro não é localmente topologicamente equivalente ao retrato de fase em  $\boldsymbol{\rho}=\boldsymbol{\rho}_0$ , diz-se que existe uma bifurcação em  $\boldsymbol{\rho}=\boldsymbol{\rho}_0$ .

Assim, ocorre uma bifurcação na família de sistemas  $\{\phi_{\boldsymbol{\rho}}^t\}_{\boldsymbol{\rho}\in\mathbb{R}^l}$  quando o parâmetro  $\boldsymbol{\rho}$  atinge um valor crítico  $\boldsymbol{\rho}=\boldsymbol{\rho}_0$ , designado por ponto de bifurcação, correspondente a uma mudança topológica do comportamento dinâmico dos elementos da família. O número de componentes do vector de parâmetros  $\boldsymbol{\rho}$  que devem variar para ocorrer uma dada bifurcação diz-se a codimensão da bifurcação.

O estudo de famílias de sistemas é auxiliado por um novo tipo de diagrama, o diagrama de bifurcação, que representa os possíveis pontos de equilíbrio do sistema em tempo longo em função do parâmetro de bifurcação  $\rho$ . Tal como no caso de sistemas dinâmicos

individuais, na teoria de bifurcações existem problemas locais, semi-locais e globais. No âmbito desta tese apenas são consideradas bifurcações locais.

As bifurcações locais mais frequentes são as relacionadas com alteração das propriedades de estabilidade local de um ponto periódico. Como tal uma bifurcação é acompanhada por uma mudança na posição dos valores próprios relativamente à fronteira de estabilidade ( $\mathcal{S}$  ou  $\mathcal{I}$  do plano complexo ).

Se  $\mathbf{x}^*$  é um ponto de equilíbrio hiperbólico do sistema para  $\boldsymbol{\rho} = \boldsymbol{\rho}_0$ , sob uma pequena perturbação o ponto de equilíbrio move-se ligeiramente mas continua hiperbólico. Assim, a falta de hiperbolicidade é usualmente um indicativo para a ocorrência de bifurcações. Os valores dos parâmetros para os quais ocorrem pontos de equilíbrio/periódicos não-hiperbólicos são os "candidatos" principais a pontos de bifurcação estruturalmente estável. É usual considerar ainda as intersecções transversais das variedades estável e instável de pontos de equilíbrio/periódicos.

A teoria de bifurcações, embora recente, tem conduzido à identificação de diversos padrões de bifurcação e estabelecido resultados gerais para o seu reconhecimento em situações práticas. Em codimensão 1, caso contínuo, podem ser consideradas as bifurcações sela-nodo e de Andronov-Hopf relativas à falta de hiperbolicidade em pontos de equilíbrio. E ainda as bifurcações duplicação de período (ou flip), ciclo limite (fold) e de Neimark-Sacker relativas a pontos periódicos não-hiperbólicos, no caso discreto.

Bifurcações elementares em tempo discreto. Uma bifurcação estruturalmente estável (local) ocorre num ponto  $(\tilde{\mathbf{x}}, \tilde{\boldsymbol{\rho}})$  se a matriz Jacobiana  $D_{\mathbf{x}} \mathbf{f}_{\tilde{\boldsymbol{\rho}}}(\tilde{\mathbf{x}})$  das derivadas parciais em  $\mathbf{x}$  tem um valor próprio  $\Lambda$  na circunferência unitária  $\mathcal{S}$  do plano complexo.

Em dimensão 1, as bifurcações estruturalmente estáveis podem ser facilmente descritas. Neste caso o único valor próprio da derivada num ponto fixo é real e portanto os únicos valores próprios em S são  $\Lambda = 1$  ou  $\Lambda = -1$ .

Considere que  $\Lambda = -1$ . Então ocorre uma bifurcação de tipo duplicação de período (ou bifurcação flip) caracterizada pelo teorema seguinte.

Teorema 1.1.8 (bifurcação duplicação do período) Seja  $S = (\mathbb{R}, \mathbb{N}_0, f_\rho)$  um sistema dinâmico definido por  $x_{n+1} = f_\rho(x_n)$ , onde  $f_\rho$  é uma transformação de classe  $C^r$ ,  $r \geq 3$ , nas variáveis x e  $\rho$ . Se  $f_\rho(x_0) = x_0$  para todo o  $\rho$  num intervalo em torno de  $\rho_0$  e  $x_0$  não é um ponto fixo hiperbólico nem transversal,

$$\left. \frac{\partial f_{\rho}}{\partial x} \right|_{\rho = \rho_o} (x_0) = -1,$$

e as derivadas de  $f_{\rho}$  na variável x satisfazem

$$\left. \frac{\partial^2 f_{\rho}}{\partial x^2} \right|_{\rho = \rho_0} (x_0) < 0 \quad e \quad \left. \frac{\partial^3 f_{\rho}}{\partial x^3} \right|_{\rho = \rho_0} (x_0) < 0,$$

então existem intervalos  $(\rho_1, \rho_0)$  e  $(\rho_0, \rho_2)$  e  $\delta > 0$  tais que:

- (1) Se  $\rho \in (\rho_1, \rho_0)$  então  $f_{\rho}(x)$  tem um único ponto fixo estável para  $x \in (-\delta, \delta)$ ;
- (2) Se  $\rho \in (\rho_0, \rho_2)$  então  $f_{\rho}(x)$  tem um ponto fixo instável e uma órbita periódica de período 2 para  $x \in (-\delta, \delta)$ .

Assim, a mudança na estrutura orbital do sistema correspondente à perda de estabilidade do ponto fixo  $x^*$  em  $\rho=\rho_0$  é acompanhada pelo aparecimento de uma órbita de período 2 estável num dos lados do ponto de bifurcação. Se o sistema sofre sucessivas transições de comportamento periódico de período  $2^k$  para novo comportamento periódico em que o período das oscilações duplicou,  $2^{k+1}$ , diz-se que é produzida uma cascata infinita duplicação do período<sup>1</sup>, na qual existem órbitas de período  $2^k$  estáveis na variação paramétrica  $\rho_k < \rho < \rho_{k+1}$ . O comprimento de intervalos sucessivos  $\left[\rho_k, \rho_{k+1}\right]$  da variação de estabilidade para uma órbita de período  $2^k$  decresce quando k aumenta. Conforme provado por Feigenbaum [18], a razão entre os comprimentos destes intervalos converge para uma constante universal, designada por número de Feigenbaum, dada por

$$\lim_{k \to +\infty} \frac{\rho_k - \rho_{k-1}}{\rho_{k+1} - \rho_k} = 4.6692\dots \equiv \hat{\delta},$$

comum a todos os sistemas dissipativos típicos que apresentam uma cascata infinita duplicação do período. Além disso, existe um ponto de acumulação de um número infinito de bifurcações duplicação do período num valor finito  $\rho$ , denotado por  $\rho_{\infty}$ , dado por

$$\rho_{\infty} = \lim_{k \to +\infty} \rho_k = 3.570\dots$$

Uma cascata de bifurcações de duplicação do período conduz a comportamento caótico. O valor paramétrico de  $\rho$  a partir do qual o comportamento dinâmico de um sistema é caótico diz-se o ponto de Misiurewicz, denotado por  $2^{\infty}$ .

Considere agora que  $\Lambda=1$ . Então ocorre uma bifurcação de tipo fold (ou tangencial) caracterizada pelo teorema seguinte.

<sup>&</sup>lt;sup>1</sup>Existem sistemas dinâmicos que exibem bifurcação metade-período, na qual o sistema se desvia para um novo comportamento com metade do período do comportamento anterior. Uma sequência destas bifurcações conduz o sistema do caos para ordem.

Teorema 1.1.9 (bifurcação fold) Seja  $S = (\mathbb{R}, \mathbb{N}_0, f_\rho)$  um sistema dinâmico definido por  $x_{n+1} = f_\rho(x_n)$ , onde  $f_\rho$  é uma transformação de classe  $C^r$ ,  $r \geq 3$ , nas variáveis  $x \in \rho$ . Se  $f_\rho(x_0) = x_0$  para todo o  $\rho$  num intervalo em torno de  $\rho_0$  e  $x_0$  não é um ponto fixo hiperbólico,

$$\left. \frac{\partial f_{\rho}}{\partial x} \right|_{\rho = \rho_{-}} (x_{0}) = 1,$$

e as derivadas da transformação  $f_{\rho}$  na variável x e  $\rho$  satisfazem:

(1) 
$$\frac{\partial^2 f_{\rho}}{\partial x^2}\Big|_{\rho=\rho_0} (x_0) \neq 0, e$$

(2) 
$$\frac{\partial f_{\rho}}{\partial \rho}\Big|_{\rho=\rho_0} (x_0) \neq 0.$$

Então existe um intervalo I em torno de  $x_0$  e uma função real suave g definida em I tais que  $g(x_0) = \rho_0$  e  $f_{g(x)}(x) = x$ . Além disso,  $g'(x_0) = 0$  e  $g''(x_0) = 0$ . Os sinais das expressões em (1) e (2) determinam o "sentido" da bifurcação: para a direita se os sinais são opostos e para a esquerda no caso contrário.

Os pontos fixos estável e instável existentes para valores inferiores do parâmetro  $\rho$  colidem no ponto de bifurcação  $\rho_0$  e produzem um ponto semi-estável: um ponto que atrai de um lado e repele do outro. Mais, quando existem dois pontos fixos simétricos, um estável e outro instável, é ainda possível que ocorra uma bifurcação correspondente à troca de estabilidade entre eles, designada por bifurcação transcrítica. Note que neste caso, além do ponto de bifurcação o número de pontos fixos não muda, contrariamente à bifurcação fold.

Em dimensões superiores, as bifurcações estruturalmente estáveis ocorrem quando um dos valores próprios é  $\Lambda=1$  ou  $\Lambda=-1$  e os restantes valores próprios estão no exterior da circunferência unitária  $\mathcal S$  do plano complexo. As bifurcações resultantes dizem-se bifurcações sela-nodo. Quando o valor do parâmetro  $\rho$  se aproxima do ponto de bifurcação  $\rho=\rho_0$ , um nodo (com valores próprios negativos) e uma sela (a que corresponde um valor próprio negativo e outro positivo) colidem e aniquilam-se entre si de tal modo que, para  $\rho>\rho_0$ , não existem pontos fixos. Não é estruturalmente estável a bifurcação que ocorre quando os valores próprios de uma transformação são um par de números complexos conjugados que cruzam  $\mathcal S$ , designada por bifurcação de Neimark-Sacker. De facto, dá-se o aparecimento de uma curva invariante fechada após o ponto fixo mudar de atractor para repulsor.

Teorema 1.1.10 (bifurcação de Neimark-Sacker) Seja  $S = (\mathbb{R}^2, \mathbb{Z}, \mathbf{f}_{\rho})$  um sistema dinâmico definido por  $\mathbf{x}_{n+1} = \mathbf{f}_{\rho}(\mathbf{x}_n)$ , onde  $\mathbf{f}_{\rho}$  é um difeomorfismo de classe  $C^r$ ,  $r \geq 5$ , nas variáveis  $\mathbf{x}$  e  $\rho$ . Se a transformação  $\mathbf{f}_{\rho}$  satisfaz:

- (1)  $\mathbf{f}_{\rho}(0,0) = (0,0)$  para todo o  $\rho$  num intervalo em torno de 0;
- (2)  $\mathbf{Df}_{\rho}(0,0)$  tem dois valores próprios imaginários puros conjugados,  $\Lambda(\rho)$  e  $\bar{\Lambda}(\rho)$ , tais  $que |\Lambda(0)| = 1$  e

$$\frac{d\left|\Lambda\left(\rho\right)\right|}{d\rho} \neq 0$$

(por uma mudança de parâmetro, pode ser assumido que  $|\Lambda(\rho)| = 1 + \rho$ );

(3) por uma mudança de base em  $\mathbb{R}^2$  dependente de  $\mu$ , verifica-se

$$\mathbf{Df}_{\rho}(0,0) = (1+\rho) \begin{pmatrix} \cos(\beta(\rho)) & -\sin(\beta(\rho)) \\ \sin(\beta(\rho)) & \cos(\beta(\rho)) \end{pmatrix}.$$

- (4)  $\Lambda(0)^m = e^{im\beta(0)} \neq 1$  para m = 1, 2, ..., 5, ou seja,  $\Lambda(0)$  não é uma raíz de ordem baixa da unidade e não sendo igual a  $\pm 1$ ;
- (5) existe uma mudança de coordenadas (porque  $\Lambda$  (0) não é uma raíz de ordem baixa de 1) que transforma  $\mathbf{f}_{\rho}$  para a forma

$$\mathbf{f}_{\rho}(x_1, x_2) = N_{\rho}(x_1, x_2) + \mathcal{O}\left(|(x_1, x_2)|^5\right),$$

onde  $N_{\rho}(x_1, x_2)$  é dada em coordenadas polares por

$$N_{\rho}(r,\theta) = ((1+\rho)r - l_1(\rho)r^3, \theta + \beta(\rho) + l_3(\rho)r^2).$$

Então, para todo o  $\rho$  suficientemente pequeno com  $\rho l_1(\rho)^{-1} > 0$ ,  $\mathbf{f}_{\rho}$  tem uma curva curva fechada invariante em redor do ponto fixo (0,0) de raio aproximadamente igual a  $(\mu/l_1(\mu))^{1/2}$ . Além disso, a curva fechada é atractora se  $l_1(0) > 0$  e é repulsora se  $l_1(0) < 0$ .

Bifurcações elementares em tempo contínuo. Ocorre uma bifurcação estruturalmente estável (local) quando a parte real de um valor próprio de um ponto de equilíbrio passa através do eixo imaginário  $\mathcal{I}$ , ou seja, ocorre uma bifurcação em  $(\mathbf{x}_b; \boldsymbol{\rho}_b)$  se a matriz Jacobiana  $\mathbf{D}_{\mathbf{x}}\mathbf{f}(\mathbf{x}_b, \boldsymbol{\rho}_b)$  tem um valor próprio  $\Lambda$  com parte real nula.

Existem, genericamente, duas maneiras pelas quais a condição de hiperbolicidade num ponto de equilíbrio pode deixar de ser válida. Para um certo valor  $\rho_b$ , um valor próprio

real aproxima-se de 0 ou um par de valores próprios conjugados aproxima-se de  $\mathcal{I}$  e tem-se  $\Lambda_{1,2} = \pm i\beta$ , com  $\beta > 0$ .

A bifurcação associada ao aparecimento de  $\Lambda=0$ , é possivel num espaço de fase unidimensional, e diz-se uma bifurcação tangencial (bifurcação fold ou bifurcação selanodo) para fluxos. A dinâmica do sistema neste tipo de bifurcação é caracterizada por uma colisão de pontos de equilíbrio, um instável e outro estável, que conduz ao seu desaparecimento.

Teorema 1.1.11 (bifurcação tangencial para fluxos) Seja X um domínio conexo aberto de  $\mathbb{R}$  e f uma função real de classe  $C^r$ ,  $r \geq 2$ , definida em  $X \times \mathbb{R}$ . Considere o sistema dinâmico  $S = (X, \mathbb{R}, f)$  definido por  $\dot{x} = f(x; \rho)$ . Se  $f(0; \rho_0) = 0$  e as derivadas de f na variável estado x e na variável parâmetro  $\rho$  satisfazem

$$\frac{\partial f}{\partial x}(0; \rho_0) = 0, \quad \frac{\partial^2 f}{\partial x^2}(0; \rho_0) > 0 \quad e \quad \frac{\partial f}{\partial \rho}(0; \rho_0) > 0,$$

então existem intervalos  $(\rho_1, \rho_0)$  e  $(\rho_0, \rho_2)$  e  $\delta > 0$  tais que:

- (1) Se  $\rho \in (\rho_1, \rho_0)$ , então  $f(x; \rho)$  tem dois pontos fixos em  $(-\delta, \delta)$  sendo o positivo instável e o negativo estável;
- (2) Se  $\rho \in (\rho_0, \rho_2)$ , então  $f(x; \rho)$  não tem dois pontos fixos em  $(-\delta, \delta)$ .

Se não existe destruição dos pontos de equilíbrio, mas apenas trocam de estabilidade quando colidem, a bifurcação diz-se transcrítica.

Teorema 1.1.12 (bifurcação transcrítica para fluxos) Seja X um domínio conexo aberto de  $\mathbb{R}$  e f uma função real de classe  $C^r$ ,  $r \geq 2$ , definida em  $X \times \mathbb{R}$ . Considere o sistema dinâmico  $S = (X, \mathbb{R}, f)$  definido por  $\dot{x} = f(x; \rho)$ . Se  $f(0; \rho_0) = 0$  e as derivadas de f na variável estado x e na variável parâmetro  $\rho$  satisfazem

$$\frac{\partial f}{\partial x}(0; \rho_0) = 0, \quad \frac{\partial^2 f}{\partial x^2}(0; \rho_0) > 0 \quad e \quad \frac{\partial^2 f}{\partial \rho \partial x}(0; \rho_0) > 0,$$

então existem dois pontos de equilíbrio, um estável e outro instável.

Em sistemas dinâmicos com uma inversão ou simetria de reflexão (i.e., as equações de movimento permanecem imutáveis se é alterado o sinal de pelo menos uma das variáveis

do espaço de fase), é ainda possível um outro tipo de bifurcação, designada por bifurcação forquilha. Usualmente, ocorre bifurcação forquilha quando um ponto de equilíbrio do sistema bifurca em três pontos de equilíbrio, um com estabilidade oposta e dois com a mesma estabilidade do ponto de equilíbrio original. A bifurcação forquilha diz-se supercrítica (subcrítica) quando um ponto de equilíbrio estável (instável) bifurca em dois pontos de equilíbrio estáveis (instáveis) e um ponto de equilíbrio instável (estável).

A solução bifurcada pode não ter a simetria total da equação de movimento. Este fenómeno diz-se simetria quebrada. Uma solução com uma simetria quebrada não ocorre em isolamento porque a simetria quebrada aplicada sobre uma tal solução gera uma nova solução onde a mesma simetria é quebrada. Todas estas soluções formam uma família. Como tal, dois pontos fixos com uma simetria quebrada bifurcam sempre uma vez numa bifurcação transcrítica. São ambos estáveis (bifurcação transcrítica supercrítica) ou são ambos instáveis (bifurcação transcrítica subcrítica).

**Teorema 1.1.13** (bifurcação forquilha) Seja X um domínio conexo aberto de  $\mathbb{R}$  e f uma função real de classe  $C^r$ , com  $r \geq 3$ , definida em  $X \times \mathbb{R}$ . Considere o sistema dinâmico  $S = (X, \mathbb{R}, f)$  definido por  $\dot{x} = f(x; \rho)$ . Se  $f(-x; \rho) = -f(x; \rho)$  e as derivadas de f na variável estado x e na variável parâmetro  $\rho$  satisfazem, respectivamente,

$$\frac{\partial f}{\partial x}(0; \rho_0) = 0, \quad \frac{\partial^2 f}{\partial x^2}(0; \rho_0) = 0 \quad e \quad \frac{\partial^3 f}{\partial x^3}(0; \rho_0) \neq 0,$$

e

$$\frac{\partial f}{\partial \rho}\left(0;\rho_{0}\right)=0 \quad e \quad \frac{\partial^{2} f}{\partial \rho \partial x}\left(0;\rho_{0}\right)>0,$$

então o sistema tem uma bifurcação forquilha em  $(x; \rho) = (0; \rho_0)$ . A bifurcação forquilha é supercrítica (subcrítica) se a terceira derivada de f na variável x calculada em  $(0; \rho_0)$  é negativa (positiva).

Bifurcações bubbling e blowout. Como já foi referido, o estudo da dinâmica de sistemas com atractores de Milnor contidos em subvariedades invariantes suaves do espaço de fase tem revelado a existência de bacias de atracção riddled ou localmente riddled. A estrutura e as propriedades de tais bacias podem ser conhecidas por análise dos expoentes de Lyapunov transversais para a subvariedade invariante ([5],[7],[8]).

Seja  $S = (\mathbb{R}^m, \mathbb{N}_0, \mathbf{f})$  um sistema dinâmico definido por uma transformação suave  $\mathbf{f}$  que deixa invariante uma subvariedade l-dimensional  $\mathcal{M}$  (de baixa dimensão). Suponha que  $\mathcal{A} \subset \mathcal{M}$  é um atractor para a restricção  $\mathbf{f}|_{\mathcal{M}}$  e que  $\eta$  é uma medida natural suportada em

 $\mathcal{A}$ . Então, para quase todo o  $\mathbf{x} \in \mathcal{A}$  relativamente à medida  $\eta$ , existem (m-l) expoentes de Lyapunov transversais  $\lambda_i^{\perp}(\mathbf{x})$ ,  $1 \leq i \leq m-l$ , cujos subespaços próprios são ortogonais a  $\mathcal{M}$ . O maior expoente de Lyapunov transversal diz-se o expoente de Lyapunov normal. Existem ainda l expoentes de Lyapunov tangenciais (longitudinais)  $\lambda_j^{\parallel}(\mathbf{x})$ ,  $1 \leq j \leq l$ . Sendo  $\eta$  uma medida natural, não se considera a dependência de  $\mathbf{x}$ . Se o expoente de Lyapunov normal é negativo então existe um conjunto  $B_{\eta} \subset \mathcal{A}$  de medida total tal que, para todo o  $\mathbf{x} \in B_{\eta}$ , existe uma variedade estável local de dimensão (m-l) transversal a  $\mathcal{M}$ . Portanto, dada uma vizinhança U de  $\mathcal{A}$ , os pontos situados na intersecção de U com a variedade estável são assimptóticos para  $\mathcal{A}$ . Por outro lado, se pelo menos o expoente de Lyapunov normal é positivo, então para todo o  $\mathbf{x} \in B_{\eta}$  existe uma variedade instável local e  $\mathcal{A}$  deve ser pelo menos Lyapunov instável.

Coloca-se a questão de analisar sob que condições o atractor  $\mathcal{A}$  para a restricção  $\mathbf{f} \mid_{\mathcal{M}}$  é ainda um atractor para o sistema total  $\mathbf{f} : \mathbb{R}^m \to \mathbb{R}^m$ . Esta questão conduz ao estudo do sinal do expoente de Lyapunov normal para a medida natural suportada em  $\mathcal{A}$ . Ashwin et al. [7] descrevem o seguinte mecanismo possível para a perda de estabilidade do atractor  $\mathcal{A}$  contido em  $\mathcal{M}$ , com base na teoria de bifurcações.

Suponha que a dinâmica transversal da subvariedade invariante  $\mathcal{M}$  é definida por um parâmetro  $\rho$ , mas que esse parâmetro não afecta a sua dinâmica. Existe um valor crítico  $\rho_c$  tal que, para  $\rho > \rho_c$ , todos os conjuntos invariantes mergulhados em  $\mathcal{A}$  são estáveis relativamente a perturbações transversais a  $\mathcal{M}$ , ou seja, são atractores na direcção transversal. Para  $\rho > \rho_c$  o expoente de Lyapunov normal é negativo e, como tal, as trajectórias próximas à subvariedade  $\mathcal{M}$  convergem exponencialmente para ela. O atractor  $\mathcal{A}$  é então um atractor para o sistema total. Quando se considera um valor paramétrico  $\rho$  menor do que  $\rho_c$ , existe um conjunto invariante contido em  $\mathcal{A}$  que se torna instável a perturbações transversais a  $\mathcal{M}$ . Assim, quando  $\rho < \rho_c$ , o atractor caótico  $\mathcal{A}$  é ainda tranversalmente estável (atractor) em média pois muitas condições iniciais próximas de  $\mathcal{A}$  permanecem próximas de  $\mathcal{A}$ . No entanto, em consequência da existência de um conjunto invariante instável na direcção transversal mergulhado em  $\mathcal{A}$ , algumas condições iniciais evoluem numa órbita repulsora para longe de  $\mathcal{M}$  contendo  $\mathcal{A}$ . Este tipo de transição em  $\rho = \rho_c$  diz-se uma bifurcação bubbling ([7],[8]).

No ponto  $\rho = \rho_c$  de bifurcação bubbling podem ocorrer duas situações ([81],[52],[39]). Se cada órbita repulsora de S é atraída para um conjunto fora de  $\mathcal{M}$ , então diz-se que bifurcação bubbling em  $\rho = \rho_c$  resulta numa bacia de atracção riddled para o atractor  $\mathcal{A}$  na subvariedade invariante  $\mathcal{M}$  [5] e diz-se uma bifurcação riddling, segundo designação de Lai

et al. [39]. Portanto, o ponto de bifurcação riddling  $\rho = \rho_c$  corresponde ao valor de  $\rho$  no qual a primeira órbita periódica no atractor  $\mathcal{A}$  se torna transversalmente instável, e evolui para um atractor remoto. Por outro lado, se todas as possíveis trajectórias do sistema dinâmico são limitadas e  $\mathcal{A}$  é o único atractor do sistema, então a trajectória repulsora de  $\mathcal{A}$  eventualmente volta a uma vizinhança de  $\mathcal{A}$  após um período transitório, no qual a órbita faz vários percursos fora de  $\mathcal{M}$ . Nesse período transitório ocorrem explosões temporais que subitamente interrompem o comportamento típico de qualquer variável estado.

Quando se considera uma diminuição adicional de  $\rho$ , novos conjuntos invariantes no atractor caótico  $\mathcal{A}$  perdem a sua estabilidade transversal. Por este processo o próprio atractor caótico  $\mathcal{A}$  pode torna-se transversalmente instável em média para o sistema total num certo valor paramétrico  $\rho_{cc}$ . Em  $\rho = \rho_{cc}$  tem lugar uma bifurcação blowout, segundo designação de Ott e Sommerer [82]. Portanto, para  $\rho < \rho_{cc}$  todas as órbitas são repulsoras a partir de  $\mathcal{A}$ . No ponto de bifurcação blowout  $\rho = \rho_{cc}$  o expoente de Lyapunov normal da medida natural em  $\mathcal{A}$  torna-se positivo [82]. Esta bifurcação pode resultar numa forma extrema de explosões intermitentes, a intermitência on-off [67]. Conforme designações de Venkataramani et al. [89], se as explosões aparecem subitamente a bifurcação blowout diz-se hard e, se a amplitude máxima de explosão aumenta continuamente a partir de 0, diz-se soft.

**Definição 1.1.26** Seja  $S = (\mathbb{R}^m, \mathbb{N}_0, \mathbf{f})$  um sistema dinâmico definido por uma transformação suave  $\mathbf{f}$ . Suponha que sob a iteração de  $\mathbf{f}$  existe uma subvariedade invariante l-dimensional  $\mathcal{M}$  tal que  $\mathcal{A} \subset \mathcal{M}$  é um atractor caótico para a restricção  $\mathbf{f}|_{\mathcal{M}} : \mathcal{M} \to \mathcal{M}$ , com medida natural. Diz-se que o sistema tem uma bifurcação blowout se o expoente de Lyapunov normal relativamente à medida natural passa de negativo a positivo.

O termo blowout foi introduzido por Ott e Sommerer no artigo [82] de 1994, embora o fenómeno tenha sido reconhecido dez anos antes por Pikovsky [62] e por Yamada e Fujisaka [91]. A escolha do termo deve-se a que, quando o expoente de Lyapunov normal deixa de ser negativo,  $\mathcal{A} \subset \mathcal{M}$  deixa de ser atractor para o sistema total e consequentemente trajectórias típicas em  $\mathbb{R}^m$  são sopradas para fora de  $\mathcal{M}$  para outros atractores contidos em  $\mathbb{R}^m$ .

## 1.2 Generalidades em sincronização de caos

Os conceitos presentes nesta secção são introduzidos apenas para sistemas dinâmicos discretos, visto que os correspondentes para sistemas dinâmicos contínuos autónomos são

análogos, com as adaptações óbvias. De facto, dado o fluxo  $\phi^t$  gerado pelo campo vectorial  $\mathbf{f}$  suficientemente suave de um sistema autónomo definido por (1.2), pode ser considerado o difeomorfismo  $\mathbf{f}$  definido como a transformação tempo-T analítica  $\mathbf{x}_{n+1} = \phi^T(\mathbf{x}_n)$ .

Sejam  $S_1 = (X, \mathbb{Z}, \mathbf{f})$  e  $S_2 = (X, \mathbb{Z}, \mathbf{g})$  sistemas dinâmicos discretos caóticos definidos num subconjunto compacto  $X \subset \mathbb{R}^m$  por difeomorfismos  $\mathbf{f}, \mathbf{g} : X \to X$ . As transformações  $\mathbf{f}$  e  $\mathbf{g}$  satisfazem uma condição dissipativa global e, como tal, possuem atractores globais  $\mathcal{A}_1$  e  $\mathcal{A}_2$  nos respectivos espaços de fase X e Y. Após um período de transição inicial, o comportamento de cada um dos sistemas  $S_1$  e  $S_2$ , definidos pelas equações às diferenças  $\mathbf{x}_{n+1} = \mathbf{f}(\mathbf{x}_n)$  e  $\mathbf{y}_{n+1} = \mathbf{g}(\mathbf{y}_n)$ , pode ser discutido em termos da dinâmica dos conjuntos invariantes  $\mathcal{A}_1$  e  $\mathcal{A}_2$ .

A sincronização assimptótica entre os sistemas caóticos  $S_1$  e  $S_2$ , sujeitos a uma força de ligação, corresponde à existência de uma função invertível suave  $\mathbf{H}$  que transforme trajectórias do atractor caótico  $\mathcal{A}_1$  em trajectórias no atractor caótico  $\mathcal{A}_2$  de tal modo que se uma órbita de  $S_1$  aproxima uma trajectória  $\mathbf{x}_n$  no seu atractor  $\mathcal{A}_1$  a correspondente órbita do sistema  $S_2$  aproxima a trajectória  $\mathbf{y}_n = \mathbf{H}(\mathbf{x}_n)$  em  $\mathcal{A}_2$ . Assim, o conhecimento de um vector estado de  $S_1$  permite prever o correspondente vector estado de  $S_2$ .

A ocorrência de coincidência total ou parcial dos vectores estado  $\mathbf{x}$  e  $\mathbf{y}$  dos sistemas  $S_1$  e  $S_2$ , idênticos ou não, pode ser uma expressão formal de comportamento sincrónico entre eles.

**Definição 1.2.1** Os sistemas dinâmicos caóticos  $S_1$  e  $S_2$  dizem-se em sincronização assimptótica se

$$\lim_{n \to \infty} \|\mathbf{y}_n - \mathbf{x}_n\| = 0$$

para uma certa força de ligação entre eles, e dizem-se em sincronização prática se a diferença  $\mathbf{y}_n - \mathbf{x}_n$  varia num intervalo de amplitude inferior a 1, ou seja, se

$$\|\mathbf{y}_n - \mathbf{x}_n\| < K$$

para certa constante positiva K < 1. A diferença  $\mathbf{y}_n - \mathbf{x}_n$  diz-se o erro de sincronização na n-ésima iterada.

A possibilidade dos sistemas  $S_1$  e  $S_2$  sincronizarem depende de diversas condições tais como as regiões paramétricas de cada um deles, a força de ligação considerada e o grau de diferenciação dos sistemas entre si. O objectivo é obter sincronização dos sistemas com uma força de ligação mínima.

A condição (1.15) implica convergência de cada um dos vectores estado  $\mathbf{x}$  e  $\mathbf{y}$  para o conjunto  $\{\mathbf{w} = (\mathbf{x}, \mathbf{y}) \mid \mathbf{x} = \mathbf{y}\}$  relativo ao vector estado  $\mathbf{w} = (\mathbf{x}, \mathbf{y})$  do sistema obtido por ligação, designado por sistema ligado (composto ou integral). O estado  $\mathbf{x} = \mathbf{y}$  diz-se o estado caótico sincrónico e, quando é atingido, as dinâmicas caóticas de  $\mathbf{x}$  e  $\mathbf{y}$  ficam restringidas a um subespaço invariante atractor m-dimensional, designado por conjunto de sincronização.

Embora não exista uma maneira única de ligar os sistemas  $S_1$  e  $S_2$ , a ligação deve possuir determinadas propriedades relevantes. Pretende-se que a ligação:

- (i) seja dissipativa (ou contractora), isto é, que tenda a tornar os vectores estado  $\mathbf{x}$  e  $\mathbf{y}$  dos sistemas  $S_1$  e  $S_2$  próximos entre si;
- (ii) não afecte o estado caótico sincrónico  $\mathbf{x} = \mathbf{y}$ .

A forma apropriada de aplicar um operador de ligação linear às transformações nãolineares **f** e **g**, que satisfaça as condições (**i**) e (**ii**), é por multiplicação dos operadores correspondentes,

$$\left[\begin{array}{c} \mathbf{x}_{n+1} \\ \mathbf{y}_{n+1} \end{array}\right] = \left[\begin{array}{cc} 1 - \rho_1 & \rho_1 \\ \rho_2 & 1 - \rho_2 \end{array}\right] \cdot \left[\begin{array}{c} \mathbf{f}(\mathbf{x}_n) \\ \mathbf{g}(\mathbf{y}_n) \end{array}\right],$$

com  $0 \le \rho_1, \rho_2 \le 1$ . Obtem-se uma ligação bidireccional entre  $S_1$  e  $S_2$  e o sistema ligado define-se por

(1.16) 
$$\begin{cases} \mathbf{x}_{n+1} = (1 - \rho_1) \mathbf{f}(\mathbf{x}_n) + \rho_1 \mathbf{g}(\mathbf{y}_n) = \mathbf{f}(\mathbf{x}_n) + \rho_1 \left[ \mathbf{g}(\mathbf{y}_n) - \mathbf{f}(\mathbf{x}_n) \right] \\ \mathbf{y}_{n+1} = \rho_2 \mathbf{f}(\mathbf{x}_n) + (1 - \rho_2) \mathbf{g}(\mathbf{y}_n) = \mathbf{g}(\mathbf{y}_n) + \rho_2 \left[ \mathbf{f}(\mathbf{x}_n) - \mathbf{g}(\mathbf{y}_n) \right] \end{cases}$$

Os números reais  $\rho_1$  e  $\rho_2$ , designados por parâmetros de ligação<sup>2</sup>, controlam a força de ligação entre os sistemas. As expressões  $\rho_1 [\mathbf{g}(\mathbf{y}_n) - \mathbf{f}(\mathbf{x}_n)]$  e  $\rho_2 [\mathbf{f}(\mathbf{x}_n) - \mathbf{g}(\mathbf{y}_n)]$  dizemse os termos de ligação. Se  $\mathbf{f} = \mathbf{g}$  e  $\rho_1 = \rho_2$  então (1.16) é simétrico. Quando  $\mathbf{f} = \mathbf{g}$  os sistemas  $S_1$  e  $S_2$  dizem-se em ligação dissipativa externa e, se  $\mathbf{f} \neq \mathbf{g}$ , em ligação dissipativa externa generalizada.

A ligação unidireccional é descrita pela matriz de interacção

$$\left[\begin{array}{cc} 1 & 0 \\ \rho & 1 - \rho \end{array}\right]$$

<sup>&</sup>lt;sup>2</sup>Note que para obter ligação dissipativa devem ser introduzidos termos que diminuam o valor de  $\mathbf{x}$ . Um termo aditivo como  $\mathbf{x}_{n+1} = f(\mathbf{x}_n) - \rho \mathbf{x}_n$  pode ou não reduzir o valor de  $\mathbf{x}$ , dependendo dos sinais e dos valores de  $\mathbf{f}(\mathbf{x})$  e  $\rho$ . Por outro lado, a multiplicação por um factor  $\rho$  tal que  $|\rho| < 1$ , como  $\mathbf{x}_{n+1} = \rho f(\mathbf{x}_n)$ , reduz sempre o valor absoluto de  $\mathbf{x}$ .

e conduz ao sistema ligado não-simétrico

(1.17) 
$$\begin{cases} \mathbf{x}_{n+1} = \mathbf{f}(\mathbf{x}_n) \\ \mathbf{y}_{n+1} = \rho \mathbf{f}(\mathbf{x}_n) + (1-\rho) \mathbf{g}(\mathbf{y}_n) \end{cases}$$

com estrutura skew product, onde  $\mathbf{x}_n$  e  $\mathbf{y}_n$  são as variáveis dinâmicas dos sistemas transporte e resposta, respectivamente. Contrariamente à ligação bidireccional em (1.16), apenas a dinâmica do sistema resposta é afectada pelo sistema transporte através da ligação; o inverso não é válido.

Considere a transformação 2m-dimensional

$$\mathbf{F}(\mathbf{x}, \mathbf{y}; \rho) \equiv (\mathbf{f}(\mathbf{x}), \rho \mathbf{f}(\mathbf{x}_n) + (1 - \rho) \mathbf{g}(\mathbf{y}_n))$$

obtida de (1.17). Os sistemas  $S_1$  e  $S_2$  em ligação unidireccional dizem-se assimptoticamente sincronizados se existe uma região de valores do parâmetro  $\rho$  na qual, para quaisquer condições iniciais  $(\mathbf{x}_0, \mathbf{y}_0)$  e  $(\mathbf{x}_0, \mathbf{\tilde{y}}_0)$ , se verifica

$$\lim_{n\to\infty} \|\mathbf{y}_n - \tilde{\mathbf{y}}_n\| = 0$$

com 
$$(\mathbf{x}_n, \mathbf{y}_n) = \mathbf{F}^n (\mathbf{x}_0, \mathbf{y}_0; \rho) \in (\mathbf{x}_n, \tilde{\mathbf{y}}_n) = \mathbf{F}^n (\mathbf{x}_0, \tilde{\mathbf{y}}_0; \rho).$$

### 1.2.1 Sincronização idêntica

Considere os sistemas dinâmicos discretos  $S_1$  e  $S_2$  idênticos

$$\mathbf{x}_{n+1} = \mathbf{f}(\mathbf{x}_n)$$
 e  $\mathbf{y}_{n+1} = \mathbf{f}(\mathbf{y}_n)$ 

definidos por uma mesma transformação caótica  $\mathbf{f}$ . Assuma que  $\mathbf{f}$  satisfaz uma condição dissipativa global e tem, por isso, um atractor global  $\mathcal{A}$ .

Dado que a dinâmica de  $\mathbf{f}$  é caótica, após um período de transição inicial as sequências de iterações geradas pelos sistemas não-correlacionados  $S_1$  e  $S_2$  a partir de condições iniciais diferentes  $\mathbf{x}_0$  e  $\mathbf{y}_0$  representam duas trajectórias independentes no atractor global  $\mathcal{A}$ . Em cada um dos sistemas a evolução no atractor caótico  $\mathcal{A}$  é caracterizada por um expoente de Lyapunov positivo.

Seja  $\mathbf{e} \in \mathbb{R}^m$  a variável que representa a distância  $\mathbf{y} - \mathbf{x}$  entre os vectores estado dos sistemas  $S_1$  e  $S_2$ . A evolução dessa variável é determinada pela equação às diferenças

$$\mathbf{e}_{n+1} = \mathbf{f}(\mathbf{y}_n) - \mathbf{f}(\mathbf{x}_n).$$

Para pequenos valores de  $\mathbf{e}$ , ou seja, para  $\mathbf{e} \ll \mathbf{e}_{\mathcal{A}}$  onde  $\mathbf{e}_{\mathcal{A}}$  é a diferença máxima entre dois vectores estado no atractor  $\mathcal{A}$ , pode assumir-se que a distância entre as trajectórias dos sistemas  $S_1$  e  $S_2$  após n iterações é dada pela equação linearizada

$$\mathbf{e}_n = \mathbf{e}_0 e^{\lambda n},$$

onde  $\lambda$  é um expoente de Lyapunov e  $\mathbf{e}_0$  é a diferença inicial entre as trajectórias. Por (1.18), a equação às diferenças da separação de trajectórias é

$$\mathbf{e}_{n+1} = \mathbf{e}_n e^{\lambda}$$
.

Assim, para trajectórias inicialmente próximas, a separação entre elas aumenta se  $\lambda$  é um valor positivo e diminui se  $\lambda$  é um valor negativo, segundo uma taxa de variação que é proporcional ao expoente de Lyapunov  $\lambda$ .

Considere a ligação bidireccional em (1.16) dos sistemas  $S_1$  e  $S_2$ 

$$\begin{cases} \mathbf{x}_{n+1} = (1 - \rho_1) \mathbf{f}(\mathbf{x}_n) + \rho_1 \mathbf{f}(\mathbf{y}_n) \\ \mathbf{y}_{n+1} = \rho_2 \mathbf{f}(\mathbf{x}_n) + (1 - \rho_2) \mathbf{f}(\mathbf{y}_n) \end{cases}$$

O principal objectivo no estudo deste regime de sincronização, designado por sincronização idêntica ou completa, é determinar uma certa variação dos parâmetros de ligação  $\rho_1$  e  $\rho_2$  tal que, para valores iniciais próximos  $\mathbf{x}_0$  e  $\mathbf{y}_0$ , se obtenha

$$\lim_{n\to\infty} \|\mathbf{e}_n\| = 0,$$

ou seja, tenha lugar o estado caótico sincrónico simétrico  $\mathbf{x}_n = \mathbf{y}_n$ . Para essa variação dos parâmetros a evolução dos vectores estado tem lugar no hiperplano de dimensão m,  $\mathcal{M} = \{(\mathbf{x}, \mathbf{y}) \mid \mathbf{x} = \mathbf{y}\}$ , designado por variedade de sincronização.

No caso particular em que  $\rho_1=\rho_2\equiv\rho,$ o sistema ligado toma a forma

(1.19) 
$$\begin{cases} \mathbf{x}_{n+1} = (1-\rho)\mathbf{f}(\mathbf{x}_n) + \rho\mathbf{f}(\mathbf{y}_n) \\ \mathbf{y}_{n+1} = \rho\mathbf{f}(\mathbf{x}_n) + (1-\rho)\mathbf{f}(\mathbf{y}_n) \end{cases}$$

e é completamente simétrico relativamente à troca das variáveis. Visto que o sistema ligado (1.19) permanece invariante sob a transformação  $\mathbf{x} \longleftrightarrow \mathbf{y}$ , tem o estado sincrónico  $\mathbf{x}_n = \mathbf{y}_n$  como uma das suas soluções para qualquer valor de  $\rho$ .

A ligação unidireccional (1.17) em sincronização idêntica corresponde ao sistema ligado

$$\begin{cases} \mathbf{x}_{n+1} = \mathbf{f}(\mathbf{x}_n) \\ \mathbf{y}_{n+1} = \boldsymbol{\rho} \mathbf{f}(\mathbf{x}_n) + (1-\rho) \mathbf{f}(\mathbf{y}_n) \end{cases}.$$

Embora esta ligação seja assimétrica, o sistema tem  $\mathbf{x}_n = \mathbf{y}_n$  como solução caótica simétrica.

Podem ser considerados outros mecanismos de ligação entre sistemas dinâmicos discretos que conduzem a sincronização idêntica. Por exemplo, a ligação dissipativa interna

$$\begin{cases} \mathbf{x}_{n+1} = \mathbf{f}((1-\rho)\mathbf{x}_n + \rho\mathbf{y}_n) \\ \mathbf{y}_{n+1} = \mathbf{f}(\rho\mathbf{x}_n + (1-\rho)\mathbf{y}_n) \end{cases},$$

a ligação difusiva linear

(1.20) 
$$\begin{cases} \mathbf{x}_{n+1} = \mathbf{f}(\mathbf{x}_n) + \rho(\mathbf{x}_n - \mathbf{y}_n) \\ \mathbf{y}_{n+1} = \mathbf{f}(\mathbf{y}_n) + \rho(\mathbf{y}_n - \mathbf{x}_n) \end{cases},$$

por adição dos termos de ligação lineares  $\rho(\mathbf{x}_n - \mathbf{y}_n)$  e  $\rho(\mathbf{y}_n - \mathbf{x}_n)$ , a ligação por termos quadráticos

$$\begin{cases} \mathbf{x}_{n+1} = \mathbf{f}(\mathbf{x}_n) + \rho(\mathbf{x}_n^2 - \mathbf{y}_n^2) \\ \mathbf{y}_{n+1} = \mathbf{f}(\mathbf{y}_n) + \rho(\mathbf{y}_n^2 - \mathbf{x}_n^2) \end{cases},$$

ou a ligação bilinear quando os termos de ligação lineares em (1.20) são substituídos por  $\pm \rho \mathbf{x}_n \mathbf{y}_n$ . Contudo, estes esquemas de ligação são do ponto de vista aplicativo menos realistas. É ainda possível considerar os esquemas de ligação anteriores entre sistemas unidireccionalmente ligados e com parâmetros distintos  $\rho_1$  e  $\rho_2$ .

Quando  $\rho = 0$  em (1.19), as variáveis  $\mathbf{x}$  e  $\mathbf{y}$  estão completamente não-correlacionadas e os sistemas  $S_1$  e  $S_2$  evoluem de forma independente. Sempre que a ligação está activa, para qualquer  $\rho > 0$ , existe alguma dependência entre as trajectórias dos sistemas mas a força de ligação  $\rho$  pode não ser suficientemente grande de modo que ocorra a sincronização dos sistemas.

Se  $\rho$  é considerado como um parâmetro de bifurcação que aumenta gradualmente a partir de 0, é geralmente observada uma complexa estrutura de bifurcação (possivelmente incluindo estados não-caóticos) mas existe claramente uma tendência para acentuar a correlação entre as variáveis  $\mathbf{x}$  e  $\mathbf{y}$  de (1.19). O objectivo é obter os sistemas sincronizados com uma força de ligação  $\rho$  tão pequena quanto possível. Quando  $\rho = 1/2$  as variáveis  $\mathbf{x}$  e  $\mathbf{y}$  tornam-se idênticas após poucas iterações e observa-se o estado sincrónico  $\mathbf{x}_n = \mathbf{y}_n$ , para todo o n. Assim,  $\rho = 1/2$  corresponde à força de ligação máxima necessária. No entanto, existe uma força crítica de ligação  $0 < \rho_{sync} < 1/2$ , designada por limiar de sincronização, tal que para  $\rho > \rho_{sync}$  é observado o estado sincrónico  $\mathbf{x} = \mathbf{y}$ . Quando este estado é atingido, a dinâmica do sistema ligado corresponde à de uma única transformação  $\mathbf{f}$ . Como a ligação não afecta este estado, as dinâmicas de  $\mathbf{x}$  e  $\mathbf{y}$  são as mesmas que nos sistemas

desligados, ou seja, são caóticas. Quando cada um dos sistemas exibe comportamento caótico e as variáveis  $\mathbf{x}$  e  $\mathbf{y}$  são idênticas em cada instante de tempo estes dizem-se em sincronização total e  $\mathbf{x} = \mathbf{y}$  diz-se o estado caótico totalmente sincrónico.

A sincronização próximo de  $\rho = \rho_{sync}$  parece ser extremamente sensível. Os vectores estado de (1.19) fora do hiperplano  $\mathcal{M}$  representam o estado assincrónico. Com aumento de  $\rho$  a distribuição dos vectores estado tende para  $\mathcal{M}$  e, acima do limiar de ligação  $\rho_{sync}$  todos os pontos satisfazem a condição  $\mathbf{x} = \mathbf{y}$ .

Análise da estabilidade assimptótica local do estado sincrónico. Quando no sistema ligado (1.19) é atingido o estado caótico totalmente sincrónico  $\mathbf{x}_n = \mathbf{y}_n$ , as dinâmicas caóticas das variáveis  $\mathbf{x}$  e  $\mathbf{y}$  ficam restringidas a um subespaço invariante atractor m-dimensional. Assim, o problema de sincronização pode ser entendido como um problema de estabilidade assimptótica de um atractor caótico sincrónico simétrico  $\mathcal{A}$  de dimensão m, definido por  $\mathbf{x} = \mathbf{y}$ , mergulhado num espaço de fase 2m-dimensional.

Visto que o estado sincrónico  $\mathbf{x}_n = \mathbf{y}_n$  é uma solução de (1.19) para qualquer valor de  $\rho$ , se as condições iniciais são simétricas,  $\mathbf{x}_0 = \mathbf{y}_0$ , a simetria é preservada no decurso do tempo. Se é pretendido que a sincronização se estabeleça mesmo a partir de vectores estado iniciais não-simétricos, há que impôr a condição de estabilidade assimptótica: que o estado totalmente sincrónico  $\mathbf{x}_n = \mathbf{y}_n$  seja um atractor. Em sistemas caóticos idênticos, a estabilidade assimptótica do estado sincrónico é o único requisito para sincronização, pois a variedade de sincronização suave  $\mathcal{M}$  é invariante mesmo que não seja estável. Esta condição de estabilidade assimptótica determina a força crítica de ligação  $\rho_{sync}$  para o começo de sincronização estável.

O limiar de sincronização  $\rho_{sync}$ , como o valor a partir do qual se obtem o estado sincrónico  $\mathbf{x}_n = \mathbf{y}_n$  assimptoticamente estável, pode ser calculado por linearização em torno deste ponto fixo. Para caracterizar a transição de sincronização em  $\rho = \rho_{sync}$  é conveniente definir duas novas variáveis

(1.21) 
$$\mathbf{U}_{n} = \frac{1}{2} (\mathbf{x}_{n} + \mathbf{y}_{n}) \quad \mathbf{e} \quad \mathbf{V}_{n} = \frac{1}{2} (\mathbf{x}_{n} - \mathbf{y}_{n}).$$

Geometricamente, a variável  $\mathbf{U}_n$  está direccionada ao longo do hiperplano  $\mathcal{M}$ , enquanto a variável  $\mathbf{V}_n$  corresponde à direcção transversal a este hiperplano. No estado totalmente sincrónico tem-se  $\mathbf{V}_n = \mathbf{0}$  e  $\mathbf{x}_n = \mathbf{y}_n = \mathbf{U}_n$ . Próximo do estado totalmente sincrónico, a variável  $\mathbf{V}_n$  é pequena. Em estados quase assincrónicos mas obtidos para valores de  $\rho$  ainda próximos de  $\rho_{sync}$ , é característico o aparecimento de comportamento intermitente

da variável  $\mathbf{V}_n$ . A ocorrência de raras mas intensas explosões de  $\mathbf{V}_n$  é uma característica desta intermitência *on-off*.

Na análise de oscilações caóticas sincronizadas há que distinguir entre a estabilidade a perturbações dentro do hiperplano  $\mathcal{M}$  e transversais a ele. Conforme provado por Rabinovich e Trubetskov [71], o regime de sincronização idêntica é estável quando as trajectórias sincronizadas são estáveis a perturbações na direcção transversal a  $\mathcal{M}$ . Assim, a evolução da variável transversal  $\mathbf{V}_n$  determina a estabilidade do estado sincrónico  $\mathbf{V} = \mathbf{0}$  que pode ser descrita como a estabilidade transversal do atractor caótico  $\mathcal{A}$ .

Seja m=1. Dado que o vector próprio do expoente de Lyapunov  $\lambda_{\mathbf{V}}$ , designado por expoente de Lyapunov transversal, se direcciona transversalmente ao subespaço simétrico  $\mathbf{x}=\mathbf{y}$ , o seu sinal determina a estabilidade transversal do atractor caótico  $\mathcal{A}$ . Se  $\lambda_{\mathbf{V}}<0$  as oscilações sincrónicas são transversalmente estáveis e se  $\lambda_{\mathbf{V}}>0$  as oscilações sincrónicas são transversalmente instáveis. Quando as oscilações caóticas são sincrónicas, o vector próprio do expoente de Lyapunov  $\lambda_{\mathbf{U}}$ , designado por expoente de Lyapunov tangencial (longitudinal), é tangente ao subespaço simétrico  $\mathbf{x}=\mathbf{y}$ . Como tal o sinal de  $\lambda_{\mathbf{U}}$  determina o carácter das oscilações atractor caótico  $\mathcal{A}$  no subespaço simétrico. Se  $\lambda_{\mathbf{U}}<0$  as oscilações são periódicas e se  $\lambda_{\mathbf{U}}>0$  as oscilações são caóticas. Em resumo, a taxa de crescimento de uma pequena diferença ao longo das trajectórias no atractor caótico  $\mathcal{A}$  é medida pelo expoente de Lyapunov tangencial  $\lambda_{\mathbf{U}}$  e a evolução de perturbações na direcção perpendicular é caracterizada pelo expoente de Lyapunov transversal  $\lambda_{\mathbf{V}}$ .

Nas variáveis (1.21) o sistema ligado (1.19) é reescrito como

$$\left\{ \begin{array}{l} \mathbf{U}_{n+1} = \frac{1}{2} \left[ \mathbf{f} \left( \mathbf{U}_n + \mathbf{V}_n \right) + \mathbf{f} \left( \mathbf{U}_n - \mathbf{V}_n \right) \right], \\ \\ \mathbf{V}_{n+1} = \frac{1-2\rho}{2} \left[ \mathbf{f} \left( \mathbf{U}_n + \mathbf{V}_n \right) - \mathbf{f} \left( \mathbf{U}_n - \mathbf{V}_n \right) \right] \end{array} \right..$$

A linearização deste sistema próximo do estado sincrónico  $\mathbf{U}_n$ , onde a variável  $\mathbf{V}_n$  é pequena, conduz a transformações lineares para pequenas perturbações de  $\mathbf{U}_n$  e  $\mathbf{V}_n$  dadas por

(1.22) 
$$\mathbf{U}_{n+1} = [\mathbf{Df}(\mathbf{U}_n)] \mathbf{U}_n \quad \text{e} \quad \mathbf{V}_{n+1} = (1 - 2\rho) [\mathbf{Df}(\mathbf{U}_n)] \mathbf{V}_n,$$

onde a matriz Jacobiana  $\mathbf{Df}(\mathbf{U}_n)$  é calculada em  $\mathbf{U}_n$ . Visto que na aproximação linear as perturbações de  $\mathbf{U}_n$  e  $\mathbf{V}_n$  não interagem, as perturbações podem ser consideradas separadamente. Para  $\mathbf{V}_n = \mathbf{0}$ ,  $\lambda_{\mathbf{U}}$  não é mais do que o expoente de Lyapunov  $\lambda$  para a

transformação desligada,

$$\lambda_{\mathbf{U}} = \lambda = \lim_{n} \frac{1}{n} \sum_{i=1}^{n} \ln |\mathbf{Df}(\mathbf{U}_i)|,$$

e, para oscilações sincronizadas, o expoente de Lyapunov transversal  $\lambda_{\mathbf{V}}$  pode ser escrito em termos de  $\lambda$  como

$$\lambda_{\mathbf{V}} = \lambda + \ln|1 - 2\rho|.$$

Segue de (1.23) que  $\lambda_{\mathbf{V}} < \lambda_{\mathbf{U}}$ . Tem-se  $\lambda_{\mathbf{V}} < 0$  para quaisquer oscilações sincronizadas regulares enquanto, no caso de oscilações caóticas,  $\lambda_{\mathbf{V}}$  pode ser negativo ou positivo conforme o valor de  $\rho$  tomado.

Dado que  $\lambda_{\mathbf{V}}$  depende de  $\lambda$  pela relação (1.23),  $\rho_{sync}$  é obtido com base no expoente de Lyapunov do sistema caótico desligado. A fronteira de estabilidade assimptótica do estado sincrónico pode ser deduzida de imediato: o estado sincrónico é assimptóticamente estável se  $\lambda_{\mathbf{V}} < 0$  e instável se  $\lambda_{\mathbf{V}} > 0$ . Assim, a variação de estabilidade assimptótica é dada por

$$\frac{1 - \exp(-\lambda)}{2} < \rho < \frac{1 + \exp(-\lambda)}{2},$$

e o limiar de sincronização, definido por  $\lambda_{\mathbf{V}}=0$ , é l<br/>n $\left|1-2\rho_{sync}\right|=-\lambda,$ o que implica

$$\rho_{sync} = \frac{1 - \exp(-\lambda)}{2}.$$

Análise de estabilidade global do estado sincrónico. Seja m=1. A estabilidade assimptótica global de um ponto fixo fica garantida se está definida, numa vizinhança desse ponto, uma função definida positiva cuja derivada é semi-definida negativa. Para obter condições para a estabilidade assimptótica global do estado sincrónico x=y, define-se a função de Lyapunov por

$$L(x,y) = (x-y)^{2}.$$

A igualdade L(x,y)=0 apenas é válida quando os sistemas estão totalmente sincronizados. Para a estabilidade global assimptótica do estado sincrónico, a função de Lyapunov deverá satisfazer a condição

$$\frac{L_{n+1}}{L_n} < 1$$

na região de estabilidade. Para o esquema de ligação (1.19), a função de Lyapunov é dada por

$$L_{n+1} = (x_{n+1} - y_{n+1})^2 = (1 - 2\rho)^2 [f(x_n) - f(y_n)]^2,$$

e, usando a expansão de Taylor de  $f(x_n)$  em torno de  $y_n$ , obtem-se

$$\frac{L_{n+1}}{L_n} = (1 - 2\rho)^2 \left[ f'(y_n) + f''(y_n) \frac{x_n - y_n}{2} + O(x_n - y_n)^2 \right]^2.$$

Se a expressão no parêntesis recto no lado direito da equação é limitada então existem valores de  $\rho$  em torno de 1/2 para os quais o estado sincronizado é global e assimptoticamente estável.

Transição de sincronização do ponto de vista topológico. Ao variar a força de ligação é possível identificar um número de diferentes estados caracterizados por diferentes graus de correlação entre os sistemas  $S_1$  e  $S_2$ . Para visualizar a sincronização dos sistemas  $S_1$  e  $S_2$  traça-se  $\mathbf{y}_n$  versus  $\mathbf{x}_n$  em cada iteração, para determinado valor do parâmetro de ligação  $\rho$ , e verifica-se se os pontos  $(\mathbf{x}_n, \mathbf{y}_n)$  se situam no hiperplano  $\mathcal{M}$  definido por  $\mathbf{x} = \mathbf{y}$ .

A transição de sincronização observada em gráficos obtidos com diferentes valores de  $\rho$ , ou seja, a transição de um atractor totalmente sincrónico simétrico situado no hiperplano  $\mathcal{M}$  para um conjunto assimétrico<sup>3</sup> ocupando uma vizinhança desse hiperplano, pode ser discutida do ponto de vista topológico em termos da teoria de bifurcação, conforme os artigos de Maistrenko et al. ([43],[44]). Dado que cada trajectória caótica de um sistema dinâmico é estruturada sobre um conjunto infinito denso de órbitas periódicas instáveis, é conveniente considerá-las no estudo da transição de sincronização para, quando possível, aplicar os resultados de teoria de bifurcação a órbitas periódicas.

Dado o estado totalmente sincrónico simétrico  $\mathbf{x}_n = \mathbf{y}_n$  para  $\rho \approx 1/2$ , analise-se a perda de simetria quando  $\rho$  decresce.

Se a transformação  $\mathbf{f}$  tem um ponto fixo  $\mathbf{x}^*$  então, para todo o  $\rho$ , existe uma solução ponto fixo sincrónica  $\mathbf{x}_n = \mathbf{y}_n = \mathbf{x}^*$ . A estabilidade de  $\mathbf{x}^*$  pode ser determinada com base nas equações lineares em (1.22) através dos valores próprios

(1.24) 
$$\Lambda_{\mathbf{U}} = \mathbf{Df}(\mathbf{x}^*) \quad e \quad \Lambda_{\mathbf{V}} = (1 - 2\rho) \mathbf{Df}(\mathbf{x}^*)$$

correspondentes às perturbações das variáveis  $\mathbf{U}$  e  $\mathbf{V}$  definidas por (1.21). Sendo  $\mathbf{f}$  caótica, o valor próprio  $\Lambda_{\mathbf{U}}$  pertence ao exterior do circunferência unitária  $\mathcal{S}$  do plano complexo e a direcção  $\mathbf{U}$  é instável. A direcção transversal  $\mathbf{V}$  é assimptoticamente estável se

$$|(1-2\rho)\mathbf{Df}(\mathbf{x}^*)|<1$$

<sup>&</sup>lt;sup>3</sup>Neste contexto, assimétrico significa que  $x_n \neq y_n$ , pois a distribuição de probabilidade no plano (x, y) pode permanecer simétrica.

e instável no caso contrário. Como tal, ocorre bifurcação transversal em  $\rho_{sync}(\mathbf{x}^*)$  determinada pela condição

(1.25) 
$$\rho_{sync}(\mathbf{x}^*) = \frac{1}{2} \left( 1 - |\mathbf{Df}(\mathbf{x}^*)|^{-1} \right).$$

Para  $\rho > \rho_{sync}(\mathbf{x}^*)$ , o ponto fixo é instável na direcção tangencial de  $\mathbf{U}$  e assimptoticamente estável na direcção transversal de  $\mathbf{V}$  e, para  $\rho < \rho_{sync}(\mathbf{x}^*)$ , a instabilidade transversal resulta no aparecimento de novas órbitas.

O conhecimento dessas órbitas resulta do tipo de bifurcação transversal determinado pelo valor próprio  $\Lambda_{\mathbf{U}}$ : se  $\Lambda_{\mathbf{U}}=1$  ocorre uma bifurcação fold e se  $\Lambda_{\mathbf{V}}=-1$  ocorre uma bifurcação duplicação do período. Se estas bifurcações transversais são supercríticas, o que não pode ser decidido da teoria linear pois depende da não-linearidade da transformação  $\mathbf{f}$ , surge um par de pontos fixos simétricos no caso de bifurcação fold ou uma órbita de período 2 no caso de bifurcação duplicação do período. Estes novos pontos periódicos, o par de pontos fixos ou o ciclo, são estáveis na direcção tranversal de  $\mathbf{V}$  em redor do estado sincrónico  $\mathbf{x}=\mathbf{y}$  mas instáveis na direcção tangencial de  $\mathbf{U}$  por influência do ponto fixo simétrico.

Considere a generalização para o caso das órbitas periódicas de  $\mathbf{f}$ . Se  $\Lambda_{\mathbf{U}}=1$  uma órbita de período N simétrica  $\mathbf{x}_n^*=\mathbf{y}_n^*$  de  $\mathbf{f}$  bifurca num par de órbitas simétricas em fold e, se  $\Lambda_{\mathbf{U}}=-1$ , bifurca numa órbita de período 2N em duplicação do período. O ponto de bifurcação é determinado pela generalização de (1.24): para uma órbita de período N o valor próprio é o produto de valores próprios locais

$$\Lambda_{\mathbf{U}} = (1 - 2\rho)^N \prod_{n=1}^N \mathbf{Df}(\mathbf{x}_n^*)$$

e, como generalização de (1.25), tem-se

(1.26) 
$$\rho_{sync}(\mathbf{x}^*) = \frac{1}{2} \left[ 1 - \left( \prod_{n=1}^{N} |\mathbf{Df}(\mathbf{x}_n^*)| \right)^{-1/N} \right].$$

Tipicamente, os valores próprios para diferentes órbitas periódicas são diferentes, logo existe uma região de bifurcação

$$]\rho_{sync,\min},\rho_{sync,\max}[$$

onde diferentes órbitas periódicas se tornam transversalmente instáveis. Assim, a transição para o atractor caótico sincrónico  $\mathcal{A}$  exige a análise pormenorizada de um intervalo de parâmetros com vista a delinear diferentes níveis de sincronização.

### 1.2.2 Generalizações da noção de sincronização idêntica

Antes de definir formalmente outros regimes de sincronização, pode tentar-se uma generalização da ligação (1.19) apresentada na Subsecção anterior para sistemas idênticos. Suponha que duas transformações não-idênticas  $\mathbf{f}(\mathbf{x};a)$  e  $\mathbf{f}(\mathbf{y};b)$ , mas apenas com ligeiros desajustes paramétricos, são bidireccionalmente ligadas pelo operador linear

$$\left[\begin{array}{cc} 1-\rho & \rho \\ \rho & 1-\rho \end{array}\right].$$

Em vez de (1.19), obtem-se o sistema ligado não simétrico

$$\begin{cases} \mathbf{x}_{n+1} = (1 - \rho) \mathbf{f}(\mathbf{x}_n; a) + \rho \mathbf{f}(\mathbf{y}_n; b) \\ \mathbf{y}_{n+1} = \rho \mathbf{f}(\mathbf{x}_n; a) + (1 - \rho) \mathbf{f}(\mathbf{y}_n; b) \end{cases}$$

que, nas variáveis (1.21), dá lugar ao sistema equivalente

(1.27) 
$$\begin{cases} \mathbf{U}_{n+1} = \frac{1}{2} \left[ \mathbf{f}(\mathbf{U}_n + \mathbf{V}_n; a) + \mathbf{f}(\mathbf{U}_n - \mathbf{V}_n; b) \right] \\ \mathbf{V}_{n+1} = \frac{1 - 2\rho}{2} \left[ \mathbf{f}(\mathbf{U}_n + \mathbf{V}_n; a) + \mathbf{f}(\mathbf{U}_n - \mathbf{V}_n; b) \right] \end{cases}.$$

O estado simétrico  $\mathbf{V}_n = \mathbf{0}$  já não é uma solução deste sistema mas, para um desajuste paramétrico entre as transformações que seja pequeno, é esperado que  $\mathbf{V}_n$  seja pequeno. Além disso, negligenciando o efeito de pequenas perturbações da variável  $\mathbf{U}_n$  e considerando apenas a segunda equação de (1.27), obtem-se a equação linearizada

(1.28) 
$$\mathbf{V}_{n+1} = \frac{1 - 2\rho}{2} \left[ \left( \mathbf{Df}(\mathbf{U}_n; a) + \mathbf{Df}(\mathbf{U}_n; b) \right) \mathbf{V}_n + \mathbf{f}(\mathbf{U}_n; a) - \mathbf{f}(\mathbf{U}_n; b) \right]$$

para pequenas perturbações de  $\mathbf{V}_n$ . A principal diferença relativamente à expressão (1.22) do caso simétrico é a presença do termo não-homogéneo  $\mathbf{f}(\mathbf{U}_n;a) - \mathbf{f}(\mathbf{U}_n;b)$ . Ele é proporcional ao desajuste paramétrico, e pode assumir-se que é de ordem  $\mathbf{f}(\mathbf{U}_n;a) - \mathbf{f}(\mathbf{U}_n;b) \ll 1$ . Se a diferença  $\mathbf{V}_n$  entre os estados dos sistemas é maior do que  $\mathbf{f}(\mathbf{U}_n;a) - \mathbf{f}(\mathbf{U}_n;b)$ , este termo não-homogéneo não é importante. No entanto, se a diferença  $\mathbf{V}_n$  é de ordem  $\mathbf{f}(\mathbf{U}_n;a) - \mathbf{f}(\mathbf{U}_n;b)$ , o termo não-homogéneo actua como uma força casual que impede  $\mathbf{V}_n$  de se tornar inferior a  $\mathbf{f}(\mathbf{U}_n;a) - \mathbf{f}(\mathbf{U}_n;b)$ . Para a dinâmica de  $\mathbf{V}_n$  sujeita a esta força, existe então uma limitação de tipo

$$|\mathbf{V}_n| \approx \ln |\mathbf{f}(\mathbf{U}_n; a) - \mathbf{f}(\mathbf{U}_n; b)|$$

e a dinâmica de  $\mathbf{V}_n$  tem lugar na região onde

$$|\mathbf{V}_n| > \ln |\mathbf{f}(\mathbf{U}_n; a) - \mathbf{f}(\mathbf{U}_n; b)|,$$

mesmo para  $\lambda_{\mathbf{V}} < 0$ . Existem, portanto, explosões de  $\mathbf{V}_n$  no estado sincrónico mesmo quando o expoente de Lyapunov transversal é negativo, mostrando que o estado caótico sincrónico é extremamente sensível a perturbações (mesmo um pequeno desajuste paramétrico pode resultar em grandes explosões). Verifica-se assim que a não existência de simetria no sistema ligado, resultante da não identidade entre os sistemas, dificulta a obtenção de um estado sincrónico estável.

Sincronização generalizada. Considere o sistema unidireccionalmente ligado

(1.29) 
$$\begin{cases} \mathbf{x}_{n+1} = \mathbf{f}(\mathbf{x}_n) \\ \mathbf{y}_{n+1} = \mathbf{g}(\mathbf{x}_n, \mathbf{y}_n; \boldsymbol{\rho}) \end{cases}$$

para difeomorfismos  $\mathbf{f}: X \subset \mathbb{R}^m \to X$  e  $\mathbf{g}: Y \subset \mathbb{R}^l \to Y$ , onde X e Y são conjuntos compactos, e o vector de parâmetros  $\boldsymbol{\rho}$  caracteriza a força de interacção entre os sistemas transporte e resposta.

**Definição 1.2.2** Os sistemas em (1.29) dizem-se em sincronização generalizada se existe uma transformação  $\mathbf{H}: X \to Y$  entre os espaços de fase e uma variedade invariante definida por

$$\mathcal{M} = \{(\mathbf{x}, \mathbf{y}) : \mathbf{y} = \mathbf{H}(\mathbf{x})\}$$

que contenha pelo menos um atractor caótico de Milnor. A transformação **H** diz-se a função de sincronização generalizada e  $\mathcal{M}$  diz-se a variedade de sincronização.

Em particular, quando os sistemas são idênticos e o hiperplano

$$\mathcal{M} = \{ (\mathbf{x}, \mathbf{y}) : \mathbf{y} = \mathbf{x} \}$$

do sistema ligado é invariante pela dinâmica, a função  ${\bf H}$  é simplesmente a identidade e tem-se sincronização idêntica.

Por vezes é mais conveniente estabelecer uma relação entre  $\mathbf{y}_{n+1}$  e  $\mathbf{x}_n$ , escrevendo  $\mathbf{y}_{n+1} = \tilde{\mathbf{H}}(\mathbf{x}_n)$ , dado que estas duas variáveis estão directamente relacionadas pela equação que caracteriza o sistema resposta. Se a transformação  $\mathbf{f}$  que define o sistema transporte é invertível então esta relação é equivalente à definição anterior.

Quando  $\rho = 0$ , o sistema resposta evolui independentemente do transporte, e é assumido que ambos os sistemas são caóticos.

A Definição 1.2.2 permite uma descrição natural de condições suficientes que assegurem a estabilidade do estado sincrónico.

**Definição 1.2.3** O sistema ligado (1.29) é assimptoticamente estável se, para quaisquer condições iniciais  $(\mathbf{x}_0, \mathbf{y}_0)$ ,  $(\mathbf{x}_0, \bar{\mathbf{y}}_0) \in X \times Y$ , as quais partilham o mesmo estado transporte inicial  $\mathbf{x}_0$ , se tem

$$\lim_{n \to \infty} \|\mathbf{y}_n\left(\mathbf{x}_0, \mathbf{y}_0; \boldsymbol{\rho}\right) - \mathbf{y}_n\left(\mathbf{x}_0, \bar{\mathbf{y}}_0; \boldsymbol{\rho}\right)\| = 0,$$

onde  $\mathbf{y}_n(\mathbf{x}_0, \mathbf{y}_0; \boldsymbol{\rho})$  (respectivamente,  $\mathbf{y}_n(\mathbf{x}_0, \bar{\mathbf{y}}_0; \boldsymbol{\rho})$ ) é a coordenada y da n-ésima iterada de  $(\mathbf{x}_0, \mathbf{y}_0)$  (respectivamente,  $(\mathbf{x}_0, \bar{\mathbf{y}}_0)$ ) sob a dinâmica de (1.29).

Assim, o sistema ligado (1.29) é assimptoticamente estável se duas réplicas do sistema resposta sincronizam quando sujeitas ao mesmo sinal condutor.

Conforme provado por Kocarev e Parlitz [36], a estabilidade assimptótica e a sincronia generalizada são equivalentes sempre que o sistema transporte é invertível e tem um atractor compacto. Contudo, Barreto et al. [10] mostraram que é possível ter estabilidade assimptótica em sistemas não-invertíveis, nos quais  $graph(\mathbf{H})$  não é sequer o gráfico de uma transformação unívoca.

Para assegurar que a sincronização persista sob perturbações do sistema (1.29), a taxa pela qual trajectórias são atraídas na direcção da variedade  $\mathcal{M}$  deve ser maior do que as taxas de contracção ou expansão dentro dessa variedade. Tal como em sincronização idêntica, a estabilidade da variedade  $\mathcal{M}$  pode ser determinada pela negatividade dos expoentes de Lyapunov condicionados [70], pelo uso de funções de Lyapunov [36] ou pelo estudo dos valores próprios [12].

Sincronização de fase. Uma generalização importante da noção de sincronização idêntica é o fenómeno de sincronização de fase ([73],[87],[65],[57]). É um tipo mais fraco de comportamento sincrónico definido como o aparecimento de uma certa relação funcional entre as fases dos sistemas enquanto as suas amplitudes podem permanecer fracamente correlacionadas ou mesmo não-correlacionadas.

**Definição 1.2.4** Dois sistemas ligados dizem-se sincronizados in-phase se, para inteiros n e m arbitrários, a diferença entre as fases  $\phi_1$  e  $\phi_2$  dos sistemas é limitada por uma constante

$$|n\phi_1 - m\phi_2| < const,$$

onde as fases são funções de tempo monotonicamente crescente, escolhidas apropriadamente.

Para investigar sincronização de fase em sistemas caóticos é necessário identificar uma variável de fase bem-definida em cada sistema. Para um sistema caótico, a evolução da fase depende da frequência média das oscilações  $\omega$ , assim como da sua amplitude A,

$$\dot{\phi} = H(\omega, A),$$

através de uma função H que depende do sistema considerado. O fecho de um atractor caótico contém um número infinito de órbitas periódicas instáveis de períodos diferentes e cada trajectória típica no atractor vagueia de uma órbita periódica instável para outra, não podendo ser correctamente definido o período. Assim, não existe uma maneira universal e não-ambígua para determinar a amplitude A e a fase  $\phi$  de um sinal caótico, e que se reduza à usual para as órbitas periódicas mergulhadas no atractor caótico. Este é o primeiro obstáculo quando tentamos estabelecer se dois sistemas caóticos estão sincronizados (em fase), visto que a comparação de fases é essencial para detectar e quantificar o estado sincrónico.

A equação de evolução (1.30) pode ser generalizada a sistemas ligados. Sob certas condições, pode ser obtida uma equação de evolução simplificada para a diferença de fases dos dois osciladores, essencial para entender qualitativamente a natureza da sincronização de fase. Dado que as coordenadas  $\phi$  e A são, por vezes, mais convenientes do que x e y para descrever a dinâmica do sistema, pode ser conveniente escrever as equações da dinâmica para cada um dos osciladores em termos das variáveis  $\phi_{1,2}$  e  $A_{1,2}$ .

O espectro de expoentes de Lyapunov tem uma mudança quantitativa quando surge sincronização de fase [73]. Se ambos os osciladores não estão sincronizados por fase, existem dois expoentes de Lyapunov nulos associados a fases individuais. Quando os dois osciladores caóticos ligados atingem sincronização de fase, a diferença de fase é limitada por uma constante e um dos dois expoentes de Lyapunov nulos sofre uma transição para valores negativos. Com aumento adicional da força de ligação, um outro expoente de Lyapunov sofre uma transição de valores positivos para negativos, e obtem-se também uma forte correlação das amplitudes. Quando o desajuste paramétrico entre os sistemas é pequeno, este ponto de transição está próximo ao da sincronização idêntica em osciladores idênticos ligados.

Tal como em sincronização generalizada, a detecção de sincronização de fase não é directa, especialmente em sistemas experimentais e naturais onde a única informação acessível pode ser uma série temporal não-linear medida nos sistemas componentes.

# Capítulo 2

# Sincronização de sistemas dinâmicos contínuos

A sincronização de caos em tempo contínuo foi experimentalmente descoberta em 1985 por Afraimovich et al. [4] em sistemas idênticos. Apesar dos muitos graus de liberdade envolvidos e da complexidade inerente à ligação de sistemas caóticos, tem sido possível obter um considerável número de resultados analíticos, em especial para sistemas definidos pela mesma lei de evolução (embora podendo apresentar pequenos desajustes paramétricos).

Iniciamos este capítulo com uma secção relativa à sincronização de sistemas caóticos idênticos. É abordada a ligação por substituição, o primeiro método de sincronização por ligação unidireccional que foi analiticamente formalizado. Seguem-se outros métodos em ligação unidireccional: por decomposição activo-passivo, por controle feedback negativo e por decomposição valor singular. Ainda na Secção 2.1 abordamos a ligação difusiva linear bidireccional. Para este último mecanismo de ligação expomos uma condição de sincronização que pode ser aplicada na estimação do expoente de Lyapunov maximal em sistemas não-suaves. Descrevemos também, em termos do parâmetro de ligação, as várias transições de estabilidade do atractor caótico mergulhado na variedade de sincronização considerando as bifurcações caracterizadas pelas equações do sistema ligado. A Secção 2.2 é relativa à sincronização generalizada de sistemas dinâmicos contínuos não-idênticos. Os resultados obtidos ao longo deste trabalho para a sincronização em sistemas contínuos são apresentados na Secção 2.3.

Todas as abordagens numéricas apresentadas usam os atractores caóticos de Lorenz ou de Rössler como exemplos; uma das ligações estudadas usa também o atractor hipercaótico de Rössler.

### 2.1 Sincronização idêntica

Seja X um subconjunto compacto de  $\mathbb{R}^m$  com  $m \geq 3$ . Considere os sistemas dinâmicos m-dimensionais idênticos  $S_1$  e  $S_2$  definidos em X pelas equações diferenciais ordinárias autónomas não-lineares  $\dot{\mathbf{u}}_1 = \mathbf{f}(\mathbf{u}_1; \mathbf{a})$  e  $\dot{\mathbf{u}}_2 = \mathbf{f}(\mathbf{u}_2; \mathbf{a})$ , respectivamente, onde  $\mathbf{a}$  é um vector de parâmetros reais de controle.

Sejam  $\mathbf{u}_1(0)$  e  $\mathbf{u}_2(0)$  condições iniciais para as quais, para certo valor de  $\mathbf{a}$ ,  $S_1$  e  $S_2$  evoluem para um atractor caótico  $\mathcal{A}$  assimptoticamente estável. As soluções  $\mathbf{u}_1(t)$  e  $\mathbf{u}_2(t)$  de cada um dos sistemas, partindo de  $\mathbf{u}_1(0) \neq \mathbf{u}_2(0)$  na bacia de atracção  $\mathcal{B}(\mathcal{A})$ , representam trajectórias independentes que evoluem em  $\mathcal{A}$  após um período de tempo de movimento transitório. Esta evolução é caracterizada por um expoente de Lyapunov positivo.

Considere a diferença  $\mathbf{e}(t) = \mathbf{u}_2(t) - \mathbf{u}_1(t)$  entre órbitas próximas. A evolução de  $\mathbf{e}(t)$  é descrita pelas equações

(2.1) 
$$\dot{\mathbf{e}}(t) = \dot{\mathbf{u}}_2(t) - \dot{\mathbf{u}}_1(t) = \mathbf{f}(\mathbf{u}_2(t); \mathbf{a}) - \mathbf{f}(\mathbf{u}_1(t); \mathbf{a}).$$

Para uma pequena variação de  $\mathbf{e}(t)$ , pode assumir-se que a distância entre as trajectórias individuais dos sistemas  $S_1$  e  $S_2$  é dada pela equação

$$\|\mathbf{e}(t)\| = \delta_0 e^{\lambda_{\max} t},$$

onde  $\delta_0 \geq 0$  é uma distância inicial infinitamente pequena entre as trajectórias e  $\lambda_{\text{max}}$  é o valor do maior expoente de Lyapunov positivo, que caracteriza a direcção expansora do espaço de fase.

Dada a relação  $\mathbf{u}_2(t) = \mathbf{e}(t) + \mathbf{u}_1(t)$ , o expoente de Lyapunov  $\lambda_{\text{max}}$  que caracteriza a evolução de  $\mathbf{e}(t)$ , também caracteriza a evolução dos sistemas  $S_1$  e  $S_2$ . Por derivação, é válida a relação

$$\|\dot{\mathbf{e}}(t)\| = \lambda_{\max} \delta_0 e^{\lambda_{\max} t}$$

 $\log_{0}$ , por (2.1), tem-se

$$\|\mathbf{f}(\mathbf{u}_{2}(t); \mathbf{a}) - \mathbf{f}(\mathbf{u}_{1}(t); \mathbf{a})\| = \lambda_{\max} \delta_{0} e^{\lambda_{\max} t}.$$

Esta equação é satisfeita para um certo tempo  $\tau \approx (1/\lambda_{\text{max}}) \ln(|\mathcal{A}|/\delta_0)$  após o qual se tornam relevantes os efeitos não-lineares dos sistemas  $S_1$  e  $S_2$ .

**Definição 2.1.1** Os sistemas dinâmicos  $S_1$  e  $S_2$  dizem-se assimptoticamente sincronizados se é válida a condição

$$\lim_{t \to +\infty} \|\mathbf{u}_1(t) - \mathbf{u}_2(t)\| = 0,$$

e dizem-se totalmente sincronizados se  $\|\mathbf{u}_1(t) - \mathbf{u}_2(t)\| = 0$  para  $t > t_{sync}$ , com  $t_{sync} \in \mathbb{R}$  designado por tempo de sincronização.

A condição de sincronização assimptótica pode ser simplesmente escrita como

$$\lim_{t \to +\infty} \|\mathbf{e}(t)\| = 0$$

através da diferença  $\mathbf{e}(t)$ , designada por variável erro de sincronização. O sistema dinâmico que descreve a evolução de  $\mathbf{e}(t)$ , o sistema transversal ou sistema erro, é caracterizado pela equação (2.1). Atendendo a (2.2),  $S_1$  e  $S_2$  atingem sincronização assimptótica se o sistema tranversal (2.1) tem um ponto de equilíbrio assimptoticamente estável em  $\mathbf{e}(t) = \mathbf{0}$ .

Quando ocorre sincronização assimptótica as trajectórias dos sistemas  $S_1$  e  $S_2$  convergem entre si no decurso do tempo. Como tal a evolução dos sistemas em  $\mathcal{A}$ , no espaço de fase 2m-dimensional, fica restringida à evolução no atractor de um deles no espaço de fase m-dimensional. Existe então, no espaço de fase 2m-dimensional de  $S_1$  e  $S_2$ , uma variedade invariante

$$\mathcal{M} \equiv \{ (\mathbf{u}_1, \mathbf{u}_2) \in X \times X \mid \mathbf{u}_1 = \mathbf{u}_2 \} \subset \mathbb{R}^{2m}$$

suave de dimensão m, a variedade de sincronização, na qual tem lugar a dinâmica sincronizada definida pelo estado caótico sincrónico simétrico.

Tem sido mostrado por Pecora e Carroll [58], Fujisaka e Yamada ([90],[91]), Kapitaniak [29], Pikovsky [62] e Ashwin et al. [7], para diferentes tipos de ligação, que é atingida sincronização estável quando o atractor caótico  $\mathcal{A}$  mergulhado na variedade m-dimensional  $\mathcal{M}$  é assimptoticamente estável no espaço de fase 2m-dimensional do sistema ligado, ou seja, se a sincronização é atingida para todas as condições iniciais numa vizinhança de  $\mathcal{A}$ .

Até ao final deste capítulo, usamos simplesmente o termo sincronização para designar sincronização assimptótica.

### 2.1.1 Diferentes tipos de ligação unidireccional

Têm sido desenvolvidos vários mecanismos de ligação unidireccional que conduzem a sincronização idêntica. Segue-se a apresentação de alguns deles e, para cada um, é abordada na subsecção seguinte a estabilidade assimptótica da dinâmica sincronizada na variedade invariante  $\mathcal{M}$ .

Ligação unidireccional por substituição. Considere uma decomposição arbitrária  $\mathbf{u}_1 = (\mathbf{x}_1, \mathbf{y}_1)$  da variável  $\mathbf{u}_1$  do sistema m-dimensional  $S_1$  em dois subsistemas

(2.3) 
$$\dot{\mathbf{x}}_1 = \mathbf{g}(\mathbf{x}_1, \mathbf{y}_1; \mathbf{a}) \wedge \dot{\mathbf{y}}_1 = \mathbf{h}(\mathbf{x}_1, \mathbf{y}_1; \mathbf{a}),$$

nas variáveis  $\mathbf{x}_1 = (u_1, \dots, u_k)$  e  $\mathbf{y}_1 = (u_{k+1}, \dots, u_m)$ , respectivamente, para  $1 \le k \le m$ . Atendendo a que  $\mathbf{f}(\mathbf{u}_1; \mathbf{a}) = (f_1(\mathbf{u}_1; \mathbf{a}), \dots, f_m(\mathbf{u}_1; \mathbf{a}))$ , os campos vectoriais  $\mathbf{g}$  e  $\mathbf{h}$  são definidos pelas funções componentes do campo vectorial  $\mathbf{f}$  como

$$\mathbf{g}(\mathbf{u}_1; \mathbf{a}) = (f_1(\mathbf{u}_1; \mathbf{a}), \dots, f_k(\mathbf{u}_1; \mathbf{a}))$$

e

$$\mathbf{h}\left(\mathbf{u}_{1};\mathbf{a}\right)=\left(f_{k+1}\left(\mathbf{u}_{1};\mathbf{a}\right),\ldots,f_{m}\left(\mathbf{u}_{1};\mathbf{a}\right)\right).$$

São respectivamente tomadas nos subsistemas em (2.3) condições iniciais  $\mathbf{x}_1(0)$  e  $\mathbf{y}_1(0)$  independentes.

Seja  $\dot{\mathbf{y}}_2 = \mathbf{h}(\mathbf{x}_1, \mathbf{y}_2; \mathbf{a})$  um subsistema idêntico a  $\dot{\mathbf{y}}_1 = \mathbf{h}(\mathbf{x}_1, \mathbf{y}_1; \mathbf{a})$  mas em que a variável  $\mathbf{x}_1$  é substituida por uma correspondente  $\mathbf{x}_2$ ,

$$\mathbf{x}_2 = \mathbf{x}_1$$
  $e$   $\dot{\mathbf{y}}_2 = \mathbf{h}(\mathbf{x}_1, \mathbf{y}_2; \mathbf{a})$ .

As equações

(2.4) 
$$\dot{\mathbf{x}}_1 = \mathbf{g}(\mathbf{x}_1, \mathbf{y}_1; \mathbf{a}) \wedge \dot{\mathbf{y}}_2 = \mathbf{h}(\mathbf{x}_1, \mathbf{y}_2; \mathbf{a}),$$

com  $\mathbf{y}_{2}(0) \neq \mathbf{y}_{1}(0)$ , constituem um novo sistema dinâmico  $\dot{\mathbf{u}}_{2} = \mathbf{f}(\mathbf{u}_{2}; \mathbf{a})$  que partilha uma parte das variáveis com o sistema  $\dot{\mathbf{u}}_{1} = \mathbf{f}(\mathbf{u}_{1}; \mathbf{a})$ .

Pecora e Carroll [58] formalizaram deste modo uma ligação entre os sistemas (2.3) e (2.4) através da variável  $\mathbf{x}_1$ ,  $\dot{\mathbf{u}}_2 = \mathbf{f}_{x_2 \to x_1} (\mathbf{u}_2; \mathbf{a}) = \mathbf{f} (\mathbf{x}_1, \mathbf{y}_2; \mathbf{a})$ , com obtenção do sistema ligado

$$(2.5) \dot{\mathbf{x}}_1 = \mathbf{g}(\mathbf{x}_1, \mathbf{y}_1; \mathbf{a}) \wedge \dot{\mathbf{y}}_1 = \mathbf{h}(\mathbf{x}_1, \mathbf{y}_1; \mathbf{a}) \wedge \dot{\mathbf{y}}_2 = \mathbf{h}(\mathbf{x}_1, \mathbf{y}_2; \mathbf{a})$$

resultante de aumentar (2.3) com o subsistema  $\dot{\mathbf{y}}_2 = \mathbf{h}(\mathbf{x}_1, \mathbf{y}_2; \mathbf{a})$ . Neste mecanismo de ligação unidireccional, designado por substituição completa (ou sincronização sistema-subsistema), o sistema transporte (2.3) conduz o sistema resposta (2.4) através de  $\dot{\mathbf{x}}_1 = \mathbf{g}(\mathbf{x}_1, \mathbf{y}_1; \mathbf{a})$  que se diz o subsistema sinal condutor.

O sistema resposta (2.4) é uma réplica do transporte (2.3) excepto na variável  $\mathbf{x}_2$  que lhe é enviada do transporte como  $\mathbf{x}_1$ . A variável  $\mathbf{x}_1$  é usada para conduzir o subsistema

 $\dot{\mathbf{y}}_2 = \mathbf{h}(\mathbf{x}_1, \mathbf{y}_2; \mathbf{a})$  da resposta (2.4) de modo que este atinja sincronização com o subsistema  $\dot{\mathbf{y}}_1 = \mathbf{h}(\mathbf{x}_1, \mathbf{y}_1; \mathbf{a})$  do transporte (2.3), enquanto a variável  $\mathbf{x}_2$ , evoluindo como  $\mathbf{x}_1$ , apenas é introduzida para elevar a 2m a dimensão do espaço de fase do sistema ligado (2.5). Claramente, o estado simétrico

$$\mathbf{x}_1 = \mathbf{x}_2 = \mathbf{x}_1(0) \quad \wedge \quad \mathbf{y}_1 = \mathbf{y}_2 = \mathbf{y}_1(0)$$

é sempre uma solução do sistema ligado (2.5).

Nesta configuração de ligação não existe um parâmetro a controlar a força de ligação. Perante um sistema  $\dot{\mathbf{u}}_1 = \mathbf{f}(\mathbf{u}_1; \mathbf{a})$ , apenas há que averiguar se é possível obter sincronização idêntica para a decomposição  $\mathbf{u}_1 = (\mathbf{x}_1, \mathbf{y}_1)$  escolhida.

Em vez de substituir completamente uma das variáveis no sistema resposta pela sua correspondente do sistema transporte, a substituição pode ser feita de forma parcial conforme sugerido por Guemez e Matias [19]. Neste caso, uma variável do sistema resposta dá lugar à sua correspondente do sistema transporte apenas em algumas das equações da resposta. Em geral, os resultados de estabilidade em substituição parcial diferem dos obtidos em substituição completa.

Ligação unidireccional por decomposição activo-passivo. No método de substituição completa de Pecora e Carroll existe um número finito de possíveis decomposições (2.3) do sistema m-dimensional  $S_1$ , correspondente ao número m(m-1)/2 de diferentes subsistemas resposta  $\dot{\mathbf{y}}_1 = \mathbf{h}(\mathbf{x}_1, \mathbf{y}_1; \mathbf{a})$  a considerar.

Por simulação numérica é fácil escolher a decomposição (2.3) conveniente. Contudo, para evitar certas dificuldades em sistemas reais, Kocarev e Parlitz ([35],[56]) propuseram uma ligação unidireccional mais geral em que o sinal escalar transmitido do transporte para a resposta é uma função das variáveis dinâmicas do transporte e, por vezes, de um sinal informação.

É formalmente possível reescrever o sistema dinâmico  $S_1$  definido por  $\dot{\mathbf{u}}_1 = \mathbf{f}(\mathbf{u}_1; \mathbf{a})$  como um sistema não-autónomo

$$\dot{\mathbf{x}}_1 = \mathbf{g}(\mathbf{x}_1, \mathbf{s}(t); \mathbf{a}),$$

para alguma função vectorial do tempo  $\mathbf{s}(t)$ , que possua certas propriedades de sincronização. Se  $\mathbf{s}$  é definida por  $\mathbf{s}(t) = \mathbf{h}(\mathbf{x}_1(t))$  então  $\mathbf{x}_1 = \mathbf{u}_1$ . Para  $\mathbf{s}$  dada através de uma

equação diferencial ordinária  $\dot{\mathbf{s}}(t) = \mathbf{h}(\mathbf{x}_1(t), \mathbf{s}(t))$ , a dimensão de  $\mathbf{x}_1$  pode ser menor do que a de  $\mathbf{u}_1$ .

O par de funções vectoriais **g** e **h** constituem uma decomposição do campo vectorial original **f**. A característica principal desta decomposição é que, para escolhas apropriadas da função **h**, qualquer novo sistema

$$\dot{\mathbf{x}}_2 = \mathbf{g}(\mathbf{x}_2, \mathbf{s}(t); \mathbf{a})$$

sincroniza com o sistema inicial (2.6). A ligação entre os dois sistemas é efectuada através da função  $\mathbf{s}(t)$ , designada por sinal condutor, que depende do vector estado  $\mathbf{x}_1$  e é a mesma em ambos os sistemas. O sistema transporte não-autónomo (2.6) definido por  $\mathbf{g}$  é um sistema passivo enquanto a componente descrita por  $\mathbf{h}$  é uma componente activa. Como tal a decomposição dada por  $\mathbf{g}$  e  $\mathbf{h}$  é designada por decomposição activo-passivo do sistema transporte  $\dot{\mathbf{u}}_1 = \mathbf{f}(\mathbf{u}_1; \mathbf{a})$ .

O potencial aplicativo deste mecanismo de ligação é reforçado por, em muitos casos, a função  $\mathbf{s}(t)$  ser bastante geral. Em particular, além de depender de  $\mathbf{x}_1$ , ela pode depender também de algum sinal informação i(t),

$$\mathbf{s}(t) = \mathbf{h}(\mathbf{x}_1(t), i(t))$$
 ou  $\dot{\mathbf{s}}(t) = \mathbf{h}(\mathbf{x}_1(t), \mathbf{s}(t), i(t)).$ 

Neste caso a decomposição activo-passivo pode ser usada em esquemas de comunicação onde  $\mathbf{s}(t) = \mathbf{h}(\mathbf{x}_1(t), i(t))$  é o sinal transmitido e recebido. Quando ocorre sincronização idêntica, o sinal informação i(t) pode ser recuperado sem erro a partir da equação  $\mathbf{s}(t) = \mathbf{h}(\mathbf{x}_1(t), i(t)) = \mathbf{h}(\mathbf{x}_2(t), i(t))$  sempre que esta tenha uma solução única para i(t).

Segundo Parlitz et al. [55], a ligação por decomposição activo-passivo está bastante relacionada com a abordagem de Pyragas [69] em controle de caos. Em vez de decompor um dado sistema caótico, pode partir-se de um sistema linear estável  $\dot{\mathbf{x}}_1 = \mathbf{A} \cdot \mathbf{x}_1$  ao qual é adicionada uma função não-linear  $\mathbf{s} = \mathbf{h}(\mathbf{x}_1)$  apropriada tal que o sistema  $\dot{\mathbf{x}}_1 = \mathbf{A} \cdot \mathbf{x}_1 + \mathbf{s}$  seja caótico. Neste caso, o erro de sincronização é dado pelo sistema linear estável  $\dot{\mathbf{e}} = \mathbf{A} \cdot \mathbf{e}$ , e ocorre sincronização para todas as condições iniciais e sinais  $\mathbf{s}$  arbitrários.

Ligação unidireccional por controle feedback negativo. Ainda numa configuração unidireccional, é possível abordar a sincronização de sistemas caóticos de um ponto de vista mais geral, que inclui a substituição como caso particular. O método de Pecora e Carroll é funcional na obtenção de sincronização estável, mas requer a decomposição do

sistema original em dois subsistemas estáveis. No entanto uma trajectória caótica de um sistema pode sincronizar com uma trajectória caótica de um sistema idêntico, partindo de condições iniciais diferentes, sem decompôr o sistema original desse modo.

Considere a ligação unidireccional de  $S_1$  e  $S_2$  através do termo  $\rho(\mathbf{u}_2 - \mathbf{u}_1)$ ,

$$\dot{\mathbf{u}}_1 = \mathbf{f}(\mathbf{u}_1; \mathbf{a}) \wedge \dot{\mathbf{u}}_2 = \mathbf{f}(\mathbf{u}_2; \mathbf{a}) + \boldsymbol{\rho}(\mathbf{u}_2 - \mathbf{u}_1),$$

em que  $\rho = (\rho_1, \rho_2, ..., \rho_m)$  é o vector parâmetro de ligação, com  $\rho_i > 0$  para todo i = 1, ..., m. A ligação em (2.8) é designada por controle feedback negativo através do termo amortecedor linear  $\rho(\mathbf{u}_2 - \mathbf{u}_1)$ .

Segundo Parlitz et al. [54], se  $\mathcal{A}$  é o único atractor caótico assimptoticamente estável dos sistemas  $S_1$  e  $S_2$ , então é possível encontrar valores de  $\rho$  para os quais ocorre sincronização para todas as condições iniciais numa vizinhança de  $\mathcal{A}$ , ou seja, sincronização estável. Contudo quando as equações que definem  $S_1$  e  $S_2$  descrevem um sistema quase-hiperbólico, com pelo menos dois atractores co-existentes, a ligação em (2.8) não resulta imediatamente no estado sincrónico  $\mathbf{u}_1 = \mathbf{u}_2$  e os m gráficos que representam as diferenças entre as m coordenadas correspondentes de  $\mathbf{u}_1$  e  $\mathbf{u}_2$  não constituem linhas rectas.

Sejam  $\mathbf{u}_1 = (u_1, u_2, \dots, u_m) \in X$  e  $\mathbf{u}_2 = (u'_1, u'_2, \dots, u'_m) \in X$  as variáveis dos sistemas  $S_1$  e  $S_2$ , respectivamente, e condições iniciais que verificam  $\mathbf{u}_1 (0) \neq \mathbf{u}_2 (0)$ . Seja escolhida no sistema  $S_1$  uma variável dinâmica  $u_k$ , para  $1 \leq k \leq m$ . Supondo que  $u_k(t)$  e a sua correspondente  $u'_k(t)$  podem ser medidas, considere a expressão  $\rho(u_k - u'_k)$ , com  $\rho > 0$ . A adição de  $\rho(u_k - u'_k)$  a um dos sistemas,

(2.9) 
$$\begin{cases} \dot{u}'_{1} = f_{\mathbf{a},1} \left( u'_{1}, u'_{2}, \dots, u'_{m} \right), \\ \dots \\ \dot{u}'_{k} = f_{\mathbf{a},k} \left( u'_{1}, u'_{2}, \dots, u'_{m} \right) + \rho \left( u_{k} - u'_{k} \right) \\ \dots \\ \dot{u}'_{m} = f_{\mathbf{a},m} \left( u'_{1}, u'_{2}, \dots, u'_{m} \right) \end{cases}$$

conduz a um caso particular da ligação em (2.8), a ligação através de uma única variável  $u_k$ , que se diz a variável condutora. A expressão  $\rho(u_k - u_k')$  é usada como um sinal de controle (ou sinal perturbação) aplicado ao sistema  $S_2$  na forma de feedback negativo. Uma característica importante de  $\rho(u_k - u_k')$  é o facto de não alterar a solução de  $S_2$ . O parâmetro  $\rho$ , designado por força de ligação, é ajustável experimentalmente e mede a intensidade da perturbação.

A partir de condições iniciais distintas  $\mathbf{u}_1(0)$  e  $\mathbf{u}_2(0)$ , os vectores estado de cada um dos sistemas  $S_1$  e (2.9) são iguais, para certo valor de  $\rho$ , ao fim de um certo tempo

 $t_{sync}$ . Quando é atingida a sincronização o sinal de controle torna-se 0 e os sistemas  $S_1$  e (2.9) tornam-se praticamente desligados, mas fica estabelecido o estado caótico sincrónico simétrico  $\mathbf{u}_1 = \mathbf{u}_2$ .

Uma variante desta ligação é o controle feedback negativo deslocado. Neste mecanismo de ligação, após escolher a variável condutora  $u_k$ , o sinal de controle  $\rho\left(u_k'-u_k\right)$  é aplicado ao sistema  $S_2$  numa equação que não é a k-ésima. Assim, para  $1 \leq j, k \leq m$ , o sistema resposta é agora dado por

$$\begin{cases} \dot{u}'_{1} = f_{\mathbf{a},1} \left( u'_{1}, u'_{2}, \dots, u'_{m} \right), \\ \dots \\ \dot{u}'_{j} = f_{\mathbf{a},j} \left( u'_{1}, u'_{2}, \dots, u'_{m} \right) + \rho \left( u_{k} - u'_{k} \right) & \text{para } j \neq k. \\ \dots \\ \dot{u}'_{m} = f_{\mathbf{a},m} \left( u'_{1}, u'_{2}, \dots, u'_{m} \right) \end{cases}$$

### 2.1.2 Estabilidade do sistema ligado em ligação unidireccional

Neste estudo há que distinguir entre a estabilidade por perturbações tangentes ou transversais à variedade de sincronização  $\mathcal{M}$ . Conforme afirmado por Pecora et al. [61],  $\mathcal{M}$  é atractora para a dinâmica do sistema ligado se a diferença  $\mathbf{e}(t)$  entre as variáveis  $\mathbf{u}_1$  e  $\mathbf{u}_2$  se anula no decurso do tempo e se o limite (2.2) é satisfeito para todas as condições iniciais numa vizinhança do ponto de equilíbrio  $\mathbf{e}(t) = \mathbf{0}$ . Como o sistema (2.1) que caracteriza a variável  $\mathbf{e}(t)$  caracteriza a dinâmica na direcção transversal a  $\mathcal{M}$ , há que determinar se pequenas perturbações transversais a  $\mathcal{M}$  são reduzidas ou ampliadas pela evolução de  $S_1$  e  $S_2$ . Se são reduzidas então  $\mathcal{M}$  diz-se transversalmente estável e o estado caótico sincrónico  $\mathbf{u}_1 = \mathbf{u}_2$  é estável. Dado que o regime de oscilações caóticas idênticas é estável quando as trajectórias sincronizadas são assimptoticamente estáveis por perturbações transversais a  $\mathcal{M}$ , a estabilidade da sincronização é referida como estabilidade transversal.

Em ligação unidireccional por substituição, a condição necessária e suficiente para sincronização estável é que o subsistema resposta

$$\dot{\mathbf{y}}_2 = \mathbf{h}(\mathbf{x}_1, \mathbf{y}_2; \mathbf{a})$$

seja assimptoticamente estável. A possibilidade de encontrar um subsistema estável resulta de sistemas caóticos possuirem algumas direcções estáveis no espaço de fase e de, por vezes, essa estabilidade assimptótica estar associada a variáveis particulares ou a grupos de variáveis. Na hipótese de que tal aconteça, a variável dinâmica  $\mathbf{y}_2$  do sistema resposta (2.4) converge para a sua correspondente  $\mathbf{y}_1$  no transporte (2.3) e permanecem em sincronização.

Para definir qual o subsistema  $\dot{\mathbf{y}}_1 = \mathbf{h}(\mathbf{x}_1, \mathbf{y}_1; \mathbf{a})$  assimptoticamente estável a ser escolhido na decomposição (2.3) do sistema transporte, é necessário averiguar acerca da estabilidade assimptótica das oscilações caóticas sincronizadas ocorridas na variedade invariante

$$\mathcal{M} = \{ (\mathbf{y}_1, \mathbf{y}_1) \mid \mathbf{y}_1 \in X \} \subset \mathbb{R}^{2m}.$$

Em concreto, há que estudar o comportamento do sistema ligado (2.5) a perturbações transversais a  $\mathcal{M}$ , as que actuam na variável  $\mathbf{y}_2$  da resposta (2.4).

Dado o erro de sincronização  $\mathbf{e}(t) = \mathbf{y}_2(t) - \mathbf{y}_1(t)$ , o limite de  $\|\mathbf{e}(t)\|$  é nulo quando o sistema ligado (2.5) evolui. Para estudar a dinâmica de  $\mathbf{e}(t)$ , subtrai-se (2.3) de (2.4) obtendo-se o sistema transversal

$$\dot{\mathbf{e}}(t) = \dot{\mathbf{y}}_2(t) - \dot{\mathbf{y}}_1(t).$$

Negligenciando os termos de ordem superior, a equação linearizada para o sistema transversal é dada por

$$\dot{\mathbf{e}}(t) = D_{\mathbf{y}_2} \mathbf{h}(\mathbf{x}_1(t), \mathbf{y}_2(t); \mathbf{a}) \cdot \mathbf{e}(t),$$

onde  $D_{\mathbf{y}_2}\mathbf{h}\left(\mathbf{x}_1\left(t\right),\mathbf{y}_2\left(t\right);\mathbf{a}\right)$  é a matriz Jacobiana do campo vectorial  $\mathbf{h}$  relativamente à variável  $\mathbf{y}_2$ . As equações diferenciais ordinárias em (2.10) definem a dinâmica de perturbações transversais a  $\mathcal{M}$  e as suas soluções indicam se as coordenadas de  $\mathbf{e}\left(t\right)$  aumentam ou diminuem no decurso do tempo.

Os três critérios mais usados para o estudo da estabilidade transversal da sincronização são:

(i) Critério baseado nos valores próprios  $\Lambda_1, \ldots, \Lambda_{m-k}$  da matriz Jacobiana

$$D_{\mathbf{y}_{2}}\mathbf{h}\left(\mathbf{x}_{1}\left(t\right),\mathbf{y}_{2}\left(t\right);\mathbf{a}\right)$$

correspondente ao fluxo sobre a variedade de sincronização  $\mathcal{M}$ , sugerido por Fujisaka e Yamada ([90],[91]). Este critério exige que o maior valor próprio da matriz  $D_{\mathbf{y}_2}\mathbf{h}\left(\mathbf{x}_1\left(t\right),\mathbf{y}_2\left(t\right);\mathbf{a}\right)$  seja negativo para o começo de sincronização estável. No caso de  $D_{\mathbf{y}_2}\mathbf{h}\left(\mathbf{x}_1\left(t\right),\mathbf{y}_2\left(t\right);\mathbf{a}\right)$  ser constante sobre o atractor  $\mathcal{A}$  (i.e., se a resposta for linear) o cálculo dos valores próprios é mais simples e é, então, imediato concluir acerca da obtenção de sincronização estável;

(ii) Critério baseado na construção e estudo de uma função de Lyapunov L (e (t)) apropriada (método directo de Lyapunov) para o campo vectorial de perturbações transversais a M, desenvolvido por He e Vaidya [20]. Há que determinar uma função L que, numa vizinhança de  $\mathcal{M}$ , seja definida positiva excepto em  $\mathcal{M}$ , onde é nula,  $L(\mathbf{e}(t)) \geq 0$  e  $L(\mathbf{0}) = 0$ , e cuja derivada seja semi-definida negativa,  $\dot{L}(\mathbf{e}(t)) \leq 0$ , e nula em  $\mathcal{M}$ . Se for possível a construção de L para uma escolha particular do subsistema  $\dot{\mathbf{y}}_2 = \mathbf{h}(\mathbf{x}_1, \mathbf{y}_2; \mathbf{a})$ , então este é assimptoticamente globalmente estável e  $\mathcal{M}$  é transversalmente estável;

(iii) Critério baseado na estimação dos expoentes de Lyapunov que indicam se pequenas perturbações tranversais e<sub>i</sub> (t), para 1 ≤ i ≤ m, diminuem ou não, desenvolvido por Pecora e Carroll [58]. Este critério é bastante directo e pode ser facilmente utilizado mesmo em sistemas onde os outros critérios não são aplicáveis. Em geral, na decomposição (2.3) do sistema transporte, o subsistema sinal condutor x₁ = g(x₁, y₁; a) é escolhido de modo a corresponder aos expoentes de Lyapunov positivos. Assumindo que existem k ≠ 0 expoentes de Lyapunov positivos, existem (m − k) expoentes de Lyapunov negativos correspondentes a y₁ = h (x₁, y₁; a) para um total de m expoentes de Lyapunov do sistema transporte (2.3). A condição minimal para estabilidade assimptótica é que todos os expoentes de Lyapunov (transversais) do sistema transversal definido por (2.10) sejam negativos. Isto é equivalente a exigir que y₂ = h (x₁, y₂; a) tenha todos os expoentes negativos. Assim os subsistemas y₁ = h (x₁, y₁; a) e y₂ = h (x₁, y₂; a) apenas sincronizam de forma estável se os (m − k) expoentes de Lyapunov de y₁ = h (x₁, y₁; a) são negativos.

Nota-se que os expoentes de Lyapunov transversais relativos à equação linearizada (2.10) dependem das variáveis dinâmicas do subsistema sinal condutor  $\dot{\mathbf{x}}_1 = \mathbf{g}(\mathbf{x}_1, \mathbf{y}_1; \mathbf{a})$ , sendo por isso designados por Pecora e Carroll [59] por expoentes de Lyapunov condicionados. Em geral os sinais destes expoentes não são imediatos a partir das equações do movimento e variam com os valores paramétricos tomados. No entanto, se o maior expoente de Lyapunov transversal  $\lambda_{\text{max}}^{\perp}$ , o expoente de Lyapunov condicionado maximal, for negativo então fica garantida a estabilidade do estado sincrónico  $\mathbf{y}_1 = \mathbf{y}_2$ .

De Sousa Vieira et al. [83] e Kapitaniak e Chua [30] mostraram que a fronteira entre sincronização e não-sincronização está estritamente relacionada com a transição de comportamento caótico para hipercaótico, sendo este último caracterizado pela existência de pelo menos dois expoentes de Lyapunov positivos.

Em ligação unidireccional por decomposição activo-passivo, o sistema passivo (2.6) e a sua réplica (2.7), conduzidos pela mesma componente activa **h**, evoluem para sincronização

idêntica estável se o sistema transversal

$$\dot{\mathbf{e}}(t) = \mathbf{g}(\mathbf{x}_2, \mathbf{s}(t); \mathbf{a}) - \mathbf{g}(\mathbf{x}_1, \mathbf{s}(t); \mathbf{a}) = \mathbf{g}(\mathbf{x}_1 + \mathbf{e}, \mathbf{s}(t); \mathbf{a}) - \mathbf{g}(\mathbf{x}_1, \mathbf{s}(t); \mathbf{a})$$

descrevendo a evolução do erro de sincronização  $\mathbf{e} = \mathbf{x}_2 - \mathbf{x}_1$  possui um ponto de equilíbrio estável em  $\mathbf{e} = \mathbf{0}$ . Sempre que aplicáveis, isto pode ser provado pelos critérios (i) e/ou (iii) usando a equação linearizada

$$\dot{\mathbf{e}}(t) = D_{\mathbf{x}_1} \mathbf{g}(\mathbf{x}_1(t), \mathbf{s}(t); \mathbf{a}) \cdot \mathbf{e}(t),$$

onde  $D_{\mathbf{x}_1}\mathbf{g}(\mathbf{x}_1(t), s(t); \mathbf{a})$  é a matriz Jacobiana da função vectorial  $\mathbf{g}$  relativamente à variável  $\mathbf{x}_1$ , ou pelo método directo de Lyapunov.

Na ligação unidireccional por controle feedback negativo (2.9), põe-se a questão de determinar para qual das variáveis condutoras  $u_k$ ,  $1 \le k \le m$ , e valor da força de ligação  $\rho$  a sincronização é estável. Sempre que aplicáveis, os critérios (i)-(iii) permitem esse estudo a partir da equação linearizada

$$\dot{\mathbf{e}}(t) = D\mathbf{f}(\mathbf{u}_1(t); \mathbf{a}) \cdot \mathbf{e}(t),$$

onde  $D\mathbf{f}(\mathbf{u}_1(t); \mathbf{a})$  é a matriz Jacobiana de  $\mathbf{f}$  calculada em  $\mathbf{e} = 0$ . Dado que a equação linearizada depende de  $\rho > 0$ , a força de ligação  $\rho$  afecta a estabilidade assimptótica do estado sincrónico  $\mathbf{u}_1 = \mathbf{u}_2$ .

Esta ligação é ambiciosa na medida em que é pretendido alcançar sincronização por perturbação através de uma única variável. Na verdade, o recurso a uma só variável  $u_k$  como condutora nem sempre resulta em sincronização estável. Esta apenas ocorre se o número de expoentes de Lyapunov positivos do sistema ligado é igual ao número de expoentes de Lyapunov positivos do sistema transporte  $S_1$ , o que equivale a considerar  $u_k$  como um subsistema assimptoticamente estável. Quando esta condição é satisfeita o sistema ligado, formado por  $S_1$  e (2.9), evolui na variedade onde evoluem os sistemas caóticos  $S_1$  e  $S_2$  obtendo-se sincronização.

Se o sistema ligado possui mais expoentes de Lyapunov do que os sistemas originais  $S_1$  e  $S_2$  é ainda possível tentar evitar comportamento hipercaótico alterando a variação da força de ligação  $\rho$  ou envolvendo mais variáveis condutoras no controle por feedback negativo. Por um lado a força de ligação  $\rho$  pode ser escolhida de modo a ser obtido um tempo de sincronização  $t_{sync}$  pequeno, mas não demasiado elevada para evitar comportamento hipercaótico. Por outro lado o intervalo de valores de  $\rho$  para os quais ocorre sincronização

pode ser aumentado se são interligadas simultaneamente várias variáveis dos sistemas, ou seja, se o número de variáveis condutoras  $u_k$  aumenta. Para tal é considerada a ligação

$$\dot{\mathbf{u}}_1 = \mathbf{f}(\mathbf{u}_1; \mathbf{a}) \quad \wedge \quad \dot{\mathbf{u}}_2 = \mathbf{f}(\mathbf{u}_2; \mathbf{a}) + \rho \mathbf{C}(\mathbf{u}_2 - \mathbf{u}_1)$$

por adição do termo amortecedor  $\rho \mathbf{C} (\mathbf{u}_2 - \mathbf{u}_1)$  ao sistema resposta que verifica  $\rho \mathbf{C} (\mathbf{0}) = \mathbf{0}$ . No termo amortecedor, usado como factor inibidor na separação de trajectórias,  $\mathbf{C}$  é a matriz de ligação que determina a combinação linear das coordenadas de  $\mathbf{u}$  presentes na diferença  $\mathbf{u}_2 - \mathbf{u}_1$  e  $\rho$  é o parâmetro que controla a força da ligação.

Heagy et al. [21] provaram que se a matriz  $\mathbf{C}$  permite que todas as variáveis estejam correlacionadas então existe um limiar de ligação  $\rho_{sync}$  acima do qual se obtem comportamento sincronizado. No entanto, conforme Pecora et al. [60], a determinação prática de  $\rho_{sync}$  pode ser difícil.

Ligação unidireccional por decomposição valor singular. Junge e Parlitz [27] garantem um critério de estabilidade para a ligação unidireccional da forma

$$\mathbf{\dot{u}}_{1} = \mathbf{f}\left(\mathbf{u}_{1}; \mathbf{a}\right) \quad \wedge \quad \mathbf{\dot{u}}_{2} = \mathbf{f}\left(\mathbf{u}_{2}; \mathbf{a}\right) + \mathbf{C}\left(\mathbf{u}_{1}\right) \cdot \left(\mathbf{u}_{1} - \mathbf{u}_{2}\right)$$

em que  $\mathbf{C}(\mathbf{u}_1)$  é uma matriz de ligação, não necessariamente constante, obtida pelo método de decomposição valor singular.

Para um avanço de tempo arbitrário  $\Delta t$ , a solução do sistema transversal na variável erro  $\mathbf{e} = \mathbf{u}_2 - \mathbf{u}_1$ , caracterizado pela equação linearizada

$$\dot{\mathbf{e}}(t) = D\mathbf{f}(\mathbf{u}_2(t); \mathbf{a}) \cdot \mathbf{e}(t),$$

pode ser aproximada por  $\mathbf{e}(\Delta t) = [\mathbf{I} + \Delta t D\mathbf{f}] \cdot \mathbf{e}_0$ , onde  $\mathbf{e}_0$  é a diferença inicial entre as trajectórias e  $\mathbf{I}$  denota a matriz identidade de ordem m. Através da decomposição valor singular

$$\mathbf{I} + \mathbf{\Delta}tD\mathbf{f} = \mathbf{U} \cdot \mathbf{W} \cdot \mathbf{V}^T$$

da matriz  $\mathbf{I} + \Delta t D \mathbf{f}$ , são obtidos os seus valores singulares  $w_i(\Delta t)$  dependentes de  $\Delta t$ . Para eliminar esta dependência, considera-se o produto

$$(\mathbf{I} + \Delta t D \mathbf{f})^T \cdot (\mathbf{I} + \Delta t D \mathbf{f}) = \mathbf{I} + \Delta t \left[ (D \mathbf{f})^T + D \mathbf{f} \right] + \Delta t^2 (D \mathbf{f})^T \cdot D \mathbf{f}$$

e negligenciam-se os termos de ordem superior em  $\Delta t$ , donde

$$\mathbf{I} + \Delta t \left[ (D\mathbf{f})^T + D\mathbf{f} \right] = (\mathbf{I} + \Delta t D\mathbf{f})^T \cdot (\mathbf{I} + \Delta t D\mathbf{f}) = \mathbf{V} \cdot \mathbf{W}^2 \cdot \mathbf{V}^T.$$

Tem-se então  $(D\mathbf{f})^T + D\mathbf{f} = \mathbf{V} \cdot \mathbf{D} \cdot \mathbf{V}^T$  com

$$\mathbf{D} = diag\left(\Lambda_1, \dots, \Lambda_m\right) = \frac{1}{\Delta t} \left(\mathbf{W}^2 - \mathbf{I}\right),$$

em que os elementos diagonais  $\Lambda_i$  são os valores próprios de  $(D\mathbf{f})^T + D\mathbf{f}$ . Os valores singulares  $w_i(\Delta t)$  são então dados pela expressão

$$w_i(\Delta t) = \sqrt{1 + \Delta t \Lambda_i}.$$

Dado que ocorre contracção com  $w_i < 1$  para as direcções onde  $\Lambda_i < 0$ , a matriz  $\mathbf{C}(\mathbf{u}_1)$  é escolhida de modo que todos os valores próprios da matriz

$$(D\mathbf{f})^T - \mathbf{C}^T + D\mathbf{f} - \mathbf{C} = (D\mathbf{f})^T + D\mathbf{f} - (\mathbf{C}^T + \mathbf{C})$$

sejam negativos. Este objectivo pode ser alcançado usando uma matriz simétrica  $\mathbf{C}$  que manipule todos os valores próprios  $\Lambda_1, \ldots, \Lambda_k$  não-negativos da matriz  $(D\mathbf{f})^T + D\mathbf{f}$ . A escolha de uma matriz  $\mathbf{C}$  tal que

$$\mathbf{C}^T + \mathbf{C} = 2\mathbf{C} = 2\mathbf{V} \cdot diag(c_1, \dots, c_k, 0, \dots, 0) \cdot \mathbf{V}^T$$

com  $c_i > \Lambda_i/2$  para i = 1, ..., k, conduz a uma matriz  $(D\mathbf{f})^T - \mathbf{C}^T + D\mathbf{f} - \mathbf{C}$  com valores singulares negativos e resulta no termo de ligação

(2.11) 
$$\mathbf{C}(\mathbf{u}_1 - \mathbf{u}_2) = \sum_{i=1}^k c_i \left[ \langle \mathbf{u}_1, \mathbf{v}_i \rangle - \langle \mathbf{u}_2, \mathbf{v}_i \rangle \right] \mathbf{v}_i.$$

O termo de ligação (2.11), ao ser expresso em termos dos vectores coluna  $\mathbf{v}_i$  da matriz ortogonal  $\mathbf{V}$ , com i = 1, ..., k, correspondentes aos valores próprios  $\Lambda_i$  de  $(D\mathbf{f})^T + D\mathbf{f}$  tais que  $c_i > \Lambda_i/2$ , depende da matriz Jacobina  $D\mathbf{f}$  do campo vectorial  $\mathbf{f}$  ao longo da órbita.

Ao contrário dos mecanismos de ligação convencionais, baseados sobretudo em forças de ligação globais, a ligação estabelecida com o termo (2.11) suprime a divergência exponencial da dinâmica do erro  $\mathbf{e} = \mathbf{u}_2 - \mathbf{u}_1$  e explora completamente as propriedades de contracção do fluxo dos sistemas dados<sup>1</sup>.

### 2.1.3 Ligação difusiva linear bidireccional

Segundo Fujisaka e Yamada ([90],[91]), uma maneira natural de introduzir uma ligação dissipativa entre os sistemas idênticos caóticos  $S_1$  e  $S_2$  é adicionar termos de ligação lineares

<sup>&</sup>lt;sup>1</sup>Esta abordagem, embora conceptualmente diferente, baseia-se na mesma ideia de métodos de controle de caos sugeridos por Lai et al. [37].

simétricos às expressões que os definem. Este mecanismo de ligação, designado por ligação difusiva linear, desempenha um papel central em controle de caos.

A ligação difusiva linear dos sistemas  $S_1$  e  $S_2$  traduz-se no sistema ligado

(2.12) 
$$\dot{\mathbf{u}}_1 = \mathbf{f}(\mathbf{u}_1; \mathbf{a}) + \mathbf{D}_1(\mathbf{u}_2 - \mathbf{u}_1) \wedge \dot{\mathbf{u}}_2 = \mathbf{f}(\mathbf{u}_2; \mathbf{a}) + \mathbf{D}_2(\mathbf{u}_1 - \mathbf{u}_2),$$

onde  $\mathbf{D}_1$  e  $\mathbf{D}_2$  são matrizes diagonais de ligação de ordem m com elementos diagonais  $\rho_{1,i}$  e  $\rho_{2,i}$  positivos ou nulos, respectivamente.

Se todos os pares  $(\rho_{1,i}, \rho_{2,i})$  de elementos diagonais correspondentes são não-nulos, ou seja se  $\rho_{1,i} \neq 0$  e/ou  $\rho_{2,i} \neq 0$  para  $i=1,\ldots,m$ , a ligação diz-se total. Quando nas matrizes diagonais  $\mathbf{D}_1$  e  $\mathbf{D}_2$  existem pares  $(\rho_{1,i}, \rho_{2,i})$  de elementos diagonais correspondentes nulos, ou seja  $\rho_{1,i}=0$  e  $\rho_{2,i}=0$  para algum  $1\leq i\leq m$ , apenas é efectuada uma ligação parcial. Neste caso a ligação de uma ou mais equações do sistema ligado (2.12) não é executada.

Estabilidade do sistema ligado. Em ligação total a evolução do erro de sincronização  $\mathbf{e} = \mathbf{u}_2 - \mathbf{u}_1$  é caracterizada pelo sistema transversal

$$\|\dot{\mathbf{e}}(t)\| = \|\mathbf{f}(\mathbf{u}_{2}(t); \mathbf{a}) - \mathbf{f}(\mathbf{u}_{1}(t); \mathbf{a})\| - (d_{1} + d_{2}) \cdot \|\mathbf{e}(t)\|$$

onde  $d_1 + d_2$  denota a soma dos elementos diagonais  $\rho_{1,i}$  e  $\rho_{2,i}$  das matrizes  $\mathbf{D}_1$  e  $\mathbf{D}_2$ . A distância entre as trajectórias individuais dos sistemas  $S_1$  e  $S_2$  é dada pela equação

$$\|\mathbf{e}(t)\| = \delta_0 e^{\lambda_{\max} t},$$

onde  $\lambda_{\max}$  é o valor do maior expoente de Lyapunov positivo e  $\delta_0 \geq 0$  é uma distância inicial infinitamente pequena entre as trajectórias. Por derivação é obtida a relação

$$\|\mathbf{f}(\mathbf{u}_{2}(t); \mathbf{a}) - \mathbf{f}(\mathbf{u}_{1}(t); \mathbf{a})\| = \lambda_{\max} \delta_{0} e^{\lambda_{\max} t}$$

e, atendendo à igualdade

$$\delta_0 \|\mathbf{e}(t)\| = e^{-\lambda_{\max} t},$$

a equação

$$\|\dot{\mathbf{e}}(t)\| = \lambda_{\max} \delta_0 e^{\lambda_{\max} t} - (d_1 + d_2) \cdot \|\mathbf{e}(t)\|$$

pode ser escrita como uma equação diferencial ordinária de variáveis separadas cuja solução é

(2.13) 
$$\|\mathbf{e}(t)\| = \mathbf{e}_0 e^{\lambda_{\max} t} e^{-(d_1 + d_2)t} = \mathbf{e}_0 e^{[\lambda_{\max} - (d_1 + d_2)]t}.$$

onde  $\mathbf{e}_0$  é diferença inicial entre as trajectórias<sup>2</sup>.

A partir de (2.13) pode concluir-se que o erro de sincronização  $\mathbf{e}$  é consequência de duas propriedades independentes. Por um lado, a divergência exponencial de trajectórias próximas com uma razão  $\lambda_{\max}t$  proporcional ao expoente de Lyapunov positivo. Por outro lado, a convergência exponencial resultante dos termos de ligação  $\mathbf{D}_1(\mathbf{u}_2 - \mathbf{u}_1)$  e  $\mathbf{D}_2(\mathbf{u}_1 - \mathbf{u}_2)$  introduzidos, com uma razão  $-(d_1 + d_2)t$  proporcional à soma dos coeficientes de ligação. Fazendo  $\mathbf{f}(\mathbf{u}_2; \mathbf{a}) = \mathbf{f}(\mathbf{u}_1; \mathbf{a}) = 0$ , o sistema transversal para a evolução de  $\mathbf{e}$  associada a esta convergência toma a forma

$$\dot{\mathbf{e}}(t) = -(d_1 + d_2) \cdot \mathbf{e}(t).$$

Enquanto a segunda propriedade actua em todo o espaço de fase X, a primeira apenas actua numa vizinhança do estado caótico sincrónico  $\mathbf{u}_1 = \mathbf{u}_2$  onde os efeitos lineares são dominantes. Como tal, o produto de ambos os factores exponenciais de (2.13) apenas tem lugar próximo de  $\mathcal{M}$ .

Por (2.13), ocorre a sincronização total no sistema ligado (2.12), no sentido da Definição 2.1.1, se for válida a desigualdade

$$(2.14) d_1 + d_2 > \lambda_{\text{max}}.$$

A condição de sincronização total (2.14) mostra que existe uma dependência linear entre o expoente de Lyapunov maximal dos sistemas e os elementos das matrizes diagonais  $\mathbf{D}_1$  e  $\mathbf{D}_2$  de ligação entre eles.

O estudo de Stefański em [84] mostra que as propriedades de divergência e convergência exponencial em ligação total permitem estimar o maior expoente de Lyapunov de qualquer sistema dinâmico caótico. Esta possibilidade é especialmente útil em sistemas não-suaves, onde a estimação de expoentes de Lyapunov não é directa [84].

A condição de sincronização não assegura um estado totalmente sincronizado quando apenas é efectuada uma ligação parcial. Na verdade, não sendo executada a ligação de uma ou mais equações do sistema ligado (2.12), o efeito dos termos de ligação  $\mathbf{D}_1$  ( $\mathbf{u}_2 - \mathbf{u}_1$ ) e  $\mathbf{D}_2$  ( $\mathbf{u}_1 - \mathbf{u}_2$ ) pode não ser tão regular na sincronização como em ligação total. Stefański

$$\dot{\mathbf{u}}_1 = \mathbf{D}_1 \mathbf{e} \quad \wedge \quad \dot{\mathbf{e}}_2 = -\left(\mathbf{D}_1 + \mathbf{D}_2\right) \mathbf{e}$$

cuja solução é dada por  $\|\mathbf{e}(t)\| = \mathbf{e}_0 e^{-(d_1 + d_2)t}$ .

<sup>&</sup>lt;sup>2</sup>Pode ainda considerar-se  $\mathbf{f}(\mathbf{u}_2; \overline{\mathbf{a}}) = \overline{\mathbf{f}}(\mathbf{u}_1; \mathbf{a}) = 0$  em (2.12) de que resulta o sistema

e Kapitaniak [86] introduzem um coeficiente de ligação  $\zeta > 0$  que permite considerar a condição de sincronização  $d_1 + d_2 > \zeta \lambda_{\max}$  que avalia o nível de eficácia da ligação parcial. Esta condição é uma generalização de (2.14), pois em ligação total o valor de  $\zeta$  eleva-se a 1.

A determinação analítica do coeficiente de ligação  $\zeta$  (em ligação parcial) é difícil e pode mesmo ser impossível. Contudo, pode ser estimado no decurso de experimentações numéricas de acordo com a relação  $\zeta = \rho_{\min}/\lambda_{\max}$ , onde  $\rho_{\min}$  denota o menor valor da soma  $d_1 + d_2$  de elementos diagonais  $\rho_{1,i}$  e  $\rho_{2,i}$  para os quais ocorre movimento sincrónico estável. Em muitos sistemas o valor de  $\zeta$  é independente das condições iniciais tomadas [86].

Caso particular I. Quando os elementos diagonais  $\rho_{1,i}$  e  $\rho_{2,i}$  verificam  $\rho_{1,i} = \rho_{2,i} = \rho_i$ , a ligação proposta em (2.12) traduz-se no sistema ligado

$$\begin{cases} \dot{u}_i = f_i(u_1, ..., u_m; \mathbf{a}) + \rho_i(u'_i - u_i) \\ \dot{u}'_i = f_i(u'_1, ..., u'_m; \mathbf{a}) + \rho_i(u_i - u'_i) \end{cases}, \quad 1 \le i \le m.$$

A solução caótica sincrónica simétrica  $u_i(t) = u'_i(t) \equiv U_i(t)$  deste sistema, correspondente ao estado sincrónico  $\mathbf{u}_1 = \mathbf{u}_2$ , e o estudo da sua estabilidade a pequenas perturbações transversais  $e_i(t) = u'_i(t) - u_i(t)$ , para  $1 \leq i \leq m$ , requer a equação linearizada

(2.15) 
$$\dot{e}_{i} = \frac{\partial f_{i}}{\partial x_{i}} (\mathbf{U}(t)) e_{j} - 2\rho_{i} e_{i}.$$

As soluções do sistema transversal (2.15) aumentam exponencialmente quando  $t \to +\infty$ . Sendo m a dimensão deste sistema, existem m expoentes de Lyapunov transversais e o maior deles,  $\lambda_{\max}^{\perp}$ , determina a estabilidade de perturbações. Como as expressões  $2\rho_i e_i$  em (2.15) dependem das coordenadas  $\rho_i$  do vector de parâmetros  $\boldsymbol{\rho}$ , o expoente maximal  $\lambda_{\max}^{\perp}$  depende destas coordenadas e a condição  $\lambda_{\max}^{\perp}(\rho_i) < 0$  define a região de sincronização.

Caso particular II. Considere o caso particular em que os elementos diagonais têm o mesmo valor  $\rho_1 = \cdots = \rho_m \equiv \rho > 0$ ,

(2.16) 
$$\begin{cases} \dot{u}_{i} = f_{i}\left(u_{1}, ..., u_{m}; \mathbf{a}\right) + \rho\left(u'_{i} - u_{i}\right) \\ \dot{u}'_{i} = f_{i}\left(u'_{1}, ..., u'_{m}; \mathbf{a}\right) + \rho\left(u_{i} - u'_{i}\right) \end{cases}, \quad 1 \leq i \leq m.$$

Para análise da estabilidade transversal do estado sincrónico  $\mathbf{u}_1 = \mathbf{u}_2$ , considere novas variáveis

$$\mathbf{U}(t) = \frac{1}{2} [\mathbf{u}_1(t) + \mathbf{u}_2(t)]$$
 e  $\mathbf{V}(t) = \frac{1}{2} [\mathbf{u}_1(t) - \mathbf{u}_2(t)]$ 

em (2.16). A variável  $\mathbf{V}(t)$  descreve a evolução transversal à variedade invariante  $\mathcal{M}$  enquanto, no limite de movimento não-transversal,  $\mathbf{U}(t)$  descreve a evolução em  $\mathcal{M}$ . Com esta mudança de variáveis, o sistema ligado (2.16) pode ser reescrito como

(2.17) 
$$\begin{cases} \dot{\mathbf{U}} = \frac{1}{2} \left[ \mathbf{f}(\mathbf{U} + \mathbf{V}) + \mathbf{f}(\mathbf{U} - \mathbf{V}) \right] \\ \dot{\mathbf{V}} = \frac{1}{2} \left[ \mathbf{f}(\mathbf{U} + \mathbf{V}) - \mathbf{f}(\mathbf{U} - \mathbf{V}) \right] - 2\rho \mathbf{V} \end{cases}.$$

A análise da estabilidade do subespaço transversal a  $\mathcal{M}$  equivale a mostrar que o sistema dinâmico transversal na variável  $\mathbf{V}(t)$  tem um ponto de equilíbrio assimptoticamente estável na origem. O espectro de expoentes de Lyapunov da equação (2.17) pode ser dividido em dois subconjuntos:  $\lambda^{\parallel}$  dos expoentes de Lyapunov transversais, associados à evolução de  $\mathbf{U}(t)$ , que descreve a dinâmica em  $\mathcal{M}$  ou próximo dela, e  $\lambda^{\perp}$  dos expoentes de Lyapunov transversais que caracterizam a evolução de pequenas perturbações transversais a esta variedade. Pelo critério (iii), o atractor caótico  $\mathcal{A}$  é estável se todos os expoentes de Lyapunov transversais são negativos. Seja  $D\mathbf{f}(\mathbf{U})$  a matriz Jacobiana correspondente à linearização em torno do ponto de equilíbrio  $\mathbf{u}_1(t) = \mathbf{u}_2(t) = \mathbf{U}(t)$ . Se o maior expoente de Lyapunov transversal  $\lambda_{\max}^{\perp}(\rho)$  correspondente a  $D\mathbf{f}(\mathbf{U})$  é negativo, então qualquer perturbação transversal a  $\mathcal{M}$  é amortecida e o estado sincrónico  $\mathbf{u}_1 = \mathbf{u}_2$  é estável.

Se, além de  $V(t) \to 0$  quando  $t \to +\infty$ , é ainda verificada a condição

$$\frac{d\|\mathbf{V}(t)\|}{dt} < 0,$$

então tem-se um caso particular de sincronização, designado por sincronização monotónica. No caso de ocorrer sincronização monotónica para todos os valores iniciais na vizinhança de  $\mathbf{V}(t) = \mathbf{0}$ , o atractor caótico  $\mathcal{A}$  diz-se assimptoticamente monotonicamente estável.

São apresentadas na Tabela 2.1, do ponto de vista topológico em termos do parâmetro de ligação  $\rho$ , as transições de estabilidade de  $\mathcal{A}$  mergulhado em  $\mathcal{M}$  considerando as bifurcações do sistema ligado.

Parâmetro $\rho$	Atractor caótico $\mathcal{A}$		
$\rho < \rho_0$	sela caótica repulsora		
$\rho_0 < \rho < \rho'''$	com intermitência on-off (caos-hipercaos)		
$\rho''' < \rho < \rho''$	com bacia localmente riddled		
$\rho'' < \rho < \rho'$	assimptoticamente estável		
$\rho > \rho'$	assimptoticamente monotonicamente estável		

Tabela 2.1: Comportamento do atractor caótico  $\mathcal A$  em função de  $\rho$ .

A fase de estabilidade assimptótica mais forte ocorre para  $\rho > \rho'$  mas, se

$$\rho > \rho'' \equiv \frac{1}{2} \left( \lambda_{\max}^{\parallel} \left( \rho \right) \right),$$

em que  $\lambda_{\max}^{\parallel}(\rho)$  é o expoente de Lyapunov tangencial maximal de  $\mathcal{A}$ , é atingida sincronização para todas as condições iniciais na vizinhança de  $\mathcal{A}$  [91]. Em  $\rho''$  ocorre uma bifurcação em que A perde a sua estabilidade assimptótica. Conforme evidenciado por Alexander et al. [5], Sommerer e Ott [81] e Ott et al. [53], quando  $\rho < \rho''$  o atractor  $\mathcal{A}$  é estável mas pode existir uma distância  $\delta > 0$  de  $\mathcal{A}$  tal que, para cada ponto  $\mathbf{u}_1 \in \mathcal{B}(\mathcal{A})$ , qualquer bola arbitrariamente pequena centrada em  $\mathbf{u}_1$  contém um conjunto de pontos de medida positiva cujas órbitas excedem  $\delta$ . Dada uma trajectória típica de (2.17), embora todos os expoentes de Lyapunov transversais sejam negativos, existem ainda condições iniciais (densas) em A para as quais um deles é positivo. Considerando valores de  $\rho$  ainda menores, o sistema (2.17) sofre uma bifurcação blowout num determinado valor  $\rho'''$  que caracteriza a transição de caos para hipercaos ([90],[62],[29],[58],[7]). Segundo Nusse e Yorke [49], para  $\rho < \rho'''$  existe uma vizinhança W de A tal que o conjunto  $\mathcal{B}(A) \cap W$ contém  $\mathcal{A}$  mas tem medida de Lebesgue nula. Uma trajectória típica gasta algum tempo na vizinhança de  $\mathcal{A}$  mas explode ocasionalmente para longe dele. O expoente de Lyapunov transversal maximal de  $\mathcal{A}$ ,  $\lambda_{\max}^{\perp}(\rho)$ , é sempre positivo mas de baixo valor. No entanto as flutuações tempo finito podem permitir que todos os expoentes de Lyapunov transitórios sejam negativos em alguns períodos de tempo em que a órbita é atraída para  $\mathcal{M}$ . O atractor caótico  $\mathcal{A}$  torna-se então uma sela caótica. Para  $\rho$  abaixo de um certo valor  $\rho_0$ ,  $\lambda_{\max}^{\perp}(\rho)$  é suficientemente grande permitindo a evolução para um atractor distinto.

# 2.2 Sincronização generalizada

Muitos dos resultados teóricos relativos à sincronização de sistemas caóticos são obtidos no âmbito de sistemas dinâmicos estruturalmente equivalentes. É o caso de sistemas idênticos ou que, não o sendo, apenas diferem por um desajuste paramétrico pequeno.

Para sistemas homocaóticos  $\dot{\mathbf{u}}_1 = \mathbf{f}(\mathbf{u}_1; \mathbf{a}_1)$  e  $\dot{\mathbf{u}}_2 = \mathbf{f}(\mathbf{u}_2; \mathbf{a}_2)$ , isto é, sistemas dados pelo mesmo conjunto de equações diferenciais ordinárias mas com diferentes valores no conjunto de parâmetros, Kapitaniak *et al.* [31] admitem a possibilidade de obter sincronização caracterizada pela condição

$$\lim_{t \to +\infty} \|\dot{\mathbf{u}}_1(t) - \dot{\mathbf{u}}_2(t)\| \le \varepsilon,$$

onde  $\varepsilon \ll 1$  é uma constante real, que designam por sincronização prática.

Embora esta possibilidade de sincronização tenha grande interesse aplicativo, no estudo de sistemas reais é frequente a necessidade de averiguar o comportamento coerente entre sistemas dinâmicos claramente não-idênticos, incluindo sistemas de diferentes dimensões. A pesquisa em sincronização de sistemas não-idênticos, especialmente de diferentes dimensões, está ainda numa fase inicial, com um número reduzido de resultados teóricos.

Sejam, para cada vector de parâmetros  $\mathbf{a}$  e  $\mathbf{b}$ , os campos vectoriais  $\mathbf{f}(\cdot; \mathbf{a}) : X \subset \mathbb{R}^l \to \mathbb{R}^l$  e  $\mathbf{g}(\cdot; \mathbf{b}) : Y \subset \mathbb{R}^m \to \mathbb{R}^m$  contínuos, com  $l, m \geq 3$ . Considere os sistemas dinâmicos autónomos  $S_1$  e  $S_2$  unidireccionalmente ligados

(2.18) 
$$\dot{\mathbf{u}}_{1} = \mathbf{f}(\mathbf{u}_{1}; \mathbf{a}) \quad \wedge \quad \dot{\mathbf{u}}_{2} = \mathbf{g}(\mathbf{u}_{2}, \mathbf{C}_{\rho}(\mathbf{u}_{1}); \mathbf{b})$$

através de uma função vectorial  $\mathbf{C}_{\rho}(\mathbf{u}_1): X \subset \mathbb{R}^l \to Y \subset \mathbb{R}^m$ , onde a dependência do vector parâmetro de ligação  $\rho$  é explicitamente considerada. Quando  $\rho = \mathbf{0}$ , o sistema resposta  $S_2$  evolui independentemente do transporte  $S_1$  e ambos os sistemas são assumidos como caóticos.

Sejam  $\phi^t(\mathbf{u}_1(\mathbf{0}))$  e  $\psi^t(\mathbf{u}_1(\mathbf{0}), \mathbf{u}_2(\mathbf{0}))$  as soluções dos sistemas  $S_1$  e  $S_2$ , respectivamente, para as condições iniciais  $\mathbf{u}_1(\mathbf{0})$  e  $(\mathbf{u}_1(\mathbf{0}), \mathbf{u}_2(\mathbf{0}))$ .

**Definição 2.2.1** Os sistemas  $S_1$  e  $S_2$  dizem-se em sincronização generalizada relativamente a  $\mathbf{h}$  se, para certa função vectorial  $\mathbf{C}_{\rho}(\mathbf{u}_1): X \to Y$ , existe uma função vectorial  $\mathbf{h}: X \to Y$  entre os espaços de fase X e Y tal que

$$\lim_{t \to +\infty} \left\| \psi^t \left( \mathbf{u}_1(\mathbf{0}), \mathbf{u}_2(\mathbf{0}) \right) - \mathbf{h} \left( \phi^t \left( \mathbf{u}_1(\mathbf{0}) \right) \right) \right\| = 0$$

e a variedade invariante  $\mathcal{M}$  definida por

$$\mathcal{M} \equiv \{ (\mathbf{u}_1, \mathbf{h} (\mathbf{u}_1)) \in X \times Y \mid \mathbf{u}_1 \in X \} \subset \mathbb{R}^l \times \mathbb{R}^m$$

contem pelo menos um atractor caótico. A função  $\mathbf{h}$  diz-se a função de sincronização generalizada e  $\mathcal{M}$  a variedade de sincronização.

Define-se o erro de sincronização por  $\mathbf{e}(t) = \mathbf{u}_2(t) - \mathbf{h}(\mathbf{u}_1(t))$ . O sistema dinâmico na variável  $\mathbf{e}$ , designado por sistema transversal, é definido por

$$\dot{\mathbf{e}} = \dot{\mathbf{u}}_2 - \dot{\mathbf{h}}\left(\mathbf{u}_1\right) = \dot{\mathbf{u}}_2 - D\mathbf{h}\left(\mathbf{u}_1\right) \cdot \mathbf{f}\left(\mathbf{u}_1; \mathbf{a}\right)$$

sendo  $D\mathbf{h}(\mathbf{u}_1)$  a matriz Jacobiana de  $\mathbf{h}$ . Segue da Definição 2.2.1 que o estudo da sincronização generalizada em (2.18) equivale ao estudo da estabilidade assimptótica do ponto de equilíbrio do sistema transversal na origem. Quando os sistemas  $S_1$  e  $S_2$  são idênticos e a diagonal

$$\mathcal{M} = \{ (\mathbf{x}, \mathbf{x}) \mid \mathbf{x} \in X \} \subset \mathbb{R}^{2l}$$

do sistema ligado (2.18) é invariante pela dinâmica, a função  $\mathbf{h}$  é simplesmente a identidade em X e tem-se o caso particular de sincronização idêntica.

Existem diversas classes de sincronização generalizada baseadas nas propriedades da função de sincronização **h**. Exigir que **h** seja continuamente diferenciável permite tratar muitos dos exemplos que surgem em aplicações.

Conforme mostraram Kocarev e Parlitz [36], se o sistema transporte  $S_1$  é invertível e tem um atractor compacto, a sincronização generalizada no sistema ligado (2.18) é equivalente à estabilidade assimptótica do sistema resposta  $S_2$ . Tem-se então

$$\lim_{t\to\infty} \|\mathbf{u}_2\left(t,\mathbf{u}_1(\mathbf{0}),\mathbf{u}_2\left(\mathbf{0}\right)\right) - \mathbf{u}_2\left(t,\mathbf{u}_1(\mathbf{0}),\tilde{\mathbf{u}}_2\left(\mathbf{0}\right)\right)\| = 0,$$

para quaisquer condições iniciais  $(\mathbf{u}_1(\mathbf{0}), \mathbf{u}_2(\mathbf{0}))$  e  $(\mathbf{u}_1(\mathbf{0}), \tilde{\mathbf{u}}_2(\mathbf{0}))$  do sistema ligado (2.18) na bacia do atractor de sincronização. Para verificar a existência de sincronização generalizada é usualmente utilizado o critério da negatividade do expoente de Lyapunov maximal do sistema resposta [58].

Segundo Barreto et al. [10], existem ainda exemplos de sistemas transporte nãoinvertíveis para os quais é possível obter estabilidade assimptótica.

A relação funcional  $\mathbf{u}_2(t) = \mathbf{h}(\mathbf{u}_1(t))$  não tem de ser necessitamente válida em todo o espaço de fase  $X \times Y$  do sistema ligado (2.18), mas apenas na variedade  $\mathcal{M}$ . Dada a relação funcional, se o sistema resposta  $S_2$  é assimptoticamente estável o comportamento do sistema ligado (2.18) em  $\mathcal{M}$  apenas é controlado pelas oscilações do sistema transporte  $S_1$  no espaço de fase. Como tal um transporte comum pode conduzir/transportar múltiplas réplicas da resposta, conforme evidenciado por Abarbanel et al. [2].

### 2.2.1 Ligação unidireccional por controle feedback negativo

Considere a ligação em (2.8) para diferentes valores paramétricos  $\mathbf{a}_1$  e  $\mathbf{a}_2$ ,

$$\dot{\mathbf{u}}_1 = \mathbf{f}(\mathbf{u}_1; \mathbf{a}_1) \quad \wedge \quad \dot{\mathbf{u}}_2 = \mathbf{f}(\mathbf{u}_2; \mathbf{a}_2) + \boldsymbol{\rho}(\mathbf{u}_2 - \mathbf{u}_1),$$

Considere ainda que a trajectória do sistema  $\dot{\mathbf{u}}_1 = \mathbf{f}(\mathbf{u}_1; \mathbf{a}_1)$  está num atractor caótico  $\mathcal{A}_1$  enquanto a trajectória de  $\dot{\mathbf{u}}_2 = \mathbf{f}(\mathbf{u}_2; \mathbf{a}_2)$  está num atractor caótico co-existente  $\mathcal{A}_2$ . Para alcançar sincronização há que perturbar uma das trajectórias, digamos a do atractor  $\mathcal{A}_1$ ,

de modo a evoluir para a bacia de atracção  $\mathcal{B}(\mathcal{A}_2)$ . Sendo  $\mathcal{R}(\mathcal{A}_1)$  a região do espaço de fase na qual evolui a trajectória perturbada, a condição necessária para sincronização é dada por

$$(2.19) \mathcal{R}(\mathcal{A}_1) \cap \mathcal{B}(\mathcal{A}_2) \neq \emptyset.$$

Para satisfazer a relação (2.19) pode ser necessária uma forte perturbação difícil de realizar na prática. No entanto Kapitaniak *et al.* [32] discutiram a sincronização e perda de sincronização de sistemas quase-hiperbólicos usando esta ligação com um *feedback* negativo pequeno.

Mesmo que a relação (2.19) não seja inicialmente satisfeita, estes autores introduziram um método simples que permite sincronização de trajectórias caóticas evoluindo em diferentes atractores co-existentes  $\mathcal{A}_1$  e  $\mathcal{A}_2$  que estejam próximos de um único atractor caótico  $\mathcal{A}$ . Assumindo que os valores paramétricos  $\mathbf{a}_1$  e  $\mathbf{a}_2$  estão próximos, considere em ambos os sistemas  $S_1$  e  $S_2$  um valor paramétrico fixado  $\mathbf{a}_1$  (relativo a  $\mathcal{A}_1$ ) que verifique (2.19). Obtem-se comportamento caótico sincronizado dos sistemas através da ligação

$$\dot{\mathbf{u}}_1 = \mathbf{f}(\mathbf{u}_1; \mathbf{a}(t)) \quad \wedge \quad \dot{\mathbf{u}}_2 = \mathbf{f}(\mathbf{u}_2; \mathbf{a}(t)) + \boldsymbol{\rho}(\mathbf{u}_2 - \mathbf{u}_1),$$

em que  $\mathbf{a}(t)$  é a parametrização definida por

$$\mathbf{a}(t) = \left\{ \begin{array}{ll} \mathbf{a}_1, & t \in [0, \tau_s] \\ \mathbf{a}_2, & t > \tau_s \end{array} \right.,$$

onde  $\tau_s$  é o tempo de sincronização de  $S_1$  e  $S_2$  para o valor paramétrico  $\mathbf{a}_1$ . Esta definição de  $\mathbf{a}(t)$  garante que, quando o estado sincrónico  $\mathbf{u}_1 = \mathbf{u}_2$  é atingido (no atractor  $\mathcal{A}_1$ ), o parâmetro  $\mathbf{a}$  é desviado para o valor  $\mathbf{a}_2$ . A igualdade  $\mathbf{u}_1(\tau_s) = \mathbf{u}_2(\tau_s)$  assegura as mesmas condições iniciais para a evolução transitória na direcção de um dos atractores (co-existentes). Tem-se  $\mathbf{u}_1(t) = \mathbf{u}_2(t)$  para todo o  $t > \tau_s$  e é garantida a sincronização num dos atractores.

### 2.2.2 Ligação unidireccional por função de controle

Suponha que se pretende obter uma ligação apropriada entre dois sistemas dinâmicos não-idênticos  $\dot{\mathbf{u}}_1 = \mathbf{f}(\mathbf{u}_1; \mathbf{a})$  e  $\dot{\mathbf{u}}_2 = \mathbf{g}(\mathbf{u}_2; \mathbf{b})$  tendo uma determinada função de sincronização generalizada  $\mathbf{h}$  como objectivo.

Uma das possibilidades é determinar uma função de controle  $\mathbf{C}(\mathbf{u}_1, \mathbf{u}_2)$  nas variáveis dos sistemas de modo que a ligação unidireccional

$$\dot{\mathbf{u}}_1 = \mathbf{f}(\mathbf{u}_1; \mathbf{a}) \quad \wedge \quad \dot{\mathbf{u}}_2 = \mathbf{g}(\mathbf{u}_2; \mathbf{b}) + \mathbf{C}(\mathbf{u}_1, \mathbf{u}_2)$$

conduza a sincronização generalizada. Por outro lado, muitos sistemas, entre os quais o sistema de Lorenz, o sistema de Rössler e o sistema hipercaótico de Rössler, podem ser escritos na forma

$$\dot{\mathbf{u}}_2 = \mathbf{A} \cdot \mathbf{u}_2 + \mathbf{B} \left( \mathbf{u}_2 \right)$$

onde  $\mathbf{A}$  é uma matriz constante e  $\mathbf{B}(\mathbf{u}_2)$  é a parte não-linear. Considere então o caso particular do sistema ligado (2.18) na forma

$$(2.20) \dot{\mathbf{u}}_1 = \mathbf{f}(\mathbf{u}_1; \mathbf{a}) \wedge \dot{\mathbf{u}}_2 = \mathbf{A} \cdot \mathbf{u}_2 + \mathbf{B}(\mathbf{u}_2) + \mathbf{C}(\mathbf{u}_1, \mathbf{u}_2),$$

em que  $C(\mathbf{u}_1, \mathbf{u}_2)$  é uma função de controle a determinar.

Na configuração de ligação (2.20), é possível obter explicitamente uma expressão da função de controle  $\mathbf{C}(\mathbf{u}_1, \mathbf{u}_2)$  para uma escolha arbitrária da função de sincronização generalizada  $\mathbf{h}$ . Para a variável erro de sincronização  $\mathbf{e} = \mathbf{u}_2 - \mathbf{h}(\mathbf{u}_1)$ , o sistema tranversal é dado por

$$\dot{\mathbf{e}} = \dot{\mathbf{u}}_2 - \dot{\mathbf{h}}(\mathbf{u}_1) = \mathbf{A} \cdot \mathbf{u}_2 + \mathbf{B}(\mathbf{u}_2) + \mathbf{C}(\mathbf{u}_1, \mathbf{u}_2) - D\mathbf{h}(\mathbf{u}_1) \cdot \mathbf{f}(\mathbf{u}_1; \mathbf{a})$$

onde  $D\mathbf{h}(\mathbf{u}_1)$  é a matriz Jacobiana de tipo  $l \times m$  da função  $\mathbf{h}$ .

Considere o sistema transversal (2.21) escrito na forma  $\dot{\mathbf{e}} = (\mathbf{A} - \mathbf{A}') \cdot \mathbf{e}$ , para certa matriz constante  $\mathbf{A}'$  de ordem m. A resolução da equação

$$\mathbf{A} \cdot \mathbf{u}_2 + \mathbf{B}(\mathbf{u}_2) + \mathbf{C}(\mathbf{u}_1, \mathbf{u}_2) - D\mathbf{h}(\mathbf{u}_1) \cdot \mathbf{f}(\mathbf{u}_1; \mathbf{a}) = (\mathbf{A} - \mathbf{A}') \cdot \mathbf{e}$$

em ordem a  $\mathbf{C}(\mathbf{u}_1,\mathbf{u}_2)$  conduz a

$$\mathbf{C}(\mathbf{u}_1, \mathbf{u}_2) = (\mathbf{A} - \mathbf{A}') \cdot \mathbf{e} - \mathbf{A} \cdot [\mathbf{e} + \mathbf{h}(\mathbf{u}_1)] - \mathbf{B}(\mathbf{u}_2) + D\mathbf{h}(\mathbf{u}_1) \cdot \mathbf{f}(\mathbf{u}_1; \mathbf{a}).$$

Obtem-se então a expressão de  $\mathbf{C}(\mathbf{u}_1, \mathbf{u}_2)$  como

(2.22) 
$$\mathbf{C}(\mathbf{u}_1, \mathbf{u}_2) = -\mathbf{A}' \cdot \mathbf{e} - \mathbf{A} \cdot \mathbf{h}(\mathbf{u}_1) - \mathbf{B}(\mathbf{u}_2) + D\mathbf{h}(\mathbf{u}_1) \cdot \mathbf{f}(\mathbf{u}_1; \mathbf{a})$$

em termos da função de sincronização generalizada h considerada.

Considere a função de Lyapunov  $L(\mathbf{e}(t)) = [\mathbf{e}(t)]^T \cdot \mathbf{e}(t)$ . A derivada em ordem a t,

$$\frac{dL}{dt}(\mathbf{e}) = \frac{d(\mathbf{e}^T)}{dt} \cdot \mathbf{e} + \mathbf{e}^T \cdot \frac{d\mathbf{e}}{dt} = \left[ (\mathbf{A} - \mathbf{A}') \cdot \mathbf{e} \right]^T \cdot \mathbf{e} + \mathbf{e}^T \cdot (\mathbf{A} - \mathbf{A}') \cdot \mathbf{e},$$

admite a simplificação

$$\dot{L}\left(\mathbf{e}\right) = \mathbf{e}^{T} \cdot \left(\mathbf{A} - \mathbf{A}'\right)^{T} \cdot \mathbf{e} + \mathbf{e}^{T} \cdot \left(\mathbf{A} - \mathbf{A}'\right) \cdot \mathbf{e} = \mathbf{e}^{T} \cdot \left[\left(\mathbf{A} - \mathbf{A}'\right)^{T} + \mathbf{A} - \mathbf{A}'\right] \cdot \mathbf{e}.$$

Tem-se  $\dot{L}(\mathbf{e}) < \mathbf{0}$  sempre que a matriz  $(\mathbf{A} - \mathbf{A}')^T + \mathbf{A} - \mathbf{A}'$  seja definida negativa. Pelo método directo de Lyapunov, o sistema tranversal (2.21) tem um ponto de equilíbrio assimptoticamente estável na origem. Conclui-se então que a função de controle  $\mathbf{C}(\mathbf{u}_1, \mathbf{u}_2)$  definida por (2.22) garante sincronização generalizada no sistema ligado (2.20) relativamente à função  $\mathbf{h}$  se a matriz  $(\mathbf{A} - \mathbf{A}')^T + \mathbf{A} - \mathbf{A}'$  for definida negativa.

A matriz  $\mathbf{A}$  é única a partir das equações do sistema resposta e, para qualquer caso, basta determinar uma matriz  $\mathbf{A}'$  de modo que  $\mathbf{A} - \mathbf{A}'$  seja diagonal e com todos os elementos diagonais negativos. A obtenção de uma tal matriz  $\mathbf{A} - \mathbf{A}'$  caracterizando (2.21) garante que  $\mathbf{e} \to \mathbf{0}$  quando  $t \to +\infty$ .

# 2.3 Estudo de caso

# 2.3.1 Análise de sincronização no sistema não-linear de Lorenz

Considere o sistema de Lorenz

$$\dot{x} = \sigma (y - x) \quad \wedge \quad \dot{y} = x (\alpha - z) - y \quad \wedge \quad \dot{z} = xy - \beta z$$

nas variáveis dinâmicas  $x, y, z \in \mathbb{R}$  e de parâmetros reais positivos  $\sigma$ ,  $\alpha$  e  $\beta$ . Este sistema não-linear de equações diferenciais ordinárias, em que  $\sigma$  é o número de Prandtl,  $\alpha$  é o número de Rayleigh e  $\beta$  é um factor geométrico, descreve o fluxo de um fluido numa caixa aquecida ao longo da base.

Em 1963, numa pesquisa que tinha como principal objectivo melhorar a previsão climática, o meteorologista e matemático Edward Lorenz [42] introduziu este sistema como um modelo aproximado do fluxo de fluidos da atmosfera. Verificou que, para uma ampla variação de parâmetros, as soluções do sistema permanecem numa região limitada do espaço de fase mas oscilam de forma irregular e aperiódica. Lorenz detectou comportamento dinâmico pouco comum quando  $\sigma = 10$ ,  $\alpha = 28$  e  $\beta = 8/3$ . Iniciando simulações computacionais a partir de condições iniciais ligeiramente diferentes, detectou a dependência sensível do sistema às condições iniciais, uma das principais propriedades do comportamento caótico. A Figura 2.1, apresenta o atractor caótico de Lorenz para os valores paramétricos referidos e as condições iniciais  $(x_0, y_0, z_0) = (10, 20, 30)$ .

Cada solução ou é simétrica ou tem uma correspondente simétrica. Uma solução que inicie no z-eixo permanece nele e tende para a origem. O sistema de Lorenz é dissipativo. A propriedade de contracção de volume impõe fortes limitações às possíveis soluções do sistema: impossibilita a existência de soluções quaseperiódicas e de pontos de equilíbrio ou órbitas fechadas repulsores.

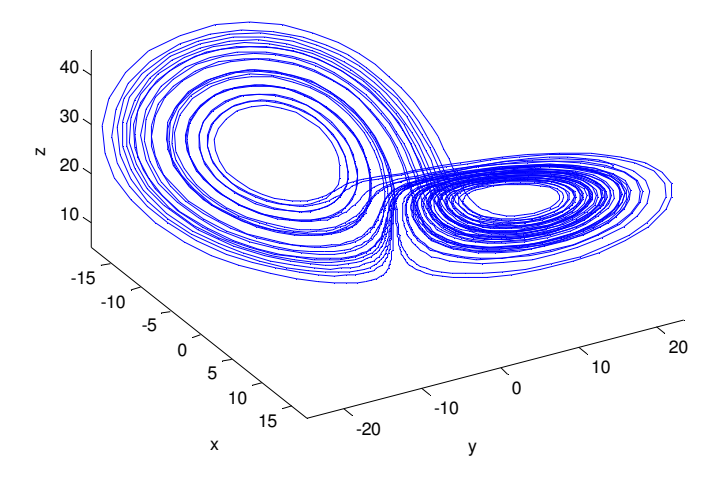


Figura 2.1: Atractor caótico de Lorenz

O sistema de Lorenz tem O=(0,0,0) como ponto de equilíbrio para todos os valores paramétricos. No que segue consideram-se fixados  $\sigma=10$  e  $\beta=8/3$  e o parâmetro  $\alpha$  a variar.

Se  $\alpha < 1$  a origem é um ponto de equilíbrio localmente estável, um nodo, pois todos os valores próprios da matriz Jacobiana do sistema têm parte real negativa. Além disso, a função de Lyapunov

$$L(x, y, z) = \frac{1}{\sigma}x^2 + y^2 + z^2$$

permite concluir que a origem é globalmente estável.

Quando  $\alpha = 1$ , um valor próprio torna-se positivo enquanto os restantes são negativos. Para  $\alpha = 28$  a origem tem uma variedade estável  $W^s(0,0,0)$  bidimensional e uma variedade instável  $W^u(0,0,0)$  unidimensional. Em simultâneo com a perda de estabilidade da origem, surgem dois novos pontos de equilíbrio simétricos

$$P_{\pm} = \left(\pm\sqrt{\frac{8}{3}(\alpha - 1)}, \pm\sqrt{\frac{8}{3}(\alpha - 1)}, \alpha - 1\right)$$

indicando que esta sofre uma bifurcação forquilha no ponto de bifurcação  $\alpha_0=1.$ 

Para valores de  $\alpha > \alpha_0$  próximos de  $\alpha_0$ ,  $P_+$  e  $P_-$  são localmente estáveis. Continuando a aumentar o valor de  $\alpha$ , as trajectórias aproximam-se de  $P_+$  e  $P_-$  movimentando-se em espiral em torno de cada um. Neste regime, a dinâmica do sistema não apresenta nem

um atractor caótico nem sequer transição para caos. Quando  $\alpha \simeq 13.96$ , a trajectória que se afasta da origem, ao longo da sua variedade instável, volta à origem. Ocorre a ligação da variedade instável  $W^u(0,0,0)$  com a variedade estável  $W^s(0,0,0)$  formando um arco homoclínico. Pela simetria, se um ramo forma um arco homoclínico para um valor paramétrico então o outro ramo também forma um arco homoclínico. A variedade instável  $W^u(0,0,0)$  está na variedade estável  $W^s(0,0,0)$ .

Conforme provado por Kaplan e Yorke [33], inicia-se o regime caótico quando  $\alpha$  atinge o valor 13.96. No entanto, é ainda a transição para caos pois  $P_+$  e  $P_-$  continuam a ser os únicos atractores do sistema.

Esta transição para caos apenas deixa de ocorrer, dando lugar ao atractor caótico encontrado por Lorenz, quando  $\alpha=470/19\simeq 24.06$  por existirem bifurcações associadas aos pontos de equilíbrio  $P_+$  e  $P_-$ .

Este padrão repete-se para sempre com um número de voltas em torno de um equilíbrio antes de se desviar aparecendo variar de uma forma errática. Ao mesmo tempo, as trajectórias estão confinadas a um conjunto limitado de volume nulo, ainda conseguindo mover-se nesse conjunto para sempre sem se intersectarem a si próprias ou entre si. Deste modo o atractor caótico de Lorenz revela-se um conjunto limitado atractor de volume nulo.

Para a maioria dos valores de  $\alpha$  entre 28 e 313 existe comportamento caótico mas também existem pequenas janelas de comportamento periódico intercaladas. As três maiores janelas ocorrem para 99.524...  $< \alpha < 100.795, 145 < \alpha < 166$  e  $\alpha > 214.4$ .

Caso L1. Sejam  $S_1$  e  $S_2$  dois sistemas de Lorenz idênticos e caóticos para os parâmetros de controle  $\sigma = 10$ ,  $\alpha = 28$  e  $\beta = 2$ .(6). A ligação unidireccional por substituição completa, transmitindo a componente  $x_1$  como sinal condutor do transporte para a resposta, conduz ao sistema ligado

$$\begin{cases} \dot{x}_1 = 10 (y_1 - x_1) \\ \dot{y}_1 = 28x_1 - x_1 z_1 - y_1 \\ \dot{z}_1 = x_1 y_1 - 2.(6) z_1 \end{cases} \land \begin{cases} x_2 = x_1 \\ \dot{y}_2 = 28 \underline{x_1} - \underline{x_1} z_2 - y_2 \\ \dot{z}_2 = x_1 \underline{y_2} - \overline{2.(6)} z_2 \end{cases},$$

onde foi eliminada a equação  $\dot{x}_1 = 10 (y_1 - x_1)$  por ser superflua.

Considere a função

$$\mathbf{h}(x_1, y_2, z_2) = (f_2, f_3)(x_1, y_2, z_2) = (-x_1z_2 + 28x_1 - y_2, x_1y_2 - 2.(6)z_2),$$

que caracteriza o subsistema resposta  $(y_2(t), z_2(t))$ . A equação linearizada (2.10) que

define o sistema transversal corresponde a

$$\left[ \begin{array}{c} \dot{e}_y \\ \dot{e}_z \end{array} \right] \approx D_{(y_2,z_2)} \mathbf{h} \cdot \left[ \begin{array}{c} e_y \\ e_z \end{array} \right] = \left[ \begin{array}{cc} -1 & -x_1 \\ x_1 & -2.(6) \end{array} \right] \cdot \left[ \begin{array}{c} e_y \\ e_z \end{array} \right],$$

para diferenças  $e_y$  e  $e_z$  suficientemente pequenas. As soluções do sistema transversal

$$\begin{cases} \dot{e}_y = -e_y - x_1 e_z \\ \dot{e}_z = x_1 e_y - 2.(6) e_z \end{cases}$$

indicam sobre a estabilidade assimptótica do sistema ligado. O cálculo dos valores próprios da matriz Jacobiana  $D_{(y_2,z_2)}\mathbf{h}$  conduz a

$$\Lambda_{1,2} = -\frac{11}{6} \pm \frac{1}{2} \sqrt{\frac{25}{9} - 4x_1^2}.$$

Dado que ambos são negativos para  $x_1 \in [-5/6, 5/6]$ , está garantida, pelo critério (i), a sincronização estável.

Para estudo do sinal dos expoentes de Lyapunov condicionados há que considerar novas variáveis no sistema ligado. Seja  $\mathbf{V}(t)$  a variável

$$(V_1, V_2, V_3) = \frac{1}{2} (x_1 - x_2, y_1 - y_2, z_1 - z_2),$$

que descreve a evolução de pequenas perturbações transversais à variedade de sincronização  $\mathcal{M}$ , e  $\mathbf{U}(t)$  a variável

$$(U_1, U_2, U_3) = \frac{1}{2} (x_1 + x_2, y_1 + y_2, z_1 + z_2),$$

que descreve a evolução nessa variedade invariante ou próximo dela. Atendendo a que  $x_1 = U_1 - V_1$ ,  $x_2 = U_1 + V_1$ ,  $y_1 = U_2 - V_2$ ,  $y_2 = U_2 + V_2$ ,  $z_1 = U_3 - V_3$  e  $z_2 = U_3 + V_3$ , o sistema ligado pode ser reescrito nas novas variáveis  $\mathbf{U}$  e  $\mathbf{V}$  como

(2.23) 
$$\begin{cases} \dot{U}_1 = 10 \left( U_2 - V_2 - U_1 \right) \\ \dot{V}_2 = -U_1 V_3 - V_2 \\ \dot{V}_3 = U_1 V_2 - 2.(6) V_3 \end{cases} \wedge \begin{cases} V_1 = 0 \\ \dot{U}_2 = 28 U_1 - U_1 U_3 - U_2 \\ \dot{U}_3 = U_1 U_2 - 2.(6) U_3 \end{cases}.$$

A Figura 2.2 mostra o espectro de expoentes de Lyapunov do sistema (2.23). Pode considerar-se a divisão em dois subconjuntos:  $\boldsymbol{\lambda}^{\parallel} = \left\{\lambda_{1}^{\parallel}, \lambda_{2}^{\parallel}, \lambda_{3}^{\parallel}\right\}$  dos expoentes de Lyapunov tangenciais e  $\boldsymbol{\lambda}^{\perp} = \left\{\lambda_{1}^{\perp}, \lambda_{2}^{\perp}\right\}$  dos expoentes de Lyapunov transversais associados à evolução de  $\mathbf{V}(t)$ . Pelo critério (iii), se o maior expoente de Lyapunov transversal  $\lambda_{\max}^{\perp}$  é negativo, então qualquer perturbação transversal à variedade  $\mathcal{M}$  é amortecida e o estado sincrónico  $\mathbf{u}_{1} = \mathbf{u}_{2}$  é estável.

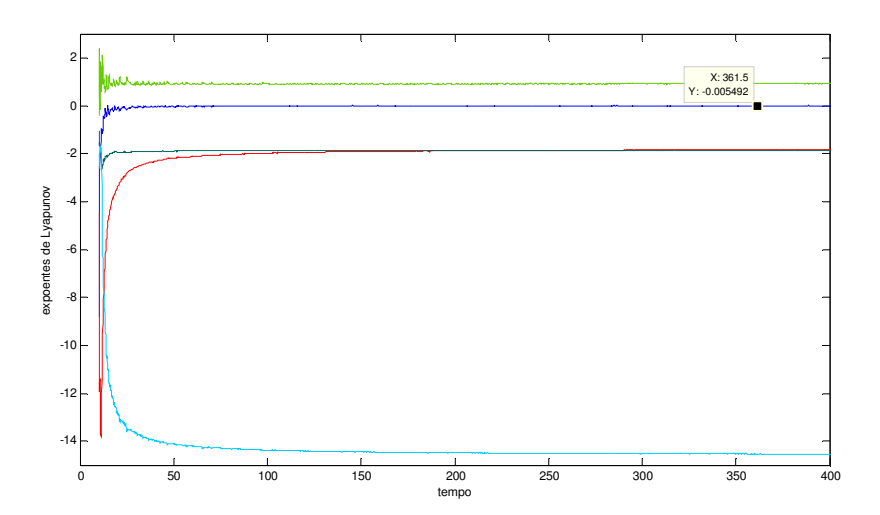


Figura 2.2: Espectro dos expoentes de Lyapunov do sistema ligado: tangenciais e condicionados

Com vista ao estudo da estabilidade global, considere a função de Lyapunov  $L(\mathbf{e}) = (e_y^2 + e_z^2)/2$  que verifica  $L(\mathbf{e}) > 0$  se  $\mathbf{e} \neq \mathbf{0}$  e  $L(\mathbf{0}) = 0$  [20]. Substituindo as expressões de  $\dot{e}_y$  e  $\dot{e}_z$  na derivada de L em ordem a t,  $\dot{L}(\mathbf{e}) = e_y \dot{e}_y + e_z \dot{e}_z$ , obtem-se

$$\dot{L}(\mathbf{e}) = e_y \left( -e_y - x_1 e_z \right) + e_z \left( x_1 e_y - 2.(6) e_z \right) = -\left( e_y^2 + 2.(6) e_z^2 \right) \le 0.$$

Como  $\dot{L}(\mathbf{e})$  é negativa excepto em  $\mathbf{e} = \mathbf{0}$ , o método directo de Lyapunov garante que a origem é globalmente assimptoticamente estável para o sistema transversal.

Caso L2. Considere dois sistemas de Lorenz idênticos para valores paramétricos  $\sigma$ ,  $\alpha$  e  $\beta$  que conduzam a comportamento caótico. Liguem-se os dois sistemas através da variável condutora  $x_1$  por adição do sinal de controle  $\rho$  ( $x_1 - x_2$ ), com  $\rho > 0$ , aplicado como feedback negativo deslocado à segunda equação do sistema resposta. Além disso é introduzida a substituição parcial em que a variável  $x_1$  dá lugar à sua correspondente  $x_2$  apenas nos termos não-lineares  $x_2z_2$  e  $x_2y_2$  do sistema resposta.

Inicie-se o sistema ligado

(2.24) 
$$\begin{cases} \dot{x}_1 = \sigma(y_1 - x_1) \\ \dot{y}_1 = \alpha x_1 - x_1 z_1 - y_1 \\ \dot{z}_1 = x_1 y_1 - \beta z_1 \end{cases} \wedge \begin{cases} \dot{x}_2 = \sigma(y_2 - x_2) \\ \dot{y}_2 = \alpha x_2 - \underline{x_1} z_2 - y_2 + \rho(x_1 - x_2) \\ \dot{z}_2 = \underline{x_1} y_2 - \beta z_2 \end{cases}$$

a partir de condições iniciais arbitrárias tais que  $x_1(0) \neq x_2(0)$ ,  $y_1(0) \neq y_2(0)$  e  $z_1(0) \neq z_2(0)$ . Existe sincronização idêntica se a evolução do sistema ligado (2.24) está continuamente confinada a um hiperplano  $\mathcal{M}$  no espaço de fase. Além das coordenadas  $e_x = x_2 - x_1$ ,  $e_y = y_2 - y_1$  e  $e_z = z_2 - z_1$  do erro de sincronização **e**, considere

$$e'_x = x_2 + x_1$$
,  $e'_y = y_2 + y_1$  e  $e'_z = z_2 + z_1$ .

Obtem-se um novo conjunto de coordenadas:  $e'_x$ ,  $e'_y$  e  $e'_z$  em  $\mathcal{M}$  e  $e_x$ ,  $e_y$  e  $e_z$  no subespaço transversal a  $\mathcal{M}$ . Para que  $e_x$ ,  $e_y$  e  $e_z$  tendam para 0 quando  $t \to +\infty$ , o ponto (0,0,0) no espaço transversal a  $\mathcal{M}$  deve ser um ponto de equilíbrio assimptoticamente estável nesse espaço. Isto conduz a requerer que o sistema dinâmico em  $(e_x, e_y, e_z)$  definindo as perturbações transversais seja assimptoticamente estável no ponto de equilíbrio (0,0,0).

Considere a função

$$\mathbf{\breve{f}} = (\sigma(y_2 - x_2), \alpha x_2 - x_1 z_2 - y_2 + \rho(x_1 - x_2), x_1 y_2 - \beta z_2)$$

obtida da resposta em (2.24). Para qualquer valor de  $\rho$ , a equação linearizada que define a dinâmica de perturbações transversais a  $\mathcal{M}$  é dada por

$$\begin{bmatrix} \dot{e}_x \\ \dot{e}_y \\ \dot{e}_z \end{bmatrix} \approx D_{(x_2, y_2, z_2)} \check{\mathbf{f}} \cdot \begin{bmatrix} e_x \\ e_y \\ e_z \end{bmatrix} = \begin{bmatrix} -\sigma & \sigma & 0 \\ \alpha - \rho & -1 & -x_1 \\ 0 & x_1 & -\beta \end{bmatrix} \cdot \begin{bmatrix} e_x \\ e_y \\ e_z \end{bmatrix}.$$

Pelo estudo dos valores próprios da matriz Jacobiana  $D_{(x_2,y_2,z_2)}\check{\mathbf{f}}$ , conclui-se que é obtida sincronização localmente estável se  $\rho_{sync}=\alpha-1$ .

Tomando os parâmetros de controle  $\sigma=10$ ,  $\alpha=28$  e  $\beta=2.(6)$  e a força de ligação  $\rho=27.1$ , verifica-se que  $x_2\to x_1,\ y_2\to y_1$  e  $z_2\to z_1$  quando os sistemas evoluem (Fig. 2.3a). Ao fim de um certo tempo, as coordenadas  $x,\ y$  e z de cada um dos sistemas verificam as igualdades  $x_2=x_1,\ y_2=y_1$  e  $z_2=z_1$  (Fig. 2.3b) Como tal, as distâncias  $|x_2-x_1|,\ |y_2-y_1|$  e  $|z_2-z_1|$  tendem para 0 ao longo do tempo (Fig. 2.3c). As equações  $x_2=x_1,\ y_2=y_1$  e  $z_2=z_1$  definem um hiperplano  $\mathcal M$  no espaço de fase de dimensão 6.

Por aplicação do critério (ii), obtem-se que o limiar  $\tilde{\rho}_{sync}$  de sincronização globalmente estável é superior ao obtido para estabilidade local,

$$\tilde{\rho}_{sunc} = \alpha + \sigma > \alpha - 1,$$

conduzindo, portanto, a um intervalo de valores de  $\rho$  mais restrictivo. Considere a função de Lyapunov  $L(\mathbf{e}) = \left(e_x^2 + e_y^2 + e_z^2\right)/2$  que verifica  $L(\mathbf{e}) > 0$  se  $\mathbf{e} \neq \mathbf{0}$  e  $L(\mathbf{0}) = 0$  para

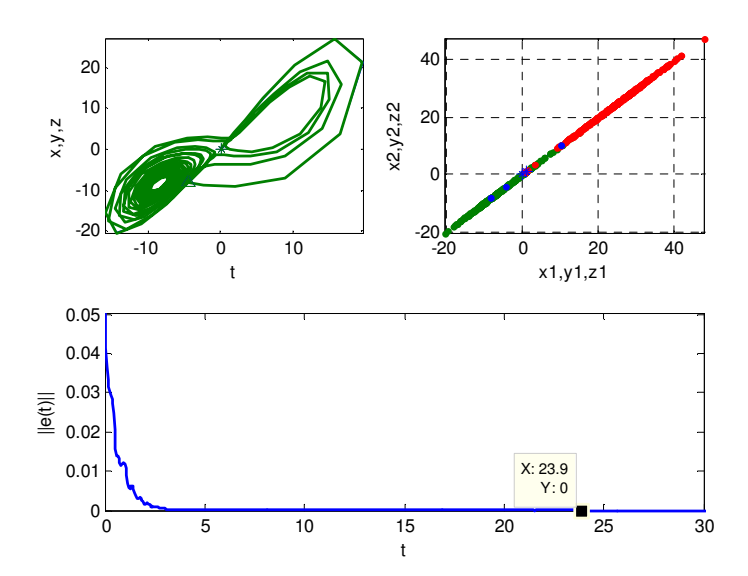


Figura 2.3: (a) Atractor do sistema ligado; (b) Variedade de sincronização; (c) Evolução do erro de sincronização

todo o  $\rho > 0$ . Determine-se a força de ligação  $\rho$  tal que a derivada de L satisfaça  $\dot{L}(\mathbf{e}) < 0$  se  $\mathbf{e} \neq \mathbf{0}$  e  $\dot{L}(\mathbf{0}) = 0$ . Substituindo as expressões de  $\dot{e}_x$ ,  $\dot{e}_y$  e  $\dot{e}_z$  em

$$\dot{L}(\mathbf{e}) = e_x \dot{e}_x + e_y \dot{e}_y + e_z \dot{e}_z$$

e simplificando, a derivada de L pode ser escrita como

$$\dot{L}(\mathbf{e}) = -\sigma e_x^2 - e_y^2 - \beta e_z^2 + (\sigma + \alpha - \rho) e_x e_y$$

$$\leq -\sigma e_x^2 - e_y^2 - \beta e_z^2 + (\sigma + \alpha - \rho) |e_x e_y|.$$

Escolhendo uma força de ligação que satisfaça  $\tilde{\rho} > \alpha + \sigma$  estão garantidas as condições exigidas pelo método directo de Lyapunov. Logo é alcançada sincronização globalmente estável no sistema ligado para uma força de ligação  $\tilde{\rho} = \tilde{\rho}(\sigma, \alpha)$  que não depende do parâmetro de controle  $\beta$  tomado.

Tomando os mesmos valores para os parâmetros de controle, seguem-se os gráficos (Fig. 2.4 a,b,c) obtidos para a força de ligação  $\rho=38.1$ . Verifica-se que o tempo  $t_{sync}$  para  $\rho=38.1$  é inferior ao obtido para  $\rho=27.1<38.1$ .

A Tabela 2.2 apresenta as condições suficientes para sincronização globalmente estável

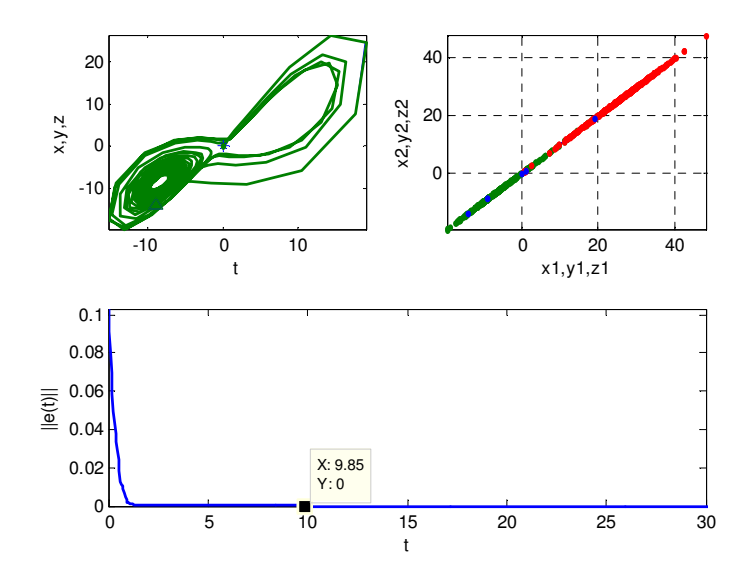


Figura 2.4: (a) Atractor do sistema ligado; (b) Variedade de sincronização; (c) Evolução do erro de sincronização

obtidas no estudo de outros casos semelhantes (ver L7, L8 e L9 no Anexo 2a).

Desloc.	Substit.	Condição suficiente para sincronização
à $2^a$ eq.		$\beta \left(\xi + K_z\right)^2 < 4\sigma\beta - K_y^2$
à $2^a$ eq.	na $3^a$ eq.	$\beta \left(\xi + K_z\right)^2 < 4\sigma\beta - \sigma K^2$
à $3^a$ eq.	na $2^a$ eq.	$\xi^2 < 4\sigma \wedge \beta \xi^2 < 4\sigma\beta - KK_y\xi + K_y^2 + \sigma K^2$

Tabela 2.2: Ligações unidireccionais por feedback negativo deslocado.

Foi aplicado o sinal de controle  $\rho\left(x_1-x_2\right)$  deslocado e, em alguns casos, foi efectuada a substituição parcial da variável  $x_1$  pela sua correspondente  $x_2$  em alguns termos nãolineares da resposta. As constantes  $\xi$  e K representam as expressões  $\rho-\sigma-\alpha$  e  $K_x+K_x'$ , respectivamente.

Conforme o exposto no caso R6 (ver Anexo 2b) para atractores de Rössler caóticos idênticos, esta abordagem é inconclusiva quando é efectuada a adição do sinal de controle  $\rho(x_1 - x_2)$ ,  $\rho > 0$ , aplicado como feedback negativo deslocado à terceira equação da resposta e a substituição parcial simultânea da variável  $x_1$  pela sua correspondente  $x_2$  na mesma equação.

Caso L3. Considere entre sistemas de Lorenz idênticos e caóticos a ligação por decomposição activo-passivo

$$\begin{cases} \dot{x}_1 = -\sigma x_1 + \sigma y_1 \\ \dot{y}_1 = s(t) - y_1 \\ \dot{z}_1 = x_1 y_1 - \beta z_1 \end{cases} \land \begin{cases} \dot{x}_2 = -\sigma x_2 + \sigma y_2 \\ \dot{y}_2 = s(t) - y_2 \\ \dot{z}_2 = x_2 y_2 - \beta z_2 \end{cases}$$

com uso do sinal condutor  $s = h(x_1, y_1, z_1) = x_1 (\alpha - z_1)$ .

A equação linearizada que define a dinâmica de perturbações transversais é dada por

$$\begin{bmatrix} \dot{e}_x \\ \dot{e}_y \\ \dot{e}_z \end{bmatrix} \approx D_{(x_2, y_2, z_2)} \check{\mathbf{f}} \cdot \begin{bmatrix} e_x \\ e_y \\ e_z \end{bmatrix} = \begin{bmatrix} -\sigma & \sigma & 0 \\ 0 & -1 & 0 \\ y_2 & x_2 & -\beta \end{bmatrix} \cdot \begin{bmatrix} e_x \\ e_y \\ e_z \end{bmatrix},$$

onde  $\check{\mathbf{f}} = (f_1, f_2, f_3) = (-\sigma x_2 + \sigma y_2, s(t) - y_2, x_2 y_2 - \beta z_2)$  e as diferenças  $e_x$ ,  $e_y$  e  $e_z$  são consideradas suficientemente pequenas. Dado que todos os valores próprios  $\Lambda_1 = -\sigma$ ,  $\Lambda_2 = -1$  e  $\Lambda_3 = -\beta$  da matriz Jacobiana  $D_{(x_2,y_2,z_2)}\check{\mathbf{f}}$  são negativos, está garantida pelo critério (i) a sincronização estável dos sistemas (ver Fig. 2.5 a,b,c obtida com  $\sigma = 10$ ,  $\alpha = 28$  e  $\beta = 2.(6)$ ).

Na aplicação do critério (ii), nota-se que  $\dot{e}_y = -e_y$  donde  $e_y \to 0$  quando  $t \to +\infty$ . Portanto, o subsistema bidimensional que descreve a evolução de  $e_x = x_1 - x_2$  e  $e_z = z_1 - z_2$  pode, quando  $t \to +\infty$ , ser escrito apenas como

$$\begin{cases} \dot{e}_x = -\sigma e_x \\ \dot{e}_z = y_2 e_x - \beta e_z \end{cases}.$$

Considere  $L(e_x, e_z) = (e_x^2 + e_z^2)/2$  que verifica  $L(e_x, e_z) > 0$  sempre que  $(e_x, e_z) \neq (0, 0)$  e L(0, 0) = 0. Substituindo as expressões de  $\dot{e}_x$  e  $\dot{e}_z$  na derivada  $\dot{L}(e_x, e_z) = e_x \dot{e}_x + e_z \dot{e}_z$  obtem-se

$$\dot{L}(e_x, e_z) = -\sigma e_x^2 - y_2 e_x e_z - \beta e_z^2 \le -e_y^2 - \beta e_z^2 - y_2 |e_x e_z|.$$

Supondo que a função de variável real  $y_2$  é limitada, seja  $K_y$  uma constante positiva tal que  $|y_2| \leq K_y$ . Como tal é válida a desigualdade

$$\dot{L}(e_x, e_z) \le -e_y^2 - \beta e_z^2 - K_y |e_x e_z| \le 0,$$

logo, pelo método directo de Lyapunov, o erro de sincronização tende para 0 quando  $t \to +\infty$  e a sincronização é globalmente estável.

Pelo exposto, conclui-se ainda que ocorre sincronização globalmente estável para todos os tipos de sinal s(t) que conduzam à designaldade  $\dot{e}_y < 0$ . Nota-se que, para que o sistema

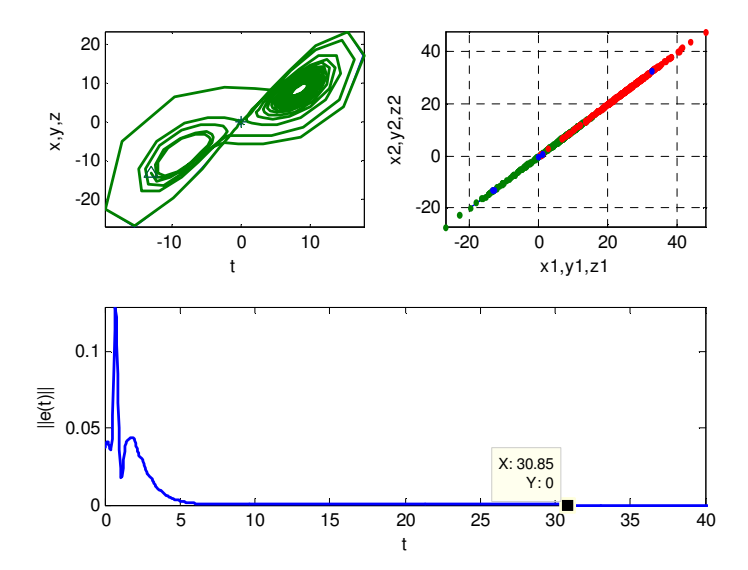


Figura 2.5: (a) Atractor do sistema ligado; (b) Variedade de sincronização; (c) Evolução do erro de sincronização

transversal seja assimptoticamente estável na origem, a matriz simétrica constante

$$\mathbf{P} = \left[ egin{array}{cc} 1 & rac{1}{2}K_y \ rac{1}{2}K_y & eta \end{array} 
ight]$$

associada à forma quadrática  $-\|\mathbf{e}\|^T \cdot \mathbf{P} \cdot \|\mathbf{e}\|$ , em que  $\|\mathbf{e}\| = (|e_y|, |e_z|)$ , deve ser definida positiva. Os determinantes  $\Delta_i$ , i = 1, 2, das submatrizes principais de  $\mathbf{P}$  são todos positivos se  $K_y^2 < 4\beta$ . Pelo método directo de Lyapunov, o erro de sincronização tende para 0 quando  $t \to +\infty$  sempre que a constante positiva  $K_y$  limitando a variável do sistema satisfaz a esta desigualdade, e os sistemas alcançam sincronização globalmente estável.

A Tabela 2.3 resume o estudo de ligações no atractor de Lorenz por decomposições activo-passivo com os sinais condutores  $s(t) = \sigma y_1(t)$ ,  $s(t) = \alpha x_1(t)$  e  $s(t) = -\beta z_1(t)$  (ver casos L10, L11 e L12 no Anexo 2a).

Sinal condutor	Condição suficiente				
$s(t) = \sigma y_1(t)$	$4\sigma > (K_z - \alpha)^2$	$\wedge$ $\beta$	$\left[4\sigma - (K_z - \alpha)^2\right]$	$> K_y^2$ .	
$s(t) = \alpha x_1(t)$	$(\sigma + K_z)^2 < 4\sigma$	$\wedge$ $\beta$	$4\sigma - (\sigma + K_z)^2$	$> K_y^2$	
$s(t) = -\beta z_1(t)$	inconclusivo				

Tabela 2.3: Ligações por decomposição activo-passivo.

Nota-se que a decomposição activo-passivo com uso do sinal  $s(t) = \sigma y_1(t)$  equivale à substituição de  $y_2$  por  $y_1$  mas apenas na primeira equação do sistema resposta, conforme o caso L13 apresentado no Anexo 2a. O mesmo se verifica para os sinais condutores  $s(t) = \alpha x_1(t)$  e  $s(t) = -\beta z_1(t)$  que correspondem, respectivamente, à substituição da variável  $x_2$  por  $x_1$  apenas na segunda equação da resposta e à substituição da variável  $z_2$  por  $z_1$  na terceira equação da resposta. Isto mostra que o critério de Pecora e Carroll está incluído na abordagem mais geral por decomposição activo-passivo.

Caso L4. Considere a seguinte proposição baseada na estabilidade assimptótica global do sistema transversal definido por (2.1).

Proposição 2.3.1 Seja  $\mathbf{A}$  a matriz que caracteriza o sistema transversal relativo a uma ligação dos sistemas idênticos  $S_1$  e  $S_2$ , ou seja,  $\dot{\mathbf{e}} = \mathbf{A} \cdot \mathbf{e}$  para  $\mathbf{e} = \mathbf{u}_2 - \mathbf{u}_1$ . Se existe uma constante  $\delta < 0$  tal que a matriz simétrica  $\mathbf{A}^T + \mathbf{A}$  é definida negativa e satisfaz

$$\mathbf{A}^T + \mathbf{A} \le \delta \mathbf{I}$$

para qualquer  $\mathbf{u}_1$  e  $\mathbf{u}_2$  no espaço de fase X então a dinâmica do sistema transversal é globalmente estável e os sistemas  $S_1$  e  $S_2$  estão em sincronização estável.

**Prova.** Considere a função de Lyapunov da forma  $L(\mathbf{e}(t)) = [\mathbf{e}(t)]^T \cdot \mathbf{e}(t)$  cuja derivada em ordem a t é dada por

$$\frac{dL}{dt}(\mathbf{e}) = \frac{d(\mathbf{e}^T)}{dt} \cdot \mathbf{e} + \mathbf{e}^T \cdot \frac{d\mathbf{e}}{dt} = \mathbf{e}^T \cdot \mathbf{A}^T \cdot \mathbf{e} + \mathbf{e}^T \cdot \mathbf{A} \cdot \mathbf{e}.$$

Tem-se então

$$\dot{L}(\mathbf{e}) = \mathbf{e}^{T} (\mathbf{A}^{T} + \mathbf{A}) \mathbf{e} \le \delta (\mathbf{e}^{T} \cdot \mathbf{I} \cdot \mathbf{e}) = \delta (\mathbf{e}^{T} \cdot \mathbf{e}) < 0$$

para todo o  $\mathbf{e} \neq \mathbf{0}$ . Pelo método directo de Lyapunov está garantida a estabilidade assimptótica global do sistema transversal  $\blacksquare$ 

Considere os sistemas de Lorenz idênticos e caóticos unidireccionalmente ligados por controle feedback negativo

$$\begin{cases} \dot{x}_1 = \sigma(y_1 - x_1) \\ \dot{y}_1 = \alpha x_1 - x_1 z_1 - y_1 \\ \dot{z}_1 = x_1 y_1 - \beta z_1 \end{cases} \wedge \begin{cases} \dot{x}_2 = \sigma(y_2 - x_2) + \rho(x_1 - x_2) \\ \dot{y}_2 = \alpha x_2 - \underline{x_1} z_2 - y_2 + \rho(y_1 - y_2) \\ \dot{z}_2 = \underline{x_1} y_2 - \beta z_2 + \rho(z_1 - z_2) \end{cases},$$

em que também se procedeu à substituição parcial da variável  $x_2$  por  $x_1$  apenas nos termos não-lineares  $x_2z_2$  e  $x_2y_2$  do sistema resposta. Seja  $\mathbf{f}$  a função obtida da resposta, de componentes  $\mathbf{f}_1 = \sigma(y_2 - x_2) + \rho(x_1 - x_2)$ ,  $\mathbf{f}_2 = \alpha x_2 - x_1 z_2 - y_2 + \rho(y_1 - y_2)$  e  $\mathbf{f}_3 = x_1y_2 - \beta z_2 + \rho(z_1 - z_2)$ . Considere as componentes  $e_x = x_2 - x_1$ ,  $e_y = y_2 - y_1$  e  $e_z = z_2 - z_1$  do erro de sincronização  $\mathbf{e}$ . Para qualquer valor de  $\rho$ , a equação linearizada que define a dinâmica de perturbações transversais à variedade de sincronização  $\mathcal{M}$  é dada por

$$\begin{bmatrix} \dot{e}_x \\ \dot{e}_y \\ \dot{e}_z \end{bmatrix} \approx D_{(x_2, y_2, z_2)} \breve{\mathbf{f}} \cdot \begin{bmatrix} e_x \\ e_y \\ e_z \end{bmatrix} = \begin{bmatrix} -\sigma - \rho & \sigma & 0 \\ \alpha & -1 - \rho & -x_1 \\ 0 & x_1 & -\beta - \rho \end{bmatrix} \cdot \begin{bmatrix} e_x \\ e_y \\ e_z \end{bmatrix}.$$

e pode tomar a forma matricial  $\dot{\mathbf{e}} = \mathbf{A}(x_1) \cdot \mathbf{e}$  com

$$\mathbf{A} = \begin{bmatrix} -\sigma - \rho & \sigma & 0 \\ \alpha & -1 - \rho & -x_1 \\ 0 & x_1 & -\beta - \rho \end{bmatrix}.$$

Os determinantes das submatrizes principais da matriz

$$\mathbf{A}^T + \mathbf{A} = \left[ egin{array}{ccc} -2\left(\sigma + 
ho
ight) & \sigma + lpha & 0 \ \sigma + lpha & -2\left(1 + 
ho
ight) & 0 \ 0 & 0 & -2\left(eta + 
ho
ight) \end{array} 
ight]$$

são 
$$\Delta_1 = -2 (\sigma + \rho), \, \Delta_2 = 4 (\sigma + \rho) (1 + \rho) - (\sigma + \alpha)^2$$
 e

$$\Delta_3 = \left[2(\sigma + \alpha)^2 - 8(\sigma + \rho)(1 + \rho)2(\sigma + \alpha)^2\right](\beta + \rho).$$

Tem-se  $-\Delta_1 > 0$  e a condição  $-\Delta_3 > 0$  é satisfeita sempre que  $\Delta_2 > 0$  (pois  $\beta + \rho > 0$ ). Conclui-se então pela Proposição 2.3.1 que ocorre sincronização globalmente estável para valores dos parâmetros de controle e de ligação que verifiquem a designaldade

$$4(\sigma + \rho)(1 + \rho) > (\sigma + \alpha)^{2}.$$

Tomando os parâmetros de controle  $\sigma=10,~\alpha=28$  e  $\beta=2.(6),$  seguem-se os gráficos (Fig. 2.6 a,b,c) obtidos para a força de ligação  $\rho=14.5$  (o menor valor de  $\rho$  em passo de uma décima que verifica a desigualdade anterior).

Esta abordagem é inconclusiva quando não é efectuada a substituição parcial da variável  $x_2$  por  $x_1$  nos termos não-lineares do sistema resposta (ver caso L14 do Anexo 2a).

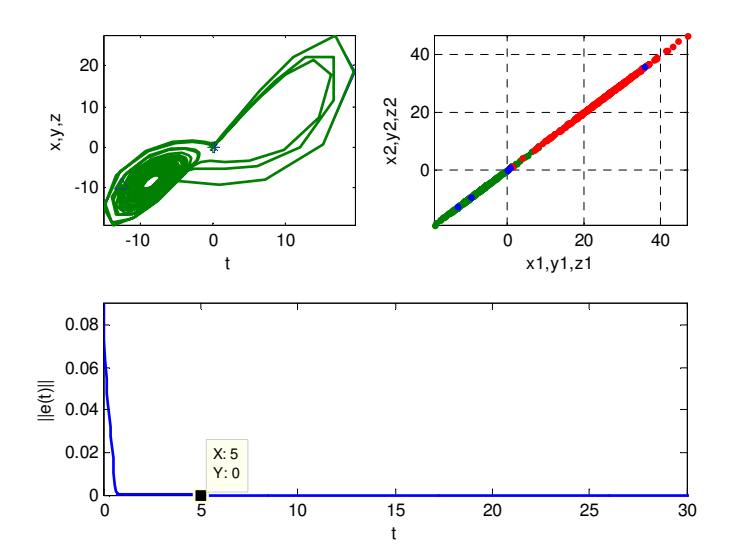


Figura 2.6: (a) Atractor do sistema ligado; (b) Variedade de sincronização; (c) Evolução do erro de sincronização

Caso L5. Considere dois sistemas de Lorenz idênticos e caóticos em ligação difusiva linear bidireccional com todos os pârametros de ligação iguais a  $\rho > 0$  (caso particular II)

$$\begin{cases} \dot{x}_1 = \sigma(y_1 - x_1) + \rho(x_2 - x_1) \\ \dot{y}_1 = \alpha x_1 - x_1 z_1 - y_1 + \rho(y_2 - y_1) \\ \dot{z}_1 = x_1 y_1 - \beta z_1 + \rho(z_2 - z_1) \end{cases} \wedge \begin{cases} \dot{x}_2 = \sigma(y_2 - x_2) + \rho(x_1 - x_2) \\ \dot{y}_2 = \alpha x_2 - \underline{x_1} z_2 - y_2 + \rho(y_1 - y_2) \\ \dot{z}_2 = x_1 y_2 - \beta z_2 + \rho(z_1 - z_2) \end{cases}$$

em que também se procedeu à substituição parcial da variável  $x_2$  por  $x_1$  apenas nos termos não-lineares da resposta. Dado o erro de sincronização  $\mathbf{e} = (e_x, e_y, e_z)$ , o sistema transversal é definido pelas equações

$$\begin{bmatrix} \dot{e}_x \\ \dot{e}_y \\ \dot{e}_z \end{bmatrix} = \begin{bmatrix} \dot{x}_2 - \dot{x}_1 \\ \dot{y}_2 - \dot{y}_1 \\ \dot{z}_2 - \dot{z}_1 \end{bmatrix} = \begin{bmatrix} \sigma\left(e_y - e_x\right) - 2\rho e_x \\ \alpha e_x - x_1 e_z - e_y - 2\rho e_y \\ x_1 e_y - \beta e_z - 2\rho e_z \end{bmatrix}$$

e pode tomar a forma matricial  $\dot{\mathbf{e}} = \mathbf{A}(x_1) \cdot \mathbf{e}$  com

$$\mathbf{A} = \begin{bmatrix} -2\rho - \sigma & \sigma & 0 \\ \alpha & -2\rho - 1 & -x_1 \\ 0 & x_1 & -2\rho - \beta \end{bmatrix}.$$

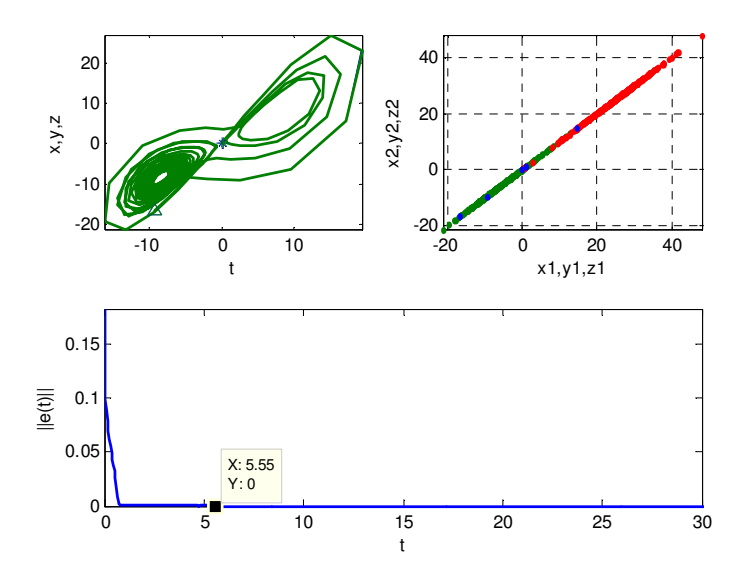


Figura 2.7: (a) Atractor do sistema ligado; (b) Variedade de sincronização; (c) Evolução do erro de sincronização

O cálculo dos determinantes das submatrizes principais da matriz

$$\mathbf{A}^T + \mathbf{A} = \begin{bmatrix} -2\left(2\rho + \sigma\right) & \sigma + \alpha & 0\\ \sigma + \alpha & -2\left(2\rho + 1\right) & 0\\ 0 & 0 & -2\left(2\rho + \beta\right) \end{bmatrix},$$

conduz a  $\Delta_1 = -2(2\rho + \sigma), \, \Delta_2 = 4(2\rho + \sigma)(2\rho + 1) - (\sigma + \alpha)^2$  e

$$\Delta_3 = -2 \left[ 4 \left( 2\rho + \sigma \right) \left( 2\rho + 1 \right) - \left( \sigma + \alpha \right)^2 \right] \left( 2\rho + \beta \right).$$

Tem-se  $-\Delta_1 > 0$  e a condição  $-\Delta_3 > 0$  é satisfeita sempre que  $\Delta_2 > 0$  (pois  $2\rho + \beta > 0$ ). Conclui-se então pela Proposição 2.3.1 que ocorre sincronização globalmente estável para valores dos parâmetros de controle e de ligação que verifiquem a designaldade

$$4(2\rho + \sigma)(2\rho + 1) > (\sigma + \alpha)^{2}.$$

A Figura 2.7 a,b,c mostra os gráficos obtidos tomando os valores paramétricos  $\sigma=10$ ,  $\alpha=28$  e  $\beta=8/3$  e  $\rho=7.1$ .

Esta abordagem é inconclusiva quando não é efectuada a substituição parcial da variável  $x_2$  por  $x_1$  nos termos não-lineares do sistema resposta (ver caso L15 do Anexo 2a).

Caso L6. Considere dois sistemas de Lorenz idênticos e caóticos unidireccionalmente ligados por transmissão de um sinal do primeiro para o segundo sistema. É escolhido como sinal a primeira componente do sistema transporte e, como tal, em todo o sistema resposta a coordenada  $x_2$  é substituida pela variável  $x_1$  do sistema transporte,

$$\begin{cases} \dot{x}_1 = \sigma (y_1 - x_1) \\ \dot{y}_1 = \alpha x_1 - x_1 z_1 - y_1 \\ \dot{z}_1 = x_1 y_1 - \beta z_1 \end{cases} \land \begin{cases} x_2 = x_1 \\ \dot{y}_2 = \alpha x_1 - x_1 z_2 - y_2 \\ \dot{z}_2 = x_1 y_2 - \beta z_2 \end{cases}.$$

Considere as componentes  $e_y=y_2-y_1$  e  $e_z=z_2-z_1$  do erro de sincronização **e**. Seja a função

$$\mathbf{h}(x_1, y_2, z_2) = (f_2, f_3)(x_1, y_2, z_2) = (\alpha x_1 - x_1 z_2 - y_2, x_1 y_2 - \beta z_2),$$

que caracteriza o subsistema resposta  $(y_2(t), z_2(t))$ . Para qualquer valor de  $\rho$ , a equação linearizada que define a dinâmica de perturbações transversais à variedade de sincronização  $\mathcal{M}$  é dada por

$$\begin{bmatrix} \dot{e}_y \\ \dot{e}_z \end{bmatrix} \approx D_{(y_2, z_2)} \mathbf{h} \cdot \begin{bmatrix} e_y \\ e_z \end{bmatrix} = \begin{bmatrix} -1 & -x_1 \\ x_1 & -\beta \end{bmatrix} \cdot \begin{bmatrix} e_y \\ e_z \end{bmatrix},$$

onde as diferenças  $e_y$  e  $e_z$  são consideradas suficientemente pequenas. O sistema transversal pode ser escrito na forma matricial  $\dot{\mathbf{e}} = \mathbf{A}(x_1) \cdot \mathbf{e}$  com

$$\mathbf{A} = \left[ \begin{array}{cc} -1 & -x_1 \\ x_1 & -\beta \end{array} \right].$$

Dado que os determinantes das submatrizes principais da matriz

$$\mathbf{A}^T + \mathbf{A} = \left[ egin{array}{cc} -2 & 0 \ 0 & -2eta \end{array} 
ight]$$

satisfazem as condições  $(-1)^i \Delta_i > 0$  para todo o i = 1, 2, então  $\mathbf{A}^T + \mathbf{A}$  é definida negativa. Pode então concluir-se que ocorre sincronização globalmente estável (Fig. 2.8 a,b,c).

Conforme o caso L16 apresentado no Anexo 2a, a Proposição 2.3.1 não é aplicável à ligação por substituição parcial de  $y_2$  por  $y_1$  na primeira equação da resposta, dado que  $\Delta_2 = 4\sigma - (\alpha - z_2)^2$  e

$$\Delta_3 = -2\beta \left[ 4\sigma - (\alpha - z_2)^2 \right] + 2(x_2 - x_1) \left[ y_1(\alpha - z_2) + \sigma(x_2 - x_1) \right] + 2y_1^2.$$

Seguem-se duas tabelas que resumem o estudo efectuado com outros tipos de ligação. Na Tabela 2.4 são apresentados os resultados relativos aos casos L17 (ver Anexo 2a), R7, R8

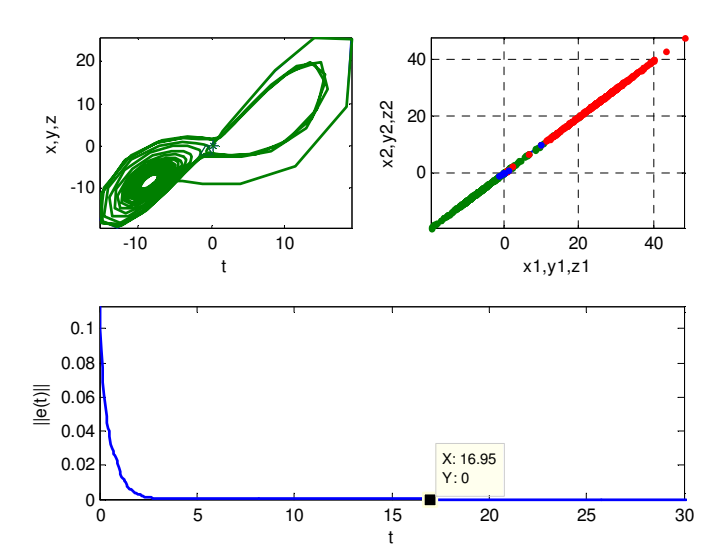


Figura 2.8: (a) Atractor do sistema ligado; (b) Variedade de sincronização; (c) Evolução do erro de sincronização

e R9 (ver Anexo 2b) em ligação por substituição completa, com diferentes subsistemas sinal condutor. Da Tabela 2.5 constam os resultados obtidos nos exemplos R10 e R11 (ver Anexo 2b) em ligação por controle feedback negativo, sem e com substitução de variáveis no termo não-linear da resposta. A constante  $\xi$  representa a expressão  $\rho_y - a$ .

Atractor	Ligação	$\Delta_1$	$oldsymbol{\Delta}_2$	Sincronização
Lorenz	$z_2 \rightarrow z_1$	$-2\sigma$	$4\sigma - (\sigma + a - z_1)^2$	não conclusivo
Rössler	$y_2 \rightarrow y_1$	0	$-z_1^2$	não conclusivo
Rössler	$x_2 \rightarrow x_1$	2a	$4a\left(x_{1}-c\right)$	não conclusivo
Rössler	$z_2 \rightarrow z_1$	0	0	não conclusivo

Tabela 2.4: Ligações por substituição completa de variáveis.

$\Delta_1$	$\Delta_2$	$oldsymbol{\Delta}_3$	Sincronização
$-2\rho_x$	$4\rho_x \xi$	$2\xi \left[ 4\rho_x (x_2 - c - \rho_z) + (z_2 - 1)^2 \right]$	não conclusivo
$-2\rho_x$	$4\rho_x \xi$	$2\xi \left[4\rho_x \left(x_1 - c - \rho_z\right) + 1\right]$	não conclusivo

Tabela 2.5: Controle feedback negativo no sistema de Rössler.

### 2.3.2 Análise de sincronização no sistema não-linear de Rössler

Em 1976, o matematico suiço Ott Rössler [74] descobriu um novo sistema de equações diferenciais ordinárias não-linear com atractor. Trata-se do sistema de Rössler

$$\dot{x} = -(y+z) \wedge \dot{y} = x + ay \wedge \dot{z} = b + z(x-c)$$

nas variáveis dinâmicas  $x, y, z \in \mathbb{R}$  e de parâmetros reais a, b e c, que tem um atractor caótico como solução, também designado por atractor de Rössler.

Considere z=0 e examine-se o comportamento no xy-plano com base nas equações simplificadas  $\dot{x}=-y$  e  $\dot{y}=x+ay$ . A estabilidade no xy-plano pode então ser encontrada pelo cálculo dos valores próprios

$$\Lambda_{\pm} = \left(a \pm \sqrt{a^2 - 4}\right)/2$$

da matriz Jacobiana do sistema formado por estas duas equações diferenciais. Assim, quando 0 < a < 2 os valores próprios são complexos conjugados com parte real positiva, pelo que a origem é instável com uma espiral para o exterior no xy-plano.

Seja agora  $z \neq 0$  e considerando esta variação para a. Desde que x seja menor do que c, o termo c mantem a órbita próximo de xy-plano. Quando a órbita se aproxima de x maiores do que c, os valores de z começam a subir mas o termo -z da equação  $\dot{x} = -y - z$  limita o crescimento em x. Uma órbita no atractor segue uma espiral para o exterior próximo do xy-plano em torno de um ponto de equilibrio instável mas, após suficiente subida, um segundo ponto de equilíbrio influencia o movimento causando um aumento e torção na z-dimensão. Torna-se aparente que embora cada variável esteja oscilando dentro de uma variação fixa de valores, as oscilações são caóticas.

O sistema de Rössler tem dois pontos de equilíbrio  $P_+$  e  $P_-$  dados por

$$P_{\pm} = \left(\frac{c \pm \sqrt{c^2 - 4ab}}{2}, -\frac{c \pm \sqrt{c^2 - 4ab}}{2a}, \frac{c \pm \sqrt{c^2 - 4ab}}{2a}\right).$$

O ponto de equilíbrio  $P_{-}$  está localizado no centro do atractor e é uma sela-foco com uma variedade instável bidimensional correspondente a uma espiral instável sobretudo no xy-plano, quando a trajectória se instala sobre um atractor caótico. A expressão de não-linearidade z(x-c) torna-se activa quando a trajectória deixa o xy-plano. Então a trajectória move-se para uma vizinhança do ponto de equilíbrio  $P_{+}$  exterior à região do atractor, também uma sela-foco. O ponto de equilíbrio  $P_{+}$  tem uma variedade instável unidimensional que envia a trajectória ao longo da variedade estável unidimensional de

 $P_{-}$ . Pode então ocorrer um novo ciclo. Com valores paramétricos apropriados a trajectória descreve assim um atractor caótico.

Conforme a descrição topológica em [40], não existe um único sistema de Rössler mas uma colecção completa de conjuntos diferentes de equações diferenciais ordinárias com topologias diferentes. Fixando dois dos parâmetros, é possível averiguar a existência de bifurcações quando o outro parâmetro varia. Contudo os comportamentos induzidos pela variação de um parâmetro são substancialmente diferentes conforme o parâmetro escolhido para variar.

Considere a=b=0.2. Em c=2.5 o atractor é um ciclo limite. Quando c aumenta para 3.5, o ciclo limite dá duas voltas antes de fechar e o seu período é aproximadamente o dobro do do ciclo original. De facto, entre c=2.5 e c=3.5 deve ocorrer uma bifurcação de duplicação de período de ciclos, apenas possível em dimensão 3 ou superior. Uma outra bifurcação de duplicação de período cria um ciclo de quatro voltas que já existe quando c=4. Após uma cascata infinita de duplicações de período, existe um atractor estranho quando c=5.

Por outro lado, estudos numéricos do comportamento do sistema sob mudanças de a sugerem que tem uma influência desproporcional sobre o comportamento do atractor. Quando são fixados b=2 e c=4, existe (quase) uma correspondência unívoca entre o diagrama de bifurcação do sistema de Rössler com  $a \in [0.126, 0.43295]$  e o da aplicação logística  $f(x; \mu) = \mu x (1-x)$  com  $\mu \in [1,4]$ . Assim, surge comportamento caótico após uma cascata de duplicação de período como na aplicação logística.

Rössler estudou o atractor caótico com os valores paramétricos a=b=0.2 e c=5.7 (Fig. 2.9), embora posteriormente se tenham averiguado as propriedades para a=b=0.1 e c=14. Screw chaos ocorre quando os valores paramétricos são  $a=0.343,\ b=1.82$  e c=9.75. Rössler queria encontrar um sistema mínimal que exibisse comportamento caótico.

Caso R1. Sejam  $S_1$  e  $S_2$  dois sistemas de Rössler idênticos e caóticos para os parâmetros de controle a = b = 0.2 e c = 5. A ligação unidireccional por controle feedback negativo, onde a variável  $x_1$  é escolhida como variável condutora do transporte para a resposta, conduz ao sistema ligado

$$\begin{cases} \dot{x}_1 = -\left(y_1 + z_1\right) \\ \dot{y}_1 = x_1 + 0.2y_1 \\ \dot{z}_1 = 0.2 + z_1 \left(x_1 - 5\right) \end{cases} \land \begin{cases} \dot{x}_2 = -\left(y_2 + z_2\right) + \rho \left(x_1 - x_2\right) \\ \dot{y}_2 = x_2 + 0.2y_2 \\ \dot{z}_2 = 0.2 + z_2 \left(x_2 - 5\right) \end{cases}.$$

Considere as componentes  $e_x = x_2 - x_1$ ,  $e_y = y_2 - y_1$  e  $e_z = z_2 - z_1$  do erro de

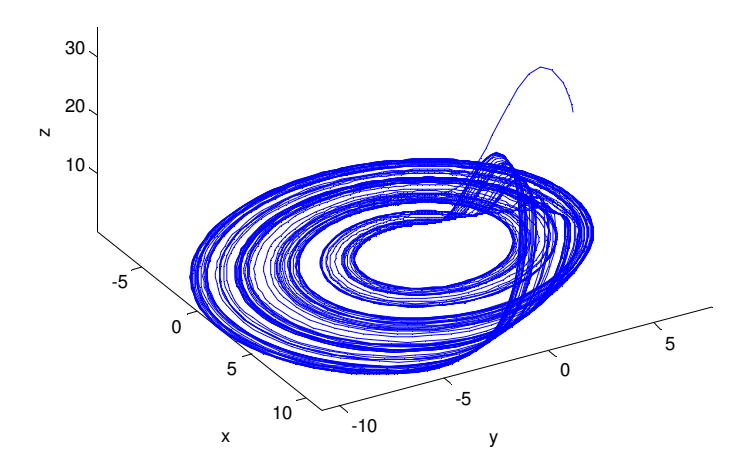


Figura 2.9: Atractor caótico de Rössler

sincronização e. Para qualquer valor de  $\rho$ , a equação linearizada que define a dinâmica de perturbações transversais à variedade de sincronização  $\mathcal M$  é dada por

$$\begin{bmatrix} \dot{e}_x \\ \dot{e}_y \\ \dot{e}_z \end{bmatrix} \approx D_{(x_2, y_2, z_2)} \check{\mathbf{f}} \cdot \begin{bmatrix} e_x \\ e_y \\ e_z \end{bmatrix} = \begin{bmatrix} -\rho & -1 & -1 \\ 1 & 0.2 & 0 \\ z_2 & 0 & x_2 - 5 \end{bmatrix} \cdot \begin{bmatrix} e_x \\ e_y \\ e_z \end{bmatrix},$$

onde

$$\mathbf{\check{f}} = (-y_2 - z_2 + \rho(x_1 - x_2), x_2 + 0.2y_2, 0.2 + z_2(x_2 - 5))$$

é obtida da resposta. A matriz Jacobiana  $D_{(x_2,y_2,z_2)}$ **ř** depende da força de ligação correspondente ao sinal de controle  $\rho(x_1-x_2)$  na primeira equação do transporte. Pelo critério (i), está garantida a sincronização estável se a matriz  $D_{(x_2,y_2,z_2)}$ **ř** for definida negativa, ou seja, se

$$\rho < 5 \quad \land \quad x_2 + 0.2z_2 < \frac{5\rho + 30}{\rho + 5}.$$

Inicie-se o sistema ligado a partir de condições iniciais próximas tais que  $x_1(0) \neq x_2(0)$ ,  $y_1(0) \neq y_2(0)$  e  $z_1(0) \neq z_2(0)$ . Quando os sistemas evoluem ligados pelo sinal de controle  $\rho(x_1 - x_2) = 0.4(x_1 - x_2)$ , cada componente  $x_1$ ,  $y_1$  e  $z_1$  converge para a sua correspondente  $x_2$ ,  $y_2$  e  $z_2$  (Fig. 2.10a) e, ao fim de um certo tempo  $t_{sync} \simeq 51.7$ , as componentes de cada um dos sistemas verificam  $x_1 = x_2$ ,  $y_1 = y_2$  e  $z_1 = z_2$  (Fig. 2.10b).

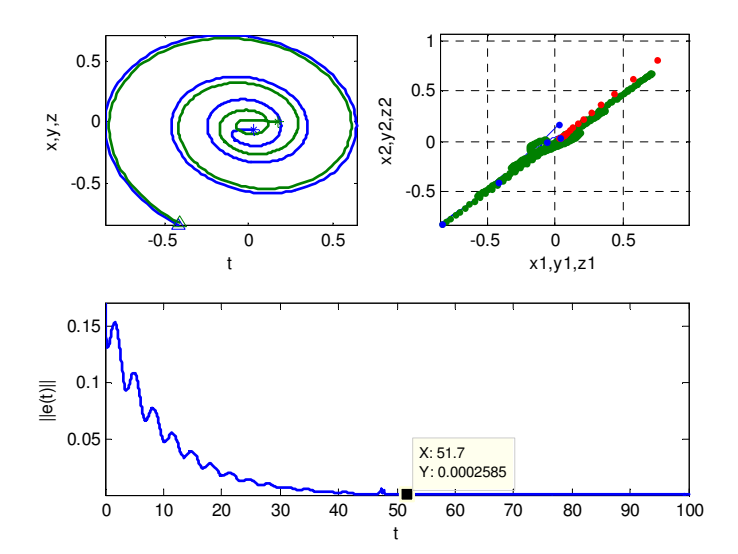


Figura 2.10: (a) Atractor do sistema ligado; (b) Variedade de sincronização; (c) Evolução do erro de sincronização

Como tal, as distâncias  $|x_2 - x_1|$ ,  $|y_2 - y_1|$  e  $|z_2 - z_1|$  tendem para zero ao longo do tempo (Fig. 2.10c) e estabelece-se no sistema ligado o estado caótico sincrónico simétrico.

Para o estudo da estabilidade global, considere a função de Lyapunov

$$L(\mathbf{e}) = \frac{1}{2} \left( e_x^2 + e_y^2 + e_z^2 \right) \ge 0$$

que verifica  $L(\mathbf{e}) > 0$  se  $\mathbf{e} \neq \mathbf{0}$  e  $L(\mathbf{0}) = 0$  para todo o  $\rho$ . Determine-se a força de ligação  $\rho$  tal que a derivada de L satisfaça  $\dot{L}(\mathbf{e}) < 0$  se  $\mathbf{e} \neq \mathbf{0}$  e  $\dot{L}(\mathbf{0}) = 0$ . Substituindo as expressões de  $\dot{e}_x$ ,  $\dot{e}_y$  e  $\dot{e}_z$  em

$$\dot{L}(\mathbf{e}) = e_x \dot{e}_x + e_y \dot{e}_y + e_z \dot{e}_z$$

e simplificando, a derivada de L pode ser escrita como

$$\dot{L}(\mathbf{e}) = -\rho e_x^2 + (z_2 - 1) e_x e_z + 0.2 e_y^2 + (x_2 - 5) e_z^2$$

$$\leq -\rho e_x^2 + 0.2 e_y^2 + x_2 e_z^2 - 5 e_z^2 + z_2 |e_x e_z| - |e_x e_z|.$$

Supondo que as funções de variável real  $x_2$  e  $z_2$  são limitadas, sejam  $K_x$  e  $K_z$  constantes positivas tais que  $|x_2| \le K_x$  e  $|z_2| \le K_z$ . Como tal é válido

$$\dot{L}(\mathbf{e}) \le -\rho e_x^2 + 0.2e_y^2 + K_x e_z^2 - 5e_z^2 + K_y |e_x e_z| - |e_x e_z|.$$

Para que o sistema transversal seja assimptoticamente estável na origem, a matriz simétrica constante

$$\mathbf{P} = \begin{bmatrix} \rho & 0 & \frac{1}{2}(1 - K_y) \\ 0 & -\frac{1}{5} & 0 \\ \frac{1}{2}(1 - K_y) & 0 & 5 - K_x \end{bmatrix}$$

associada à forma quadrática  $-\|\mathbf{e}\|^T \cdot \mathbf{P} \cdot \|\mathbf{e}\|$ , em  $\|\mathbf{e}\| = (|e_x|, |e_y|, |e_z|)$ , deve ser definida positiva. Os determinantes  $\Delta_i$ , i = 1, 2, 3, das submatrizes principais de  $\mathbf{P}$  são positivos se

$$\rho > 0 \land -\rho > 0 \land 4\rho (K_x - 5) > (1 - K_y)^2.$$

Sendo a desigualdade relativa a  $\Delta_2$  impossível, o método directo de Lyapunov não é aplicável para esta escolha da função de sincronização e nada se conclui quanto à sincronização globalmente estável dos sistemas.

A partir da equação que define o sistema transversal são estimados os expoentes de Lyapunov condicionados que indicam acerca da diminuição ou aumento das perturbações tranversais. Seja  $\mathbf{V}(t)$  a variável

$$(V_1, V_2, V_3) = \frac{1}{2}(x_1 - x_2, y_1 - y_2, z_1 - z_2),$$

que descreve a evolução de pequenas perturbações transversais à variedade de sincronização  $\mathcal{M}$ , e  $\mathbf{U}(t)$  a variável

$$(U_1, U_2, U_3) = \frac{1}{2} (x_1 + x_2, y_1 + y_2, z_1 + z_2),$$

que descreve a evolução nessa variedade invariante ou próximo dela. Atendendo a que  $x_1 = U_1 - V_1$ ,  $x_2 = U_1 + V_1$ ,  $y_1 = U_2 - V_2$ ,  $y_2 = U_2 + V_2$ ,  $z_1 = U_3 - V_3$  e  $z_2 = U_3 + V_3$ , o sistema ligado pode ser reescrito nas novas variáveis  $\mathbf{U}$  e  $\mathbf{V}$  como

(2.25) 
$$\begin{cases} \dot{V}_1 = -V_2 - V_3 - \rho V_1 \\ \dot{V}_2 = V_1 + 0.2V_2 \\ \dot{V}_3 = U_3 V_1 - 5V_3 + U_1 V_3 \end{cases} \wedge \begin{cases} \dot{U}_1 = -U_2 - U_3 - \rho V_1 \\ \dot{U}_2 = U_1 + 0.2U_2 \\ \dot{U}_3 = 0.2 + U_1 U_3 - 5U_3 + V_1 V_3 \end{cases}.$$

A Figura 2.11 mostra o espectro de expoentes de Lyapunov do sistema (2.25). Pode considerar-se a divisão em dois subconjuntos:  $\boldsymbol{\lambda}^{\parallel} = \left\{\lambda_1^{\parallel}, \lambda_2^{\parallel}, \lambda_3^{\parallel}\right\}$  dos expoentes de Lyapunov tangenciais e  $\boldsymbol{\lambda}^{\perp} = \left\{\lambda_1^{\perp}, \lambda_2^{\perp}, \lambda_3^{\perp}\right\}$  dos expoentes de Lyapunov transversais associados à evolução de  $\mathbf{V}(t)$ . Pelo critério (iii), se o maior expoente de Lyapunov transversal  $\lambda_{\max}^{\perp}(\rho)$  é negativo, então qualquer perturbação transversal à variedade  $\mathcal{M}$  é amortecida e o estado sincrónico  $\mathbf{u}_1 = \mathbf{u}_2$  é estável.

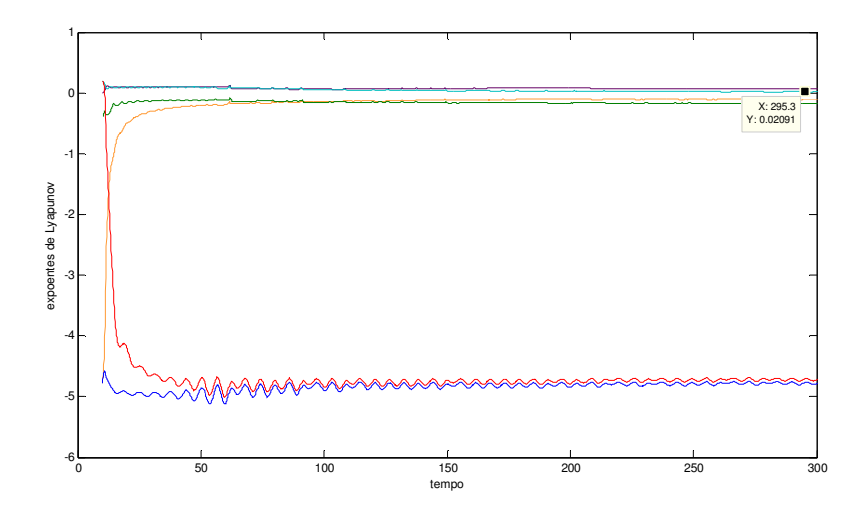


Figura 2.11: Espectro dos expoentes de Lyapunov do sistema ligado: tangenciais e condicionados

No início da sincronização, o efeito provocado por adicionar o sinal de controle  $\rho$  ( $x_2 - x_1$ ) é diminuir o valor do expoente maximal  $\lambda_{\max}^{\perp}(\rho)$ . Este facto ocorre em muitos exemplos de ligação de sistemas caóticos. Assim, em algum valor intermédio de  $\rho$ , denotado por  $\rho_{sync}$ , os sistemas sincronizam de forma estável. Contudo, o aumento da força de ligação  $\rho$  não garante necessariamente que os expoentes de Lyapunov condicionados continuem a decrescer e que se mantenha o estado sincrónico assimptoticamente estável. Em particular, conforme ilustra a Figura 5, com o aumento de  $\rho$  o expoente maximal  $\lambda_{\max}^{\perp}(\rho)$  torna-se positivo e o estado sincrónico deixa de ser estável. Esta perda de sincronização estável foi notada por Heagy et al. ([21],[22]). Assim, a condição minimal de estabilidade com uso dos expoentes de Lyapunov garante que o estado sincrónico é estável apenas sobre uma variação finita da força de ligação  $\rho$ .

Para valores de  $\rho$  superiores é ainda possível "escravizar"  $x_2$  a  $x_1$  dada a presença do sinal de controle  $\rho$  ( $x_1 - x_2$ ): assimptoticamente é efectuada a substituição completa  $x_2 \to x_1$ , ou seja, são substituidas por  $x_1$  todas as ocorrências de  $x_2$  no sistema resposta. Deste modo, as ligações por controle feedback negativo e por substituição completa estão relacionadas. O valor assimptótico correspondente ao limite

$$\lim_{\rho \to +\infty} \lambda_{\max}^{\perp}(\rho)$$

indica se o método de substituição completa funciona e, inversamente, esse valor assimp-

tótico é determinado pela estabilidade do subsistema que permanece desligado do sistema transporte, como consequência de aplicação do método de substituição completa.

Os casos R12, R13, R14 e R15, apresentados no Anexo 2b, mostram que a tarefa de averiguar a existência de sincronização estável em ligação unidireccional por controle feedback negativo é bastante mais simples quando são efectuadas substituições parcial no termo não-linear do sistema resposta. A Tabela 2.6 resume o estudo efectuado.

Ligação	Substituição	Sincronização
$\rho\left(x_1-x_2\right)$	$x_2 \to x_1 \ \text{e} \ z_2 \to z_1$	não
$\rho\left(z_1-z_2\right)$	$x_2 \to x_1 \ \text{e} \ z_2 \to z_1$	não
$\rho\left(z_1-z_2\right)$	$x_2 \to x_1$	não
$\rho \left( y_1 - y_2 \right)$	$x_2 \to x_1 \ \text{e} \ z_2 \to z_1$	não

Tabela 2.6: Ligações unidireccionais por feedback negativo e substituição parcial

Caso R2. Considere os sistemas de Rössler caótico e hipercaótico [75], respectivamente

$$\begin{cases} \dot{x}_1 = -(y_1 + z_1) \\ \dot{y}_1 = x_1 + a_1 y_1 \\ \dot{z}_1 = b_1 + z_1 (x_1 - c_1) \end{cases}$$
 e 
$$\begin{cases} \dot{x}_2 = -y_2 - z_2 \\ \dot{y}_2 = x_2 + a_2 y_2 + w_2 \\ \dot{z}_2 = x_2 z_2 + b_2 \\ \dot{w}_2 = -c_2 z_2 + d_2 w_2 \end{cases} ,$$

para valores paramétricos  $a_1$ ,  $b_1$ ,  $c_1$  e  $a_2$ ,  $b_2$ ,  $c_2$ ,  $d_2$  que conduzam a comportamento caótico. Os valores paramétricos  $a_2 = 0.25$ ,  $b_2 = 3$ ,  $c_2 = 0.5$  e  $d_2 = 0.05$  conduzem a comportamento caótico no sistema de Rössler hipercaótico.

Pretende-se uma ligação unidireccional entre eles, por função de controle, para a função de sincronização  $\mathbf{h}(x_1, y_1, z_1) = (x_1 z_1, y_1, x_1, 2y_1 + z_1)$ . O sistema resposta pode ser escrito na forma  $\mathbf{A} \cdot \mathbf{u}_2 + \mathbf{B}(\mathbf{u}_2)$  com

$$\mathbf{A} = \begin{bmatrix} 0 & -1 & -1 & 0 \\ 1 & a_2 & 0 & 1 \\ 0 & 0 & 0 & 0 \\ 0 & 0 & -c_2 & d_2 \end{bmatrix} \quad \mathbf{e} \quad \mathbf{B} = \begin{bmatrix} 0 \\ 0 \\ x_2 z_2 + b_2 \\ 0 \end{bmatrix}.$$

A matriz constante

$$\mathbf{A'} = \left[ \begin{array}{cccc} 1 & -1 & -1 & 0 \\ 1 & 2a_2 & 0 & 1 \\ 0 & 0 & 1 & 0 \\ 0 & 0 & -c_2 & 2d_2 \end{array} \right]$$

é tal que a matriz diferença

$$\mathbf{A} - \mathbf{A}' = \left[ egin{array}{cccc} -1 & 0 & 0 & 0 \ 0 & -a_2 & 0 & 0 \ 0 & 0 & -1 & 0 \ 0 & 0 & 0 & -d_2 \end{array} 
ight]$$

é diagonal com todos os elementos diagonais negativos. A soma  $(\mathbf{A} - \mathbf{A}')^T + \mathbf{A} - \mathbf{A}'$  é uma matriz definida negativa com valores próprios  $\Lambda_{1,2} = -2$ ,  $\Lambda_3 = -2a_2$  e  $\Lambda_4 = -2d_2$ .

Dada a matriz Jacobiana de h

$$D\mathbf{h}(x_1, y_1, z_1) = \begin{bmatrix} z_1 & 0 & x_1 \\ 0 & 1 & 0 \\ 1 & 0 & 0 \\ 0 & 2 & 1 \end{bmatrix},$$

a função de controle definida por (2.22) é

$$\mathbf{C}(\mathbf{u}_{1}, \mathbf{u}_{2}) = \begin{bmatrix} y_{2} - x_{2} + z_{2} + (2 + b_{1}) x_{1} - z_{1} [(y_{1} + z_{1}) - x_{1} (x_{1} - c_{1} + 1)] \\ -x_{2} - 2a_{2}y_{2} + (a_{2} + a_{1}) y_{1} + x_{1} \\ x_{1} - (x_{2} + 1) z_{2} - b_{2} - (y_{1} + z_{1}) \\ c_{2}z_{2} - 2d_{2}w_{2} + (2d_{2} + 2a_{1}) y_{1} + 2x_{1} + b_{1} + z_{1} (x_{1} - c + d_{2}) \end{bmatrix}.$$

O sistema ligado, para o qual está garantida a sincronização generalizada globalmente estável relativamente a h, tem então por sistema resposta

$$S_{2} \equiv \begin{cases} \dot{x}_{2} = -x_{2} + (2+b_{1}) x_{1} - z_{1} (y_{1} + z_{1}) + z_{1} x_{1} (x_{1} - c_{1} + 1) \\ \dot{y}_{2} = -a_{2} y_{2} + w_{2} + (a_{2} + a_{1}) y_{1} + x_{1} \\ \dot{z}_{2} = x_{1} - z_{2} - (y_{1} + z_{1}) \\ \dot{w}_{2} = -d_{2} w_{2} + (2d_{2} + 2a_{1}) y_{1} + 2x_{1} + b_{1} + z_{1} (x_{1} - c_{1} + d_{2}) \end{cases}.$$

Caso R3. Considere a ligação difusiva linear bidireccional de dois sistemas de Rössler

$$\begin{cases}
\dot{x}_1 = -(y_1 + z_1) + \rho(x_2 - x_1) \\
\dot{y}_1 = x_1 + ay_1 + \rho(y_2 - y_1) \\
\dot{z}_1 = b + z_1(x_1 - c) + \rho(z_2 - z_1)
\end{cases}
\land
\begin{cases}
\dot{x}_2 = -(y_2 + z_2) + \rho(x_1 - x_2) \\
\dot{y}_2 = x_2 + ay_2 + \rho(y_1 - y_2) \\
\dot{z}_2 = b + z_2(x_2 - c) + \rho(z_1 - z_2)
\end{cases}$$

Considere as componentes  $e_x=x_2-x_1,\ e_y=y_2-y_1$  e  $e_z=z_2-z_1$  do erro de sincronização e. Para qualquer valor de  $\rho$ , o sistema transversal é definido pelas equações

$$\begin{cases} \dot{e}_x = \dot{x}_2 - \dot{x}_1 = -e_y - e_z - 2\rho e_x \\ \dot{e}_y = \dot{y}_2 - \dot{y}_1 = e_x + (a - 2\rho) e_y \\ \dot{e}_z = \dot{z}_2 - \dot{z}_1 = z_2 e_x + (x_1 - c - 2\rho) e_z \end{cases}.$$

Considere a função de Lyapunov  $L(\mathbf{e}) = (e_x^2 + e_y^2 + e_z^2)/2$  que verifica  $L(\mathbf{e}) > 0$  se  $\mathbf{e} \neq \mathbf{0}$  e  $L(\mathbf{0}) = 0$  para todo o  $\rho$ . Determine-se a força de ligação  $\rho$  tal que a derivada de L satisfaça  $\dot{L}(\mathbf{e}) < 0$  se  $\mathbf{e} \neq \mathbf{0}$  e  $\dot{L}(\mathbf{0}) = 0$ . Substituindo as expressões de  $\dot{e}_x$ ,  $\dot{e}_y$  e  $\dot{e}_z$  em

$$\dot{L}\left(\mathbf{e}\right) = e_x \dot{e}_x + e_y \dot{e}_y + e_z \dot{e}_z$$

e simplificando, a derivada de L pode ser escrita como

$$\dot{L}(\mathbf{e}) = -2\rho e_x^2 + (z_2 - 1) e_x e_z + (a - 2\rho) e_y^2 + (x_1 - c - 2\rho) e_z^2$$

$$\leq -\rho e_x^2 + (a - \rho) e_y^2 + x_1 e_z^2 - (c + \rho) e_z^2 + z_2 |e_x e_z| - |e_x e_z|.$$

Supondo que as funções de variável real  $x_1$  e  $z_2$  são limitadas, sejam  $K_x$  e  $K_z$  constantes positivas tais que  $|x_1| \le K_x$  e  $|z_2| \le K_z$ . Como tal é válida a desigualdade

$$\dot{L}(\mathbf{e}) \le -2\rho e_x^2 + (a - 2\rho)e_y^2 + K_x e_z^2 - (c + 2\rho)e_z^2 + K_z |e_x e_z| - |e_x e_z|.$$

Para que o sistema transversal seja assimptoticamente estável na origem, a matriz simétrica constante

$$\mathbf{P} = \begin{bmatrix} 2\rho & 0 & \frac{1}{2}(1 - K_z) \\ 0 & 2\rho - a & 0 \\ \frac{1}{2}(1 - K_z) & 0 & c + 2\rho - K_x \end{bmatrix}$$

associada à forma quadrática  $-\|\mathbf{e}\|^T \cdot \mathbf{P} \cdot \|\mathbf{e}\|$ , em que  $\|\mathbf{e}\| = (|e_x|, |e_y|, |e_z|)$ , deve ser definida positiva. Os determinantes  $\Delta_i$ , i = 1, 2, 3, das submatrizes principais de  $\mathbf{P}$  são positivos se

$$(2\rho - a) > 0 \wedge (2\rho - a) \left[ \rho (c + 2\rho - K_x) - \frac{1}{4} (1 - K_z)^2 \right] > 0.$$

Como a desigualdade relativa a  $\Delta_3$  implica  $2\rho - a > 0$  sempre que

$$8\rho (c + 2\rho - K_x) > (1 - K_z)^2$$
,

pode concluir-se que a matriz  $\mathbf{P}$  é definida positiva se

$$2\rho > a \wedge 8\rho (2\rho + c - K_x) > (1 - K_z)^2$$
.

A condição  $K_x > 0$  conduz a  $8\rho (2\rho + c) > (1 - K_z)^2$ . Pelo método directo de Lyapunov,  $\mathbf{e} \to 0$  quando  $t \to \infty$  sempre que os parâmetros de controle a e c, a força de ligação  $\rho$  e as constantes positivas  $K_x$  e  $K_z$  verifiquem as designaldades anteriores e os sistemas alcançam sincronização estável

Estabelece-se deste modo a seguinte condição suficiente para sincronização.

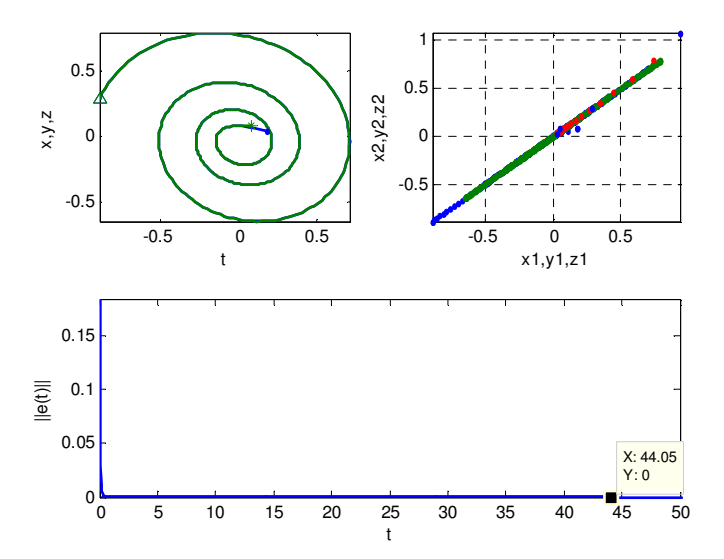


Figura 2.12: (a) Atractor do sistema ligado; (b) Variedade de sincronização; (c) Evolução do erro de sincronização

Proposição 2.3.2 Dois sistemas de Rössler em ligação difusiva linear bidireccional (2.26) alcançam sincronização globalmente estável sempre que

$$2\rho > a \wedge 8\rho (2\rho + c - K_x) > (1 - K_z)^2$$

onde  $K_x$  e  $K_y$  são constantes positivas tais que  $|x_1| \le K_x$  e  $|z_2| \le K_z$ .

A Figura 2.12 a, b e c, cujos gráficos foram obtidos com  $\rho = 8$ , mostra o estabelecido na Proposição 2.3.2. Como se pode observar, o erro de sincronização evolui rapidamente para zero.

Caso R4. Considere a ligação difusiva linear bidireccional de dois sistemas de Rössler

$$\begin{cases}
\dot{x}_{1} = -(y_{1} + z_{1}) + \rho(x_{2} - x_{1}) \\
\dot{y}_{1} = x_{1} + ay_{1} + \rho(y_{2} - y_{1}) \\
\dot{z}_{1} = b + z_{1}(x_{1} - c) + \rho(z_{2} - z_{1})
\end{cases}
\land
\begin{cases}
\dot{x}_{2} = -(y_{2} + z_{2}) + \rho(x_{1} - x_{2}) \\
\dot{y}_{2} = x_{2} + ay_{2} + \rho(y_{1} - y_{2}) \\
\dot{z}_{2} = b + z_{2}(\underline{x_{1}} - c) + \rho(z_{1} - z_{2})
\end{cases}$$

em que, simultaneamente, foi introduzida uma substituição parcial da variável  $x_2$  por  $x_1$  no termo não-linear  $z_2x_2$  do sistema resposta.

Considere as componentes  $e_x = x_2 - x_1$ ,  $e_y = y_2 - y_1$  e  $e_z = z_2 - z_1$  do erro de sincronização e. Para qualquer valor de  $\rho$  o sistema transversal é definido pelas equações

$$\begin{bmatrix} \dot{e}_x \\ \dot{e}_y \\ \dot{e}_z \end{bmatrix} = \begin{bmatrix} \dot{x}_2 - \dot{x}_1 \\ \dot{y}_2 - \dot{y}_1 \\ \dot{z}_2 - \dot{z}_1 \end{bmatrix} = \begin{bmatrix} -e_y - e_z - 2\rho e_x \\ e_x + (a - 2\rho) e_y \\ (x_1 - c - 2\rho) e_z \end{bmatrix}.$$

Considere a função de Lyapunov  $L(\mathbf{e}) = (e_x^2 + e_y^2 + e_z^2)/2$  que verifica  $L(\mathbf{e}) > 0$  se  $\mathbf{e} \neq \mathbf{0}$  e  $L(\mathbf{0}) = 0$  para todo o  $\rho$ . Determine-se a força de ligação  $\rho$  tal que a derivada de L satisfaça  $\dot{L}(\mathbf{e}) < 0$  se  $\mathbf{e} \neq \mathbf{0}$  e  $\dot{L}(\mathbf{0}) = 0$ . Substituindo as expressões de  $\dot{e}_x$ ,  $\dot{e}_y$  e  $\dot{e}_z$  em

$$\dot{L}\left(\mathbf{e}\right) = e_x \dot{e}_x + e_y \dot{e}_y + e_z \dot{e}_z$$

e simplificando, a derivada de L pode ser escrita como

$$\dot{L}(\mathbf{e}) = -2\rho e_x^2 - e_x e_z + (a - 2\rho) e_y^2 + (x_1 - c - 2\rho) e_z^2$$

$$\leq -2\rho e_x^2 + (a - 2\rho) e_y^2 + x_1 e_z^2 - (c + 2\rho) e_z^2 - |e_x e_z|.$$

Supondo que a função de variável real  $x_1$  é limitada, seja  $K_x$  uma constante positiva tal que  $|x_1| \le K_x$ . Como tal é válida a desigualdade

$$\dot{L}(\mathbf{e}) \le -2\rho e_x^2 + (a - 2\rho) e_y^2 + K_x e_z^2 - (c + 2\rho) e_z^2 - |e_x e_z|.$$

Para que o sistema transversal seja assimptoticamente estável na origem, a matriz simétrica constante

$$\mathbf{P} = \begin{bmatrix} 2\rho & 0 & 0.5 \\ 0 & 2\rho - a & 0 \\ 0.5 & 0 & c + 2\rho - K_x \end{bmatrix}$$

deve ser definida positiva. Os determinantes  $\Delta_i$ , i=1,2,3, das submatrizes principais de  ${\bf P}$  são positivos se

$$(2\rho - a) > 0 \wedge (2\rho - a) \left[ 2\rho (c + 2\rho - K_x) - \frac{1}{4} \right] > 0.$$

Como a desigualdade relativa a  $\Delta_3$  implica  $2\rho - a > 0$  sempre que

$$8\rho (c + 2\rho - K_x) > 1$$
,

pode concluir-se que a matriz **P** é definida positiva se

$$2\rho > a \wedge 8\rho (2\rho + c - K_x) > 1.$$

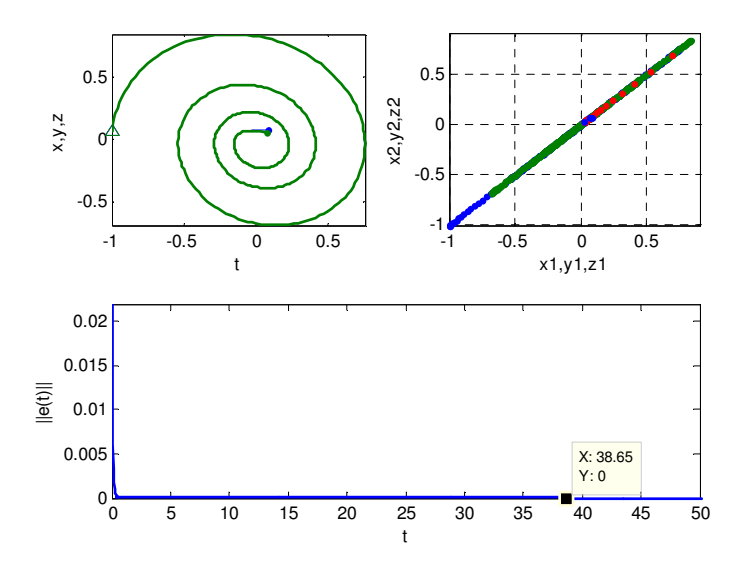


Figura 2.13: (a) Atractor do sistema ligado; (b) Variedade de sincronização; (c) Evolução do erro de sincronização

A condição  $K_x > 0$  conduz a  $8\rho (2\rho + c) > 1$ . Pelo método directo de Lyapunov,  $\mathbf{e} \to 0$  quando  $t \to \infty$  sempre que os parâmetros de controle a e c, a força de ligação  $\rho$  e as constantes positivas  $K_x$  verifiquem as desigualdades anteriores e os sistemas alcançam sincronização estável.

Estabelece-se deste modo a seguinte condição suficiente para sincronização estável.

Proposição 2.3.3 Dois sistemas de Rössler em ligação difusiva linear bidireccional (2.27) alcançam sincronização globalmente estável sempre que

$$2\rho > a \wedge 8\rho \left(2\rho + c - K_x\right) > 1$$

onde  $K_x$  é uma constante positiva tal que  $|x_1| \leq K_x$ .

A Figura 2.13 a, b e c, cujos gráficos foram obtidos com  $\rho = 6$ , mostra o estabelecido na Proposição 2.3.3. Observa-se uma rápida evolução do erro do erro de sincronização para zero.

Caso R5. Considere a ligação difusiva linear parcial bidireccional de dois sistemas de Rössler

(2.28) 
$$\begin{cases} \dot{x}_1 = -(y_1 + z_1) + \rho(x_2 - x_1) \\ \dot{y}_1 = x_1 + ay_1 \\ \dot{z}_1 = b + z_1(x_1 - c) \end{cases} \wedge \begin{cases} \dot{x}_2 = -(y_2 + z_2) + \rho(x_1 - x_2) \\ \dot{y}_2 = x_2 + ay_2 \\ \dot{z}_2 = b + z_2(x_2 - c) \end{cases}.$$

Considere as componentes  $e_x = x_2 - x_1$ ,  $e_y = y_2 - y_1$  e  $e_z = z_2 - z_1$  do erro de sincronização **e**. Para qualquer valor de  $\rho$ , o sistema transversal é definido pelas equações

$$\begin{cases} \dot{e}_x = \dot{x}_2 - \dot{x}_1 = -e_y - e_z - 2\rho e_x \\ \dot{e}_y = \dot{y}_2 - \dot{y}_1 = e_x + ae_y \\ \dot{e}_z = \dot{z}_2 - \dot{z}_1 = z_2 e_x + (x_1 - c) e_z \end{cases}.$$

Considere a função de Lyapunov

$$L(\mathbf{e}) = \frac{1}{2} \left( e_x^2 + e_y^2 + e_z^2 \right)$$

que verifica  $L(\mathbf{e}) > 0$  se  $\mathbf{e} \neq \mathbf{0}$  e  $L(\mathbf{0}) = 0$  para todo o  $\rho$ . Determine-se a força de ligação  $\rho$  tal que a derivada de L satisfaça  $\dot{L}(\mathbf{e}) < 0$  se  $\mathbf{e} \neq \mathbf{0}$  e  $\dot{L}(\mathbf{0}) = 0$ . Substituindo as expressões de  $\dot{e}_x$ ,  $\dot{e}_y$  e  $\dot{e}_z$  em

$$\dot{L}\left(\mathbf{e}\right) = e_x \dot{e}_x + e_y \dot{e}_y + e_z \dot{e}_z$$

e simplificando, a derivada de L pode ser escrita como

$$\dot{L}(\mathbf{e}) = -2\rho e_x^2 + (z_2 - 1) e_x e_z + a e_y^2 + (x_1 - c) e_z^2$$

$$\leq -2\rho e_x^2 + a e_y^2 + x_1 e_z^2 - c e_z^2 + z_2 |e_x e_z| - |e_x e_z|.$$

Supondo que as funções de variável real  $x_1$  e  $z_2$  são limitadas, sejam  $K_x$  e  $K_z$  constantes positivas tais que  $|x_1| \le K_x$  e  $|z_2| \le K_z$ . Como tal é válida a desigualdade

$$\dot{L}(\mathbf{e}) \le -2\rho e_x^2 + ae_y^2 + K_x e_z^2 - ce_z^2 + K_z |e_x e_z| - |e_x e_z|.$$

Para que o sistema transversal seja assimptoticamente estável na origem, a matriz simétrica constante

$$\mathbf{P} = \begin{bmatrix} 2\rho & 0 & \frac{1}{2}(1 - K_z) \\ 0 & -a & 0 \\ \frac{1}{2}(1 - K_z) & 0 & c - K_x \end{bmatrix}$$

associada à forma quadrática  $-\|\mathbf{e}\|^T \cdot \mathbf{P} \cdot \|\mathbf{e}\|$ , em  $\|\mathbf{e}\| = (|e_x|, |e_y|, |e_z|)$ , deve ser definida positiva. Os determinantes  $\Delta_i$ , i = 1, 2, 3, das submatrizes principais de  $\mathbf{P}$  são positivos se

$$-2a\rho > 0 \land -8a\rho (c - K_x) + a (1 - K_z)^2 > 0.$$

dado que a condição relativa a  $\Delta_i$  é impossível, o método directo de Lyapunov não é conclusivo com esta escolha da função de Lyapunov.

# Capítulo 3

# Ligação assimétrica de sistemas dinâmicos discretos caóticos

O estudo de comportamento sincrónico entre sistemas caóticos discretos ligados teve início com o trabalho de Kaneko [28] em meados dos anos 80.

Em modelação de sistemas reais é frequente a ligação de transformações idênticas com obtenção de um sistema ligado simétrico. Contudo existem muitos outros processos, como a transmissão e processamento de informação, que requerem a interacção de transformações por ligações assimétricas. Estas podem ser bidireccionais entre sistemas dinâmicos não-idênticos ou unidireccionais.

Quando se consideram sistemas não-idênticos, as transformações que os definem podem apenas diferir por pequenos desajustes paramétricos ou até corresponder a diferentes leis de evolução. Nestes casos, a sincronização traduz-se numa relação funcional entre eles que não é necessariamente a identidade de estados. Existe entre os sistemas uma dependência mais fraca que caracteriza a sincronização generalizada.

O conceito de sincronização generalizada diferenciável ([4],[77],[36],[23]) estende as noções características da sincronização idêntica. Embora apenas seja exigido que os estados dos sistemas componentes estejam funcionalmente relacionados, a diminuição da força de ligação pode conduzir facilmente à perda de estabilidade transversal do estado sincrónico caótico. A função de sincronização pode tornar-se bastante complicada e iniciar-se o processo de perda de sincronização.

A variedade de sincronização pode ser facilmente identificada em sistemas ligados simétricos e, devido a essa simetria, persiste quando a força de ligação diminui. Tal não acontece em sistemas ligados sem simetria. A impossibilidade de centrar o estudo na dinâmica invariante da variedade de sincronização é um dos motivos pelos quais é ainda

pouco claro o modo como a perda de sincronização se manifesta qualitativa e quantitativamente em ligações assimétricas, mesmo entre transformações que diferem apenas por um desajuste paramétrico ligeiro. Uma abordagem alternativa ao estudo da variedade de sincronização foi apresentada por Barreto et al. [10], baseado na evolução da estrutura orbital periódica instável do sistema ligado quando a força de ligação diminui.

Ao longo deste capítulo é estudada a dinâmica de sistemas caóticos discretos bidimensionais obtidos por ligação assimétrica. Na Secção 3.1 apresentamos o estudo de uma ligação que surge de forma natural a partir da família de transformações quadráticas complexas analíticas  $Z \mapsto \alpha - Z^2$ . A decomposição em partes real e imaginária de cada transformação resulta num sistema bidireccionalmente ligado de duas transformações quadráticas reais unidimensionais com parâmetros de controle distintos. O termo de ligação obtido é proporcional ao quadrado da diferença entre as variáveis dinâmicas dos sistemas componentes. Tanto quanto sabemos, esta ligação não foi até agora objecto de estudo. Com o objectivo de optimizar os resultados obtidos para esta ligação, também aplicamos ao sistema ligado uma técnica de controle, que estende o conhecido método de controle de caos de Ott-Grebogy-Yorke (OGY) [51], através de uma pequena perturbação do parâmetro de ligação. Para evidenciar as desvantagens da ausência de simetria no sistema ligado, analisamos na Secção 3.2 o caso particular de sistemas idênticos bidireccionalmente ligados que, ao que sabemos, também não foi ainda estudada. Nas Secções 3.3 e 3.4 consideramos a generalização desta ligação assimétrica ao uso de dois parâmetros de ligação diferentes, entre transformações idênticas e não-idênticas, respectivaente. Finalmente, na Secção 3.5, estudamos a configuração unidireccional respectiva. As abordagens computacionais apresentadas são confirmadas pelo estudo analítico efectuado.

Todos os resultados apresentados nesta primeira secção têm por base o modelo unidimensional fornecido pela família de transformações quadráticas  $f(x;a) = a - x^2$ , onde a é o parâmetro real de controle. Esta família, cujo comportamento dinâmico tem sido intensamente estudado na ausência de ligação, é um exemplo típico no estudo de transformações não-lineares e, em particular, de sistemas cuja dinâmica evolui para comportamento caótico através de uma cascata de bifurcações de duplicação de período por variação do parâmetro de controle a.

A análise da estabilidade da sincronização baseia-se no cálculo dos valores próprios da equação linearizada do sistema transversal e na estimação dos correspondentes expoentes de Lyapunov transversais. Para algumas das ligações são obtidas condições simples que garantem estabilidade transversal do estado sincrónico caótico.

# 3.1 Ligação obtida da transformação quadrática complexa

Considere a família de transformações quadráticas complexas analíticas<sup>1</sup>

$$(3.1) Z_{n+1} = \alpha - Z_n^2, \quad Z, \alpha \in \mathbb{C}.$$

Efectue-se a decomposição de (3.1) em partes real e imaginária. Designando Z=X+Yi e  $\alpha=\alpha_1+\alpha_2i$ , tem-se

$$Z_{n+1} = X_{n+1} + Y_{n+1}i = \alpha_1 + \alpha_2 i - X_n^2 + Y_n^2 - 2X_n Y_n i,$$

pelo que

(3.2) 
$$\begin{cases} X_{n+1} = \alpha_1 - X_n^2 + Y_n^2 \\ Y_{n+1} = \alpha_2 - 2X_n Y_n. \end{cases}$$

Conforme Isaeva et al. [25], as mudanças de variáveis

$$(3.3) x = X + \beta Y e y = X - \beta Y$$

e de parâmetros

(3.4) 
$$a = \alpha_1 + \beta \alpha_2 \quad e \quad b = \alpha_1 - \beta \alpha_2,$$

onde  $\beta \neq 0$  é uma constante arbitrária, transformam o sistema de equações (3.2) num sistema de duas transformações quadráticas reais ligadas. De facto, resulta de (3.3) e (3.4) que X = (x+y)/2,  $Y = (x-y)/2\beta$ ,  $\alpha_1 = (a+b)/2$  e  $\alpha_2 = (a-b)/2\beta$ , pelo que o sistema (3.2) pode ser reescrito como

$$\begin{cases} x_{n+1} = \left(\frac{1}{2} - 1 - \frac{\beta^2 - 1}{4\beta^2}\right) x_n^2 + \left(\frac{1}{4} + \frac{1}{4\beta^2}\right) y_n^2 - \left(\frac{1}{2} + \frac{1}{2\beta^2}\right) x_n y_n + a \\ y_{n+1} = \left(\frac{1}{4} + \frac{1}{4\beta^2}\right) x_n^2 + \left(\frac{1}{2} - 1 - \frac{\beta^2 - 1}{4\beta^2}\right) y_n^2 - \left(\frac{1}{2} + \frac{1}{2\beta^2}\right) x_n y_n + b \end{cases}$$

A este sistema equivale a forma simplificada

(3.5) 
$$\begin{cases} x_{n+1} = a - x_n^2 + \rho (x_n - y_n)^2 \\ y_{n+1} = b - y_n^2 + \rho (x_n - y_n)^2 \end{cases}$$

em que  $\rho = (1 + \beta^2)/4\beta^2$ . Considere (3.5) como o sistema ligado das transformações quadráticas unidimensionais  $f(x; a) = a - x^2$  e  $g(y; b) = b - y^2$  nas variáveis dinâmicas

 $<sup>^{1}</sup>$ O conjunto de valores paramétricos  $\alpha$  para os quais as iterações do ponto crítico z=0 não convergem para infinito é o conjunto Mandelbrot, um dos fractais mais conhecidos [14].

a

reais x e y, respectivamente, em que  $\rho$  tem o papel de parâmetro de ligação. Para qualquer escolha de  $\beta \neq 0$  o parâmetro de ligação  $\rho$  é positivo e superior a 1/4. No entanto, motivados pelas observações em [25] relativas a números complexos generalizados, é admissível considerar  $\rho$  a tomar valores reais quaisquer.

Excepto no caso particular em que a=b, tem-se em (3.5) uma ligação assimétrica resultante do desajuste entre os parâmetros de controle a e b. Tendo como objectivo a sincronização de caos, a e b são tomados na região paramétrica onde a dinâmica das transformações quadráticas é caótica.

Ao contrário do que é usual em configuração bidireccional, o termo de ligação é o mesmo em cada subsistema. Sendo proporcional ao quadrado da diferença entre as variáveis dinâmicas, o termo de ligação admite o termo misto  $-2x_ny_n$ , o que não se verifica na ligação usual por termos quadráticos ou na ligação dissipativa externa generalizada. Atendendo à presença de um termo misto, pode considerar-se que esta ligação apresenta algumas semelhanças estruturais com a ligação dissipativa interna generalizada.

Até ao final deste capítulo, o parâmetro de controle a é considerado superior ao ponto de Misiurewicz  $a^* \simeq 1.565$  (Fig. 3.1), garantindo comportamento caótico das transformações que se ligam, e alguns dos valores paramétricos escolhidos para concretizar o estudo analítico são motivados pela abordagem computacional que só é apresentada posteriormente. Até ao final deste capítulo os valores numéricos são apresentados apenas com quatro casas decimais, embora os cálculos tenham sido efectuados com dez. Os valores numéricos são apresentados apenas com quatro casas decimais.

#### 3.1.1 Análise da dinâmica do sistema ligado

O sistema ligado (3.5) corresponde à equação às diferenças  $(x_{n+1}, y_{n+1}) = \mathbf{F}(x_n, y_n)$ , onde  $\mathbf{F}$  é a transformação bidimensional definida por

(3.6) 
$$\mathbf{F}(x,y) = \left(a - x^2 + \rho (x - y)^2, b - y^2 + \rho (x - y)^2\right).$$

Considere a ligação bidireccional em (3.5) com valores paramétricos a=1.87 e b=1.97 superiores a  $a^*$ .

Os pontos fixos de (3.5) são as soluções da equação  $\mathbf{F}(x,y)=(x,y)$ , a qual é equivalente

$$\begin{cases} 1.87 + (2\rho - 1) w^2 + 0.25 + 0.1\rho = \pm 2\rho w \sqrt{w^2 + 0.1} \\ y = -0.5 \pm \sqrt{w^2 + 0.1}, \end{cases}$$

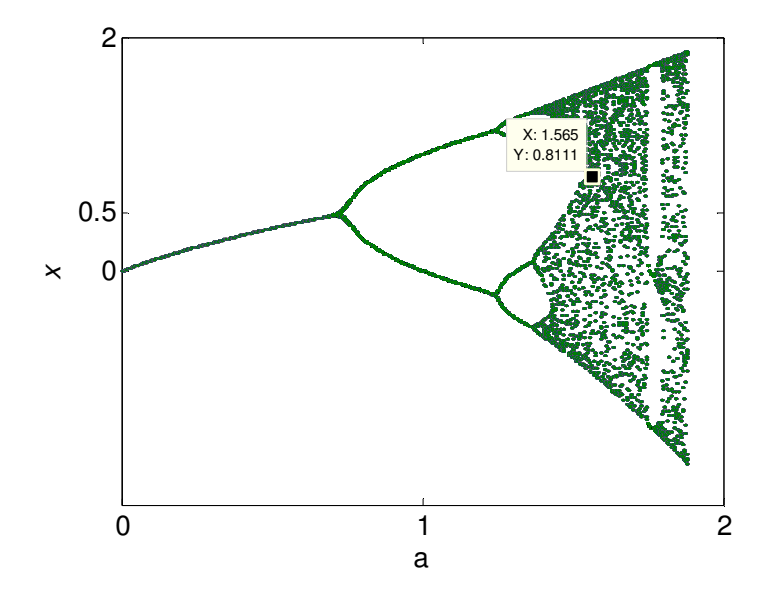


Figura 3.1: Diagrama de bifurcação da transformação quadrática  $f(x) = a - x^2$ 

com  $w \equiv x + 1/2$ . Tem-se então o sistema

$$\begin{cases} (1 - 4\rho) w^4 + (4.0538\rho - 4.24) w^2 + (2.12 + 0.1\rho)^2 = 0 \\ y = -0.5 \pm \sqrt{w^2 + 0.1} \end{cases}$$

nas variáveis  $w^2$ e y,donde se conclui que, para  $\rho \neq 1/4, \; w^2$  pode tomar qualquer uma das expressões

$$w^{2} = A + \frac{B}{4} \pm \left[ \left( A + \frac{B}{4} \right)^{2} + \frac{(8.48 + 0.4\rho)^{2}}{16(4\rho - 1)} \right]^{1/2},$$

com  $A \equiv (1.87 - 3.64\rho) / (1 - 4\rho)$  e  $B \equiv (1 - 2\rho) / (1 - 4\rho)$ . Excluindo as soluções resultantes de elevar ao quadrado, conclui-se que as coordenadas x e y dos quatro pontos fixos de (3.5) são obtidas das expressões

$$x_{\pm,\pm} = -\frac{1}{2} \pm \left[ A + \frac{B}{4} \pm \left( \frac{(8.48 + 0.4\rho)^2}{16(4\rho - 1)} + \left( A + \frac{B}{4} \right)^2 \right)^{1/2} \right]^{1/2}$$

 $\mathbf{e}$ 

$$y_{\pm,\pm} = -\frac{1}{2} \pm \left[ 0.1 + A + \frac{B}{4} \pm \left( \frac{(8.48 + 0.4\rho)^2}{16(4\rho - 1)} + \left( A + \frac{B}{4} \right)^2 \right)^{1/2} \right]^{1/2}.$$

Por outro lado, se (x, y) é ponto fixo de (3.5) então também (-x - 1, -y - 1) o é. De facto, se  $\mathbf{F}(x, y) = (x, y)$  tem-se  $\mathbf{F}(-x - 1, -y - 1)$  dada por

$$\left(1.87 - (-x-1)^2 + \rho (-x+y)^2, 1.97 - (-y-1)^2 + \rho (-x+y)^2\right) 
= \left(1.87 - x^2 + \rho (x-y)^2 - 2x - 1, 1.97 - y^2 + \rho (x-y)^2 - 2y - 1\right) 
= (x - 2x - 1, y - 2y - 1) = (-x - 1, -y - 1).$$

Para  $\rho = 1/4$  os pontos fixos de (3.5) são (-1.9561, -1.9900) e (0.9561, 0.9900).

Há que verificar a boa definição destes pontos fixos como números reais. Sempre que a abcissa está bem definida como número real, o mesmo acontece com a ordenada. Se  $4\rho - 1 > 0$  apenas há que exigir a desigualdade

$$(3.7) \qquad \mp \left(\frac{(8.48 + 0.4\rho)^2}{16(4\rho - 1)} + \frac{(8.48 - 16.56\rho)^2}{16(1 - 4\rho)^2}\right)^{1/2} \le A + \frac{B}{4} = \frac{8.48 - 16.56\rho}{4(1 - 4\rho)}.$$

Se  $8.48-16.56\rho<0$ , ou seja,  $\rho>8.48/16.56=0.5120772$ , esta condição apenas é verificada pelas abcissas  $x_{+,\pm}$ . O mesmo se verifica se  $\rho=8.48/16.56$  e se  $1/4<\rho<8.48/16.56$ . Conclui-se então que para  $\rho>1/4$  o sistema (3.5) tem apenas os pontos de abcissas  $x_{+,\pm}$  como pontos fixos. Se  $4\rho-1<0$  há que exigir, além de (3.7), também a desigualdade

$$\frac{(8.48 + 0.4\rho)^2}{16(4\rho - 1)} + \frac{(8.48 - 16.56\rho)^2}{16(1 - 4\rho)^2} \ge 0.$$

Esta condição é verificada sempre que  $\rho \geq -301.2096/0.64 = -470.64$ . Há que analisar então a condição (3.7) nesta variação paramétrica. Como  $\rho < 1/4 < 8.48/16.56$ , tem-se  $8.48-16.56\rho > 0$ , pelo que o lado direito de (3.7) é positivo. A condição (3.7) é verificada para  $x_{+,\pm}$  e, para  $x_{-,\pm}$ , é equivalente a  $4\rho-1<0$ . Como tal, ela é verificada para qualquer das abcissas  $x_{\pm,\pm}$ . Conclui-se então que para  $-470.64 \leq \rho < 1/4$  o sistema (3.5) tem os pontos de abcissa  $x_{\pm,\pm}$  como pontos fixos. Para  $\rho < -470.64$  o sistema não tem pontos fixos. Por exemplo, para  $\rho = -0.39 < 1/4$  os pontos fixos obtidos são

$$P_1(x_{-,-}, y_{+,-}) = (-1.3933, 0.4476)$$

$$P_2(x_{+,+}, y_{+,+}) = (0.9558, 0.9898)$$

$$P_3(x_{-,+}, y_{-,+}) = (-1.9558, -1.9898)$$

$$P_4(x_{+,-}, y_{-,-}) = (0.3933, -1.4476).$$

Para  $\rho = 0.39 > 1/4$  os pontos fixos obtidos são apenas

$$P'_1(x_{+,+}, y_{+,+}) = (0.9561, 0.9901)$$

 $\mathbf{e}$ 

$$P_2'(-x_{+,+}-1,-y_{+,+}-1) = (-1.9561,-1.9901).$$

A estabilidade dos pontos fixos pode ser determinada pelo estudo dos valores próprios da matriz Jacobiana de  ${\bf F}$ 

(3.8) 
$$D\mathbf{F}(x,y) = \begin{bmatrix} 2\rho(x-y) - 2x & 2\rho(y-x) \\ 2\rho(x-y) & -2y - 2\rho(x-y) \end{bmatrix}.$$

As expressões gerais dos valores próprios,

(3.9) 
$$\Lambda_{\pm} = -x - y \pm \left(x^2 + y^2 - 2xy - 4\rho x^2 + 8\rho xy - 4\rho y^2\right)^{1/2},$$

mostram que estes não dependem dos valores tomados para a e b mas apenas de  $\rho$ . Seja

$$C \equiv \left(\frac{(8.48 + 0.4\rho)^2}{16(4\rho - 1)} + \left(A + \frac{B}{4}\right)^2\right)^{1/2}.$$

Designe as expressões

$$1 \pm 2\left(A + \frac{B}{4} - C\right)^{1/2}$$
 e  $\left(\frac{1}{10} + A + \frac{B}{4} - C\right)^{1/2} \pm \frac{1}{2}$ 

por  $G_{\pm}e$   $H_{\pm}$ , respectivamente. Designe ainda as expressões

$$1 \pm 2\left(A + \frac{B}{4} + C\right)^{1/2}$$
 e  $\left(\frac{1}{10} + A + \frac{B}{4} + C\right)^{1/2} \pm \frac{1}{2}$ 

por  $J_{\pm}$ e  $K_{\pm}$ , respectivamente. Considere os pontos fixos

$$P_1'(x_{-,-},y_{+,-}), P_2'(x_{+,+},y_{+,+}), P_3'(x_{-,+},y_{-,+}) \in P_4'(x_{+,-},y_{-,-})$$

para as variações paramétricas em que estes existem,  $P_1$  e  $P_3$  para  $\rho < 1/4$  e  $P_2$  e  $P_4$  para  $\rho \neq 1/4$ . Os valores próprios para cada um destes pontos, obtidos de (3.9) são os que constam da Tabela 3.1.

Pontos fixos	Valores Próprios
$P_1(-G_+/2, H)$	$\frac{G_{+}}{2} - H_{-} \pm \left[ (1 - 4\rho) \left[ \left( H_{-} + \frac{G_{+}}{4} \right) G_{+} + H_{-}^{2} \right] \right]^{1/2}$
$P_2(-J/2,K)$	$\frac{J_{-}}{2} - K_{-} \pm \left[ (1 - 4\rho) \left[ \left( \frac{J_{-}}{4} + K_{-} \right) J_{-} + K_{-}^{2} \right] \right]^{1/2}$
$P_3(J_+/2, -K_+)$	$K_{+} + \frac{J_{+}}{2} \pm \left[ (1 - 4\rho) \left[ \left( \frac{J_{+}}{4} - K_{+} \right) J_{+} + K_{+}^{2} \right] \right]^{1/2}$
$P_4(-G/2, -H_+)$	$H_{+} + \frac{G_{-}}{2} \pm \left[ (4\rho - 1) \left[ \left( H_{+} - \frac{G_{-}}{4} \right) G_{-} - H_{+}^{2} \right] \right]^{1/2}$

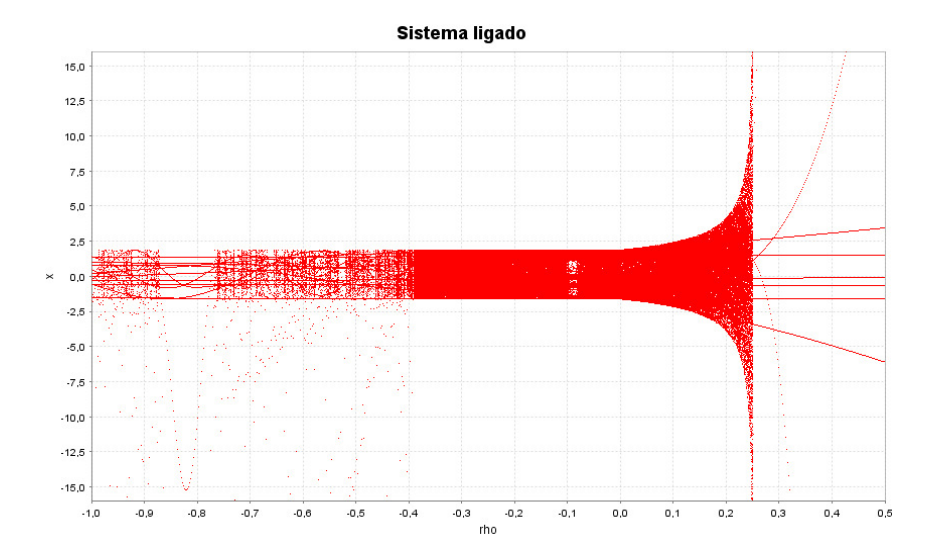


Figura 3.2: Diagrama de bifurcação do sistema ligado (3.5) para  $\rho \in [-1.0, 0.5]$  com a=1.87 e b=1.97

Tabela 3.1: Valores próprios relativos aos pontos fixos do sistema ligado

A partir dos pontos fixos e valores próprios da Tabela 3.1, substituindo para diferentes valores de  $\rho$ , obtem-se toda a dinâmica do sistema ligado (3.5). O diagrama de bifurcação (Fig. 3.2) permite visualizar o comportamento global do sistema (3.5) quando o parâmetro  $\rho$  varia. São visíveis janelas de regularidade (órbitas periódicas estáveis) assim como regiões de comportamento quase-periódico e de comportamento caótico.

# 3.1.2 Estabilidade local da sincronização

A diferença y-x para o sistema ligado (3.5) evolui pela equação às diferenças

$$y_{n+1} - x_{n+1} = b - a + x_n^2 - y_n^2$$

que não depende da força de ligação  $\rho$ .

Com vista a estudar a estabilidade transversal do atractor caótico  $\mathcal{A}$  do sistema ligado (3.5), considere novas variáveis

(3.10) 
$$u = \frac{1}{2}(x+y) \quad e \quad v = \frac{1}{2}(y-x)$$

que definem, respectivamente, a direcção de sincronização e a direcção transversal a esta.

Obtem-se então x = (u - v)/2 e y = (u + v)/2 e (3.5) é reescrito como

$$\begin{cases} u_{n+1} = a + b - \frac{1}{2} (u_n^2 + v_n^2) + 2\rho v_n^2 \\ v_{n+1} = b - a - u_n v_n. \end{cases}$$

Para a = 1.87 e b = 1.97 tem-se o sistema transversal

$$\begin{cases} u_{n+1} = 3.84 - 0.5 (u_n^2 + v_n^2) + 2\rho v_n^2 \\ v_{n+1} = 0.1 - u_n v_n. \end{cases}$$

Os pontos fixos do sistema tranversal, as soluções de

$$\begin{cases} 3.84 - 0.5 (u^2 + v^2) + 2\rho v^2 = u \\ 0.1 - uv = v, \end{cases}$$

são  $P'_1(u,v)$  de coordenadas

$$v = \left[ \frac{4.34}{1 - 4\rho} + \left( \frac{18.8356}{(1 - 4\rho)^2} + \frac{0.01}{4\rho - 1} \right)^{1/2} \right]^{1/2} \quad e \quad u = \frac{1}{10v} - 1,$$

e  $P_2'(-0.1/v-1, -v)$  (obtido das mesmas coordenadas), que estão definidos como números reais para  $\rho > 1/4$  e para  $-470.64 \le \rho < 1/4$ . Para  $\rho = 1/4$  os pontos fixos são (-3.9461, -0.3394) e (1.9461, 0.3394).

A matriz Jacobiana

$$\mathbf{J}(u,v) = \begin{bmatrix} -u & -v + 4\rho v \\ -v & -u \end{bmatrix}$$

da transformação bidimensional

$$\mathbf{G}(u,v) = \left(3.84 - \frac{1}{2}\left(u^2 + v^2\right) + 2\rho v^2, 0.1 - uv\right),\,$$

definida pelo sistema transversal, tem por valores próprios

$$\Lambda_{\pm} = -u \pm \sqrt{v^2 \left(1 - 4\rho\right)}.$$

Se  $\rho < 1/4$  os valores próprios são números reais. O ponto fixo  $P_1'\left(u,v\right)$  é instável pois a condição

$$|\Lambda_{+}| = \left| -u - \sqrt{v^2 (1 - 4\rho)} \right| < 1,$$

equivalente a

$$0 < 0.1/v + \sqrt{v^2 (1 - 4\rho)} < 2,$$

é impossível. De facto, a desigualdade

$$0.1/v + \sqrt{v^2 (1 - 4\rho)} > 0,$$

equivalente a  $\sqrt{1-4\rho} > -0.1/\left(|v|\,v\right) = -0.1/v^2 \ (v>0)$  nunca é verificada. Assim, pelo menos um dos valores próprios relativos tem módulo superior ou igual a 1. O ponto fixo  $P_2'\left(-0.1/v-1,-v\right)$  é instável pois a condição

$$|\Lambda_{+}| = \left| -u + \sqrt{v^2 (1 - 4\rho)} \right| < 1,$$

equivalente a

$$-2 < \frac{1}{10v} + \sqrt{v^2 (1 - 4\rho)} < 0,$$

tem  $0.1/v + \sqrt{v^2 (1 - 4\rho)} < 0$  como condição impossível (v > 0). Como tal, pelo menos um dos valores próprios tem módulo superior ou igual a 1. Se  $\rho > 1/4$  os valores próprios são números complexos. Para qualquer um dos pontos fixos a expressão  $v^2 (1 - 4\rho)$  traduz-se em  $4.34 + (18.8256 + 0.04\rho)^{1/2}$ . Dado que  $\rho > 1/4$  tem-se

$$\sqrt{v^2(1-4\rho)} = \sqrt{4.34 + (18.8256 + 0.04\rho)^{1/2}} > 2.9461.$$

Para  $P'_1(u,v)$  a condição

$$|\Lambda_{+}| = \left| -u - \sqrt{v^2 (1 - 4\rho)} \right| < 1,$$

equivalente a

$$0 < 0.1/v + \sqrt{v^2 (1 - 4\rho)} < 2,$$

é impossível. De facto a desigual dade  $0.1/v + \sqrt{v^2(1-4\rho)} < 2$  nunca é verificada (v>0). Para  $P_2'(-0.1/v-1,-v)$  a condição

$$|\Lambda_{+}| = \left| -u + \sqrt{v^2 (1 - 4\rho)} \right| < 1,$$

equivalente a

$$-2 < 0.1/v + \sqrt{v^2 (1 - 4\rho)} < 0,$$

é impossível. De facto a desigualdade  $0.1/v + \sqrt{v^2 (1 - 4\rho)} < 0$  nunca é verificada (v > 0). Assim, pelo menos um dos valores próprios relativos a cada ponto fixo tem módulo superior ou igual a 1.

A Tabela 3.2 apresenta os pontos fixos do sistema transversal,  $P_1'$  e  $P_2'$ , e os respectivos valores próprios para o parâmetro de controle  $\rho = -470.64$  e  $\rho = 0.25$ .

$P_{i}^{\prime}\left(u,v\right),\Lambda_{\pm}^{P_{i}^{\prime}}$	$\rho = -470.64$	$\rho = 0.25$
$P_1'(0.1/v - 1, v)$	(1.0832, 0.4800)	(1.9799,0)
$P_2'(-0.1/v - 1, -v)$	(-3.0832, -0.4800)	(-3.9799,0)
$\Lambda_+^{P_1'}$	3.2567	-1.9799
$\Lambda^{P_1'}$	-5.4232	-1.9799
$\Lambda_+^{P_2'}$	7.4232	3.9799
$\Lambda_{-}^{P_{2}^{\prime}}$	-1.2567	3.9799

Tabela 3.2: Pontos fixos  $P_{i}'\left(u,v\right)$ e valores próprios  $\Lambda_{\pm}^{P_{i}'}$  para i=1,2

A não existência de pontos fixos estáveis no sistema transversal implica que não é esperada sincronização localmente estável dos sistemas pela ligação em (3.5).

Por outro lado, o sinal do expoente de Lyapunov transversal determina a estabilidade da sincronização. Se  $\lambda_v < 0$  as oscilações sincrónicas são transversalmente estáveis e se  $\lambda_v > 0$  as oscilações sincrónicas são transversalmente instáveis. Verifica-se que o expoente de Lyapunov transversal, assim como o tangencial, é positivo (Fig. 3.3). Para obtenção da Figura 3.3 tomaram-se  $u_0 = 0.15$  e  $v_0 = 0.05$ . Como tal não é alcançada sincronização estável para estas forças de ligação.

#### 3.1.3 Abordagem computational

Considere no sistema ligado (3.5) os parâmetros de controle a=1.87 e b=1.97.

A abordagem computacional efectuada para os diferentes valores de  $\rho$ , em passo de uma décima, a partir de condições iniciais  $x_0 = 0.1$  e  $y_0 = 0.2$  (N = 2000 iterações), mostra que não é alcançada sincronização. Observa-se ainda que, além da não existirem valores de  $\rho$  para os quais a diferença y - x entre as variáveis tende para 0, esta diferença não fica sequer restringida a um intervalo de amplitude inferior a 1. Como tal, também não é alcançada sincroniação prática no sentido de Kapitaniak.

No entanto, sempre que  $\rho \in [-0.39, 0.24]$  a diferença y-x fica restringida a um intervalo limitado (considerando o passo de uma centésima). Tem-se então a nota seguinte.

Nota 1 Para cada  $\rho \in [-0.39, 0.24]$  existe um intervalo limitado  $I_e(\rho)$  de variação da diferença y - x. Não é alcançada sincronização prática pois a amplitude do intervalo

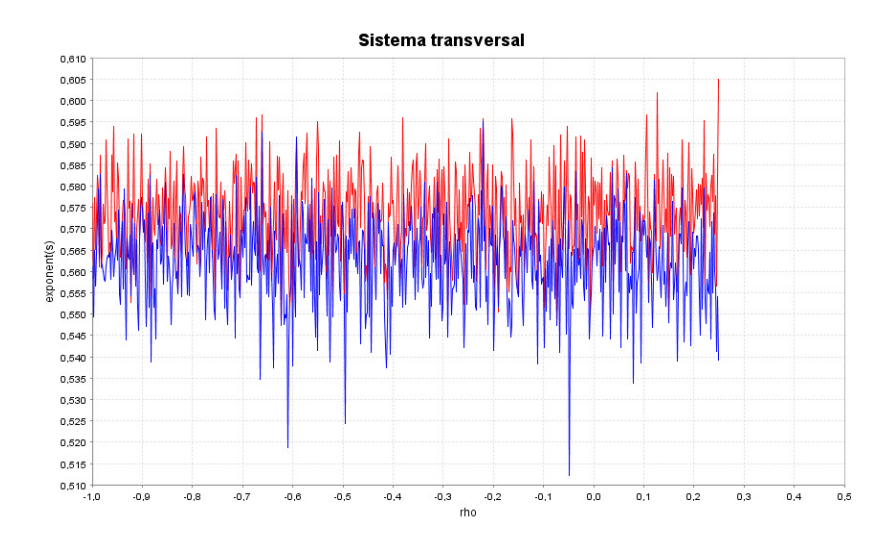


Figura 3.3: Expoentes de Lyapunov do sistema transversal versus  $\rho$  para  $\rho \in [-1.0, 0.5]$  com a=1.87 e b=1.97

 $I_e(\rho)$ , que aumenta quando  $\rho$  aumenta, é superior a 1 (entre 4.59 e 36.78) para todo o  $\rho \in [-0.39, 0.24]$ . Se  $\rho = -0.39$  então a diferença y - x varia no intervalo  $I_e(-0.39) = ]-2.40, 2.19[$  de menor amplitude, 4.59, mas não há evidência de estabilização (Fig. 3.4 a,b).

Em  $\rho = -0.40$  e  $\rho = 0.25$  a diferença y - x explode para infinito.

Considere o gráfico dos expoentes de Lyapunov de (3.5) em função de  $\rho$  obtido com as condições iniciais acima indicadas e N=500 iterações (Fig. 3.5). Os expoentes de Lyapunov de um sistema são uma medida dinâmica de caos que mede a separação das órbitas de condições iniciais próximas quando este evolui. Observa-se a existência de pelo menos um expoente de Lyapunov positivo, característico de comportamento caótico. Além disso, considerando  $\rho$  a tomar valores num intervalo que contem [-0.39, 0.24], o gráfico apenas apresenta valores (significativos) para  $\rho$  neste intervalo. Isto confirma o estabelecido na Nota 1, o intervalo de valores de  $\rho$  para o qual existe um intervalo limitado  $I_e(\rho)$  de variação da diferença y-x.

O estabelecido na Nota 1 também é evidenciado pelo diagrama de bifurcação em função de  $\rho$  (Fig. 3.2) para as mesmas condições iniciais e número de iterações. Observa-se uma mudança significativa no diagrama quando os valores de  $\rho$  se situam no intervalo [-0.39, 0.24].

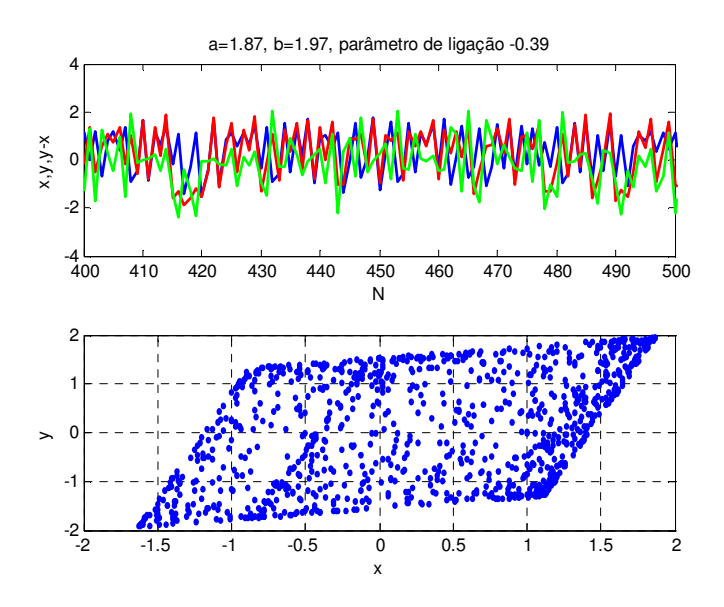


Figura 3.4: Ligação bidireccional em (3.5): (a) séries temporais, (b) atractor caótico

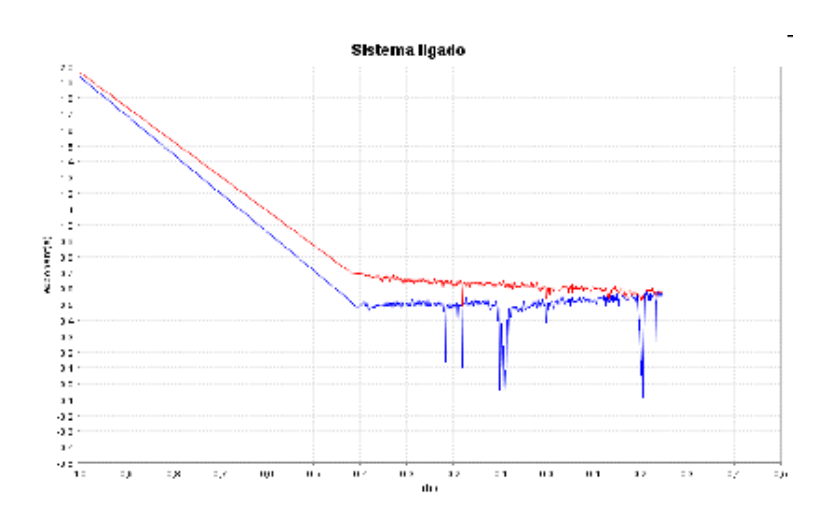


Figura 3.5: Expoentes de Lyapunov do sistema ligado (3.5) versus  $\rho$  para  $\rho \in [-1.0, 0.5] \supset [-0.39, 0.24]$  com a=1.87 e b=1.97

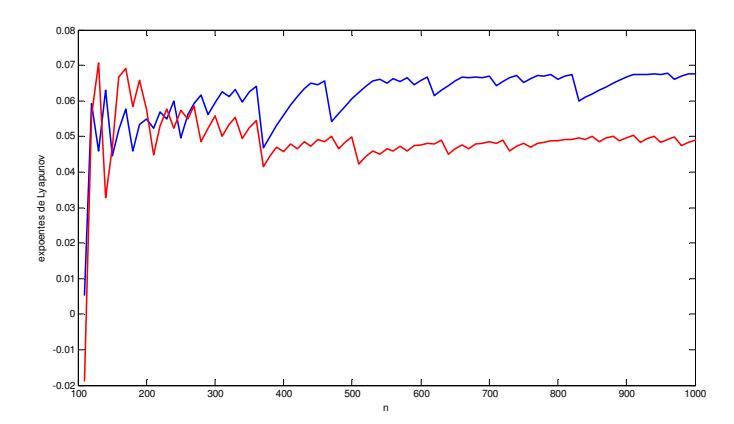


Figura 3.6: Evolução dos expoentes de Lyapunov do sistema ligado (3.5) para a=1.87, b=1.97 e  $\rho=-0.39$ 

## 3.1.4 Sincronização por controle de caos

Considere em (3.5) os parâmetros de controle a=1.87 e b=1.97. Conforme a Nota 1, para  $\rho=-0.39$  é obtido o intervalo  $I_e\left(-0.39\right)=\left]-2.40,2.19\right[$  de variação da diferença y-x de amplitude minimal. Como se pode visualizar pela Figura 3.4a, as séries temporais de (3.5) revelam comportamento caótico para os valores paramétricos em causa. Para reforçar esta observação, consideram-se os expoentes de Lyapunov para o atractor caótico  $\mathcal{A}$  de (Fig. 3.4b) com  $\rho=-0.39$ , e confirma-se que se tornam positivos a partir de certo número de iterações (Fig. 3.6).

Fixados os valores paramétricos acima indicados, aplique-se então a (3.5) uma adaptação da técnica de controle colocação dos pólos desenvolvida por Romeiras et~al.~[72], que estende o método de controle de caos OGY [51], com o objectivo de diminuir a diferença y-x e obter sincronização. A dependência sensível às condições iniciais que caracteriza os sistemas caóticos permite que tal seja possível sem alterar a natureza do sistema controlado (3.5). Considera-se a estabilização de um ponto fixo instável mergulhado no atractor caótico  $\mathcal{A}$ , aplicando pequenas perturbações temporais adequadamente escolhidas num parâmetro acessível do sistema ligado (3.5), de modo que a órbita caótica correspondente a esse ponto seja convertida numa órbita estável contida em  $\mathcal{A}$  (Fig. 3.4b).

Apresentam-se na Tabela 3.3 os pontos fixos de (3.5), e os respectivos valores próprios,

quando  $\rho = -0.39$ .

$P_i$	$\Lambda_1$	$\Lambda_2$
$P_1(-1.3933, 0.4476)$	3.8913	-2.0000
$P_2(0.9558, 0.9898)$	-1.8913	-2.0000
$P_3(-1.9558, -1.9898)$	4.0000	3.8913
$P_4(0.3933, -1.4476)$	3.9999	-1.8913

Tabela 3.3: Pontos fixos  $P_i$ ,  $i=1,\ldots,4$ , e respectivos valores próprios

Todos os pontos fixos são instáveis dado que os respectivos valores próprios têm módulo superior a 1.

Considere no procedimento de controle a estabilização do ponto fixo instável  $P_2$  de coordenadas  $(x_*, y_*) = (0.9558, 0.9898)$ . Dos quatro pontos fixos, apenas  $P_3$  não é significativo por não conduzir ao atractor caótico  $\mathcal{A}$  (Fig. 3.4b). Como parâmetro de controle de caos, usa-se a força de ligação  $\rho$ , considerando que esta é acessível a pequenos ajustes externos, embora restringida a tomar valores num intervalo de pequena amplitude  $\delta$  em torno de  $\rho_0 = -0.39$ ,

$$|\rho - \rho_0| = |\rho + 0.39| < \delta, \quad \delta > 0.$$

Como se expõe de seguida, é possível encontrar uma lei de controle feedback local estabilizadora, definida numa vizinhança V da órbita estável desejada, considerando a aproximação de primeira ordem de (3.5) na órbita do ponto fixo instável  $P_2$  escolhido. Logo que a órbita de  $P_2$  esteja na vizinhança V, o que é garantido pela natureza ergódica da dinâmica caótica de (3.5), é aplicada essa lei com o objectivo de a dirigir para uma órbita estável.

A transformação  $\mathbf{F}$  definida em (3.6) pode ser aproximada na vizinhança do ponto fixo  $P_2$  pela transformação linear

$$\begin{bmatrix} x_{n+1} - x_* \\ y_{n+1} - y_* \end{bmatrix} \simeq D\mathbf{F}(x_*, y_*) \cdot \begin{bmatrix} x_n - x_* \\ y_n - y_* \end{bmatrix} + \mathbf{A} \cdot [\rho - \rho_0]$$

onde  ${\bf A}$  é a matriz Jacobiana de  ${\bf F}$  relativamente ao parâmetro de controle  $\rho$  também calculada no ponto  $P_2$  e para o valor nominal -0.39. Tem-se então

$$\begin{bmatrix} x_{n+1} - 0.9558 \\ y_{n+1} - 0.9898 \end{bmatrix} \simeq \begin{bmatrix} -1.8852 & -0.0264 \\ 0.0264 & -2.0061 \end{bmatrix} \cdot \begin{bmatrix} x_n - 0.9558 \\ y_n - 0.9898 \end{bmatrix} + \begin{bmatrix} 0.0011 \\ 0.0011 \end{bmatrix} \cdot [\rho - \rho_0].$$

Há que verificar se o sistema é controlável. Um sistema dinâmico de dimensão n é controlável se existe uma matriz  $\mathbf{H}$  de ordem  $1 \times n$  tal que  $D\mathbf{F}(x_*, y_*) - \mathbf{A}\mathbf{H}$  tem valores próprios arbitrários em função de  $\mathbf{H}$ . Tal é possível se  $rank(\mathbf{C}) = n$  com

$$\mathbf{C} = \left[ \mathbf{A} : D\mathbf{F}(x_*, y_*) \cdot \mathbf{A} : \left[ D\mathbf{F}(x_*, y_*) \right]^2 \cdot \mathbf{A} : \dots : \left[ D\mathbf{F}(x_*, y_*) \right]^{n-1} \cdot \mathbf{A} \right].$$

A matriz C diz-se a matriz de controlabilidade. Neste caso tem-se

$$\mathbf{C} = [\mathbf{A} : D\mathbf{F}(x_*, y_*) \cdot \mathbf{A}] = \begin{bmatrix} 0.0011 & -0.0022 \\ 0.0011 & -0.0022 \end{bmatrix}$$

de característica 2, logo o sistema é controlável.

Assumindo uma lei de controle feedback linear para o parâmetro  $\rho$  da forma

(3.11) 
$$[\rho - \rho_0] = -\mathbf{H} \cdot \begin{bmatrix} x_n - x_* \\ y_n - y_* \end{bmatrix}$$

onde  $\mathbf{H} \equiv [\begin{array}{cc} h_1 & h_2 \end{array}]$  de ordem  $1 \times 2$ , então a transformação linear vem dada por

$$\begin{bmatrix} x_{n+1} - x_* \\ y_{n+1} - y_* \end{bmatrix} \simeq [D\mathbf{F}(x_*, y_*) - \mathbf{A}\mathbf{H}] \cdot \begin{bmatrix} x_n - x_* \\ y_n - y_* \end{bmatrix}.$$

Sendo

$$\mathbf{AH} {=} \left[ \begin{array}{c} 0.0011 \\ 0.0011 \end{array} \right] {\cdot} \left[ \begin{array}{cc} h_1 & h_2 \end{array} \right] {=} \left[ \begin{array}{cc} 0.0011h_1 & 0.0011h_2 \\ 0.0011h_1 & 0.0011h_2 \end{array} \right],$$

tem-se então

$$\begin{bmatrix} x_{n+1} - 0.9558 \\ y_{n+1} - 0.9898 \end{bmatrix}$$

$$\simeq \begin{bmatrix} -1.8852 - 0.0011h_1 & -0.0264 - 0.0011h_2 \\ 0.0264 - 0.0011h_1 & -2.0061 - 0.0011h_2 \end{bmatrix} \cdot \begin{bmatrix} x_n - 0.9558 \\ y_n - 0.9898 \end{bmatrix}.$$

Isto mostra que o ponto fixo é estável desde que a matriz  $D\mathbf{F}(x_*, y_*) - \mathbf{A}\mathbf{H}$  seja assimptoticamente estável, ou seja, desde que todos os seus valores próprios tenham módulo inferior a 1. Os valores próprios  $\Lambda'_{1,2}$  da matriz  $D\mathbf{F}(x_*, y_*) - \mathbf{A}\mathbf{H}$  dizem-se os pólos regulares e o problema de colocar estes pólos na localização desejada, escolhendo a matriz  $\mathbf{H}$  a partir das matrizes  $D\mathbf{F}(x_*, y_*)$  e  $\mathbf{A}$  dadas, diz-se o problema de colocação dos pólos. Se a matriz de controlabilidade  $\mathbf{C}$  tem característica 2 então este problema tem uma solução única. A solução é dada por

(3.12) 
$$\mathbf{H} = \begin{bmatrix} \alpha_2 - \beta_2 & \alpha_1 - \beta_1 \end{bmatrix} \cdot \mathbf{T}^{-1}$$

onde  $\beta_1$  e  $\beta_2$  são os coeficientes do polinómio característico de  $D\mathbf{F}(x_*, y_*)$ ,  $\alpha_1$  e  $\alpha_2$  são os coeficientes do polinómio característico desejado de  $D\mathbf{F}(x_*, y_*) - \mathbf{A}\mathbf{H}$  e  $\mathbf{T} = \mathbf{C}\mathbf{W}$  com

$$\mathbf{W} = \left[ \begin{array}{cc} \beta_1 & 1 \\ 1 & 0 \end{array} \right].$$

De

$$Det [D\mathbf{F}(x_*, y_*) - \Lambda \mathbf{I}_2] = \Lambda^2 + \beta_1 \Lambda + \beta_2$$
  
=  $\Lambda^2 + 3.8913\Lambda + 3.7827$ 

obtem-se

$$\beta_1 = -(\Lambda_1 + \Lambda_2) = 3.8913$$
 e  $\beta_2 = \Lambda_1 \Lambda_2 = 3.7827$ ,

onde  $\Lambda_1$  e  $\Lambda_2$  são os valores próprios da matriz  $D\mathbf{F}(x_*, y_*)$ . Como tal

$$\mathbf{W} = \left[ \begin{array}{cc} 3.8913 & 1 \\ 1 & 0 \end{array} \right].$$

Analogamente, de

$$Det \left[ D\mathbf{F} \left( x_*, y_* \right) - \mathbf{A}\mathbf{H} - \Lambda' \mathbf{I}_2 \right] = \left( \Lambda' \right)^2 + \alpha_1 \Lambda' + \alpha_2$$

tem-se

$$\alpha_1 = -(\Lambda_1' + \Lambda_2')$$
 e  $\alpha_2 = \Lambda_1' \Lambda_2'$ ,

onde  $\Lambda'_1$  e  $\Lambda'_2$  são os valores próprios da matriz  $D\mathbf{F}(x_*, y_*) - \mathbf{A}\mathbf{H}$ .

Dado que a inversa de

$$\mathbf{T} = \mathbf{CW} = \begin{bmatrix} 0.0011 & -0.0022 \\ 0.0011 & -0.0022 \end{bmatrix} \cdot \begin{bmatrix} 3.8913 & 1 \\ 1 & 0 \end{bmatrix} = \begin{bmatrix} 0.0022 & 0.0011 \\ 0.0022 & 0.0011 \end{bmatrix}$$

é dada por

$$\mathbf{T}^{-1} = \left[ \begin{array}{cc} -11903.2868 & -12779.9197 \\ -24431.8230 & 25299.5280 \end{array} \right].$$

a equação (3.12) vem como

$$\mathbf{H} = \left[ \begin{array}{ccc} \Lambda_1' \Lambda_2' - 3.7827 & -\Lambda_1' - \Lambda_2' - 3.8913 \end{array} \right] \cdot \left[ \begin{array}{ccc} -11903.2868 & -12779.9197 \\ -24431.8230 & 25299.5280 \end{array} \right].$$

Como tal os elementos  $h_1$  e  $h_2$  da matriz  $\mathbf{H}$  são

$$h_1 = -11903.2868\Lambda'_1\Lambda'_2 + 24431.8230(\Lambda'_1 + \Lambda'_2) + 140100.1318$$

e

$$h_2 = -12779.9197\Lambda'_1\Lambda'_2 - 25299.5280(\Lambda'_1 + \Lambda'_2) - 50106.7117.$$

Visto que o sistema ligado (3.5) é não-linear, a aplicação de controle apenas é bem sucedida numa vizinhança V suficientemente pequena em torno do ponto fixo  $P_2$ . Designe-se por  $\mathbf{B}$  a matriz produto de  $\mathbf{H}$  pela transposta de  $\begin{bmatrix} x_{n+1} - x_* & y_{n+1} - y_* \end{bmatrix}$ . Atendendo ao desvio máximo  $\delta$  permitido a partir de  $\rho_0 = -0.39$  e à equação (3.11), tem-se

$$S_{\mathbf{H}} = \{(x_n, y_n) \in \mathbb{R}^2 \mid \det \mathbf{B} \le \delta\}$$

como o domínio no qual se aplica (ao qual está restringido) o controle. O dominio  $S_{\mathbf{H}}$  define uma faixa, de largura  $2\delta/\det \mathbf{B}$ , de pontos  $(x_n, y_n)$  para os quais se activa a lei de controle (3.11), enquanto para pontos  $(x_n, y_n)$  fora de  $S_{\mathbf{H}}$  o parâmetro de controle  $\rho$  mantém o valor nominal  $\rho_0$ .

Qualquer escolha de pólos regulares no interior do círculo unitário serve os objectivos de controle. Embora existam muitas escolhas possíveis da matriz  $\mathbf{H}$ , é razoável escolher  $\mathbf{H}$  de tal modo que todos os valores próprios  $\Lambda'_1$  e  $\Lambda'_2$  de  $D\mathbf{F}(x_*, y_*) - \mathbf{A}\mathbf{H}$  sejam nulos. Desse modo, o objectivo é alcançado pelo menos após N iterações e é obtida uma órbita periódica estável fora da evolução caótica da dinâmica.

Escolha-se então a matriz  ${\bf H}$  que verifica  $\Lambda_1'=\Lambda_2'=0$ . Tem-se  $\Lambda_1'+\Lambda_2'=0$  e  $\Lambda_1'\Lambda_2'=0$  pelo que

$$\mathbf{H} = \begin{bmatrix} h_1 & h_2 \end{bmatrix} = \begin{bmatrix} 140100.1318 & -50106.7117 \end{bmatrix}.$$

Para estes valores de  $h_1$  e  $h_2$  fica garantida a estabilização da órbita caótica. Esta estabilização é equivalente à obtenção de sincronização prática do sistema ligado (3.5), a qual não é imediata sem controle de caos (Fig. 3.4 a,b).

# 3.2 Caso particular da ligação entre transformações idênticas

Considere no sistema ligado (3.5) o caso particular em que os parâmetros de controle satisfazem a=b,

(3.13) 
$$\begin{cases} x_{n+1} = a - x_n^2 + \rho (x_n - y_n)^2 \\ y_{n+1} = a - y_n^2 + \rho (x_n - y_n)^2 \end{cases}$$

Pretende-se estabelecer a comparação desta ligação de sistemas idênticos, onde há simetria, com a ligação anterior com ausência desta.

O sistema corresponde à equação às diferenças  $(x_{n+1}, y_{n+1}) = \mathbf{F}(x_n, y_n)$ , onde  $\mathbf{F}$  é a transformação bidimensional definida em (3.6) com a = b,

$$\mathbf{F}(x,y) = (a - x^2 + \rho (x - y)^2, a - y^2 + \rho (x - y)^2).$$

#### 3.2.1 Análise da dinâmica do sistema ligado

Considere  $a>a^*\simeq 1.565$ . Os pontos fixos do sistema ligado (3.13), as soluções de  $\mathbf{F}(x,y)=(x,y)$ , são

(3.14) 
$$P_1(x_1, y_1) = \left(-\frac{1}{2} + \left(\frac{1}{4} + a\right)^{1/2}, -\frac{1}{2} + \left(\frac{1}{4} + a\right)^{1/2}\right)$$

e

(3.15) 
$$P_2(x_2, y_2) = \left(-\frac{1}{2} - \left(\frac{1}{4} + a\right)^{1/2}, -\frac{1}{2} - \left(\frac{1}{4} + a\right)^{1/2}\right)$$

sobre a diagonal principal x = y e, para  $\rho \neq 1/4$ , também

$$P_3(x_3, y_3) = \left(-\frac{1}{2} + \left(\frac{1}{4} - \frac{a+\rho}{4\rho - 1}\right)^{1/2}, -\frac{1}{2} - \left(\frac{1}{4} - \frac{a+\rho}{4\rho - 1}\right)^{1/2}\right)$$

e

$$P_4(x_4, y_4) = \left(-\frac{1}{2} - \left(\frac{1}{4} - \frac{a+\rho}{4\rho - 1}\right)^{1/2}, -\frac{1}{2} + \left(\frac{1}{4} - \frac{a+\rho}{4\rho - 1}\right)^{1/2}\right).$$

Nota-se que as coordenadas de cada ponto fixo  $P_i$ , i=1,2,3, verificam  $x_{i+1}=-x_i-1$  e  $y_{i+1}=-y_i-1$ . Os pontos  $P_1$  e  $P_2$ , que não dependem do parâmetro de ligação  $\rho$ , estão bem definidos como números reais dado que  $a \geq -1/4$ . Os pontos  $P_3$  e  $P_4$  estão bem definidos como números reais para  $\rho < 1/4$  visto que  $a \geq -1/4$  (também para  $\rho > 1/4$  quando  $a \leq -1/4$ ). Por exemplo, para a=1.97>-1/4 e  $\rho=-338.29<1/4$  os pontos fixos são

$$P_1(0.9899, 0.9899), P_2(-1.9899, -1.9899)$$
  
 $P_3(-0.4595, -0.5404) e P_4(-0.5404, -0.4595).$ 

Continuam válidas as expressões em (3.9) para os valores próprios da matriz Jacobiana de  $\mathbf{F}$ . No entanto, o cálculo a partir de (3.8) de  $D\mathbf{F}(P_1)$  e  $D\mathbf{F}(P_2)$ ,

$$\begin{bmatrix} 1 - \sqrt{1+4a} & 0 \\ 0 & 1 - \sqrt{1+4a} \end{bmatrix} e \begin{bmatrix} 1 + \sqrt{1+4a} & 0 \\ 0 & 1 + \sqrt{1+4a} \end{bmatrix},$$

respectivamente, permite obter de imediato a expressão dos valores próprios respectivos. O ponto fixo  $P_1$  é sempre instável para os valores de a em estudo, pois o valor próprio real (note que  $a \ge -1/4$ )  $1 - \sqrt{1+4a}$ , de multiplicidade algébrica 2, tem módulo inferior a 1 apenas para -1/4 < a < 3/4. O ponto fixo  $P_2$  é sempre instável, pois o valor próprio real  $1 + \sqrt{1+4a}$ , de multiplicidade algébrica 2, tem módulo superior ou igual a 1 para todo  $a \ge -1/4$ . Para os pontos fixos  $P_3$  e  $P_4$  tem-se

$$D\mathbf{F}(P_3) = \begin{bmatrix} 1 + (2\rho - 1)\sqrt{1 - A} & -2\rho\sqrt{1 - A} \\ 2\rho\sqrt{1 - A} & 1 - (2\rho - 1)\sqrt{1 - A} \end{bmatrix}$$

e

$$D\mathbf{F}(P_4) = \begin{bmatrix} 1 - (2\rho - 1)\sqrt{1 - A} & 2\rho\sqrt{1 - A} \\ -2\rho\sqrt{1 - A} & 1 + (2\rho - 1)\sqrt{1 - A} \end{bmatrix}$$

respectivamente, em que  $A \equiv 4 \left( a + \rho \right) / (4\rho - 1)$ . As duas matrizes têm os mesmos valores próprios, os números reais (note que  $a \ge -1/4$  e  $\rho < 1/4$ )

$$\Lambda_{\pm} = 1 \pm \sqrt{(1 - 4\rho)(1 - A)}$$
.

Dado que o valor próprio  $\Lambda_+$  tem módulo superior ou igual a 1, os pontos fixos  $P_3$  e  $P_4$  são sempre instáveis. Conclui-se assim que o sistema ligado não possui pontos fixos atractores.

Segue-se o diagrama de bifurcação (Fig. 3.7) de (3.13) para  $\rho \in [-350, 10]$  com a = 1.97, que evidencia o comportamento caótico do sistema ligado.

#### 3.2.2 Estabilidade local da sincronização

Seja  $a>a^*\simeq 1.565$ . A evolução da diferença y-x para o sistema ligado (3.13) é descrita pela equação às diferenças

$$y_{n+1} - x_{n+1} = x_n^2 - y_n^2$$

que não depende da força de ligação  $\rho$ . A equação  $y_{n+1} - x_{n+1} = 0$  é equivalente a

$$(3.16) y_n = x_n \quad \lor \quad y_n = -x_n,$$

Tomando condições iniciais  $x_0$  e  $y_0$  que verifiquem uma das condições (3.16), obtem-se sincronização assimptótica para uma ampla variação dos parâmetros de ligação.

Conforme mostra a análise da diferença y-x entre as variáveis, e é confirmado pelas simulações computacionais que se relatam em secção posterior, é válida a proposição seguinte.

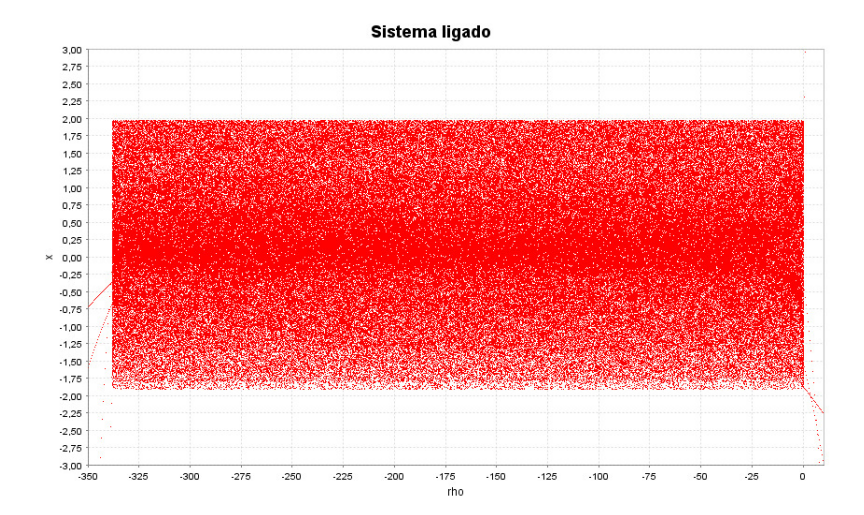


Figura 3.7: Diagrama de bifurcação do sistema ligado (3.13) para  $\rho \in [-350, 10]$  com a=1.97

**Proposição 3.2.1** Fixados um valor de a e condições iniciais  $x_0$  e  $y_0$  tais que  $y_0 = -x_0$ , existe um intervalo  $I(a, x_0, y_0)$  de valores de  $\rho$  para os quais é alcançada sincronização assimptótica estável em (3.13).

Considere a equação às diferenças  $(x_{n+1}, y_{n+1}) = \mathbf{F}(x_n, y_n)$  correspondente ao sistema ligado (3.13). Esta equação é **T**-invariante relativamente à transformação linear  $\mathbf{T} : \mathbb{R}^2 \to \mathbb{R}^2$  definida por  $\mathbf{T}(x, y) = (y, x)$ ,

$$\mathbf{T}(x_{n+1}, y_{n+1}) = \mathbf{F}(\mathbf{T}(x_n, y_n)).$$

A transformação **T** revela a existência de simetria na ligação em (3.13). Como tal, é possível considerar o subespaço invariante da equação  $(x_{n+1}, y_{n+1}) = \mathbf{F}(x_n, y_n)$  dado por

$$\mathcal{M} = \left\{ (x, y) \in \mathbb{R}^2 \mid x = y \right\},\,$$

designado por subespaço T-invariante, e o seu subespaço T-invariante transversal.

Para analisar o comportamento das soluções no subespaço **T**-invariante  $\mathcal{M}$  e no subespaço transversal a  $\mathcal{M}$ , considere as variáveis (3.10) que definem a direcção de sincronização u que caracteriza  $\mathcal{M}$  e a direcção v transversal a esta. Nesta mudança de variáveis são válidas as relações x = (u - v)/2 e y = (u + v)/2 e (3.13) é reescrito como

(3.17) 
$$\begin{cases} u_{n+1} = 2a - \frac{1}{2} (u_n^2 + v_n^2) + 2\rho v_n^2 \\ v_{n+1} = -u_n v_n. \end{cases}$$

Resolvendo o sistema de equações

(3.18) 
$$\begin{cases} 2a - \frac{1}{2}(u^2 + v^2) + 2\rho v^2 = u \\ -uv = v \end{cases}$$

obtêm-se os pontos fixos do sistema tranversal (3.17). Obtem-se da segunda equação de (3.18) que (u+1)v=0. A anulação de v corresponde à sincronização entre as variáveis x e y, embora a trajectória se situe na direcção de sincronização u. Tem-se então os pontos fixos sincronizados (v=0)

$$P'_1(u_1, v_1) = (-1 + \sqrt{1 + 4a}, 0)$$
 e  $P'_2(u_2, v_2) = (-1 - \sqrt{1 + 4a}, 0)$ 

definidos como números reais para qualquer valor de  $\rho$  (note que  $a \ge -1/4$ ). Nota-se que o sistema transversal (3.17) tem ainda os pontos fixos

$$P_3'(u_3, v_3) = \left(-1, \sqrt{(1+4a)/(1-4\rho)}\right)$$

е

$$P_4'(u_4, v_4) = \left(1, -\sqrt{(1+4a)/(1-4\rho)}\right)$$

para  $\rho < 1/4$  visto que  $a \ge -1/4$  e (também para  $\rho > 1/4$  quando  $a \le -1/4$ ).

A matriz Jacobiana

$$\mathbf{J}(u,v) = \begin{bmatrix} -u & -v + 4\rho v \\ -v & -u \end{bmatrix}$$

da transformação bidimensional

$$\mathbf{H}(u,v) = \left(2a - \frac{1}{2}(u^2 + v^2) + 2\rho v^2, -uv\right),$$

definida por (3.17), tem por valores próprios

$$\Lambda_{\pm} = -u \pm \sqrt{v^2 \left(1 - 4\rho\right)}.$$

No entanto, num ponto fixo sincronizado tem-se

$$\mathbf{J}\left(u,0\right) = \left[ \begin{array}{cc} -u & 0\\ 0 & -u \end{array} \right]$$

com um único valor próprio de multiplicidade algébrica 2, o número real -u. O ponto fixo  $P_2'$  é sempre instável pois o valor próprio  $1+\sqrt{1+4a}$  de  $\mathbf{J}$   $(u_2,0)$  verifica  $|1+\sqrt{1+4a}| \geq 1$  para todo  $a \geq -1/4$ . A matriz  $\mathbf{J}$   $(u_1,0)$  tem  $1-\sqrt{1+4a}$  como valor próprio e o seu módulo é inferior a 1 apenas quando -1/4 < a < 3/4. Como tal o ponto fixo  $P_1'$  é sempre instável para os valores de a em estudo.

Observação 2 A direcção u de  $u_1$  mantém-se estável para -1/4 < a < 3/4. O sistema transversal (3.17) tem então um ponto fixo estável para  $a \in ]-1/4, 3/4[$ , e qualquer que seja a força de ligação  $\rho$ , na vizinhança do qual é esperada sincronização idêntica dos sistemas. Nota-se que neste intervalo de variação de a, as transformações componentes do sistema ligado (3.13) são periódicas. Assim, é obtida sincronização assimptótica periódica no sistema ligado (3.13), para qualquer força de ligação  $\rho$ , sempre que a toma valores no intervalo ]-1/4, 3/4[ (Fig. 3.8 a-d). A Figura 3.8(a-d) mostra as simulações efectuadas com N=500 iterações e força de ligação  $\rho=0.01$ , para a=-0.24 e a=0.74, a partir de condições iniciais diferentes  $x_0=0.1$  e  $y_0=0.2$ . Nota-se que o sistema ligado (3.13) tem comportamento periódico quando a=-0.24.

A Tabela 3.4 apresenta os pontos fixos <sup>2</sup> para estes parâmetros de controle.

$P_i$	a = -0.24	a = 0.74
$P_1\left(x_1,y_1\right)$	(-0.4000, -0.4000)	(0.4949, 0.4949)
$P_2\left(x_2,y_2\right)$	(-0.6000, -0.6000)	(-1.4949, -1.4949)
$P_3\left(x_3,y_3\right)$	(-0.3979, -0.6020)	(0.5155, -1.5155)
$P_4\left(x_4,y_4\right)$	(-0.6020, -0.3979)	(-1.5155, 0.5155)

Tabela 3.4: Pontos fixos  $P_i$  de (3.13),  $i = 1, \dots, 4$  para a = -0.24 e a = 0.74

Para a = -0.24 e a = 0.74 o sistema ligado (3.13) estabiliza no ponto fixo estável  $P_1$  (temse o valor próprio 0.8000 quando a = -0.24, e o valor próprio -0.9899 quando a = 0.74) sobre a diagonal principal, embora possua ainda os pontos fixos instáveis  $P_i$ , i = 1, 2, 3.

Em a=3/4 o ponto fixo  $P'_1$  sofre uma bifurcação de duplicação de período dado que  $\Lambda_+=-1$ . Por esta bifurcação o ponto fixo  $P'_1$  torna-se instável na direcção transversal v (tipo sela). Este ponto sela sofre ainda bifurcações numa cascata de duplicação de período e, para valores de a suficientemente grandes, é obtido caos sincronizado instável mergulhado em caos assincrónico.

Por outro lado, o estudo dos expoentes de Lyapunov do sistema transversal (3.17) confirma o exposto. Para -1/4 < a < 3/4 o expoente de Lyapunov transversal, assim como o tangencial, é negativo (Fig. 3.9). Para obtenção da Figura 3.9 tomaram-se  $u_0 = 0.15$  e  $v_0 = 0.05$ . Sendo  $\lambda_v < 0$  as oscilações sincrónicas são transversalmente estáveis, ou seja, é alcançada sincronização estável. Quando as oscilações caóticas são sincrónicas, o vector

<sup>&</sup>lt;sup>2</sup>Nota-se que, para a = -0.24, os pontos fixos do sistema transversal são  $P_1' = (-1.2000, 0), P_2' = (-0.8000, 0), P_3' = (-1, 0.2041)$  e  $P_4' = (-1, -0.2041)$ , pois  $a \ge -1/4$  e  $\rho$  é menor do que 1/4. Para a = 0.74 os pontos fixos do sistema transversal são  $P_1' = (-2.9899, 0), P_2' = (0.9899, 0), P_3' = (-1, 2.0310)$  e  $P_4' = (-1, -2.0310)$ , pois  $a \ge -1/4$  e  $\rho$  é menor do que 1/4.

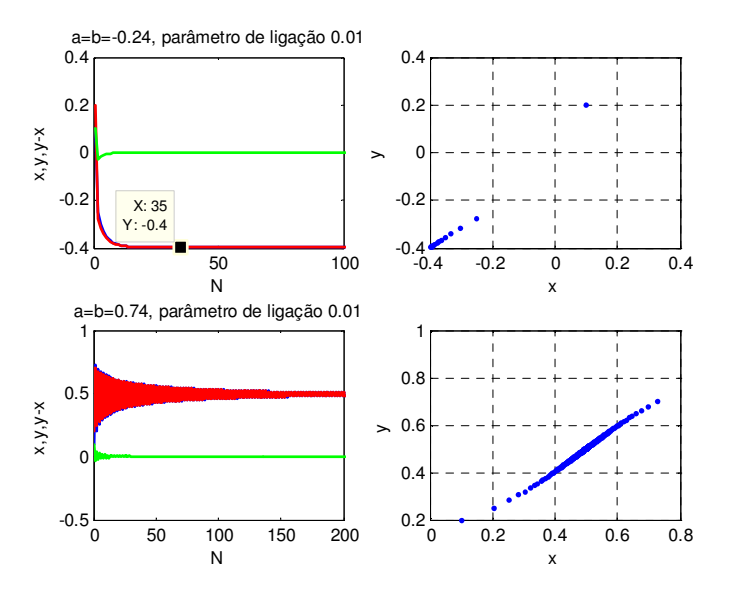


Figura 3.8: Ligação bidireccional em (3.13): (a,c) séries temporais, (b,d) hiperplanos de sincronização

próprio do expoente de Lyapunov tangencial  $\lambda_u$  é tangente ao subespaço simétrico x=y. Sendo  $\lambda_u < 0$  as oscilações são periódicas.

Se o parâmetro de controle a toma valores que correspondem a comportamento caótico, o expoente de Lyapunov transversal, assim como o tangencial, é positivo após um certo número de iterações (do sistema transversal (3.17)) (Fig. 3.10). A Figura 3.10 foi obtida com  $u_0 = 0.15$  e  $v_0 = 0.05$ . Sendo  $\lambda_v > 0$  as oscilações sincrónicas não são transversalmente estáveis e não é alcançada sincronização estável.

## 3.2.3 Abordagem computational

Em primeiro lugar são apresentados alguns gráficos que ilustram o estabelecido na Proposição 3.2.1 por análise da diferença y-x entre as variáveis x e y. Para tal foram efectuadas simulações computacionais com N=500 iterações a partir de condições iniciais diferentes considerando  $\rho$  em passo de uma centécima. Fixando a=1.97, é alcançada sincronização assimptótica estável quando  $\rho \in I(1.97,0.1,-0.1)=[-98.74,0.74]$  (Fig. 3.12 a-b) sempre que  $x_0=0.1$  e  $y_0=-0.1$ . Para valores de  $\rho$  fora deste intervalo, observa-se explosão para infinito.

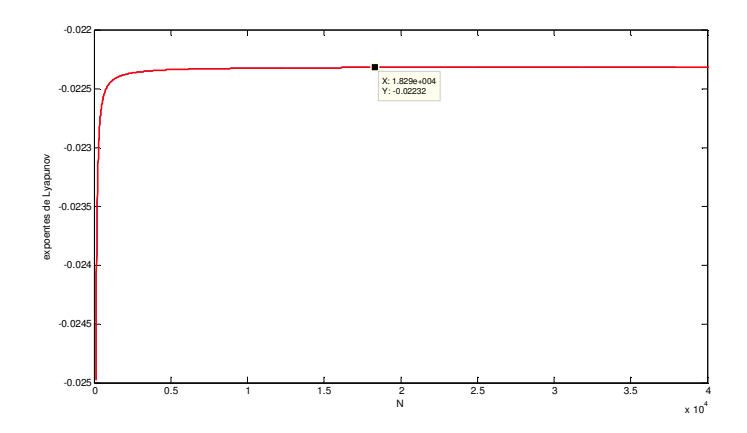


Figura 3.9: Evolução dos expoentes de Lyapunov do sistema transversal (3.17) para  $\rho=0.01$  e a=-0.24

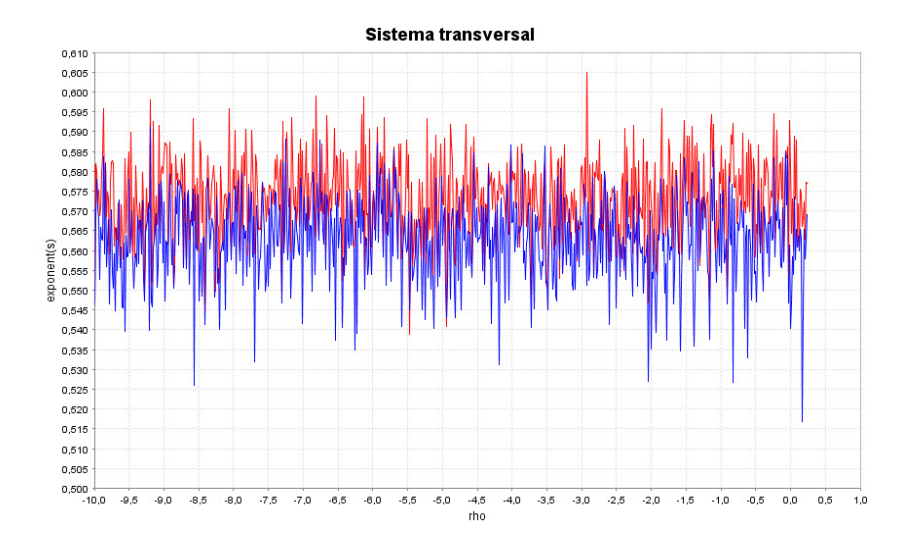


Figura 3.10: Expoentes de Lyapunov do sistema transversal (3.17) versus  $\rho$  para  $\rho \in [-10,1]$  e a=1.97

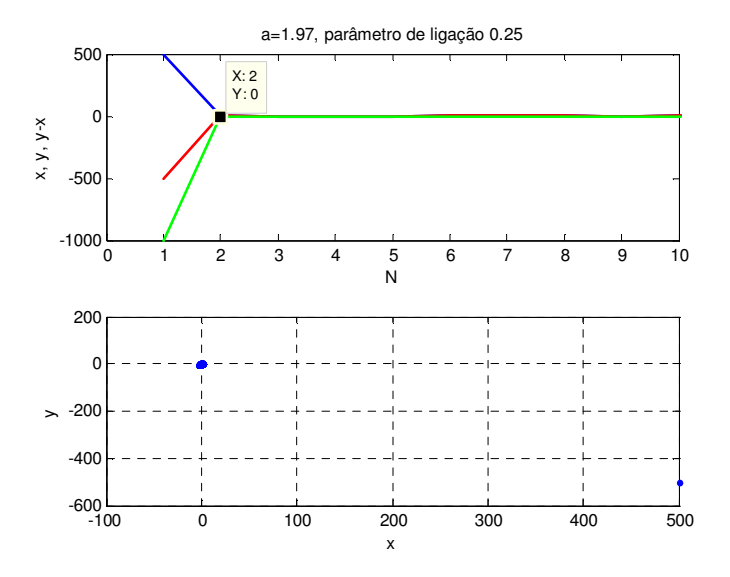


Figura 3.11: Ligação bidireccional em (3.13): (a) séries temporais, (b) atractor caótico

Considerando condições iniciais diferentes  $x_0 = 0.11$  e  $y_0 = -0.11$  tem-se, para a = 1.97, o intervalo  $I(1.97, 0.11, -0.11) = [-81.56, 0.66] \subset [-98.74, 0.74]$ . Quando se aumenta a diferença entre as condições iniciais  $x_0$  e  $y_0 = -x_0$ , obtêm-se intervalos  $I(1.97, x_0, -x_0)$  de valores de  $\rho$  de menor amplitude. Na Tabela 3.5 são apresentados estes intervalos para alguns valores de  $x_0$ .

$x_0$	0.2	0.7	0.8	9.9
$I(1.97, x_0, -x_0)$	[-24.49, 0.37]	[-1.77, 0.26]	[-1.29, 0.25]	[0.24, 0.25]

Tabela 3.5: Intervalos  $I(1.97, x_0, -x_0)$  para diferentes valores de  $x_0$ .

Para  $x_0 > 0.7$ , considerando o passo de uma décima, todos os intervalos  $I(1.97, x_0, -x_0)$  têm como extremo superior o valor  $\rho = 0.25$ . Para qualquer valor  $x_0 > 9.9$ , considerando o passo de uma décima, apenas é obtida sincronização para  $\rho = 0.25$  (considerando o passo de uma centésima), ou seja, tem-se  $I(1.97, x_0, -x_0) = \{0.25\}$ . A Figura 3.11 mostra os resultados de sincronização obtidos para  $x_0 = 500$ . Pelo exposto, conclui-se que está garantida a sincronização dos sistemas para  $\rho = 1/4$  quaisquer que sejam as condições iniciais simétricas, que distem entre si um valor tão elevado quanto se queira. Não foi possivel, por enquanto, encontrar uma explicação analítica para a obtenção de sincronização localmente estável para qualquer valor de  $x_0$  quando  $\rho$  toma o valor 1/4.

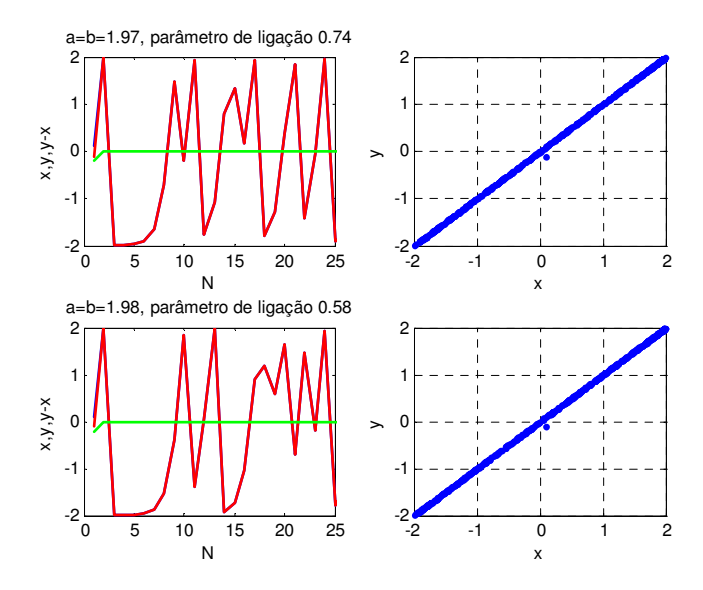


Figura 3.12: Ligação bidireccional em (3.13): (a,c) séries temporais, (b,d) hiperplanos de sincronização

Uma pequena alteração do valor de a traduz-se em alteração do intervalo I(a, 0.1, -0.1). De facto, considerando a = 1.98 tem-se I(1.98, 0.1, -0.1) = [-99.08, 0.58] (Fig. 3.12 c-d)

O estudo da estabilidade local da sincronização apenas conduziu a conclusões em sincronização periódica. Apresenta-se de seguida o estudo efectuado tomando a=1.97 no sistema ligado (3.13), um valor paramétrico que conduz a comportamento caótico nas transformações.

As simulações efectuadas com N=2000 iterações a partir de condições iniciais diferentes  $x_0=0.1$  e  $y_0=0.2$  mostram que, embora o sistema ligado (3.13) seja simétrico, também neste caso não são encontrados valores de  $\rho$  para os quais a diferença y-x tende para 0. No entanto, para cada  $\rho \in [-338.29, 0.24]$  esta diferença fica restringida a um intervalo limitado (considerando o passo de uma centésima). A nota seguinte estabelece o intervalo  $I_K$  de valores de  $\rho$  para os quais a diferença y-x fica restringida a um intervalo de amplitude inferior a 1.

Nota 3 Para cada  $\rho \in [-338.29, 0.24]$  existe um intervalo limitado  $I_e(\rho)$  no qual varia a diferença y-x. A amplitude do intervalo  $I_e(\rho)$ , entre 0.22 e 38.80, aumenta quando  $\rho$  varia de -338.29 a 0.24. Para  $\rho \in I_K = [-338.29, -14.77]$  a amplitude de  $I_e(\rho)$  é inferior a 1 sendo, portanto, alcançada sincronização prática para valores de  $\rho$  neste intervalo (Fig.

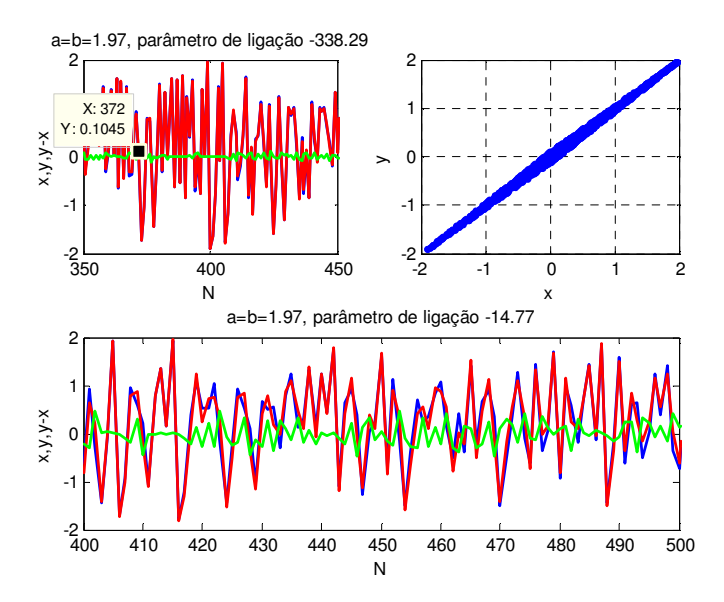


Figura 3.13: Ligação bidireccional em (3.13): (a,c) séries temporais, (b) atractor caótico

3.13 a-c). Se  $\rho = -338.29$  então o erro de sincronização e = y - x varia no intervalo  $I_e(-0.39) = ]-0.11, 0.11[$  de menor amplitude em torno de 0, 0.22 (Fig. 3.13 a,b).

Em  $\rho = -338.30$  e  $\rho = 0.25$  a diferença y-x explode para infinito. Nota-se que, embora a ligação em (3.13) seja simétrica, a amplitude do intervalo  $I_e$  (0.24) = ]-19.41, 19.39[ é superior à obtida acima para transformações não-idênticas (com a = 1.87 e b = 1.97 tem-se  $I_e$  (0.24) = ]-18.50, 18.28[). No entanto, a amplitude de  $I_e$  (-0.39) é inferior à obtida na ligação assimétrica (3.5).

A Tabela 3.6 apresenta o intervalo  $I_e(\rho)$ , de amplitude inferior a 1, para alguns valores de  $\rho$ .

$\rho$	-311.03	-300	-100	-20
$I_{e}\left(  ho  ight)$	]-0.11, 0.11[	]-0.12, 0.12[	]-0.20, 0.20[	]-0.44, 0.43[

Tabela 3.6: Intervalos  $I_e(\rho)$  de amplitude de inferior a 1

As variações para  $\rho$  expostas na Nota 3 são evidenciadas pelo diagrama de bifurcação (Fig. 3.7) e pelo gráfico dos expoentes de Lyapunov em função de  $\rho$  (Fig. 3.14) em que se considera  $\rho \in [-350, 10] \supset [-338.29, 0.24]$  com N = 500 iterações. Estas Figuras confirmam a natureza caótica de (3.13).

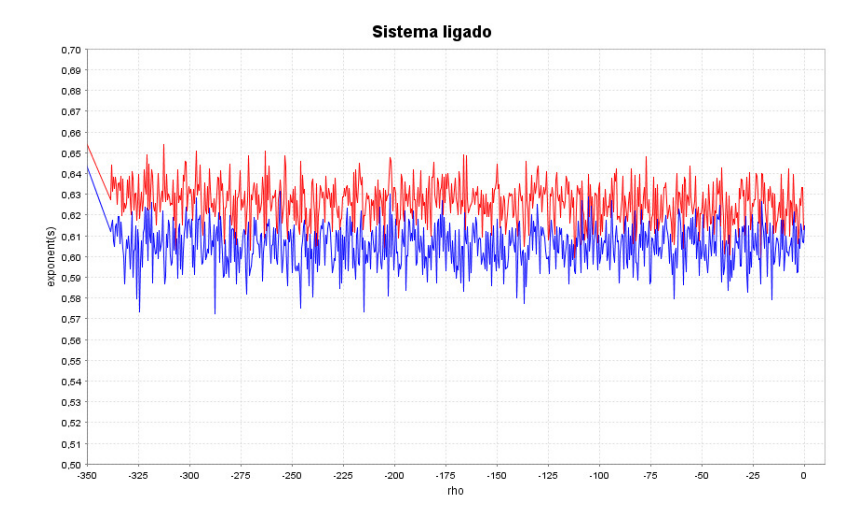


Figura 3.14: Expoentes de Lyapunov do sistema ligado (3.13) versus  $\rho$  para  $\rho \in [-350, 10] \supset [-338.29, 0.24]$  e a=1.97

# 3.2.4 Aplicação de controle de caos

Segue-se um método para construção de um controlador que estabilize a dinâmica caótica do sistema sincronizado pela ligação em (3.13). Este método usa as propriedades dos subespaços invariantes garantidos pela simetria de (3.13) e conta com a equação variacional

$$u_n = u_0 + \delta_n \quad \wedge \quad v_n = v_0 + \xi_n$$

para o sistema (3.18) que caracteriza os pontos fixos sincronizados (u, 0).

A dinâmica em torno de um ponto fixo  $(u_0, 0)$  no subespaço invariante  $\mathcal{M}$  pode ser descrita pelas equações às diferenças

$$\delta_{n+1} = -u_0 \delta_n$$

e

$$\xi_{n+1} = -u_0 \xi_n,$$

obtidas da matriz Jacobiana  $\mathbf{J}(u_0,0)$  pela relação

$$\left[\begin{array}{c} \delta_{n+1} \\ \xi_{n+1} \end{array}\right] = \left[\begin{array}{cc} -u_0 & 0 \\ 0 & -u_0 \end{array}\right] \cdot \left[\begin{array}{c} \delta_n \\ \xi_n \end{array}\right].$$

Se o ponto fixo  $(u_0, v_0)$  é instável para a direcção u, a equação (3.20) deve ser uma equação às diferenças instável. Para mudar esta estabilidade de caos sincronizado mergulhado no atractor caótico assincrónico, interessa obter um controlador que estabilize

apenas a equação (3.20) e mantenha livre a equação (3.19). Tal pode ser conseguido por um método análogo ao método OGY [51] sobre o princípio do controlador, o que constitui uma redução do problema da sincronização à estabilização para a origem da equação às diferenças unidimensional (3.20). Este método é conceptualmente diferente e mais geral pois suprime a dinâmica dos subespaços invariantes instáveis.

Estando o parâmetro  $\rho$  presente no lado direito do sistema (3.17), aplica-se o controle da equação às diferenças (3.20) na origem por pequenas perturbações do parâmetro  $\rho$ . Contudo a segunda equação do sistema (3.17) mostra que qualquer feedback das perturbações de parâmetro para  $\rho$  serão anuladas na direcção u, ou seja, o sistema (3.17) não é controlável pelo parâmetro original  $\rho$ . Introduz-se então um novo parâmetro  $\omega$  às equações do sistema original (3.13),

$$\begin{cases} x_{n+1} = a - x_n^2 + \rho (x_n - y_n)^2 - \omega \\ y_{n+1} = a - y_n^2 + \rho (x_n - y_n)^2 + \omega. \end{cases}$$

Pela mudança de variáveis (3.10) obtem-se então

$$\begin{cases} u_{n+1} = 2a - \frac{1}{2} (u_n^2 + v_n^2) + 2\rho v_n^2 \\ v_{n+1} = 2\omega - u_n v_n. \end{cases}$$

Designando  $2a - (u^2 + v^2)/\sqrt{2} + 2\rho v^2$  e  $2\omega - u_n v_n$  por  $g_1$  e  $g_2$ , respectivamente, as variações para  $\omega$  são dadas pela matriz das derivadas parciais

$$\mathbf{B} = \begin{bmatrix} \frac{\partial g_1}{\partial \omega} \\ \frac{\partial g_2}{\partial \omega} \end{bmatrix} = \begin{bmatrix} 0 \\ 2 \end{bmatrix}.$$

Assumindo que  $w_n$  são perturbações de  $\omega$ , a equação variacional pode ser escrita como

Para a sincronização de caos, aplica-se agora o estado feedback apenas à equação (3.20) para estabilizar a origem  $\xi_0 = 0$ . Define-se então

(3.22) 
$$[w_n] = \mathbf{C}^T \cdot \begin{bmatrix} \delta_n \\ \xi_n \end{bmatrix} = \begin{bmatrix} c_1 & c_2 \end{bmatrix} \cdot \begin{bmatrix} \delta_n \\ \xi_n \end{bmatrix} = c_1 \delta_n + c_2 \xi_n$$

através de um vector de controle  $\mathbf{C}^T = (c_1, c_2)$ . Como tal a equação (3.21) toma a forma

$$\begin{bmatrix} \delta_{n+1} \\ \xi_{n+1} \end{bmatrix} = \begin{bmatrix} \mathbf{J} \left( u_0, 0 \right) + \mathbf{B} \cdot \mathbf{C}^T \end{bmatrix} \cdot \begin{bmatrix} \delta_n \\ \xi_n \end{bmatrix}$$

em que

$$\mathbf{J}(u_0,0) + \mathbf{B} \cdot \mathbf{C}^T = \begin{bmatrix} -u_0 & 0 \\ 2c_1 & -u_0 + 2c_2 \end{bmatrix}.$$

Tem-se então

$$\xi_{n+1} = 2c_1\delta_n + (2c_2 - u_0)\,\xi_n.$$

Escolhendo  $c_1=0$  e  $c_2$  de valor arbitrário, esta equação pode ser mudada para uma aplicação contracção,  $\xi_{n+1}=(2c_2-u_0)\,\xi_n$ . A sincronização de caos é realizada pela soma do input  $w_n$  definido por (3.22) com  $\omega$ ,  $\omega \to w_n + \omega$ .

Nota-se que, quando é alcançada sincronização,  $w_n$  é anulado e o vector de controle  $(c_1,c_2)$  é um vector de variáveis dependente de  $u_0$ . Por exemplo, fazendo  $2c_2 - u_0 = 0$  obtem-se o vector  $(c_1,c_2) = (0,u_0/2)$  que realiza o controle. Nota-se ainda que o campo vectorial perto de v=0 é ortogonal à direcção u. No estado caótico sincrónico o valor de  $u_0$  é errante  $(v_0$  é sempre 0). No caso de um ponto fixo ou periódico sincronizado,  $u_0$  é fixo e  $(c_1,c_2)$  torna-se um vector constante. Esta situação é equivalente ao problema de controle de caos para estabilizar uma órbita periódica instável. Para a=1.97 e  $\rho=-338.29$  tem-se o ponto fixo instável  $P_2(u_2,v_2)=(-3.9799,0)$ . Para  $u_0=-3.9799$  vem  $c_2=u_0/2=-1.9899$ .

# 3.3 Generalização da ligação a parâmetros distintos $\rho_1$ e $\rho_2$

Considere agora parâmetros de ligação distintos  $\rho_1$  e  $\rho_2$  em (3.5), com obtenção do sistema ligado

(3.23) 
$$\begin{cases} x_{n+1} = a - x_n^2 + \rho_1 (x_n - y_n)^2 \\ y_{n+1} = b - y_n^2 + \rho_2 (x_n - y_n)^2 \end{cases}$$

Ao contrário do verificado com uso de um só parâmetro de ligação  $\rho$ , neste caso a diferença y-x, que evolui de acordo com a equação às diferenças

$$y_{n+1} - x_{n+1} = b - a + x_n^2 - y_n^2 + (\rho_2 - \rho_1)(x_n - y_n)^2$$

depende dos parâmetros de ligação  $\rho_1$  e  $\rho_2$ . De facto, a exposição que se segue revela a existência de pares de valores  $(\rho_1, \rho_2)$  para os quais se obtêm resultados de sincronização na ligação em (3.23), não verificados com um único parâmetro  $\rho$  em (3.5). A análise do caso particular de transformações idênticas, em que a ligação continua assimétrica, permite observar ainda melhores resultados. É apresentado em primeiro lugar o estudo com a = b.

#### 3.3.1 Caso particular de transformações idênticas

Considere a ligação em (3.23) com a = b que conduz ao sistema ligado

(3.24) 
$$\begin{cases} x_{n+1} = a - x_n^2 + \rho_1 (x_n - y_n)^2 \\ y_{n+1} = a - y_n^2 + \rho_2 (x_n - y_n)^2 \end{cases}$$

## Análise da dinâmica do sistema ligado

Seja  $a > a^* \simeq 1.565$ . O sistema ligado (3.24) corresponde à equação às diferenças  $(x_{n+1}, y_{n+1}) = \mathbf{F}(x_n, y_n)$ , onde  $\mathbf{F}$  é a transformação bidimensional definida por (3.6) com parâmetros distintos  $\rho_1$  e  $\rho_2$ ,

$$\mathbf{F}(x,y) = \left(a - x^2 + \rho_1 (x - y)^2, a - y^2 + \rho_2 (x - y)^2\right).$$

Duas das soluções da equação  $\mathbf{F}(x,y)=(x,y)$  são comuns ao caso da ligação em (3.13) de transformações idênticas com um só parâmetro  $\rho$ , os pontos fixos  $P_1$  e  $P_2$  dados por (3.14) e (3.15), respectivamente, situados na diagonal principal x=y. Fixado um valor de a, obtêm-se os mesmos pontos fixos  $P_1$  e  $P_2$  qualquer que seja o valor dos parâmetros de ligação  $\rho_1$  e  $\rho_2$ . Sempre que  $1+\rho_1-\rho_2\neq 0$  e  $(1+\rho_1-\rho_2)^2\neq 4\rho_1$  o sistema ligado (3.24) tem ainda os pontos fixos  $P_3$  ( $x_+,y_+$ ) e  $P_4$  ( $x_-,y_-$ ) de coordenadas dadas por

$$x_{\pm} = -\frac{1}{2} \pm \left(\frac{1}{4} - \frac{a(1+\rho_1-\rho_2)^2 + \rho_1}{(1+\rho_1-\rho_2)^2 - 4\rho_1}\right)^{1/2}$$

e

$$y_{\pm} = -\frac{1}{2} \pm \frac{\rho_1 - \rho_2 - 1}{1 + \rho_1 - \rho_2} \left( \frac{1}{4} - \frac{a (1 + \rho_1 - \rho_2)^2 + \rho_1}{(1 + \rho_1 - \rho_2)^2 - 4\rho_1} \right)^{1/2}.$$

Para  $1 + \rho_1 - \rho_2 = 0$  os pontos fixos de (3.24) são soluções de equações em potência de x, desde  $x^0$  até  $x^4$  e com quocientes de polinómios, equações de resolução difícil. Para  $(1 + \rho_1 - \rho_2)^2 = 4\rho_1$  a obtenção dos pontos fixos de (3.24) é ainda mais difícil.

Os pontos fixos  $P_1$  e  $P_2$  estão bem definidos como números reais sempre que  $a \ge -1/4$ . Quanto aos pontos fixos  $P_3$  e  $P_4$ , há que exigir a condição

$$\frac{1}{4} - \frac{a(1+\rho_1-\rho_2)^2 + \rho_1}{(1+\rho_1-\rho_2)^2 - 4\rho_1} \ge 0.$$

Esta desigualdade é verdadeira para  $(1 + \rho_1 - \rho_2)^2 > \rho_1$  sempre que  $a \ge -1/4$  e para  $(1 + \rho_1 - \rho_2)^2 < \rho_1$  sempre que  $a \le -1/4$ . Se  $1 + \rho_1 - \rho_2 = 0$  tem-se  $\rho_2 = 1 + \rho_1$  e (3.24), que pode ser visto a um só parâmetro

$$\begin{cases} x_{n+1} = a - x_n^2 + \rho_1 (x_n - y_n)^2 \\ y_{n+1} = a - 2x_n y_n + y_n^2 + \rho_1 (x_n - y_n)^2 \end{cases},$$

possui ainda os pontos fixos

$$P_3(x_3, y_3) = \left(-\frac{1}{2}, -\frac{1}{2} + \left(\frac{-1 - 4a}{4\rho_1}\right)^{1/2}\right)$$

 $\mathbf{e}$ 

$$P_4(x_4, y_4) = \left(-\frac{1}{2}, -\frac{1}{2} - \left(\frac{-1 - 4a}{4\rho_1}\right)^{1/2}\right).$$

Estes pontos fixos  $P_3(x_3, y_3)$  e  $P_4(x_4, y_4)$  estão bem definidos como números reais para  $\rho_1 < 0$  sempre que  $a \ge -1/4$  e para  $\rho_1 > 0$  sempre que  $a \le -1/4$ .

As expressões gerais dos valores próprios da matriz Jacobiana

$$D\mathbf{F}(x,y) = \begin{bmatrix} 2\rho_1 (x-y) - 2x & 2\rho_1 (y-x) \\ 2\rho_2 (x-y) & -2y - 2\rho_2 (x-y) \end{bmatrix}$$

de(3.24) são

$$\Lambda_{\pm} = -x - y + (\rho_1 - \rho_2)(x - y) \pm \sqrt{(x - y)^2 \left[ (\rho_1 - \rho_2)^2 - 2(\rho_1 + \rho_2) + 1 \right]}.$$

A Tabela 3.7 apresenta os pontos fixos e respectivos valores próprios para a=1.97 e os pares  $(\rho_1, \rho_2)=(-394.90, -391.90)$  e  $(\rho_1, \rho_2)=(415.60, 457.38)$  de parâmetros de ligação.

$P_i, \Lambda_+^{P_i}, \Lambda^{P_i}$	$(\rho_1, \rho_2) = (-394.90, -391.90)$	$(\rho_1, \rho_2) = (415.60, 457.38)$
$P_1$	(0.9899, 0.9899)	(0.9899, 0.9899)
$P_2$	(-1.9899, -1.9899)	(-1.9899, -1.9899)
$P_3$	(-0.4251, -0.3502)	(77.3985, 81.2189)
$P_4$	(-0.5748, -0.6497)	(-78.3985, -82.2189)
$\Lambda_+^{P_1}, \Lambda^{P_1}$	-1.9662, -1.9935	-1.9662, -1.9935
$\Lambda_+^{P_2}, \Lambda^{P_2}$	3.9943, 3.9655	3.9943, 3.9655
$\Lambda_+^{P_3}, \Lambda^{P_3}$	3.9799, -1.9799	4.2031, -2.2031
$\Lambda_+^{P_4}, \Lambda^{P_4}$	3.9799, -1.9799	3.5612, -1.5612

Tabela 3.7: Pontos fixos  $P_i$ ,  $i=1,\ldots,4$ , e valores próprios para a=1.97

Para  $(\rho_1, \rho_2) = (-394.90, -391.90)$ , os pontos fixos  $P_3$  e  $P_4$  têm valores próprios comuns. Pelo módulo dos valores próprios, conclui-se que todos os pontos fixos são instáveis.

A representação dos expoentes de Lyapunov de (3.24) em função de  $\rho_2$ , fixando a=1.97 e  $\rho_1=0.9$ , mostra que estes são positivos e que, portanto, o comportamento do sistema é caótico qualquer que seja o valor tomado para  $\rho_2$  (Fig. 3.15).

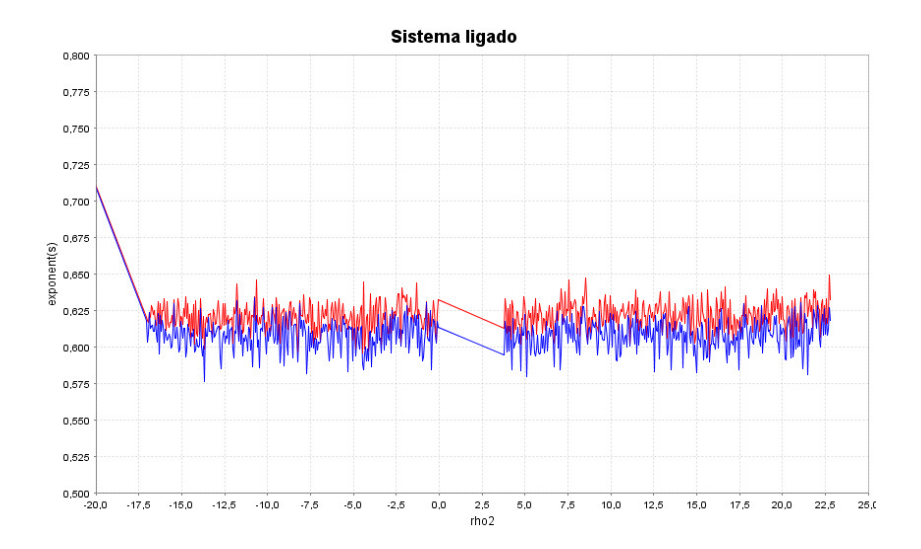


Figura 3.15: Expoentes de Lyapunov do sistema ligado (3.24) versus  $\rho_2$  para  $\rho_2 \in [-20,25]$  com a=1.97 e  $\rho_1=0.9$ 

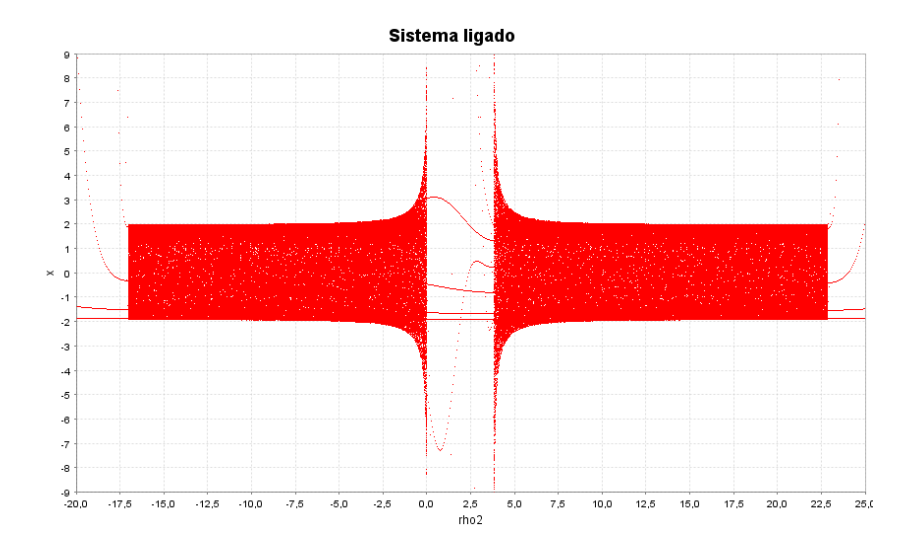


Figura 3.16: Diagram de bifurcação do sistema ligado (3.24) em função de  $\rho_2$  para a=1.97 e  $\rho_1=0.9$ 

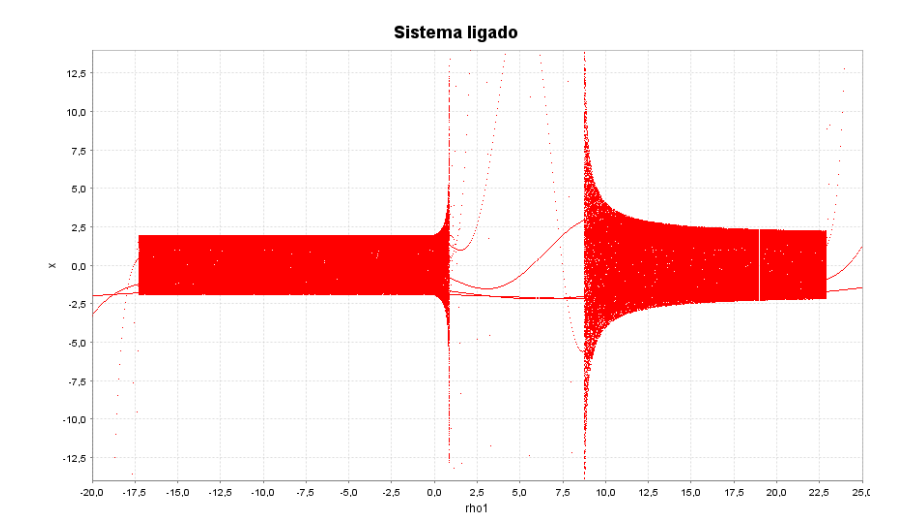


Figura 3.17: Diagram de bifurcação do sistema ligado (3.24) em função de  $\rho_1$  para a=1.97 e  $\rho_2=3.8$ 

Considere a=1.97 e o par  $(\rho_1,\rho_2)=(0.9,3.8)$ . Os diagramas de bifurcação de (3.24) em função de  $\rho_2$  (Fig. 3.16), fixando  $\rho_1=0.9$ , ou em função de  $\rho_1$  (Fig. 3.17), fixando  $\rho_2=3.8$ , mostram a existência de duas regiões onde o comportamento do sistema ligado é caótico. Para  $\rho_1=0.9$  e  $\rho_2\in ]0,3.81[$  não é observado qualquer atractor dada a explosão do sistema (3.24) para infinito quando  $\rho_2\simeq 0$  e  $\rho_2\simeq 3.81$ . O comportamento é análogo para  $\rho_2=3.8$  quando  $\rho_1\in ]0.87,8.7[$ .

## Estabilidade local da sincronização

Considere  $a>a^*\simeq 1.565.$  A diferença y-x para o sistema ligado (3.24) evolui pela equação às diferenças

$$y_{n+1} - x_{n+1} = x_n^2 - y_n^2 - (\rho_1 - \rho_2)(x_n - y_n)^2$$
.

A equação  $y_{n+1} - x_{n+1} = 0$  é equivalente a

$$[x_n + y_n + (\rho_2 - \rho_1)(x_n - y_n)](x_n - y_n) = 0,$$

ou ainda,

$$[(1 - \rho_1 + \rho_2) x_n + (1 - \rho_2 + \rho_1) y_n] (x_n - y_n) = 0.$$

Tem-se então

$$(3.25) (\rho_2 - \rho_1 + 1) x_n = (\rho_2 - \rho_1 - 1) y_n \quad \lor \quad x_n = y_n.$$

Conforme mostra a análise da diferença y-x entre as variáveis, e é confirmado pelas simulações computacionais que se relatam em secção posterior, é válida a proposição seguinte.

Proposição 3.3.1 Fixados um valor de a e condições iniciais  $x_0$  e  $y_0$ , existe uma sequência de intervalos  $I_i(a, x_0, y_0)$ , com i = 1, ..., l, de valores de  $\rho_1$  tais que é alcançada sincronização assimptótica estável ou sincronização prática em (3.24) para cada par  $(\rho_1, \rho_2)$  de parâmetros de ligação que verifiquem (a relação)

$$(3.26) (\rho_2 - \rho_1 + 1) x_0 = (\rho_2 - \rho_1 - 1) y_0 \wedge \rho_1 \in I_i(a, x_0, y_0)$$

para certo i. Sendo  $I(a,x_0,y_0) = \bigcup_{i=1}^l I_i(a,x_0,y_0)$ , existem ainda intervalos  $I_K(a,x_0,y_0) \subset I(a,x_0,y_0)$  com o mesmo extremo inferior que  $I(a,x_0,y_0)$  e  $I_A(a,x_0,y_0) \subset I(a,x_0,y_0)$  com o mesmo extremo superior que  $I(a,x_0,y_0)$  para os quais ocorre, respectivamente, sincronização prática no sentido de Kapitaniak e sincronização assimptótica estável. Para  $\rho_1 \in I(a,x_0,y_0) \setminus I_K(a,x_0,y_0) \cup I_A(a,x_0,y_0)$  pode ocorrer qualquer um dos tipos de sincronização numa alternância (aparentemente) irregular.

Considerando as variáveis (3.10) que definem a direcção de sincronização u que caracteriza o subespaço

$$\mathcal{M} = \left\{ (x, y) \in \mathbb{R}^2 \mid x = y \right\}$$

e a direcção v transversal a esta, o sistema (3.24) é reescrito como

(3.27) 
$$\begin{cases} u_{n+1} = 2a - \frac{1}{2} (u_n^2 + v_n^2) + (\rho_1 + \rho_2) v_n^2 \\ v_{n+1} = -u_n v_n + (\rho_2 - \rho_1) v_n^2. \end{cases}$$

No cálculo dos pontos fixos do sistema transversal tem-se

$$v[(\rho_2 - \rho_1)v - 1 - u] = 0.$$

A anulação de v corresponde à sincronização entre as variáveis x e y, embora a trajectória se situe na direcção de sincronização u. O sistema transversal (3.27) tem então, para  $a \ge -1/4$ , os pontos fixos sincronizados (v = 0)

$$P'_1(u_1, v_1) = (-1 - \sqrt{1 + 4a}, 0)$$
 e  $P'_2(u_2, v_2) = (-1 + \sqrt{1 + 4a}, 0)$ ,

os já encontrados para a ligação em (3.13) de transformações idênticas com um só parâmetro  $\rho$ , e ainda os pontos fixos

$$P_3'\left(u_3, v_3\right) = \left(-1 + \left(1 + \frac{1}{\rho_2 - \rho_1 - 1}\right)\sqrt{1 + 4a}, \frac{\sqrt{1 + 4a}}{\rho_2 - \rho_1 - 1}\right)$$

 $\mathbf{e}$ 

$$P_4'(u_4, v_4) = \left(-1 - \left(1 + \frac{1}{\rho_2 - \rho_1 - 1}\right)\sqrt{1 + 4a}, \frac{\sqrt{1 + 4a}}{\rho_1 - \rho_2 + 1}\right)$$

sempre que  $\rho_2-\rho_1-1\neq 0$ . Para  $\rho_2=\rho_1+1,$  (3.13) tem como pontos fixos, além de  $P_1'(u_1,v_1)$  e  $P_2'(u_2,v_2)$ , também

$$P_3'(u_3, v_3) = \left(-1 + \sqrt{\frac{-1 - a}{4\rho_1}}, \sqrt{\frac{-1 - a}{4\rho_1}}\right)$$

е

$$P_4'(u_4, v_4) = \left(-1 - \sqrt{\frac{-1-a}{4\rho_1}}, -\sqrt{\frac{-1-a}{4\rho_1}}\right).$$

Estes pontos fixos  $P_3'(u_3, v_3)$  e  $P_4'(u_4, v_4)$  estão bem definidos como números reais para  $\rho_1 < 0$  sempre que  $a \ge -1$  (nota-se que  $a > a^* \simeq 1.565 > -1$ ).

A matriz Jacobiana

$$\mathbf{J}(u,v) = \begin{bmatrix} -u & -v + 2(\rho_1 + \rho_2)v \\ -v & -u + 2(\rho_2 - \rho_1)v \end{bmatrix}$$

da transformação bidimensional

$$\mathbf{K}(u,v) = \left(2a - \frac{1}{2}\left(u^2 + v^2\right) + (\rho_1 + \rho_2)v^2, (\rho_2 - \rho_1)v^2 - uv\right),\,$$

definida por (3.27), tem por valores próprios

$$\Lambda_{\pm} = (\rho_2 - \rho_1) v - u \pm |v| \sqrt{(\rho_2 - \rho_1)^2 + 1 - 2(\rho_1 + \rho_2)}.$$

No entanto, num ponto fixo sincronizado tem-se

$$\mathbf{J}\left(u,0\right) = \left[ \begin{array}{cc} -u & 0\\ 0 & -u \end{array} \right]$$

com um único valor próprio de multiplicidade algébrica 2, o número real -u. O ponto fixo  $P'_1$  é sempre instável pois o valor próprio  $1+\sqrt{1+4a}$  de  $\mathbf{J}$   $(u_1,0)$  verifica  $|1+\sqrt{1+4a}| \ge 1$  para todo  $a \ge -1/4$ . A matriz  $\mathbf{J}$   $(u_2,0)$  tem  $1-\sqrt{1+4a}$  como valor próprio e o seu módulo é inferior a 1 apenas quando -1/4 < a < 3/4. Como tal o ponto fixo  $P'_2$  também é instável para os valores de a em estudo.

Observação 4 A direcção u de  $u_2$  mantém-se estável para -1/4 < a < 3/4. O sistema transversal (3.17) tem então um ponto fixo estável para  $a \in ]-1/4, 3/4[$ , e quaisquer que sejam as forças de ligação  $\rho_1$  e  $\rho_2$ , na vizinhança do qual é esperada sincronização idêntica dos sistemas. Nota-se que neste intervalo de variação de a, as transformações componentes do sistema ligado (3.24) são periódicas. É obtida sincronização assimptótica periódica no sistema ligado (3.24), para quaisquer forças de ligação  $\rho_1$  e  $\rho_2$ , sempre que a toma valores no intervalo ]-1/4, 3/4[ (Fig. 3.18 a-d). A Figura 3.18(a-d) mostra as simulações efectuadas com N=500 iterações e forças de ligação  $\rho_1=-0.01$  e  $\rho_2=0.02$ , para a=-0.24 e a=0.74, a partir de condições iniciais diferentes  $x_0=0.1$  e  $y_0=0.2$ . Nota-se que o sistema ligado (3.24) tem comportamento periódico quando a=-0.24.

A Tabela 3.8 apresenta os pontos fixos <sup>3</sup> para estes parâmetros de controle.

$P_i$	a = -0.24	a = 0.74
$P_1\left(x_1,y_1\right)$	(-0.4000, -0.4000)	(0.4949, 0.4949)
$P_2\left(x_2,y_2\right)$	(-0.6000, -0.6000)	(-1.4949, -1.4949)
$P_3\left(x_3,y_3\right)$	(-0.4020, -0.6039)	(0.4744, -1.5347)
$P_4\left(x_4,y_4\right)$	(-0.5979, -0.3960)	(-1.4744, 0.5347)

Tabela 3.8: Pontos fixos  $P_i$  de (3.13), i = 1, ..., 4 para a = -0.24 e a = 0.74

Para a = -0.24 e a = 0.74 o sistema ligado (3.13) estabiliza no ponto fixo estável  $P_1$  (temse o valor próprio 0.8000 quando a = -0.24, e o valor próprio -0.9899 quando a = 0.74) sobre a diagonal principal, embora possua ainda os pontos fixos instáveis  $P_i$ , i = 1, 2, 3.

Em a=3/4 o ponto fixo  $P'_2$  sofre uma bifurcação de duplicação de período dado que  $\Lambda_+=-1$ . Por esta bifurcação o ponto fixo  $P'_2$  torna-se instável na direcção transversal v (tipo sela). Este ponto sela sofre ainda bifurcações numa cascata de duplicação de período e, para valores de a suficientemente grandes, é obtido caos sincronizado instável mergulhado em caos assincrónico.

Por outro lado, estudo dos expoentes de Lyapunov do sistema transversal (3.27) confirma o exposto. Para -1/4 < a < 3/4 o expoente de Lyapunov transversal, assim como o tangencial, é negativo (Fig. 3.19). Para obtenção da Figura 3.19 tomaram-se  $u_0 = 0.15$  e  $v_0 = 0.05$ . Sendo  $\lambda_v < 0$  as oscilações sincrónicas são transversalmente estáveis, ou seja, é alcançada sincronização estável. Quando as oscilações caóticas são sincrónicas, o vector

<sup>&</sup>lt;sup>3</sup>Nota-se que, para a=-0.24, os pontos fixos do sistema transversal são  $P_1'=(-1.2000,0),\ P_2'=(-0.8000,0),\ P_3'=(-1,0.2041)$  e  $P_4'=(-1,-0.2041)$ , pois  $a\geq -1/4$  e  $\rho$  é menor do que 1/4. Para a=0.74 os pontos fixos do sistema transversal são  $P_1'=(-2.9899,0),\ P_2'=(0.9899,0),\ P_3'=(-1,2.0310)$  e  $P_4'=(-1,-2.0310)$ , pois  $a\geq -1/4$  e  $\rho$  é menor do que 1/4.

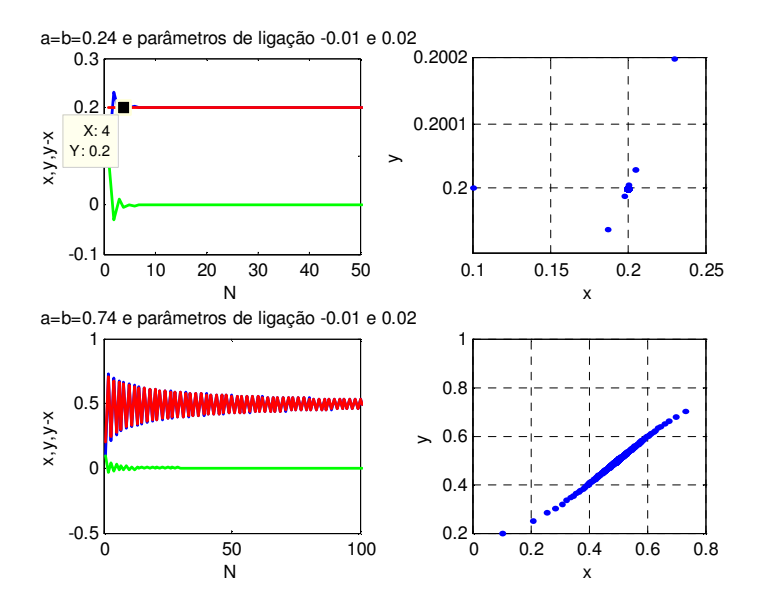


Figura 3.18: Ligação bidireccional em (3.24): (a,c) séries temporais, (b,d) hiperplanos de sincronização

próprio do expoente de Lyapunov tangencial  $\lambda_u$  é tangente ao subespaço simétrico x=y. Sendo  $\lambda_u < 0$  as oscilações são periódicas.

Se o parâmetro de controle a toma valores que correspondem a comportamento caótico, o expoente de Lyapunov transversal, assim como o tangencial, é positivo após um certo número de iterações (do sistema transversal). De facto, considerando a=1.97 tem-se (3.27) dado por

$$\begin{cases} u_{n+1} = 3.94 - 0.5 \left( u_n^2 + v_n^2 \right) + \left( \rho_1 + \rho_2 \right) v_n^2 \\ v_{n+1} = -u_n v_n + \left( \rho_2 - \rho_1 \right) v_n^2 \end{cases}.$$

Para  $u_0 = 0.15$  e  $v_0 = 0.05$  são obtidas as Figuras 3.20 e 3.21. Sendo  $\lambda_v > 0$  as oscilações sincrónicas não são transversalmente estáveis e não é alcançada sincronização estável.

#### Abordagem computacional

Em primeiro lugar são apresentados alguns gráficos que ilustram o estabelecido na Proposição 3.3.1 por análise da diferença y-x entre as variáveis. Para tal foram efectuadas simulações computacionais com N=1000 iterações a partir de condições iniciais diferentes  $x_0=0.1$  e  $y_0=0.2$  considerando  $\rho_1$  e  $\rho_2$  em passo de uma centésima. Para

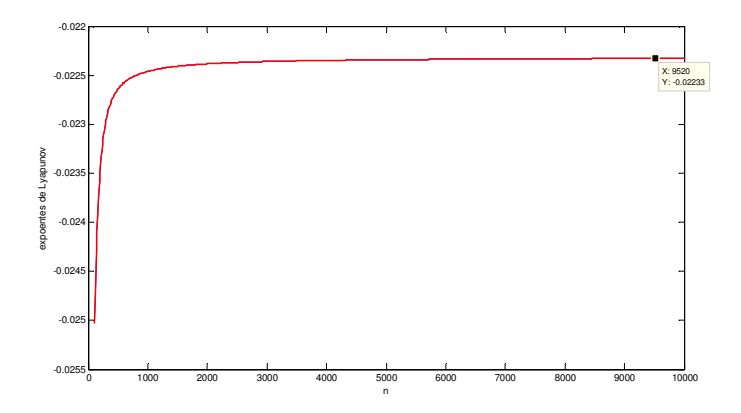


Figura 3.19: Evolução dos expoentes de Lyapunov do sistema transversal (3.27) para  $a=-0.24,\,\rho_1=-0.01$ e  $\rho_2=0.02$ 

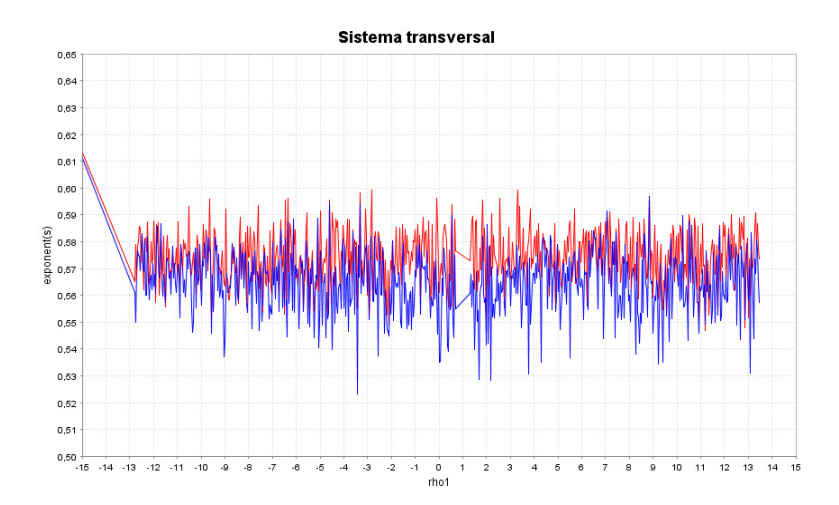


Figura 3.20: Expoentes de Lyapunov do sistema transversal (3.27) versus  $\rho_1$  para  $\rho_1 \in [-15,15]$  com a=1.97 e  $\rho_2=0.02$ 

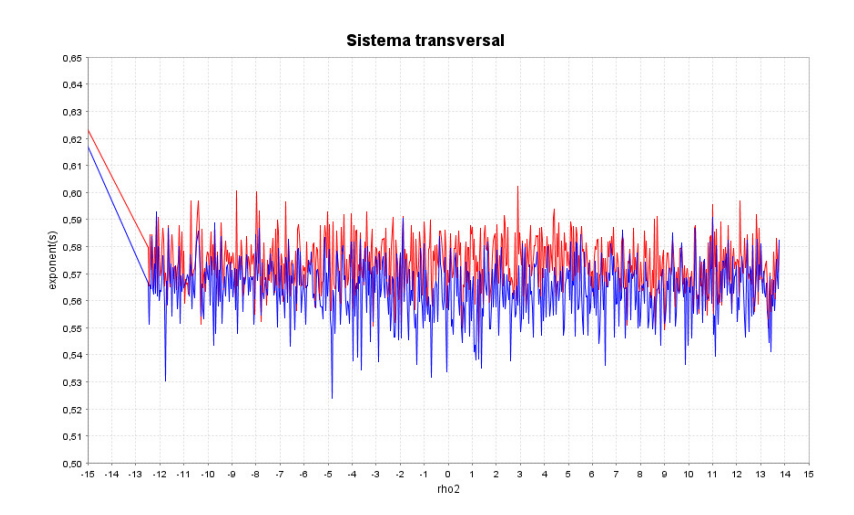


Figura 3.21: Expoentes de Lyapunov do sistema transversal (3.27) versus  $\rho_2$  para  $\rho_2 \in [-15,15]$  com a=1.97 e  $\rho_1=-0.01$ 

estas condições iniciais a relação (3.26) traduz-se em  $\rho_2=\rho_1+3$ . Fixando a=1.97, para cada par  $(\rho_1,\rho_1+3)$  com  $\rho_1\in[-394.99,2.99]$  é alcançada sincronização assimptótica estável ou sincronização prática, excepto em valores isolados de que é exemplo  $\rho_1=-12.58$  (e  $\rho_2=-9.58$ ) (Fig. 3.22 a-f). Para  $\rho_1\in[-394.99,-380.18]$  a sincronização é sempre prática. Para valores de  $\rho_1$  superiores a -380.18, existem pequenos intervalos onde ocorre sincronização assimptótica intercalados com outros onde a sicronização é apenas prática. Na verdade, mantendo o valor de a, pequenas variações na força de ligação  $\rho_1$  (e consequentemente em  $\rho_2$ ) provocam alternância entre sincronização prática e sincronização assimptótica (Fig. 3.23 a-f). Nota-se que para  $\rho_1\in[-338.91,-338.93]$  apenas é alcançada sincronização prática.

Também, mantendo as forças de ligação  $\rho_1$  e  $\rho_2$  mas considerando uma pequena alteração do valor de a ocorre a mesma alternância (Fig. 3.23 a-f e 3.24 a-f).

Segue-se uma descrição mais alargada dos possíveis pares de valores  $(\rho_1, \rho_2)$  que conduzem a intervalos limitados da diferença y-x ou mesmo a sincronização. As simulações computacionais foram efectuadas com N=2000 iterações.

Considere valores de  $\rho_1$  não-negativos em passo de uma décima. As simulações computacionais efectuadas mostram que, para cada valor de  $\rho_1$  tomado, é possível determinar dois intervalos de valores de  $\rho_2$  para os quais a diferença y-x é limitada. Designem-se esses intervalos por  $I^1(\rho_1)$  e  $I^2(\rho_1)$ . Sejam  $I^i_{e,\min}(\rho_1)$  e  $I^i_{e,\max}(\rho_1)$  os intervalos de va-

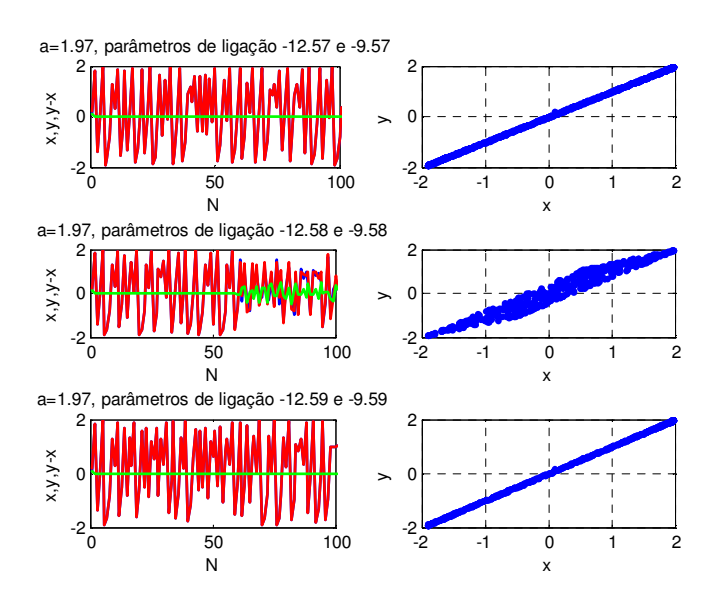


Figura 3.22: Ligação bidireccional em (3.24): (a,c,e) séries temporais, (b,f) hiperplanos de sincronização, (d) atractor caótico

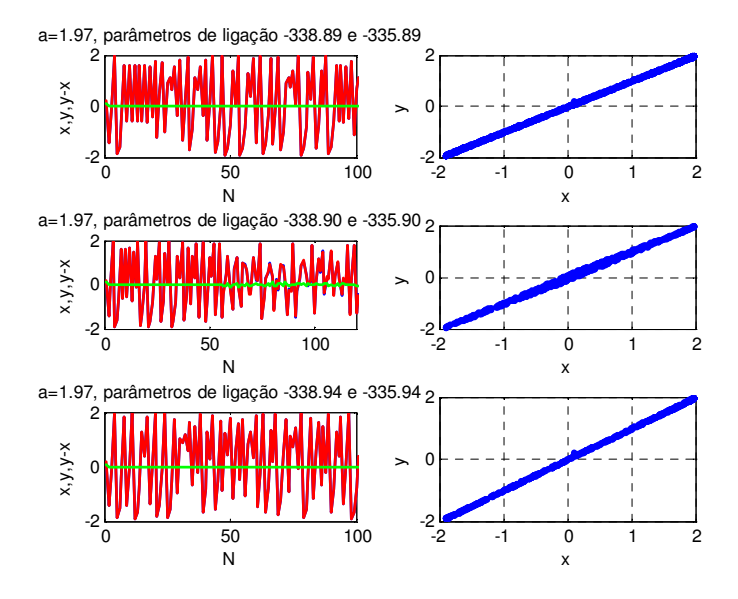


Figura 3.23: Ligação bidireccional em (3.24): (a,c,e) séries temporais, (b,f) hiperplanos de sincronização, (d) atractor caótico

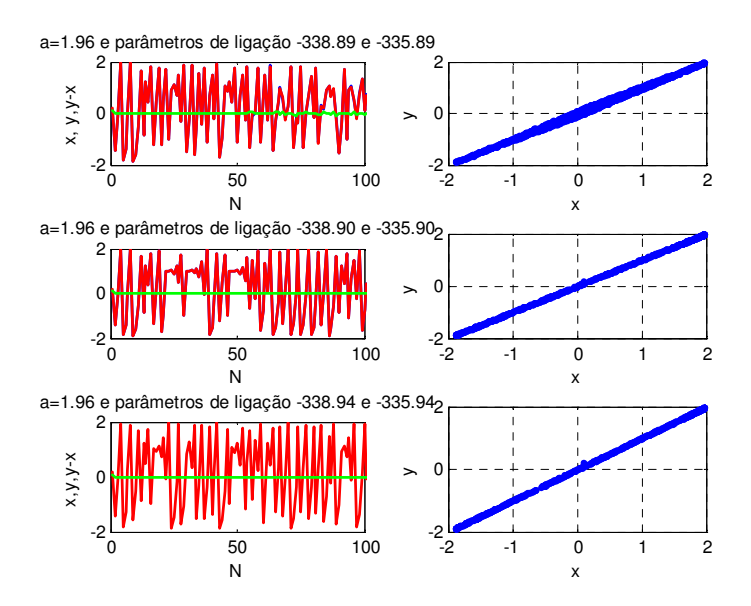


Figura 3.24: Ligação bidireccional em (3.24): (a,c,e) séries temporais, (b) atractor caótico, (d,f) hiperplanos de sincronização

riação da diferença y-x para, respectivamente, os extremos inferior e superior de cada um dos intervalos  $I^i(\rho_1)$ , i=1,2. Para  $\rho_2 \notin I^i(\rho_1)$ , i=1,2, a diferença y-x explode para infinito (considerando o passo de uma centésima). A Tabela 3.9 resume o estudo efectuado para  $\rho_1=0.1n$ , com  $n=0,\ldots,5$ .

$\rho_1 \qquad I^1(\rho_1)$	$I^{2}\left(  ho _{1}\right)$	$I_{e,\max}^{1}\left(\rho_{1}\right)$	$I_{e,\mathrm{min}}^2\left(\rho_1\right)$
0  [-17.89, 0.99]	[1.01, 21.89]	]-388.0, 387.9[	]-387.3, 387.0[
0.1  [-17.80, 0.46]	[1.74, 22.00]	]-39.42, 39.56[	]-39.54, 39.58[
0.2  [-17.71, 0.30]	[2.10, 22.10]	]-38.75, 38.80[	]-38.67, 38.75[
$0.3 \mid [-17.61, 0.20]$	[2.40, 22.21]	]-38.63, 38.69[	]-38.70, 38.68[
$0.4 \mid [-17.52, 0.13]$	[2.67, 22.31]	]-34.17, 34.13[	]-33.94, 34.09[
$0.5 \mid [-17.42, 0.08]$	[2.92, 22.42]	]-30.20, 30.22[	]-30.19, 30.14[

Tabela 3.9: Intervalos  $I^{i}(\rho_{1})$   $I^{i}_{e,\max}(\rho_{1})$  e  $I^{i}_{e,\max}(\rho_{1})$ , i=1,2

Quando  $\rho_1$  aumenta de 0 até 0.5 verifica-se que a amplitude dos sucessivos intervalos  $I^1(\rho_1)$  e  $I^2(\rho_1)$  aos quais corresponde limitação de y-x diminui de 18.88 até 17.5 e de 20.88 até 19.5, respectivamente.

Para todos estes valores de  $\rho_1$  obtêm-se os intervalos  $I_{e,\min}^1(\rho_1) = ]-0.21, 0.21[$  e  $I_{e,\mathrm{max}}^{2}\left(\rho_{1}\right)=\left]-0.19,0.19\right[,$ ambos de amplitude inferior a 1. Assim, para cada valor de  $\rho_{1}$ considerado, existem intervalos fechados  $I_K^1(\rho_1)$  e  $I_K^2(\rho_1)$  contidos em  $I^1(\rho_1)$  e  $I^2(\rho_1)$ , respectivamente, de valores de  $\rho_2$  para os quais ocorre sincronização prática em (3.24) no sentido de Kapitaniak. Fixado um valor de  $\rho_1$ , a diferentes valores  $\rho_2$  e  $\rho_2'$  no intervalo  $I^{1}(\rho_{1}) \cup I^{2}(\rho_{1})$  correspondem diferentes intervalos de variação da diferença y-x. No entanto, existem intervalos fechados  $I_K^i(\rho_1) \subseteq I^i(\rho_1)$ , i = 1, 2, de valores de  $\rho_2$  para os quais os correspondentes intervalos de variação de y-x têm amplitude inferior a 1. Aos intervalos  $I_K^i(\rho_1)$ , i=1,2, pertencem os valores de  $\rho_2$  para os quais se obtem sincronização prática em (3.24) com o par de parâmetros de ligação  $(\rho_1, \rho_2)$ . Um dos valores do intervalo  $I_K^1(\rho_1)$  é o valor mínimo de  $\rho_2$  em  $I^1(\rho_1)$  dado que o intervalo  $I_{e,\min}^1(\rho_1) = ]-0.21,0.21[$ tem amplitude 0.42 < 1 e um dos valores do intervalo  $I_K^2(\rho_1)$  é o valor máximo de  $\rho_2$ em  $I^{2}(\rho_{1})$  dado que o intervalo  $I_{e,\max}^{2}(\rho_{1})=]-0.19,0.19[$  tem amplitude 0.38<1. Por exemplo, para  $\rho_1=0.1$  tem-se  $I_K^1\left(0.1\right)=\left[-17.80,-6.68\right]$  e  $I_K^2\left(0.1\right)=\left[8.88,22.00\right]$  e para  $\rho_1 = 0.2 \text{ tem-se } I_K^1(0.2) = [-17.71, -6.61] \text{ e } I_K^2(0.2) = [9.02, 22.10].$  A nota seguinte estabelece a existência de sincronização prática observada.

Nota 5 Para cada  $\rho_1 \in [0, 339.1]$  existem intervalos  $I^i(\rho_1)$ , i = 1, 2, de valores de  $\rho_2$ , onde a diferença y - x é limitada. Quando  $\rho_1$  aumenta a amplitudes dos intervalos  $I^i(\rho_1)$ , i = 1, 2, diminui. Cada um dos intervalos  $I^i(\rho_1)$ , i = 1, 2, contém um intervalo fechado  $I^i_K(\rho_1)$  de valores de  $\rho_2$  para os quais é atingida sincronização prática em (3.24). O extremo inferior (superior) do intervalo  $I^1(\rho_1)$  ( $I^2(\rho_1)$ ) é o extremo superior (inferior) do intervalo  $I^1_K(\rho_1)$  ( $I^2_K(\rho_1)$ ).

A Tabela 3.10 apresenta os resultados obtidos para alguns valores de  $\rho_1$ .

$\rho_1$	$I^{1}\left( \rho_{1}\right)$	$I^{2}\left( \rho_{1}\right)$	$I_{e,\max}^{1}\left(\rho_{1}\right)$	$I_{e,\min}^2\left(\rho_1\right)$
0.9	[-17.04, 0.00]	[3.80, 22.84]	]-38.80, 38.80[	]-38.82, 38.82[
1.0	[-16.95, -0.01]	[4.00, 22.94]	]-19.27, 19.27[	
2.0	[-16.00, 0.17]	[5.83, 23.99]	]-41.11,41.10[	]-40.94, 40.81[
3.0	[-15.05, 0.53]	[7.47, 25.04]	]-19.19, 19.10[	]-19.19, 19.15[
10.0	[-17.52, 0.13]	[2.67, 22.31]	]-34.17, 34.13[	]-33.94, 34.09[
20.0	[-17.42, 0.08]	[2.92, 22.42]	]-30.20, 30.22[	]-30.19, 30.14[

Tabela 3.10: Intervalos  $I^{i}\left(\rho_{1}\right)\ I_{e,\max}^{i}\left(\rho_{1}\right)\ e\ I_{e,\max}^{i}\left(\rho_{1}\right),\ i=1,2$ 

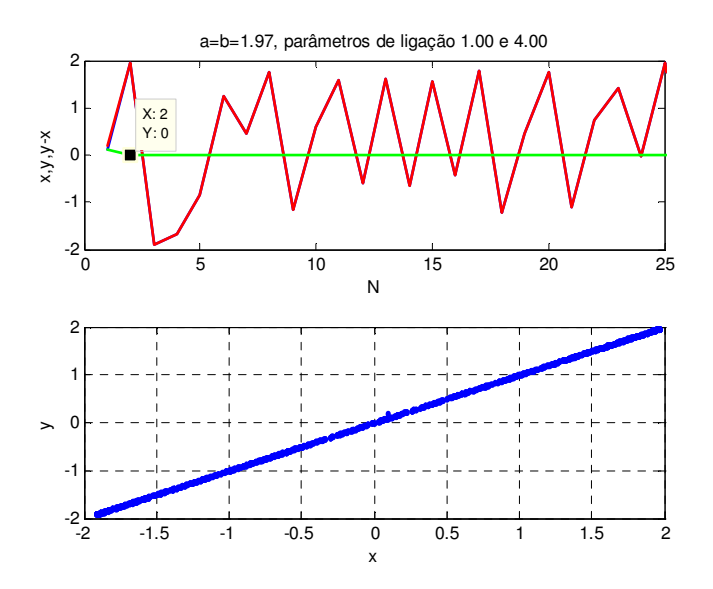


Figura 3.25: Ligação bidireccional em (3.24): (a) séries temporais, (b) hiperplano de sincronização

Os intervalos  $I^1$  (0.9) e  $I^2$  (0.9) são visíveis na Figura 3.15 dado o traçado bem distinto que se verifica quando  $\rho_2 \in ]0.00, 3.80[$ . Tem-se  $I^1_{e, \min}$  (0.9) =  $I^1_{e, \min}$  (1.0) = ]-0.21, 0.21[ enquanto

$$I_{e,\min}^1(2) = I_{e,\min}^1(3) = ]-0.22, 0.21[$$

e  $I_{e,\min}^1\left(10\right)=I_{e,\min}^1\left(20\right)=\left]-0.22,0.22\right[$ . Quanto a  $I_{e,\max}^2\left(\rho_1\right)$ , tem-se

$$I_{e,\max}^2(0.9) = I_{e,\max}^2(1) = I_{e,\max}^2(2) = ]-0.19, 0.19[$$

enquanto  $I_{e,\text{max}}^2(3) = I_{e,\text{max}}^2(10) = ]-0.19, 0.20[$  e  $I_{e,\text{max}}^2(20) = ]-0.19, 0.20[$ .

Quanto à variação de y-x obtida no extremo inferior do intervalo  $I^2$  (1),  $\rho_2=4.00$ , verifica-se que y-x=0 a partir da segunda iterada (Fig. 3.25 a,b) embora para  $\rho_2=4.01$  se tenha  $y-x\in ]-19.24,19.23[$ . Esta situação está de cordo com a Proposição 3.3.1. Considere a transformação bidimensional  ${\bf F}$  já definida por (3.24). Para  $\rho_1=1$  e  $\rho_2=4$  os pontos fixos de  ${\bf F}$  são  $P_1$  (-1.9899, -1.9899) e  $P_2$  (0.9899, 0.9899), sobre a diagonal principal. Os pontos fixos  $P_1$  e  $P_2$  são instáveis estão associados aos valores próprios

$$\Lambda^{P_1} = 3.9799 + 0.0003i$$
 e  $\Lambda^{P_2} = -1.9799 + 0.0001i$ ,

de multiplicidade algébrica 2, com módulos 3.9799 > 1 e 1.9799 > 1, respectivamente.

Os resultados observados para valores de  $\rho_1$  elevados mas inferires a 360 (Tabelas 3.11 e 3.12) são análogos aos observados para valores positivos de  $\rho_1$  inferiores.

$\rho_1$	$I^{1}\left( \rho_{1}\right)$	$I^{2}\left( \rho_{1}\right)$	$I_{e,\max}^{1}\left(\rho_{1}\right)$	$I_{e,\min}^2\left(\rho_1\right)$
139.0	[113.75, 116.42]	[163.58, 167.55]	]-30.25, 30.30[	]-30.31, 30.17[
139.5	[114.22, 116.87]	[164.13, 168.07]	]-6.32, 6.32[	]-6.30, 6.31[
139.9	[114.60, 117.24]	[164.56, 168.49]	]-8.76, 8.76[	]-8.78, 8.76[

Tabela 3.11: Intervalos  $I^{i}\left(\rho_{1}\right)$   $I_{e,\max}^{i}\left(\rho_{1}\right)$  e  $I_{e,\max}^{i}\left(\rho_{1}\right)$ , i=1,2

$\rho_1$	$I^{1}\left(  ho _{1}\right)$	$I^{2}\left( \rho_{1}\right)$	$I_{e,\max}^{1}\left(\rho_{1}\right)$	$I_{e,\min}^2\left(\rho_1\right)$
240.0	[209.41, 210.01]	[271.99, 273.38]	]-6.24, 6.28[	]-6.20, 6.27[
280.0	[247.29, 247.53]	[314.47, 315.29]	]-7.89, 7.90[	]-7.89, 7.91[
320.0	[285.17, 285.22]	[356.78, 357.21]	]-8.50, 8.50[	]-8.48, 8.49[
399.1	[303.26, 303.26]	[376.93, 377.22]	]-17.55, 17.55[	]-17.53, 17.54[

Tabela 3.12: Intervalos  $I^{i}\left(\rho_{1}\right)$   $I_{e,\max}^{i}\left(\rho_{1}\right)$  e  $I_{e,\max}^{i}\left(\rho_{1}\right)$ , i=1,2

A amplitude de cada um dos intervalos  $I^1$  (320) e  $I^2$  (320) já é muito reduzida, 0.05 e 0.43, respectivamente. Para  $\rho_1=339.2$  existe apenas um valor de  $\rho_2$  para o qual ocorre limitação de y-x,  $\rho_2=303.36$  com  $y-x\in ]-6.22,6.24[$ , e é ainda encontrado o intervalo  $I^2$  (339.2) = [377.32,377.04] de amplitude 0.28. Tem-se  $I^2_{e,\min}$  (339.2) = ]-6.23,6.21[ e  $I^2_{e,\max}$  (339.2) = ]-0.85,0.85[. A Tabela 3.13 apresenta alguns resultados para  $\rho_1>339.2$ .

$\rho_1$	$I^{2}\left( \rho_{1}\right)$	$I_{e,\min}^2\left(\rho_1\right)$	$I_{e,\max}^2\left(\rho_1\right)$
360.0	[398.95, 399.12]	]-8.56, 8.57[	]-1.07, 1.07[
400.0	[441.01, 441.03]	]-4.33, 4.34[	]-2.50, 2.50[
410.0	[451.50, 451.51]	]-7.76, 7.76[	]-3.77, 3.77[
415.5	[457.27, 457.28]	]-8.84, 8.83[	]-3.87, 3.86[

Tabela 3.13: Intervalos  $I^{i}\left(\rho_{1}\right)\ I_{e,\max}^{i}\left(\rho_{1}\right)$  e  $I_{e,\max}^{i}\left(\rho_{1}\right),\ i=1,2$ 

Para  $\rho_1=415.6$  (não existe um intervalo  $I^2\left(\rho_1\right)$  mas) apenas existe um valor de  $\rho_2$  para o qual ocorre limitação de y-x,  $\rho_2=457.38$  com  $y-x\in ]-4.96, 4.97[$  (Fig. 3.26 a,b). Para  $\rho_1=420.7$  não é encontrado qualquer valor de  $\rho_2$  para o qual ocorra limitação da diferença y-x. É então possível estabelecer as notas seguintes.

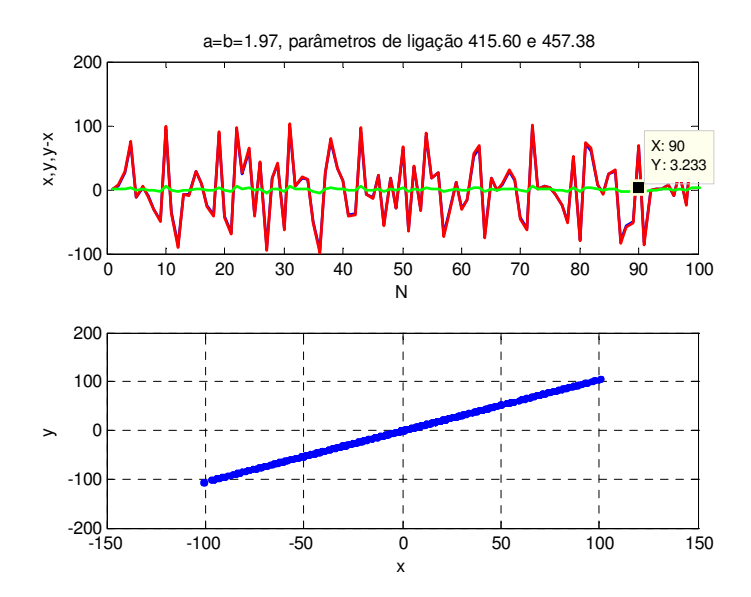


Figura 3.26: Ligação bidireccional em (3.24): (a) séries temporais, (b) atractor caótico

Nota 6 Para cada  $\rho_1 \in [339.2, 415.5]$  existe um único intervalo  $I^2(\rho_1)$  de valores de  $\rho_2$ , onde a diferença y-x é limitada. Quando  $\rho_1$  aumenta a amplitudes do intervalo  $I^2(\rho_1)$  diminui. Para alguns valores de  $\rho_1$  no intervalo [339.2, 415.5] existe um intervalo fechado  $I_K^2(\rho_1)$  contido em  $I^2(\rho_1)$  para o qual é atingida sincronização prática em (3.24). Nesse caso o extremo inferior (superior) do intervalo  $I^1(\rho_1)$  ( $I^2(\rho_1)$ ) é o extremo superior (inferior) do intervalo  $I_K^1(\rho_1)$  ( $I_K^2(\rho_1)$ ).

Nota 7 Para cada  $\rho_1 \in [415.6, 420.6]$  existe um único valor de  $\rho_2$  para o qual a diferença y-x é limitada. Quando  $\rho_1$  aumenta  $\rho_2$  aumenta. No entanto, não é obtida sincronização prática em (3.24).

Considere agora valores de  $\rho_1$  negativos em passo de uma décima. Para  $\rho_1 = -0.1$  já não se observa a existência de dois intervalos distintos onde é limitada a variação da diferença y-x. Existe apenas um intervalo onde esta diferença é limitada, a saber, I(-0.1) = [-17.99, 21.79] com  $I_{e,\text{min}}(-0.1) = ]-0.21, 0.21[$  e  $I_{e,\text{max}}(-0.1) = ]-0.19, 0.19[$ , ambos de amplitude inferior a 1. Em  $\rho_2 = 0.94 \in [-17.99, 21.79]$  são obtidos os valores de y-x mais afastados da origem pois  $y-x \in ]-6.12, 6.13[$ . A Tabela 3.14 apresenta os

resultados obtidos	para $\rho_1$	=-0.1-0.1r	$n \operatorname{com} n = 1, \dots, 4.$
--------------------	---------------	------------	---

$\rho_1$	$I(\rho_1)$	amplitude $I(\rho_1)$
-0.2	[-18.08, 21.69]	39.77
-0.3	[-18.18, 21.58]	39.76
-0.4	[-18.27, 21.48]	39.75
-0.5	[-18.84, 20.85]	39.74

Tabela 3.14: Intervalos  $I(\rho_1)$  e respectiva amplitude

Para todos estes valores de  $\rho_1$  tem-se ainda  $I_{e,\min}(\rho_1)=]-0.21,0.21[$  e  $I_{e,\max}(\rho_1)=]-0.19,0.19[$ . A diminuição progressiva da amplitude de  $I(\rho_1)$  na razão de 0.01 por cada diminuição de 0.1 em  $\rho_1$  mantem-se para valores inferiores de  $\rho_1$ . A Tabela 3.15 apresenta resultados para  $\rho_1=-10-10n$  com  $n=0,\ldots,3$ .

$\rho_1$	$I\left(  ho_{1} ight)$	amplitude $I(\rho_1)$	$I_{e,\min}\left(\rho_1\right)$	$I_{e,\max}\left(\rho_{1}\right)$
-10.0	[-27.37, 11.42]	38.79	]-0.21, 0.20[	]-0.19, 0.19[
-20.0	[-36.84, 0.94]	37.78	]-0.20, 0.20[	]-0.18, 0.18[
-30.0	[-46.31, -9.54]	36.77	]-0.20, 0.19[	]-0.18, 0.18[
-40.0	[-55.78, -20.02]	35.76	]-0.19, 0.19[	]-0.17, 0.18[

Tabela 3.15: Intervalos  $I\left(\rho_{1}\right),\,I_{e,\min}\left(\rho_{1}\right)$  e  $I_{e,\max}\left(\rho_{1}\right)$  e amplitude de  $I\left(\rho_{1}\right)$ 

O estudo efectuado para valores de  $\rho_1$  inferiores a -40 revela resultados análogos aos obtidos para os valores anteriores (Tabela 3.16).

$\rho_1$	$I\left(  ho_{1} ight)$	ampl. $I(\rho_1)$	$I_{e,\min}\left(\rho_{1}\right)$	$I_{e,\max}\left(\rho_{1}\right)$
-300.0	[-302.02, -292.46]		!	]-0.11, 0.12[
-390.0	[-387.26, -386.77]		•	]-0.10, 0.11[
-394.0	[-391.05, -390.96]		]-0.10, 0.11[	!
-394.5	[-391.52, -391.48]		]-0.10, 0.11[	!
-394.6	[-391.62, -391.59]	<u>-</u> '	]-0.10, 0.11[	•
-394.7	[-391.71, -391.69]	0.02	]-0.10, 0.11[	]-0.10, 0.11[
-394.8	[-391.81, -391.80]	0.01	]-0.10, 0.11[	]-0.10, 0.11[

Tabela 3.16: Intervalos  $I(\rho_1)$ ,  $I_{e,\min}(\rho_1)$  e  $I_{e,\max}(\rho_1)$  e amplitude de  $I(\rho_1)$ 

É então possível estabelecer a nota seguinte.

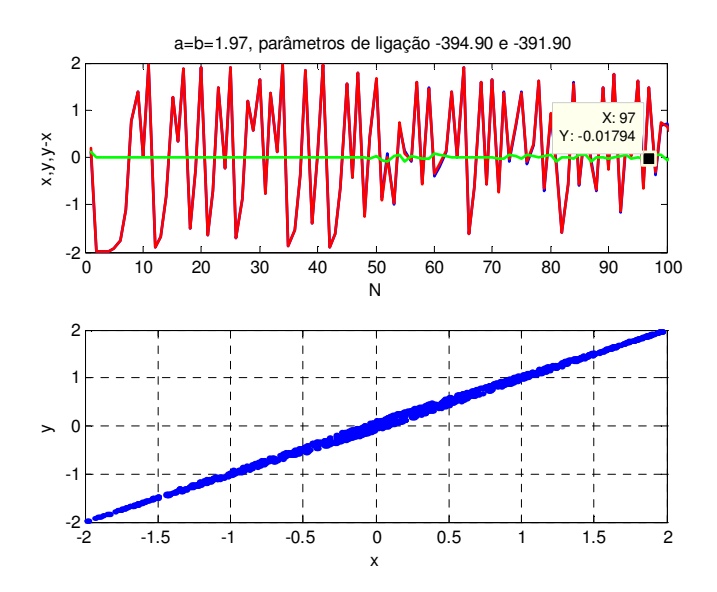


Figura 3.27: Ligação bidireccional em (3.24): (a) séries temporais, (b) atractor caótico

Nota 8 Para cada  $\rho_1 \in [-394.8, -0.1]$  existe um único intervalo  $I(\rho_1)$  de valores de  $\rho_2$ , de amplitude que varia de 39.78 a 0.01, onde a diferença y-x é limitada. Para  $\rho_1 \in [-15.0, -0.1]$  o intervalo  $I(\rho_1)$  contém dois intervalos fechados  $I_K(\rho_1)$  e  $I'_K(\rho_1)$  de valores de  $\rho_2$  para os quais é atingida sincronização prática em (3.24). O extremo inferior (superior) do intervalo  $I(\rho_1)$  é o extremo inferior (superior) do intervalo  $I_K(\rho_1)$  ( $I^2_K(\rho_1)$ ). Para  $\rho_1 \in [-394.0, -15.1]$  é atingida sincronização prática para todos os valores  $\rho_2$  do intervalo  $I(\rho_1)$ .

É então possível estabelecer a nota seguinte, um caso particular do estabelecido na Proposição 3.3.1.

Nota 9 Para  $\rho_1 = -394.90$  existe um único valor de  $\rho_2$  para o qual a diferença y-x é limitada,  $\rho_2 = -391.90$ . Tem-se  $y-x \in ]-0.10, 0.11[$  logo é alcançada sincronização prática em (3.24) (Fig. 3.27 a,b).

Para  $\rho_1=-395.00$  não é encontrado qualquer valor de  $\rho_2$  para o qual ocorra limitação da diferença y-x.

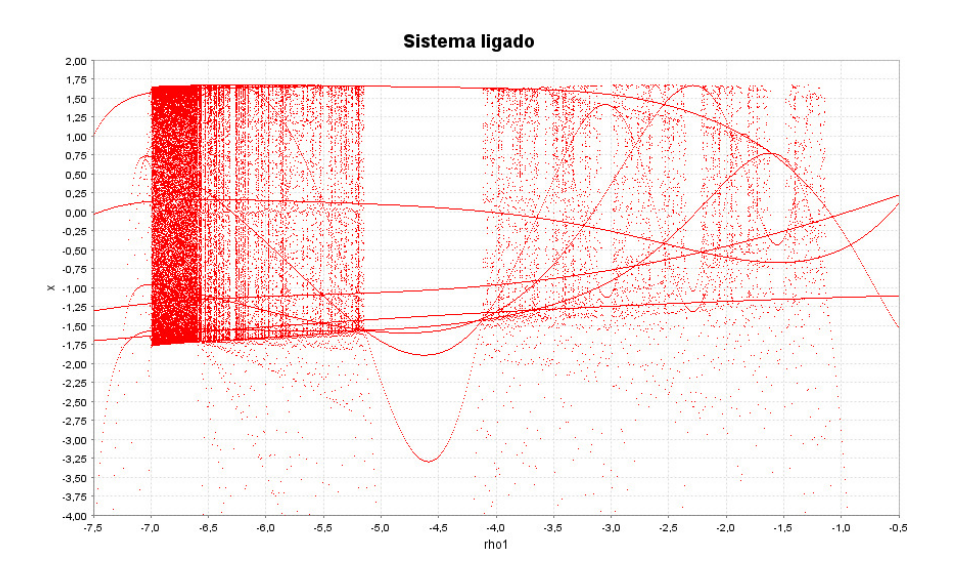


Figura 3.28: Diagrama de bifurcação do sistema ligado (3.23) para  $\rho_1 \in [-7.5, -0.5]$  com  $\rho_2 = -0.7, \, a = 1.67$  e b = 1.97

# 3.3.2 Transformações não-idênticas e dois parâmetros $\rho_1$ e $\rho_2$

## Análise da dinâmica do sistema ligado

O sistema ligado (3.23) corresponde à equação às diferenças  $(x_{n+1}, y_{n+1}) = \mathbf{F}(x_n, y_n)$ , onde  $\mathbf{F}$  é a transformação bidimensional definida por (3.6) com parâmetros distintos  $\rho_1$  e  $\rho_2$ ,

$$\mathbf{F}(x,y) = \left(a - x^2 + \rho_1 (x - y)^2, b - y^2 + \rho_2 (x - y)^2\right).$$

Dado que  $a \neq b$  e  $\rho_1 \neq \rho_2$ , esta ligação é a que apresenta o mais elevado grau de assimetria de entre as consideradas.

Considere fixados os valores paramétricos distintos a=1.67 e b=1.97, ambos de valor superior a  $a^* \simeq 1.565$ . Seguem-se os diagramas de bifurcação obtidos em função de  $\rho_1$  (Fig. 3.28), fixando  $\rho_2=-0.70$ , e em função de  $\rho_2$  (Fig. 3.29), fixando  $\rho_1=-7.00$ , onde é visível uma região de caos.

#### Estabilidade local da sincronização

A equação geral de anulação da diferença y-x entre as variáveis

$$y_{n+1} - x_{n+1} = 0 \Leftrightarrow b - a + [x_n + y_n + (\rho_2 - \rho_1)(x_n - y_n)](x_n - y_n) = 0$$

não permite obter uma relação que garanta a sincronização do sistema ligado (3.23).

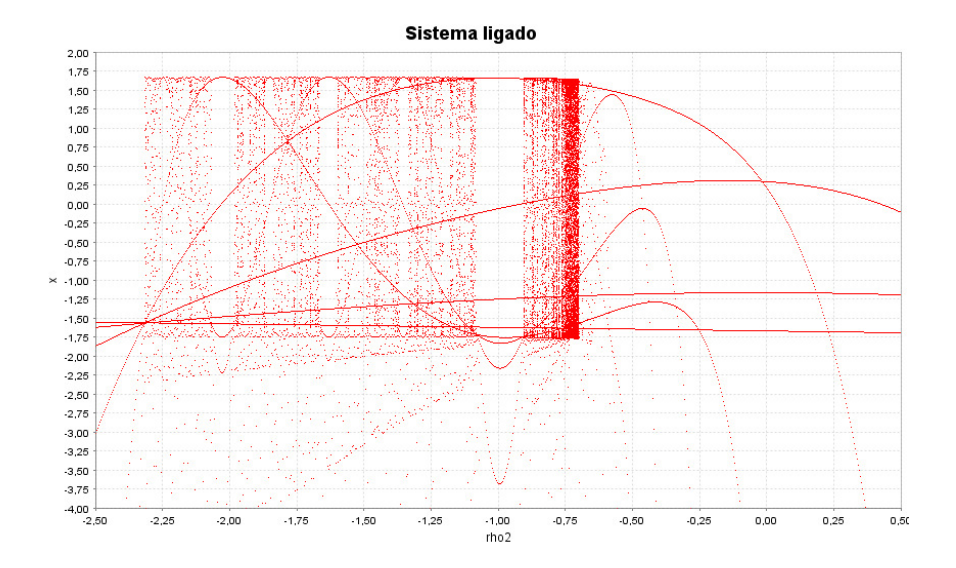


Figura 3.29: Diagrama de bifurcação do sistema ligado (3.23) para  $\rho_2 \in [-2.5, 0.5]$  com  $\rho_1 = -7.00, \ a = 1.67$  e b = 1.97

Para o estudo da estabilidade transversal do atractor caótico  $\mathcal{A}$  de (3.23), considere as variáveis (3.10). O sistema ligado (3.23) é então reescrito como

$$\begin{cases} u_{n+1} = a + b - \frac{1}{2} (u_n^2 + v_n^2) + (\rho_1 + \rho_2) v_n^2 \\ v_{n+1} = b - a - u_n v_n + (\rho_2 - \rho_1) v_n^2. \end{cases}$$

Para a=1.67 e b=1.97, que conduzem a comportamento caótico das transformações, tem-se o sistema transversal

$$\begin{cases} u_{n+1} = 3.64 - \frac{1}{2} (u_n^2 + v_n^2) + (\rho_1 + \rho_2) v_n^2 \\ v_{n+1} = 0.3 - u_n v_n + (\rho_2 - \rho_1) v_n^2. \end{cases}$$

Os pontos fixos do sistema tranversal, as soluções de

$$\begin{cases} 3.64 - 0.5 (u^2 + v^2) + (\rho_1 + \rho_2) v^2 = u \\ 0.3 - uv + (\rho_2 - \rho_1) v^2 = v, \end{cases}$$

são  $P_1'(u_+, v_+)$  e  $P_2'(u_-, v_-)$  de coordenadas

$$v_{\pm} = \left[ \frac{0.6 \left( \rho_2 - \rho_1 \right) - 8.28}{2A} \pm \left( \frac{\left( 8.28 - 0.6 \left( \rho_2 - \rho_1 \right) \right)^2}{4A^2} + \frac{0.09}{A} \right)^{1/2} \right]^{1/2}$$

 $\mathbf{e}$ 

$$u_{\pm} = \frac{3}{10v_{+}} + (\rho_{2} - \rho_{1})v_{\pm} - 1,$$

e  $P_3' \left( -0.3/v_+ - (\rho_2 - \rho_1) \, v_+ - 1, -v_+ \right)$  e  $P_4' \left( -0.3/v_- - (\rho_2 - \rho_1) \, v_- - 1, -v_- \right)$  (obtido das mesmas coordenadas), em que  $A \equiv 2 \left( \rho_1 + \rho_2 \right) - 1 - \left( \rho_2 - \rho_1 \right)^2 \neq 0$ . Os pontos  $P_1' \left( u_+, v_+ \right)$  e  $P_3' \left( -0.3/v_+ - (\rho_2 - \rho_1) \, v_+ - 1, -v_+ \right)$  estão definidos como números reais sempre que A > 0 ou  $A < -(63.8888 - 4.6296 \left( \rho_2 - \rho_1 \right))^2 < 0$ . Os pontos fixos  $P_2' \left( u_-, v_- \right)$  e  $P_4' \left( -0.3/v_- - (\rho_2 - \rho_1) \, v_- - 1, -v_- \right)$  estão definidos como números reais sempre que  $A < -(63.8888 - 4.6296 \left( \rho_2 - \rho_1 \right))^2 < 0$  e  $\rho_2 - \rho_1 < 13.8$ . Se  $2 \left( \rho_1 + \rho_2 \right) - 1 - \left( \rho_2 - \rho_1 \right)^2 = 0$  os pontos fixos do sistema transversal são

(3.28) 
$$P_1'(u,v) = \left(\frac{3}{10}\sqrt{\frac{B}{0.045}} - 1 + (\rho_2 - \rho_1)\sqrt{\frac{0.045}{B}}, \sqrt{\frac{0.045}{B}}\right)$$

 $\mathbf{e}$ 

$$(3.29) P_2'(u,v) = \left(-\frac{3}{10}\sqrt{\frac{B}{0.045}} - 1 - (\rho_2 - \rho_1)\sqrt{\frac{0.045}{B}}, -\sqrt{\frac{0.045}{B}}\right)$$

onde  $B \equiv 4.14 - 0.3 (\rho_2 - \rho_1)$ . Neste caso os pontos fixos estão bem definidos como números reais para  $\rho_2 < \rho_1 + 13.8$ .

A matriz Jacobiana

$$\mathbf{J}(u,v) = \begin{bmatrix} -u & -v + 2(\rho_1 + \rho_2)v \\ -v & -u + 2(\rho_2 - \rho_1)v \end{bmatrix}$$

da transformação bidimensional

$$\mathbf{L}(u,v) = \left(3.64 - 0.5\left(u^2 + v^2\right) + (\rho_1 + \rho_2)v^2, 0.3 - uv + (\rho_2 - \rho_1)v^2\right),\,$$

definida pelo sistema transversal, tem por valores próprios

$$\Lambda_{\pm} = \rho_2 - \rho_1 - 2u \pm \sqrt{v^2 \left[1 - 2(\rho_1 + \rho_2)\right] + (\rho_2 - \rho_1)(\rho_2 - \rho_1 - 2u + 2uv)}.$$

A Tabela 3.17 apresenta os pontos fixos  $P_1'$ ,  $P_2'$ ,  $P_3'$  e  $P_4'$  do sistema transversal, e os respectivos valores próprios para os pares de parâmetros de controle  $(\rho_1, \rho_2) = (-7.00, -0.70)$  e  $(\rho_1, \rho_2) = (9.53, 16.70)$ . Note que para  $(\rho_1, \rho_2) = (9.53, 16.70)$  os pontos fixos são dados por (3.28) e (3.29).

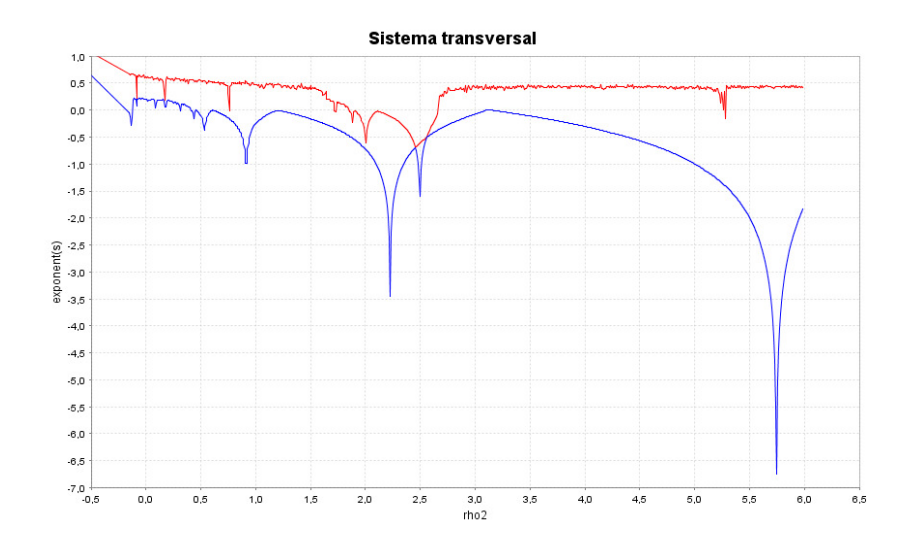


Figura 3.30: Expoentes de Lyapunov do sistema transversal versus  $\rho_2$  para  $\rho_2 \in [-0.5, 6.5]$  com  $\rho_1=9.53,~a=1.67$  e b=1.97

$P_i'$ e $\Lambda_{\pm}^{P_i'}$	$(\rho_1, \rho_2) = (-7.00, -0.70)$	$(\rho_1, \rho_2) = (9.53, 16.70)$
$P'_1$	(1.7671, 0.1948)	(2.0730, 0.1503)
$P_2'$	(1.7544, 0.2055)	não definido
$P_3'$	(-3.7671, -0.1948)	(-4.0730, -0.1503)
$P_4'$	(-3.7544, -0.2055)	não definido
$\Lambda_+^{P_1'}, \Lambda^{P_1'}$	7.49700, -1.9656	8.0225, -1.9749
$\Lambda_+^{P_2'}, \Lambda^{P_2'}$	7.5682, -1.9860	não definido
$\Lambda_+^{P_3'}, \Lambda^{P_3'}$	23.6846, 3.9840	26.1530, 4.4793
$\Lambda_+^{P_4'}, \Lambda^{P_4'}$	23.6787, 3.9391	não definido

Tabela 3.17: Pontos fixos  $P_i'$ e valores próprios  $\Lambda_{\pm}^{P_i'}$  para  $i=1,\dots,4$ 

Tomando condições iniciais  $u_0=0.15$  e  $v_0=0.05$  e  $\rho_1=9.53$ , verifica-se que o expoente de Lyapunov transversal  $\lambda_v$ , assim como o tangencial  $\lambda_u$ , é positivo para alguns intervalos de valores de  $\rho_2$  e negativos noutros (Fig. 3.30). Como tal apenas é alcançada sincronização estável para alguns valores das forças de ligação. Para as mesmas condições iniciais, tomando  $\rho_1=-7$  obtêm-se conclusões análogas (Fig. 3.31)

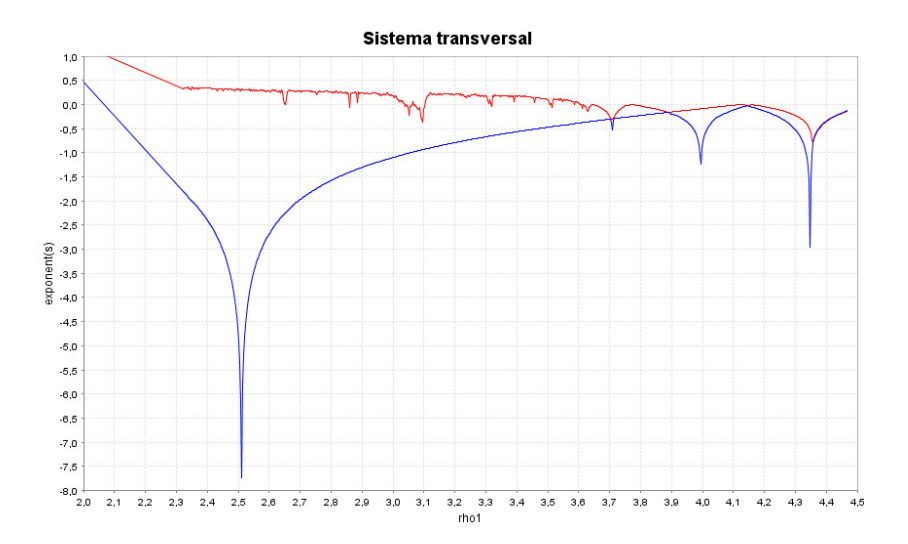


Figura 3.31: Expoentes de Lyapunov do sistema transversal versus  $\rho_1$  para  $\rho_1 \in [2,4.5]$  com  $\rho_2 = -7,~a = 1.67$  e b = 1.97

#### Abordagem computacional

No estudo computacional da ligação em (3.23), que se resume em seguida, foram tomados a = 1.67 e b = 1.97 e efectuadas N = 2000 iterações a partir de condições iniciais diferentes  $x_0 = 0.1$  e  $y_0 = 0.2$ .

Considere valores de  $\rho_2$  não-positivos em passo de uma décima. Para cada valor de  $\rho_2$  no intervalo [-0.7,0] é possível determinar um intervalo  $I(\rho_2)$  de valores de  $\rho_1$  para o qual é limitada a diferença y-x entre as variáveis. Para  $\rho_1 \notin I(\rho_2)$  a diferença y-x explode para infinito (considerando o passo de uma centésima).

Sejam  $I_{e,\min}(\rho_2)$  e  $I_{e,\max}(\rho_2)$  os intervalos de variação da diferença y-x para, respectivamente, os extremos inferior e superior do intervalo  $I(\rho_2)$ . As Tabelas 3.18 e 3.19 resumem o estudo efectuado para  $\rho_2 = -0.7 + 0.1n$ ,  $n = 1, \ldots, 7$ , quando a amplitude de  $I_{e,\max}(\rho_2)$  é, respectivamente, inferior ou superior a 1.

$\rho_2$	$I\left(  ho_{2} ight)$	$I_{e,\min}\left(\rho_{2}\right)$	$I_{e,\max}\left(\rho_{2}\right)$
-0.7	[-7.00, -6.60]	]-0.21, 0.34[	]-0.27, 0.33[
-0.6	[-6.91, -5.50]	]-0.21, 0.34[	]-0.36, 0.32[
-0.5	[-6.82, -4.40]	]-0.21, 0.34[	]-0.47, 0.33[

Tabela 3.18: Intervalos  $I(\rho_2)$  com amplitude de  $I_{e,\max}(\rho_2)$  inferior a 1

$\rho_2$	$I\left(  ho_{2} ight)$	$I_{e,\min}\left(\rho_{2}\right)$	$I_{e,\max}\left(\rho_{2}\right)$
-0.4	[-6.74, -3.30]	]-0.21, 0.34[	]-0.65, 0.41[
-0.3	[-6.65, -2.20]	]-0.21, 0.34[	]-0.99, 0.67[
-0.2	[-6.56, -1.10]	]-0.21, 0.34[	]-1.61, 1.20[
-0.1	[-6.48, 0]	]-0.20, 0.34[	]-3.34, 2.84[
0	[-6.39, 1.10]	]-0.20, 0.34[	]-39.69, 39.08[

Tabela 3.19: Intervalos  $I(\rho_2)$  com amplitude de  $I_{e,\max}(\rho_2)$  superior a 1

Quando  $\rho_2$  aumenta de -0.7 até 0 verifica-se que a amplitude dos sucessivos intervalos  $I(\rho_2)$  aumenta de 0.4 até 7.49 e os sucessivos extremos superiores de  $I(\rho_2)$  distam entre si de 1.1, max  $I(\rho_2 + 0.1) = 1.1 + \max I(\rho_2)$ . Para  $\rho_2 = -0.8$  a diferença y - x explode para infinito para qualquer valor de  $\rho_1$  tomado (considerando o passo de uma centésima).

Fixado um valor de  $\rho_2$  no intervalo [-0.7,0], a diferentes valores  $\rho_1$  e  $\rho_1'$  no intervalo  $I(\rho_2)$  correspondem diferentes intervalos de variação da diferença y-x. No entanto, existe um intervalo fechado  $I_K(\rho_2) \subseteq I(\rho_2)$  de valores de  $\rho_1$  para o qual os correspondentes intervalos de variação de y-x têm amplitude inferior a 1. Ao intervalo  $I_K(\rho_2)$  pertencem os valores de  $\rho_1$  para os quais se obtem sincronização prática em (3.23) com o par de parâmetros de ligação  $(\rho_1,\rho_2)$ . Um dos valores do intervalo  $I_K(\rho_2)$  é o valor mínimo de  $\rho_1$  em  $I(\rho_2)$ : se  $-0.7 \le \rho_2 \le -0.2$  o erro de sincronização e=y-x varia no intervalo  $I_{e,\min}(\rho_2)=]-0.21, 0.34[$  de amplitude 0.55<1 e, se  $-0.1 \le \rho_2 \le 0$ , e varia no intervalo  $I_{e,\min}(\rho_2)=]-0.20, 0.34[$  de amplitude 0.54<1. Além disso, para  $\rho_2=-0.7+0.1n$ , com  $n=1,\ldots,4$ , tem-se mesmo  $I_K(\rho_2)=I(\rho_2)$  enquanto para  $\rho_2=-0.2$  e  $\rho_2=-0.1$  o intervalo  $I_K(\rho_2)$  está estritamente contido em  $I(\rho_2)$ ,  $I_K(-0.2)=[-6.56,-3.81] \subset [-6.56,-1.10]$  e  $I_K(-0.1)=[-6.84,-3.15] \subset [-6.48,0]$ . A nota seguinte estabelece a existência da sincronização prática observada.

Nota 10 Para cada  $\rho_2 \in [-0.7, 0]$  existe um intervalo fechado  $I_K(\rho_2) \subseteq I(\rho_2)$  de valores de  $\rho_1$  para o qual é atingida sincronização prática em (3.23). A amplitude do intervalo  $I(\rho_2)$  aumenta quando  $\rho_2$  aumenta.

A amplitude do intervalo  $I_{e,\text{max}}(\rho_2)$  aumenta de 0.6 a 6.18 quando  $\rho_2$  varia de -0.7 a -0.1. A Figura 3.32 (a-d) ilustra os resultados obtidos para  $\rho_2 = -0.7$ . São obtidas as menores variações do erro de sincronização com o par de parâmetros de ligação  $(\rho_1, \rho_2) = (-7.00, -0.70)$ , conforme estabelece a nota seguinte.

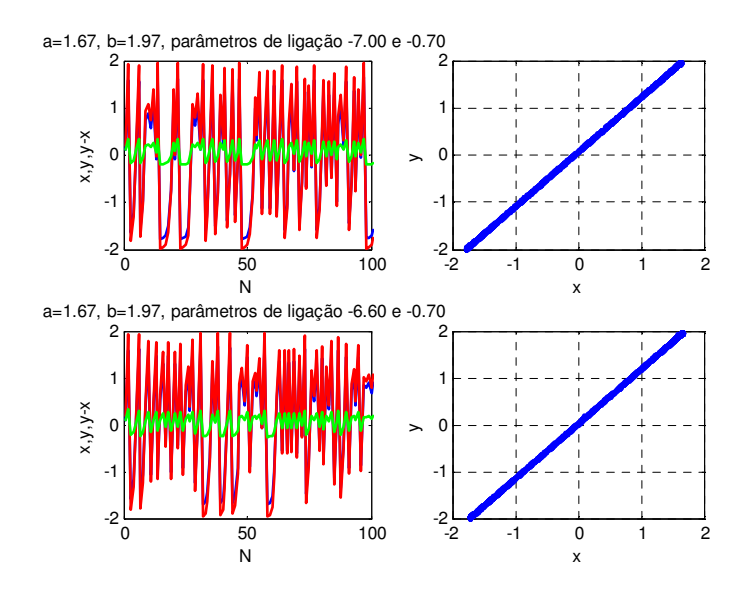


Figura 3.32: Ligação bidireccional em (3.23): (a,c) séries temporais, (b,d) atractores caóticos

Nota 11 Se  $\rho_1 = -7.00$  e  $\rho_2 = -0.70$  é atingida sincronização prática em (3.23) com a menor variação do erro de sincronização, pois e varia no intervalo  $I_{e,\min}(-0.7) = ]-0.21, 0.34[$  de amplitude minimal 0.55.

Considere agora valores de  $\rho_2$  positivos. Para  $\rho_2=0.1$  tem-se  $I\left(0.1\right)=\left[-6.30,0.46\right]$  de amplitude 6.76 inferior à amplitude 7.49 obtida para  $\rho_2=0$ . Na verdade, o aumento progressivo da amplitude de  $I\left(\rho_2\right)$  verificada para  $\rho_2\leq 0$  dá lugar, para  $\rho_2>0$ , a uma progressiva diminuição. A nota seguinte estabelece a existência de sincronização prática em (3.23) para  $\rho_2>0$ .

Nota 12 Para cada  $\rho_2 \in [0.1, 59.5]$  existe um intervalo fechado  $I_K(\rho_2) \subseteq I(\rho_2)$  de valores de  $\rho_1$  para o qual é atingida sincronização prática em (3.23). A amplitude do intervalo  $I(\rho_2)$  diminui quando  $\rho_2$  aumenta.

A Tabela 3.20 resume o estudo efectuado para  $\rho_2 = 0.1n, n = 1, \dots, 9$ . Da última coluna consta o maior valor de  $\rho_1$  no intervalo  $I(\rho_2)$  para o qual se obtem um intervalo

$\rho_2$	$I\left( \rho_{2}\right)$	$I_{e,\min}\left(\rho_{2}\right)$	$I_{e,\max}\left(\rho_{2}\right)$	$\rho_1 = \max I_K\left(\rho_2\right)$
0.1	[-6.30, 0.46]	]-0.20, 0.33[	]-36.11, 35.47[	-2.99
0.2	[-6.22, 0.30]	]-0.20, 0.34[	]-33.83, 33.41[	-2.95
0.3	[-6.13, 0.20]	]-0.20, 0.33[	]-32.77, 32.29[	-2.92
0.4	[-6.04, 0.13]	]-0.20, 0.33[	]-28.12, 27.63[	-2.77
0.5	[-5.96, 0.08]	]-0.20, 0.34[	]-24.34, 23.89[	-2.71
0.6	[-5.87, 0.05]	]-0.20, 0.34[	]-60.61, 59.96[	-2.63
0.7	[-5.78, 0.02]	]-0.20, 0.34[	]-19.92, 19.46[	-2.61
0.8	[-5.70, 0.01]	]-0.19, 0.34[	]-45.43, 44.97[	-2.56
0.9	[-5.61, 0]	]-0.19, 0.34[	]-28.50, 28.12[	-2.42

de variação de y-x com amplitude inferior a 1, ou seja, o extremo superior de  $I_K(\rho_2)$ .

Tabela 3.20: Intervalos  $I(\rho_2)$ ,  $I_{e,\min}(\rho_2)$  e  $I_{e,\max}(\rho_2)$  e  $\max I_K(\rho_2)$ 

Tem-se  $I_{e,\text{max}}(0.1) = ]-36.11, 35.47[ \subset ]-39.69, 39.08[ = <math>I_{e,\text{max}}(0)$  e, conforme é evidenciado pela quarta coluna, continua a inverter-se a tendência de aumento da diferença y-x com  $\rho_2$  verificada para  $-0.7 \le \rho_2 < 0$ : para  $0 \le \rho_2 \le 0.5$  a amplitude do intervalo  $I_{e,\text{max}}(\rho_2)$  diminui quando  $\rho_2$  aumenta. Esta é a primeira evidência numérica para a possibilidade de obter sincronização prática em (3.23) quando  $\rho_2 > 0$ . Conforme se expõe de seguida existem pares de parâmetros de ligação  $(\rho_1, \rho_2)$  para os quais é também alcançada sincronização assimptótica. Embora, em  $\rho_2 = 0.6$  e  $\rho_2 = 0.8$  se observe um aumento da amplitude do intervalo  $I_{e,\text{max}}(\rho_2)$ , volta a observar-se a diminuição da amplitude de  $I_{e,\text{max}}(\rho_2)$  para alguns valores de  $\rho_2$  superiores a 0.9. Além disso, para valores de  $\rho_2$  superiores a 1 o max  $I_K(\rho_2)$  aumenta ou mantem-se, contrariamente ao verificado para os anteriores valores de  $\rho_2$ . Nota-se no entanto que a amplitude dos intervalos  $I(\rho_2)$  e  $I_K(\rho_2)$  continua a diminuir. Prosseguindo com valores de  $\rho_2$  superiores a 0.9, apresenta-se a Tabela 3.21 com os valores obtidos para  $\rho_2 = 0.9 + 0.1n$ , com  $n = 1, \ldots, 7$ .

$\rho_2$	$I\left( \rho_{2}\right)$	$I_{e,\min}\left(\rho_{2}\right)$	$I_{e,\max}\left(\rho_{2}\right)$	$\rho_1 = \max I_K\left(\rho_2\right)$
1.0	[-5.53, -0.01]	]-0.19, 0.34[	]-13.93, 14.09[	-2.31
1.1	[-5.44, 0]	]-0.19, 0.34[	]-27.59, 26.91[	-2.24
1.2	[-5.35, 0]	]-0.19, 0.34[	]-13.65, 13.25[	-2.21
1.3	[-5.27, 0.01]	]-0.19, 0.34[	]-12.76, 12.29[	-2.10
1.4	[-5.18, 0.03]	]-0.19, 0.34[	]-20.23, 19.88[	-2.01
1.5	[-5.09, 0.05]	]-0.19, 0.34[	]-51.51, 51.14[	-1.95

Tabela 3.21: Intervalos  $I(\rho_2)$ ,  $I_{e,\min}(\rho_2)$  e  $I_{e,\max}(\rho_2)$  e  $\max I_K(\rho_2)$ 

O estudo efectuado para valores superiores de  $\rho_2$ , confirma a tendência de resultados verificada para  $\rho_2 = 1.2 + 0.1n$ , n = 1, ..., 4: o aumento progressivo tanto de max  $I(\rho_2)$  como de min  $I(\rho_2)$ , a diminuição da amplitude de  $I(\rho_2)$  e o aumento do valor máximo de  $I_K(\rho_2)$ .

A partir de  $\rho_2 = 2.4$  começa então a tornar-se mais evidente a diminuição da amplitude do intervalo  $I_{e,\text{max}}(\rho_2)$ . As Tabelas 3.22 e 3.23 apresentam os resultados obtidos para  $\rho_2 = 2.4 + 0.1n, n = 1, \dots, 7$ , e  $\rho_2 = 3.5 + 0.1n, n = 1, \dots, 7$ .

$\rho_2 \mid I(\rho_2)$	$I_{e,\min}\left(\rho_{2}\right)$	$I_{e,\max}\left(\rho_{2}\right)$	$\rho_1 = \max I_K\left(\rho_2\right)$
$2.5 \mid [-4.23, 0.33]$	]-0.17, 0.34[	]-5.63, 6.45[	-1.26
2.6  [-4.14, 0.37]	]-0.17, 0.34[	]-6.66, 7.44[	-1.19
2.7  [-4.05, 0.41]	]-0.17, 0.34[	]-7.34, 8.22[	-1.11
$2.8 \mid [-3.97, 0.45]$	]-0.17, 0.34[	]-7.40, 8.11[	-1.01
2.9  [-3.88, 0.49]	]-0.17, 0.34[	]-6.27, 6.94[	-0.91
$3.0 \mid [-3.80, 0.53]$	]-0.16, 0.34[	]-4.92, 5.55[	-0.82
3.1  [-3.71, 0.57]	]-0.16, 0.34[	]-3.80, 4.39[	-0.74

Tabela 3.22: Intervalos  $I\left(\rho_{2}\right)$ ,  $I_{e,\min}\left(\rho_{2}\right)$  e  $I_{e,\max}\left(\rho_{2}\right)$  e  $\max I_{K}\left(\rho_{2}\right)$ 

$\rho_2 \mid I(\rho_2)$	$I_{e,\min}\left(\rho_{2}\right)$	$I_{e,\max}\left(\rho_{2}\right)$	$\rho_1 = \max I_K(\rho_2)$
$3.6 \mid [-3.28, 0.80]$	]-0.16, 0.34[	]-2.19, 1.37[	-0.34
$\boxed{3.7 \mid [-3.19, 0.85]}$			
$\boxed{3.8 \ [-3.10, 0.90]}$	•	•	
$\boxed{3.9 \mid [-3.02, 0.95]}$	•	•	
$\boxed{4.0 \mid [-2.93, 1.00]}$	]-0.15, 0.34[	]-2.47, 2.39[	-0.05
$\boxed{4.1 \mid [-2.84, 1.05]}$	·!	'	
$\boxed{4.2 \mid [-2.76, 1.10]}$	]-0.15, 0.34[	]-0.54, 0.78[	0.11

Tabela 3.23: Intervalos  $I\left(\rho_{2}\right),\,I_{e,\min}\left(\rho_{2}\right)\,\in\,I_{e,\max}\left(\rho_{2}\right)\,\,\mathrm{e}\,\,\max I_{K}\left(\rho_{2}\right)$ 

Para  $\rho_2 = 4.3$  tem-se I(4.3) = [-2.67, 1.16]. Para  $\rho_1 = \max I(4.3) = 1.16$  o sistema ligado (3.23) tem o ponto periódico  $(x^*, y^*)$  de período 4 (Fig. 3.33 a,b) cuja órbita

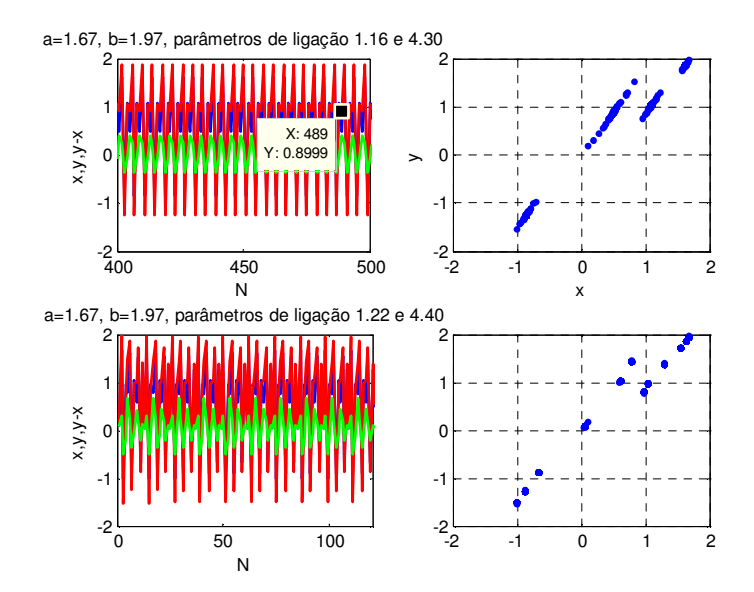


Figura 3.33: Ligação bidireccional em (3.23): (a,c) séries temporais, (b,d) atractores periódicos

 $O\left(x^{*},y^{*}\right)$  é constituida por

$$\begin{array}{lll} (x_1^*,y_1^*) & = & \left(-0.8632,-1.235\right), & \left(x_2^*,y_2^*\right) = (1.085,1.039) \\ (x_3^*,y_3^*) & = & \left(0.4956,0.8999\right) & \mathrm{e} & \left(x_4^*,y_4^*\right) = (1.614,1.863) \,. \end{array}$$

O erro de sincronização oscila entre os valores -0.3718, -0.046, 0.4043 e 0.249.

Para  $\rho_2=4.4$  tem-se I(4.4)=[-2.58,1.22]. Para  $\rho_1=\max I(4.4)=1.22$  o sistema ligado (3.23) tem o ponto periódico  $(x^*,y^*)$  de período 12 (Fig. 3.33 c,d). O erro de sincronização tem valor minimal -0.504 e valor maximal 0.6685. Ocorre também comportamento periódico em  $\rho_1=\max I_K\left(\rho_2\right)$  para grande número de valores de  $\rho_2$  tomados acima de 4.4. Seguem-se algumas tabelas (Tabelas 3.24 e 3.25) agrupadas pelos valores de  $\rho_2$  acima de 4.4 em que ocorre comportamento periódico em  $\rho_1=\max I_K\left(\rho_2\right)$  com o mesmo período. Em alternativa ao intervalo  $I_{e,\max}\left(\rho_2\right)$ , é agora possível indicar nas últimas colunas os valores maximal  $\overline{e}\left(\rho_2\right)$  e minimal  $\underline{e}\left(\rho_2\right)$  do erro de sincronização para

 $\rho_1 = \max I(\rho_2).$ 

$\rho_2$	$I(\rho_2)$	$I_{e,\min}\left(\rho_2\right)$	$\rho_1 = \max I_K\left(\rho_2\right)$	$\underline{e}\left(\rho_{2}\right)$	$\overline{e}\left(\rho_{2}\right)$
4.5	[-2.50, 1.27]	]-0.15, 0.34[	0.29	-0.3922	0.4255
4.6	[-2.41, 1.32]	]-0.15, 0.35[	0.36	-0.4125	0.4460
4.7	[-2.33, 1.38]	]-0.14, 0.35[	0.47	-0.4177	0.4512
4.8	[-2.24, 1.43]	]-0.14, 0.35[	0.55	-0.4437	0.4774
4.9	[-2.15, 1.49]	]-0.14, 0.35[	0.63	-0.4498	0.4836
5.0	[-2.07, 1.54]	]-0.14, 0.35[	0.72	-0.4851	0.5191
5.2	[-1.89, 1.65]	]-0.14, 0.35[	0.84	-0.5444	0.5787
5.4	[-1.72, 1.76]	]-0.14, 0.35[	1.02	-0.6431	0.6777
5.5	[-1.63, 1.81]	]-0.14, 0.35[	1.08	-0.9134	0.9482
5.6	[-1.55, 1.87]	]-0.13, 0.35[	1.14	-0.8898	0.9248
5.7	[-1.46, 1.92]	]-0.13, 0.35[	1.24	-0.8012	0.6243
5.8	[-1.37, 1.98]	]-0.13, 0.35[	1.96	-0.5564	0.3474

Tabela 3.24: Pontos de período 4 para  $\rho_1 = \max I_K(\rho_2)$ 

$\rho_2$	$I(\rho_2)$	$I_{e,\min}\left(\rho_{2}\right)$	$\rho_1 = \max I_K\left(\rho_2\right)$	$\underline{e}\left(\rho_{2}\right)$	$\overline{e}\left(\rho_{2}\right)$
5.9	[-1.29, 2.05]	]-0.13, 0.35[	2.03	-0.6132	0.3725
6.0	[-1.20, 2.12]	]-0.13, 0.35[	2.09	-0.2143	0.2143
6.1	[-1.11, 2.19]	]-0.13, 0.35[	2.16	-0.2150	0.2150

Tabela 3.25: Pontos de período 2 para  $\rho_1 = \max I_K(\rho_2)$ 

Nota-se que para alguns dos valores de  $\rho_2$  da Tabela 3.23 também se observa comportamento periódico em  $\rho_1 = \min I\left(\rho_2\right)$ : período 12 para  $\rho_2 = 4.7$ , período 6 para  $\rho_2 = 4.8$ , período 4 para  $\rho_2 = 4.9$  e período 3 para  $\rho_2 = 5.0$ ,  $\rho_2 = 5.2$  e  $\rho_2 = 5.4$ .

Para  $\rho_2=5.1$  tem-se I(5.1)=[-1.98,1.60] e, quando  $\rho_1=\max I(5.1)=1.60$ , observase comportamento periódico de período 20 com  $\overline{e}(5.1)=0.8381$  e  $\underline{e}(5.1)=-0.6374$ . Para  $\rho_2=5.3$  tem-se I(5.3)=[-1.81,1.71] e, quando  $\rho_1=\max I(5.3)=1.71$ , observa-se comportamento periódico de período 24 com  $\overline{e}(5.3)=0.9840$  e  $\underline{e}(5.3)=-0.7463$ . Para  $\rho_1=\min I(5.3)=-1.81$  também se observa comportamento periódico de período 3.

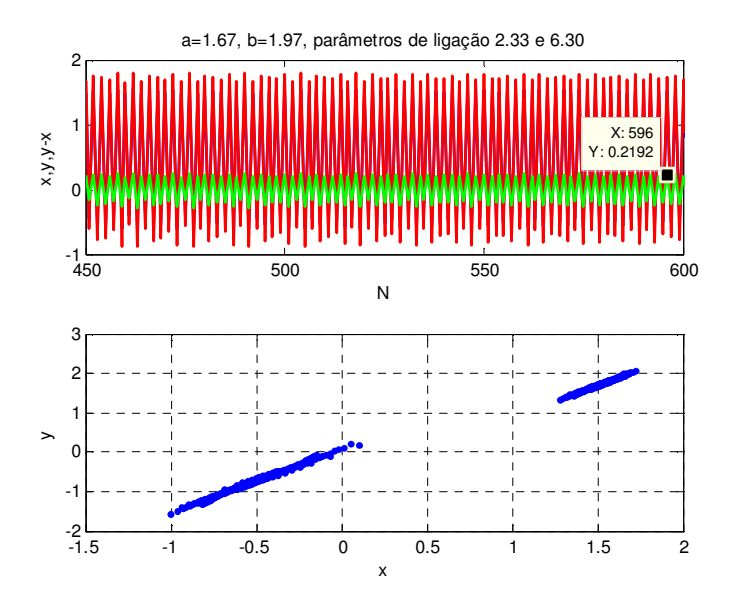


Figura 3.34: Ligação bidireccional em (3.23): (a) séries temporais, (b) atractor periódico

Quando  $\rho_2=6.3$  obtem-se sincronização prática em (3.23) (Fig. 3.34 a,b) para todos os valores do parâmetro  $\rho_1$  no intervalo  $I\left(\rho_2\right)$ , ou seja,  $I_K\left(\rho_2\right)=I\left(\rho_2\right)$ . O mesmo acontece para  $\rho_2>6.3$ .

O estudo computacional para valores de  $\rho_2$  acima de 6.3 revela observações análogas às obtidas para os valores positivos de  $\rho_2$  já descritos.

Em  $\rho_2=16.7$  obtem-se o primeiro valor de  $\rho_2$  para o qual é alcançada estabilização do erro de sincronização em (3.23) para valores de  $\rho_1$  num intervalo fechado  $I_A(\rho_2)\subseteq I_K(\rho_2)=I(\rho_2)$ . Tem-se I(16.7)=[8.05,9.54]. Para  $\rho_1=\min I(16.7)=8.05$  o sistema ligado (3.23) tem um ponto periódico  $(x^*,y^*)$  estável de período 4 (Fig. 3.35 a,b) cuja órbita  $O(x^*,y^*)$  é constituida por

$$\begin{array}{lll} (x_1^*,y_1^*) & = & (-0.3566,-0.3426)\,, & (x_2^*,y_2^*) = (1.544,1.856) \\ \\ (x_3^*,y_3^*) & = & (0.06573,0.1458) & \mathrm{e} & (x_4^*,y_4^*) = (1.717,2.056)\,. \end{array}$$

Como tal o erro de sincronização oscila entre os valores 0.014, 0.312, 0.08007 e 0.339. No entanto, em  $\rho_1 = \max I(16.7) = 9.54$ , o erro de sincronização estabiliza no valor  $\overline{e}(\rho_2) = \underline{e}(\rho_2) = 0.1502$  a partir de um número muito elevado de iterações (Figs. 3.36 obtida para N = 28000).

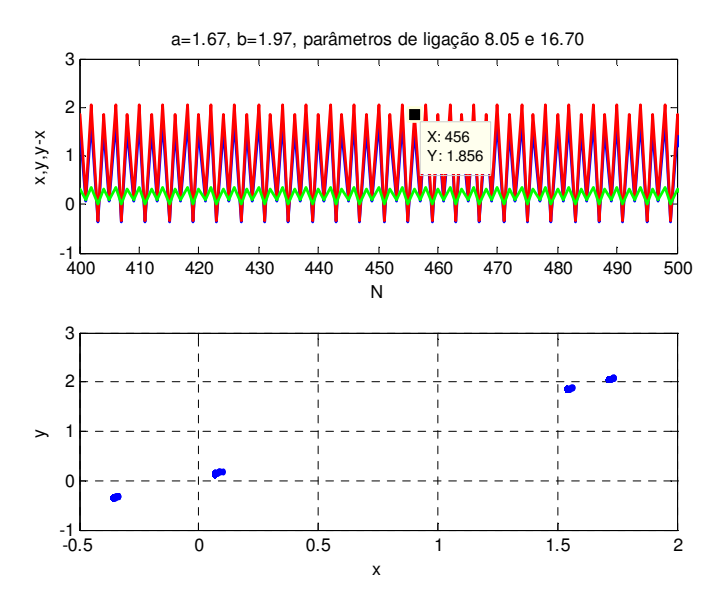


Figura 3.35: Ligação bidireccional em (3.23): (a) séries temporais, (b) atractor periódico

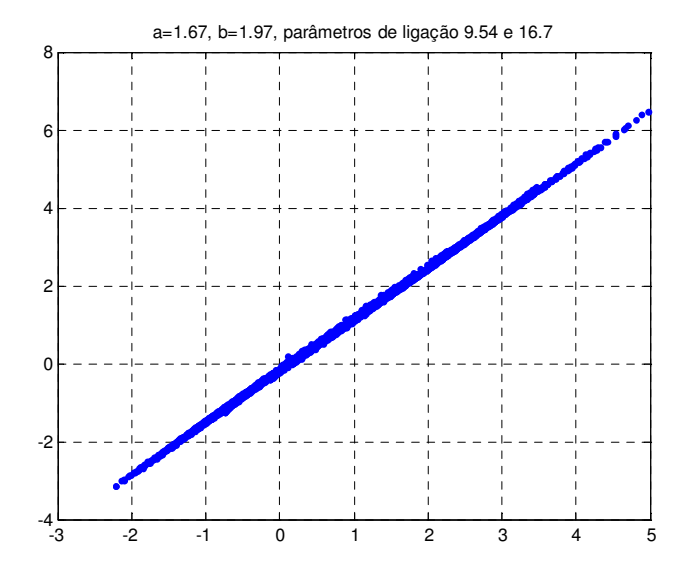


Figura 3.36: Ligação bidireccional em (3.23): hiperplano de sincronização

Seja F a transformação bidimensional

$$\mathbf{F}(x,y) = \left(a - x^2 + \rho_1 (x - y)^2, b - y^2 + \rho_2 (x - y)^2\right)$$

obtida do sistema ligado (3.23). Os pontos fixos de (3.23) são as soluções da equação  $\mathbf{F}(x,y)=(x,y)$ . Averiguamos a estabilidade local dos pontos fixos pelo estudo dos valores próprios da matriz Jacobiana de  $\mathbf{F}$ ,

$$D\mathbf{F}(x,y) = \begin{bmatrix} 2\rho_{1}(x-y) - 2x & -2\rho_{1}(x-y) \\ 2\rho_{2}(x-y) & -2y - 2\rho_{2}(x-y) \end{bmatrix},$$

calculada em cada um deles. Para  $\rho_1=9.54$  e  $\rho_2=16.7$ os pontos fixos encontrados são

$$P_1(-1.9612, -2.1114)$$
 e  $P_2(0.9612, 1.1114)$ .

O ponto fixo  $P_1$  é instável dado que os seus valores próprios,  $\Lambda_1 = \Lambda_2 = 2.9972 + 0.0695i$  têm módulo superior a 1,

$$|\Lambda_1| = |\Lambda_2| = 2.9980.$$

O ponto fixo  $P_2$  é estável dado que os seus valores próprios,  $\Lambda_1 = \Lambda_2 = -0.9972 + 0.0695i$  têm módulo inferior a 1,

$$|\Lambda_1| = |\Lambda_2| = 0.9996.$$

No entanto,  $\rho_1=9.53$  é o primeiro valor de  $\rho_1$  para o qual é alcançada estabilização do erro de sincronização, embora este estabilize no valor  $\overline{e}\left(\rho_2\right)=\underline{e}\left(\rho_2\right)=0.1504$ , superior a 0.1502 obtido para  $\rho_1=9.54$ . Contudo, a estabilização do erro ocorre a partir de um número menos elevado de iterações que o observado para  $\rho_1=9.54$  (aproximadamente 2119 iterações).

Em  $\rho_2=31.0$  encontra-se o primeiro valor inteiro de  $\rho_2$  para o qual é alcançada estabilização do erro de sincronização para todos os valores de  $\rho_1$  no intervalo  $I(\rho_2)$ , ou seja, para o qual  $I_A(\rho_2)=I(\rho_2)$ . Tem-se  $I(\rho_2)=I_A(\rho_2)=[20.42,21.55]$  em que o erro estabiliza em e=0.283 com x=1.368 e y=1.669 para  $\rho_1=20.42$ , e estabiliza em  $\overline{e}(\rho_2)=\underline{e}(\rho_2)=0.172$  com x=1.099 e y=1.271 para  $\rho_1=21.55$ .

A nota seguinte estabelece a possibilidade de obter estabilização do erro de sincronização.

Nota 13 Para cada  $\rho_2 \in [16.7, 30.9]$  existe um intervalo fechado  $I_A(\rho_2) \subset I(\rho_2)$  de valores de  $\rho_1$  para o qual é atingida estabilização do erro de sincronização num valor próximo de 0. Para cada  $\rho_2 \in [31.0, 59.4]$  é atingida estabilização do erro de sincronização num valor próximo de 0 para todo o  $\rho_1 \in I(\rho_2)$ .

A Tabela 3.26 apresenta os resultados obtidos para alguns valores de  $\rho_2$  superiores a 16.7 e inferiores a 31.0 para os quais  $I_A(\rho_2) \subset I(\rho_2)$ .

$\rho_2$	$I\left(\rho_{2}\right)$	$I_A\left(\rho_2\right)$	$\overline{e}\left(\rho_{2}\right)$	$\underline{e}\left(\rho_{2}\right)$
17.0	[8.31, 9.79]	[9.76, 9.79]	0.1506	0.1512
18.0	[9.18, 10.63]	[10.51, 10.63]	0.1542	0.1518
20.0	[10.91, 12.63]	[12.02, 12.63]	0.1544	0.1609
30.0	[19.55, 20.69]	[19.56, 20.69]	0.1706	0.2737

Tabela 3.26: Intervalos  $I_{A}\left(\rho_{2}\right)\subset I\left(\rho_{2}\right)$ e valores extremos de e

Para os valores de  $\rho_2$  na Tabela 3.26 observa-se comportamento periódico em  $\rho_1 = \min I(\rho_2)$ : período 4 para  $(\rho_1, \rho_2) = (8.31, 17.0)$  com erro a oscilar entre 0.3379, 0.01878, 0.3149 e 0.07486, período 2 para  $(\rho_1, \rho_2) = (9.18, 18.0)$ ,  $(\rho_1, \rho_2) = (10.91, 20.0)$  e  $(\rho_1, \rho_2) = (19.55, 30.0)$  com erros mínimo e máximo dados, respectivamente, por 0.04583 e 0.3286, 0.06092 e 0.3341 e 0.2701 e 0.299.

A Tabela 3.27 apresenta os resultados obtidos para alguns valores de  $\rho_2$  superiores a 31.0 e inferiores a 59.0, para os quais  $I_A(\rho_2) = I(\rho_2)$ .

$\rho_2$	$I\left(\rho_{2}\right)=I_{A}\left(\rho_{2}\right)$	$e_{\min I(\rho_2)}$	$e_{\max I(\rho_2)}$
32.0	[21.28, 22.34]	0.2954	0.1754
33.0	[22.15, 23.19]	0.2936	0.1771
35.0	[23.88, 24.91]	0.3054	0.18
40.0	[28.20, 29.10]	0.3536	0.1927
50.0	[36.85, 37.26]	0.5229	0.2562
55.0	[41.17, 41.49]	1.122	0.298
58.0	[43.78, 43.87]	0.9891	0.4538
59.0	[44.70, 44.74]	0.5562	0.4682

Tabela 3.27: Intervalos  $I_{A}\left(\rho_{2}\right)=I\left(\rho_{2}\right)$  e valores extremos de e

Para  $\rho_2=59.0$  tem-se I(59.0) de amplitude muito reduzida, 0.04. O estudo efectuado para  $\rho_2=59.1$  e  $\rho_2=59.1$  revela intervalos  $I(\rho_2)$  de amplitude 0.003 e 0.002, respectivamente (Tabela 3.28).

$\rho_2$	$I\left(\rho_{2}\right)=I_{A}\left(\rho_{2}\right)$	$e_{\min I(\rho_2)}$	$e_{\max I(\rho_2)}$
59.1	[44.80, 44.83]	0.5222	0.4651
59.2	[44.88, 44.90]	0.5426	0.4958

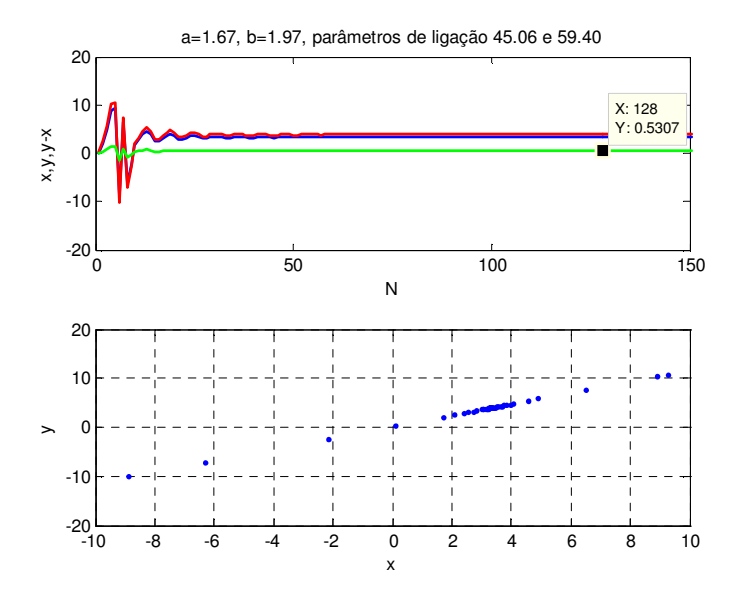


Figura 3.37: Ligação bidireccional em (3.23): (a) séries temporais, (b) hiperplano de sincronização

Tabela 3.28: Intervalos  $I_{A}\left(\rho_{2}\right)=I\left(\rho_{2}\right)$  e valores extremos de e

Para  $\rho_2=59.3$  e  $\rho_2=59.4$  existe um único valor de  $\rho_1$  para o qual ocorre estabilização do erro de sincronização, a saber,  $\rho_1=44.97$  com e=0.5365 e  $\rho_1=45.06$  com e=0.5307, respectivamente (Fig. 3.37 a,b). Para  $\rho_2=59.5$  não foi encontrado qualquer valor de  $\rho_1$  para o qual a diferença y-x fosse limitada.

# 3.4 Generalização da ligação em configuração unidireccional

Considere agora a ligação unidireccional dos sistemas

(3.30) 
$$\begin{cases} x_{n+1} = f(x_n; a) \\ y_{n+1} = f(y_n; a) + \rho (x_n - y_n)^2 \end{cases} = \begin{cases} x_{n+1} = a - x_n^2 \\ y_{n+1} = a - y_n^2 + \rho (x_n - y_n)^2 \end{cases}.$$

Embora o parâmetro de controle das transformações  $a-x_n^2$  e  $a-y_n^2$  seja o mesmo, a ligação é assimétrica.

#### 3.4.1 Análise da dinâmica do sistema ligado

Considere  $a > a^* \simeq 1.565$ . Os pontos fixos do sistema ligado (3.30) são as soluções da equação  $\mathbf{\tilde{F}}(x,y) = (x,y)$  para a transformação bidimensional  $\mathbf{\tilde{F}}$  definida por

$$\tilde{\mathbf{F}}(x,y) = (a - x^2, a - y^2 + \rho (x - y)^2).$$

Denotando 1/4 + a por A, os pontos fixos de (3.30) são

$$P_1\left(-\frac{1}{2} + \sqrt{A}, -\frac{1}{2} + \sqrt{A}\right)$$
 e  $P_2\left(-\frac{1}{2} - \sqrt{A}, -\frac{1}{2} - \sqrt{A}\right)$ 

sobre a diagonal principal e, para  $\rho \neq 1$ , também

$$P_3\left(-\frac{1}{2} + \sqrt{A}, -\frac{1}{2} + \frac{\rho+1}{\rho-1}\sqrt{A}\right)$$
 e  $P_4\left(-\frac{1}{2} - \sqrt{A}, -\frac{1}{2} - \frac{\rho+1}{\rho-1}\sqrt{A}\right)$ 

fora da diagonal. Para  $\rho = 1$ , além dos pontos  $P_1$  e  $P_2$ , (-1/2, y) são também pontos fixos, para qualquer valor real de y e a = -1/4. Para os valores de a em estudo, os pontos  $P_1$ ,  $P_2$ ,  $P_3$  e  $P_4$  são os únicos pontos fixos de (3.30). Todos estes pontos estão bem definidos como números reais dado que  $a \ge -1/4$ .

A matriz Jacobiana de  $\tilde{\mathbf{F}}$ .

$$D\tilde{\mathbf{F}}(x,y) = \begin{bmatrix} -2x & 0\\ 2\rho(x-y) & -2y - 2\rho(x-y) \end{bmatrix},$$

tem por valores próprios

$$\Lambda_1 = -2x$$
 e  $\Lambda_1 = -2y - 2\rho(x - y)$ .

Os pontos fixos  $P_1$  e  $P_2$  são sempre instável para os valores de a em estudo, pois os respectivos valores próprios reais (note que  $a \ge -1/4$ ),  $1 - \sqrt{1+4a}$  e  $-1 + \sqrt{1+4a}$  de multiplicidade algébrica 2, têm módulo inferior a 1 apenas para -1/4 < a < 3/4. Os pontos fixos  $P_3$  e  $P_4$  são sempre instável para os valores de a em estudo, pois o valor próprio real  $1 - \sqrt{1+4a}$  tem módulo inferior a 1 apenas para -1/4 < a < 3/4 e o valor próprio real  $1 + \sqrt{1+4a}$  tem módulo superior ou igual a 1 para todo  $a \ge -1/4$ . Conclui-se assim que o sistema ligado não possui pontos fixos atractores.

Segue-se o diagrama de bifurcação (Fig. 3.38) de (3.30) para  $\rho \in [-400, 400]$  com a = 1.97, que evidencia o comportamento caótico.

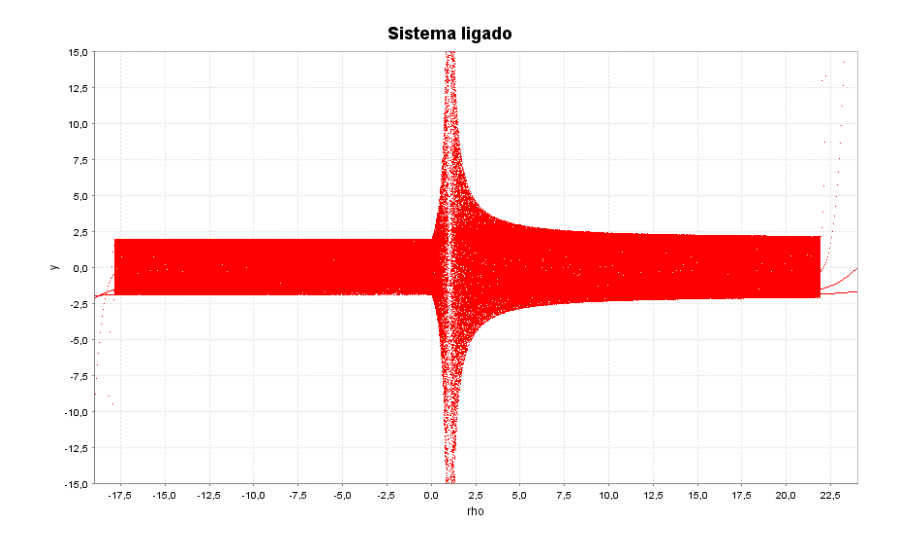


Figura 3.38: Diagrama de bifurcação do sistema ligado (3.30) para  $\rho \in [-18,23]$  com a=1.97

## 3.4.2 Estabilidade local da sincronização

Seja  $a>a^*\simeq 1.565$ . A diferença y-x para o sistema ligado (3.30) evolui pela equação às diferenças

$$y_{n+1} - x_{n+1} = x_n^2 - y_n^2 + \rho (x_n - y_n)^2$$
.

A equação  $y_{n+1} - x_{n+1} = 0$  é equivalente a

$$y_n = x_n \quad \lor \quad x_n + y_n + \rho (x_n - y_n) = 0.$$

Conforme mostra a análise da diferença y-x entre as variáveis, e é confirmado pelas simulações computacionais que se relatam em secção posterior, é válida a proposição seguinte.

**Proposição 3.4.1** Fixados um valor de a e condições iniciais  $x_0$  e  $y_0$ , existe um valor de  $\rho$  para o qual é alcançada sincronização assimptótica estável em (3.30) dado por

$$\rho = \frac{x_0 + y_0}{y_0 - x_0}.$$

Além disso, para cada valor fixo  $\rho$  do parâmetro de ligação, existe um intervalo  $I(a,\rho)$  de condições iniciais  $x_0$  para as quais é obtida sincronização assimptótica estável sempre que é tomada a condição inicial

$$y_0 = \frac{\rho + 1}{\rho - 1} x_0$$

no sistema resposta, excepto em valores isolados onde existe limitação da diferença y-x mas não é necessariamente alcançada sincronização prática.

Considerando as variáveis (3.10) que definem a direcção de sincronização u que caracteriza o subespaço

$$\mathcal{M} = \{ (x, y) \in \mathbb{R}^2 \mid x = y \}$$

e a direcção v transversal a esta, o sistema (3.30) é reescrito como

(3.31) 
$$\begin{cases} u_{n+1} = 2a - \frac{1}{2} (u_n^2 + v_n^2) + \rho v_n^2 \\ v_{n+1} = -u_n v_n + \rho v_n^2. \end{cases}$$

No cálculo dos pontos fixos do sistema transversal tem-se

$$v\left[\rho v - 1 - u\right] = 0.$$

A anulação de v corresponde à sincronização entre as variáveis x e y, embora a trajectória se situe na direcção de sincronização u. O sistema transversal (3.31) tem então os pontos fixos sincronizados (v = 0)

$$P'_1(u_1, v_1) = (-1 - \sqrt{1 + 4a}, 0)$$
 e  $P'_2(u_2, v_2) = (-1 + \sqrt{1 + 4a}, 0)$ ,

os já encontrados para as ligações em (3.13) e (3.24) de transformações idênticas com um só parâmetro  $\rho$  ou parâmetros distintos  $\rho_1$  e  $\rho_2$ , e ainda os pontos fixos

$$P_3'(u_3, v_3) = \left(-1 + \left(1 + \frac{1}{\rho - 1}\right)\sqrt{1 + 4a}, \frac{1}{\rho - 1}\sqrt{1 + 4a}\right)$$

е

$$P_4'\left(u_4, v_4\right) = \left(-1 - \left(1 + \frac{1}{\rho - 1}\right)\sqrt{1 + 4a}, \frac{1}{1 - \rho}\sqrt{1 + 4a}\right)$$

sempre que  $\rho - 1 \neq 0$ . Para  $\rho = 1$ , (3.31) tem como pontos fixos, além dos pontos fixos sincronizados  $P'_1(u_1, v_1)$  e  $P'_2(u_2, v_2)$ , (v - 1, v) são também pontos fixos de (3.31) para a = -1/4. Para os valores de a em estudo, os pontos  $P'_1$ ,  $P'_2$ ,  $P'_3$  e  $P'_4$  são os únicos pontos fixos de (3.31). Todos estes pontos estão bem definidos como números reais dado que  $a \geq -1/4$ .

A matriz Jacobiana

$$\mathbf{J}(u,v) = \begin{bmatrix} -u & -v + 2\rho v \\ -v & -u + 2\rho v \end{bmatrix}$$

da transformação bidimensional

$$\tilde{\mathbf{K}}(u,v) = \left(2a - \frac{1}{2}(u^2 + v^2) + \rho v^2, \rho v^2 - uv\right),$$

definida por (3.31), tem por valores próprios

$$\Lambda_{\pm} = \rho v - u \pm |v| \sqrt{\rho^2 + 1 - 2\rho} = \rho v - u \pm v |\rho - 1|.$$

No entanto, num ponto fixo sincronizado tem-se

$$\mathbf{J}\left(u,0\right) = \left[ \begin{array}{cc} -u & 0\\ 0 & -u \end{array} \right]$$

com um único valor próprio de multiplicidade algébrica 2, o número real -u. O ponto fixo  $P_1'$  é sempre instável pois o valor próprio  $1+\sqrt{1+4a}$  de  $\mathbf{J}$   $(u_1,0)$  verifica  $|1+\sqrt{1+4a}| \geq 1$  para todo  $a \geq -1/4$ . A matriz  $\mathbf{J}$   $(u_2,0)$  tem  $1-\sqrt{1+4a}$  como valor próprio e o seu módulo é inferior a 1 apenas quando -1/4 < a < 3/4. Como tal o ponto fixo  $P_2'$  também é instável para os valores de a em estudo.

A não existência de pontos fixos sincronizados estáveis no sistema transversal implica que não é esperada sincronização localmente estável dos sistemas pela ligação em (3.30).

Observação 14 A direcção u de  $u_2$  mantém-se estável para -1/4 < a < 3/4. O sistema transversal (3.31) tem então um ponto fixo estável para  $a \in ]-1/4, 3/4[$ , e qualquer que seja a força de ligação  $\rho$ , na vizinhança do qual é esperada sincronização idêntica dos sistemas. Nota-se que neste intervalo de variação de a, as transformações componentes do sistema ligado (3.30) são periódicas. É obtida sincronização assimptótica periódica no sistema ligado (3.30), para quaisquer forças de ligação  $\rho$ , sempre que a toma valores no intervalo ]-1/4, 3/4[.

Em a=3/4 o ponto fixo  $P_2'$  sofre uma bifurcação de duplicação de período dado que  $\Lambda_+=-1$ . Por esta bifurcação o ponto fixo  $P_2'$  torna-se instável na direcção transversal v (tipo sela). Este ponto sela sofre ainda bifurcações numa cascata de duplicação de período e, para valores de a suficientemente grandes, é obtido caos sincronizado instável mergulhado em caos assincrónico.

Por outro lado, estudo dos expoentes de Lyapunov do sistema transversal (3.31) confirma o exposto. Para -1/4 < a < 3/4 o expoente de Lyapunov transversal, assim como o tangencial, é negativo. Quando as oscilações caóticas são sincrónicas, o vector próprio do expoente de Lyapunov tangencial  $\lambda_u$  é tangente ao subespaço simétrico x=y. Sendo  $\lambda_u < 0$  as oscilações são periódicas.

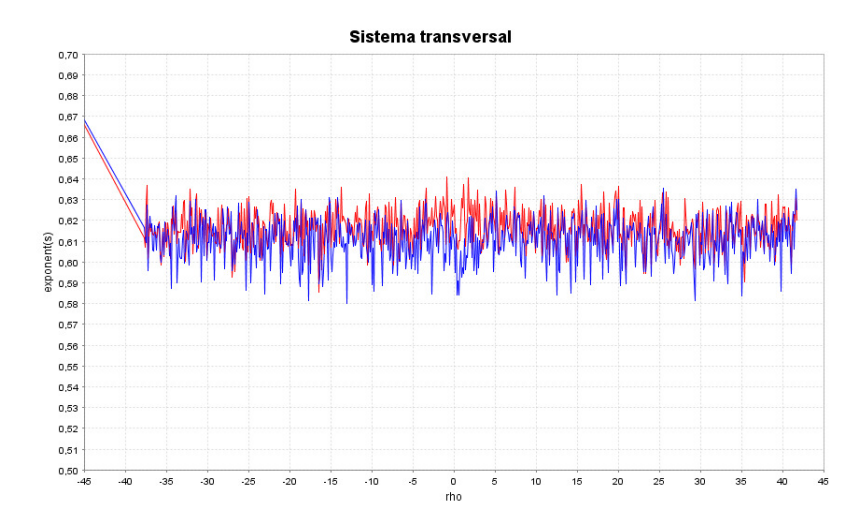


Figura 3.39: Expoentes de Lyapunov do sistema transversal (3.27) versus  $\rho$  para  $\rho \in [-45,45]$  com a=1.97

Se o parâmetro de controle a toma valores que correspondem a comportamento caótico, o expoente de Lyapunov transversal, assim como o tangencial, é positivo após um certo número de iterações (do sistema transversal). De facto, considerando a=1.97 tem-se (3.31) dado por

$$\begin{cases} u_{n+1} = 3.94 - \frac{1}{2} (u_n^2 + v_n^2) + \rho v_n^2 \\ v_{n+1} = -u_n v_n + \rho v_n^2. \end{cases}$$

A Figura 3.39 apresenta os expoentes de Lyapunov do sistema transversal (3.31) para  $u_0 = 0.15$  e  $v_0 = 0.05$ . Sendo  $\lambda_v > 0$  as oscilações sincrónicas não são transversalmente estáveis e não é alcançada sincronização estável.

#### 3.4.3 Abordagem computational

Seguem-se alguns gráficos que ilustram o estabelecido na Proposição 3.4.1 por análise da diferença y-x entre as variáveis x e y.

Considere o parâmetro de controle a=1.97. Para as condições iniciais diferentes  $x_0=0.1$  e  $y_0=0.2$ , a relação  $x_0+y_0+\rho\left(x_0-y_0\right)=0$  conduz-se a  $\rho=3$ . A simulação computacional com N=1000 iterações a partir destas condições iniciais confirma que é alcançada sincronização assimptótica estável para este valor de  $\rho$  (Fig. 3.40 a,b).

Ainda para a = 1.97, considere fixo o valor do parâmetro de ligação em  $\rho = 3$ . Existe um intervalo I(1.97,3) = [-1.5, 1.5] de condições iniciais  $x_0$ , considerando o passo de uma

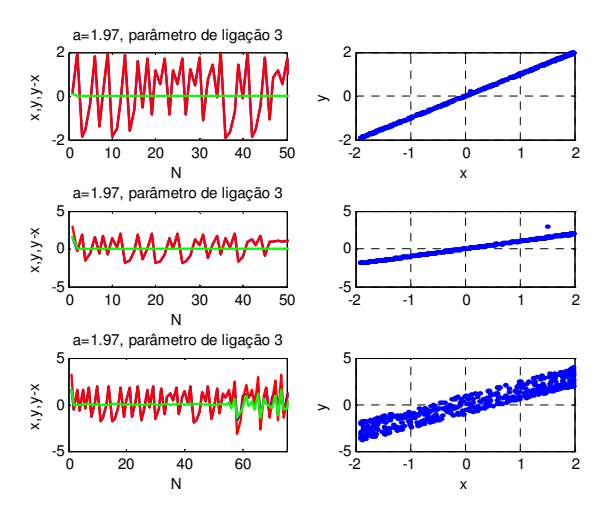


Figura 3.40: Ligação unidireccional em (3.30): (a,c,e) séries temporais, (b,d) hiperplanos de sincronização, (f) atractor caótico

décima, para as quais é obtida sincronização assimptótica estável sempre que é tomada a condição inicial  $y_0 = 2x_0$  no sistema resposta, excepto em valores isolados, de que é exemplo  $x_0 = \pm 1.3$ ,  $x_0 = \pm 1.0$ ,  $x_0 = \pm 0.6$  e  $x_0 = \pm 0.2$ , onde existe limitação da diferença y - x mas não é alcançada sincronização prática. Também para  $x_0 = -1.5 \pm 0.1n$ , com  $n = 1, \ldots, 4$ , existe limitação da diferença y - x mas não é alcançada sincronização prática. Para  $x_0 > 1.9$  ou  $x_0 < -1.9$  observa-se explosão para infinito. Apresentam-se os gráficos obtidos com  $x_0 = 1.5$  e  $y_0 = 3.0$  (Fig. 3.40 c,d) e com  $x_0 = 1.3$  e  $y_0 = 2.6$  (Fig. 3.40 e,f).

Uma pequena alteração do valor de a traduz-se em alteração do intervalo I(a,3). De facto, considerando a=1.98 tem-se I(1.98,3)=[-1.4,1.4]. Para  $x_0=\pm 1.3,\ x_0=\pm 1.2$  e  $x_0=\pm 0.3$  existe limitação da diferença y-x mas não é alcançada sincronização prática.

## Capítulo 4

## Conclusões

Tempo contínuo. A ligação unidireccional por aplicação de sinal de controle como feedback negativo deslocado permitiu obter condições suficientes para sincronização globalmente estável entre sistemas de Lorenz idênticos e caóticos, com base na majoração da derivada de uma função de Lyapunov apropriada. Consideramos a substituição completa da variável  $x_1$  pela sua correspondente  $x_2$  em todos os termos não-lineares da resposta e, em dois dos casos, essa substituição foi parcial (em apenas alguns termos não-lineares). Verificamos que a combinação de controle feedback negativo com substituição só revela vantagem, a obtenção que uma condição muito simples, quando esta é efectuada em todos os termos não-lineares da resposta. Consideramos também a mesma ligação entre sistemas de Lorenz sem qualquer substituição e, mesmo neste caso, é obtida uma condição que garante sincronização globalmente estável. No entanto, a abordagem com substituição parcial da variável  $x_1$  neste esquema de ligação entre sistemas de Rössler é inconclusiva. O estudo de uma ligação por decomposição activo-passivo entre sistemas de Lorenz idênticos e caóticos, pela mesma abordagem, conduz a uma condição suficiente para sincronização globalmente estável. Com outros dois sinais condutores são igualmente obtidas condições. Entre sistemas de Rössler idênticos e caóticos, quando o controle feedback negativo não é deslocado, apenas fica garantida a estabilidade assimptótica local do estado caótico sincrónico. Concluimos ainda que com outros sinais de controle sem deslocamento não é obtida sincronização assimptótica entre estes sistemas, mesmo em casos em que se procede a substituições parciais de variáveis. Em ligação difusiva linear bidireccional total de sistemas de Rössler idênticos e caóticos, estabelecemos a Proposição 2.3.2 onde não é considerada qualquer substituição parcial e a Proposição 2.3.3 onde tal ocorre. Estas Proposições contêm condições suficientes para sincronização globalmente estável. Se a ligação é parcial, não é garantida qualquer condição suficiente.

A Proposição 2.3.1 permitiu obtermos condições suficientes para sincronização globalmente estável pela ligação unidireccional por controle feedback negativo e pela ligação difusiva linear bidireccional entre sistemas de Lorenz idênticos e caóticos, em combinação com substituição parcial da variável  $x_2$  por  $x_1$  apenas nos termos não-lineares do sistema resposta. Verificamos que tal não é possível quando esta substituição não é efectuada. Quando consideramos esta ligação entre sistemas de Rössler idênticos e caóticos, não é possível aplicar esta Proposição, efectuando ou não a substitução parcial de variáveis no termo não-linear da resposta. Ainda entre sistemas de Lorenz idênticos e caóticos, a mesma Proposição garante sincronização globalmente estável quando é transmitida como subsistema sinal condutor a componente  $x_1$  do sistema transporte para a resposta. A Proposição 2.3.1 não é aplicável quando são consideradas outras componentes como subsistema sinal condutor entre estes sistemas. No caso de transmissão entre sistemas de Rössler idênticos e caóticos, também esta proposição não é aplicável, quaisquer que sejam as componentes usadas como subsistema sinal condutor.

Em sincronização generalizada, obtemos uma ligação por função de controle entre o sistema de Rössler caótico e o sistema de Rössler hipercaótico. Estes dois sistemas têm dimensões diferentes.

Tempo discreto. A ligação de transformações quadráticas não-idênticas, pela ligação original obtida da família de transformações quadráticas complexas analíticas, não conduz a sincronização assimptótica nem prática no sentido de Kapitaniak. Para o valor do parâmetro de ligação ao qual corresponde menor variação da diferença entre as variáveis dinâmicas aplicamos uma técnica de controle de caos. Encontramos uma lei de controle feedback linear para o parâmetro de ligação com a qual fica garantida a sincronização prática entre as trasformações caóticas. No caso particular de transformações idênticas, obtemos a Proposição 3.2.1 que garante sincronização assimptótica estável em determinados intervalos quando as condições iniciais verificam  $y_0 = -x_0$ . Concluimos ainda que existem intervalos de variação do parâmetro de ligação onde ocorre sincronização prática estável.

A consideração de parâmetros de ligação distintos entre os sistemas permite obter resultados de sincronização não verificados com um único parâmetro. Entre transformações idênticas, estabelecemos a Proposição 3.3.1 que garante sincronização assimptótica estável ou sincronização prática estável numa sequência de intervalos de valores de cada um dos parâmetros de ligação, quando estes verificam uma certa relação dependente das condições iniciais estabelecidas. Para um dos parâmetros de ligação, concluimos ainda

que existem intervalos de valores do outro parâmetro para os quais está garantida a sincronização prática. Entre transformações não-idênticas, estabelecemos as variações de um dos parâmetros para as quais existem intervalos de valores do outro parâmetro em que é alcançada sincronização prática. Em configuração unidireccional, obtemos a Proposição 3.4.1que garante a existência de sincronização assimptótica estável para valores do parâmetro de ligação que são função das condições iniciais. Além disso, para cada parâmetro de ligação  $\rho$  tomado existe uma intervalo de condições iniciais  $x_0$  para as quais é obtida sincronização assimptótica estável sempre a outra condição inicial verifica uma certa relação entre  $x_0$  e  $\rho$ .

Pretendemos aprofundar o trabalho efectuado aplicando as ligações estudadas em tempo discreto a outras transformações reais unidimensionais. Uma outra generalização da ideia original de Pecora e Carroll é a de sistemas transporte/resposta sincronizados em cascata. Um outro sistema resposta é simplesmente acrescentado na forma de cascata ao esquema original de transporte/resposta de Pecora-Carroll. Uma abordagem deste tipo pode ser analisada no âmbito destas ligações. Também as vantagens ou não de condução esporádica, em vez de substitição completa ou parcial nos termos não-lineares da resposta, podem ser ainda pesquisadas. A consideração de baixo ruído também pode ser um assunto a estudar. Embora o valor da entropia topológica seja, em geral, mais difícil de calcular do que o valor estimado dos expoentes de Lyapunov, consideramos interessante tentar a sua utilização para uma melhor compreensão das ligações estudadas nesta tese.

- [1] H.D.I. Abarbanel, R. Brown e M.B. Kennel (1991), Lyapunov exponents in chaotic systems: Their importance and their evaluation using observed data, *Int. J. Mod. Phys. Lett. B* 5, 1347-1375.
- [2] H.D.I. Abarbanel, N.F. Rulkov e M.M. Sushchik (1996), Generalized synchronization of chaos: The auxiliary system approach, *Phys. Rev. E* 53, 4528-4535.
- [3] R. L. Adler, A. Konheim e M. McAndrew (1965), Topological entropy, Trans. Amer. Math. Soc. 114 309-319.
- [4] V.S. Afraimovich, N.N. Verichev e M.I. Rabinovich (1986), Stochastic synchronization of oscillations in dissipative systems, *Radiophys. Quantum Electron.* **29** (9), 795-803.
- [5] J.C. Alexander, I. Kan, J.A. Yorke e Z. You (1992), Riddled basins, Int. J. Bifur. Chaos 2 795-813.
- [6] V.S. Anishchenko, T.E. Vadivasova, D.E. Posnov e M.A. Safonova (1991), Forced and mutual synchronization of chaos, Sov. J. Commun. Technol. Electron. 36, 23.
- [7] P. Ashwin, J. Buescu e I. Stewart (1994), Bubbling of attractors and synchronization of oscillators, *Phys. Lett. A* **193**, 126-139.
- [8] P. Ashwin, J. Buescu e I. Stewart (1996), From attractor to chaotic saddle: A tale of transverse instability, *Nonlinearity* 9, 703-737.
- [9] P. Ashwin e M. Timme (2005), Unstable attractors: existence and robustness in networks of oscillators with delayed pulse coupling, *Nonlinearity* **18**, 2035-2060.
- [10] E. Barreto, P. So, B.J. Gluckman e S.J. Schiff (2000), From generalized synchrony to topological decoherence: Emergent sets in coupled chaotic systems, *Phys. Rev. Lett.* 84 (8), 1689-1692.

[11] R. Bowen (1971), Entropy for group endomorphisms and homogeneous spaces, *Trans. Amer. Math. Soc.* **153**, 401-414.

- [12] R. Brown (1998), Approximating the apping between systems exhibiting generalized synchronization, *Phys. Rev. Lett.* **81**, 4835-4838.
- [13] T.L. Carroll e L.M. Pecora (1991), Synchronizing chaotic circuits, *IEEE Trans. Circuits Systems* 38 (4), 453-456.
- [14] R.L. Devaney (1989), An introduction to Chaotic Dynamical Systems, *Addison-Wesley Publ. Co.*, Redwood City.
- [15] M. Ding e E. Ott (1994), Enhancing synchronism of chaotic systems, Phys. Rev. E 49 (2), 945-948.
- [16] J.-P. Eckmann e D. Ruelle (1985), Ergodic theory of chaos and strange attractors, Rev. Mod. Phys. 57, 617-656.
- [17] J.D. Farmer, E. Ott e J.A. Yorke (1983), The dimension of chaotic attractors, *Physica D* 7, 153-170.
- [18] M.J. Feigenbaum (1978), Quantitative universality for a class of nonlinear transformations, J. Stat. Phys. 19, 25.
- [19] J. Guemez e M.A. Matias (1995), Modified method for synchronizing and cascading chaotic systems, *Phys. Rev. E* 52, R2145-R2148.
- [20] R. He e P.G. Vaidya (1992), Analysis and synthesis of synchronous periodic and chaotic systems, Phys. Rev. A 46 (12), 7387-7392.
- [21] J.F. Heagy, T.L. Carroll e L.M. Pecora (1994), Synchronous chaos in coupled oscillator systems, Phys. Rev. E 50, 1874-1885.
- [22] J.F. Heagy, T.L. Carroll e L.M. Pecora (1995), Experimental and numerical evidence for riddled basins in coupled oscillator systems, *Phys. Rev. Lett.* **73**, 3528-3531.
- [23] B.R. Hunt, E. Ott e J.A. Yorke (1997), Differentiable generalized synchronization of chaos, *Phys. Rev. E* **55** (4), 4029-4034.
- [24] Ch. Huygens (1673), Horoloquium Oscillatorium, Apud. F. Muguet, Paris.

[25] O.B. Isaeva, S.P. Kuznetsov e V.I. Ponomarenko (2001), Mandelbrot set in coupled logistic maps and in an electronic experiment, *Phys. Rev. E* **64**, R055201-4.

- [26] J.K. John e R.E. Amritkar (1994), Synchronization of unstable orbits using adaptive control, Phys. Rev. E 49 (6), 4843-4848.
- [27] L. Junge e U. Parlitz (2001), Synchronization using dynamic coupling, *Phys. Rev. E* **64**, 1-4.
- [28] K. Kaneko (1986), Lyapunov analysis and information flow in coupled map lattices, *Physica D* **23**, 436.
- [29] T. Kapitaniak (1994), Synchronization of chaos using continuous control, Phys. Rev. E 50, 1642-1644.
- [30] T. Kapitaniak e L.O.Chua (1994), Hyperchaotic attractors of unidirectionally coupled Chua's circuits, *Int. J. Bifur. Chaos* 4, 477-483.
- [31] T. Kapitaniak, M. Sekieta e M. Ogorzalek (1996), Monotone synchronization of chaos, *Int. J. Bifur. Chaos* **6** (1), 211-217.
- [32] T. Kapitaniak, J. Wojewoda e J. Brindley (1996), Synchronization and desynchronization in quasi-hyperbolic chaotic systems, *Phys. Lett. A* **210**, 283-289.
- [33] J.L. Kaplan e J.A. Yorke (1997), Preturbulence: a regime observed in a fluid flow model of Lorenz, Comm. Math. Phys. 67, 93-108.
- [34] A. Katok e B. Hasselblatt (1995), Introduction to the Modern Theory of Dynamical Systems, *Cambridge University Press*, Cambridge, New York.
- [35] L. Kocarev e U. Parlitz (1995), General approach for chaotic synchronization with applications to communication, *Phys. Rev. Lett.* **74** (25), 5028-5031.
- [36] L. Kocarev e U. Parlitz (1996), Generalized synchronization, predictability, and equivalence of unidirectionally coupled dynamical systems, *Phys. Rev. Lett.* 76 (11), 1816-1819.
- [37] Y.-C. Lai e C. Grebogy (1993), Synchronization of chaotic trajectories using control, Phys. Rev. E 47 (4), 2357-2360.

[38] Y.-C. Lai (1996), Symmetry-breaking bifurcation with on-off intermittency in chaotic dynamical systems, *Phys. Rev. E* **53**, R4267-4270.

- [39] Y.-C. Lai, C. Grebogy, J.A. Yorke e S.C. Venkataramani (1996), Synchronization of chaotic trajectories using control, *Phys. Rev. Lett.* **77**, 55-58.
- [40] C. Letelier, P. Dutertre e B. Maheu (1995), Unstable periodic orbits and templates of the Rössler system: toward a systematic topological characterization, *Chaos* 5 (1), 271-282.
- [41] T. Li e J.A. Yorke (1975), Period three implies chaos, Amer. Math. Monthly 82, 985-992.
- [42] E.N. Lorenz (1963), Deterministic non-periodic flows, J. Atmos. Sci. 20, 130-141.
- [43] Yu.L. Maistrenko, V.L. Maistrenko, A. Popovich e E. Mosekilde (1998), Transverse instability and riddled basins in a system of two coupled logistic maps, *Phys. Rev. E* 57, 2713-2724.
- [44] Yu.L. Maistrenko, V.L. Maistrenko, A. Popovich e E. Mosekilde (1998), Role of the absorbing area in chaotic synchronization, *Phys. Rev. Lett.* **80**, 1638-1641.
- [45] R.M. May (1976), Simple mathematical models with very complicated dynamics, Nature 261, 459-467.
- [46] D. A. Mendes e V. Mendes, Control of chaotic dynamics in an OLG economic model (2005), *Journal of Physics: Conference Series* **23**, 158-181.
- [47] J. Milnor (1985), On the concept of an attractor, Comm. Math. Phys. 99, 177-195.
- [48] Y. Nagai e Y.-C. Lai (1997), Periodic-orbit theory of the blowout bifurcation, Phys. Rev. E 56, 4031-4041.
- [49] H.E. Nusse e J.A. Yorke (1991), A numerical procedure for finding accessible trajectories on basin boundaries, *Nonlinearity* 4, 1183-1212.
- [50] V.I. Oseledec (1968), A multiplicative ergodic theorem: Lyapunov characteristic numbers for dynamical systems, *Trans. Moscow Math. Soc.* 19, 197-231.
- [51] E. Ott, C. Grebogy e J.A. Yorke (1990), Controlling chaos, Phys. Rev. Lett. 64 (11), 1196-1199.

[52] E. Ott, J.C. Sommerer, J.C. Alexander, I. Kan e J.A. Yorke (1993), Scaling behavior of chaotic systems with riddled basins, *Phys. Rev. Lett.* 71, 4143-4137.

- [53] E. Ott, J.C. Sommerer, J.C. Alexander, I. Kan e J.A. Yorke (1994), The transition to chaotic attractors with riddled basins, *Physica D* 76, 384-410.
- [54] U. Parlitz, L.O. Chua, L. Kocarev, K.S. Hale e A. Shang (1992), Transmission of digital signals by chaotic synchronization, Int. J. Bifur. Chaos 2 (4), 973-977.
- [55] U. Parlitz, L. Kocarev, T. Stojanovki e H. Preckel (1996), Encoding messages using chaotic synchronization, *Phys. Rev. E* **53**, 4351-4361.
- [56] U. Parlitz (1996), Estimating model parameters from time series by autosynchronization, Phys. Rev. Lett. 76 (8), 1232-1235.
- [57] U. Parlitz, L. Junge, L. Lauterborn e L. Kocarev (1996), Experimental observation of phase synchronization, *Phys. Rev. E* **54**, 2115-2117.
- [58] L.M. Pecora e T.L. Carroll (1990), Synchronization in chaotic systems, Phys. Rev. Lett. 64 (8), 821-824.
- [59] L.M. Pecora e T.L. Carroll (1991), Driving systems with chaotic signals, Phys. Rev. A 44 (4), 2374-2383.
- [60] L.M. Pecora, T.L. Carroll e J.F. Heagy (1995), Statistics for mathematical properties of maps between time-series embeddings, Phys. Rev. E 52 (2), 3420-3439.
- [61] L.M. Pecora, T.L. Carroll, G.A.. Johnson, D.J. Mar e J.F. Heagy (1997), Fundamentals of synchronization in chaotic systems, concepts, and applications, *Chaos* 7 (4), 520-543.
- [62] A.S. Pikovsky (1984), On the interaction of strange attractors, Z. Physik B 55 (2), 149-154.
- [63] A.S. Pikovsky (1984), Synchronization and stochastization of the ensemble of autogenerators by external noise, *Radiophys. Quant. Electron.* **27** (5), 576-581.
- [64] A.S. Pikovsky e C. Grassberger (1991), Symmetry-breaking bifurcation for coupled chaotic attractors, J. Phys. A 24, 4587-4597.

[65] A. Pikovsky, M. Rosenblum e J. Kurths (1996), Synchronization in a population of globally coupled chaotic oscillators, *Europhys. Lett.* **34** (3), 165-170.

- [66] A. Pikovsky, M. Rosenblum e J. Kurths (2001), Synchronization A Universal Concept in Nonlinear Sciences, *Cambridge University Press*, Cambridge.
- [67] N. Platt, E.A. Spiegel e C. Tresser (1993), On-off intermittency A mechanism for bursting, Phys. Rev. Lett. 70, 279-282.
- [68] K. Pyragas (1992), Continuous control of chaos by self-controlling feedback, Phys. Lett. A 170 (6), 421-428.
- [69] K. Pyragas (1993), Predictable chaos in slightly perturbed unpredictable chaotic systems, Phys. Lett. A 181, 203-210.
- [70] K. Pyragas (1996), Weak and strong synchronization of chaos, Phys. Rev. E 54, R4508-11.
- [71] M.I. Rabinovich e D.I. Trubetskov (1989), Oscillations and Waves in Linear and Nonlinear Systems, *Kluwer*, Dordrecht.
- [72] F.J. Romeiras, C. Grebogi, O.E. Ott e W.P. Dayawansa (1992), Controlling chaotic dynamical systems, Phys. D 58, 165-192.
- [73] M. Rosenblum, A. Pikovsky e J. Kurths (1996), Phase synchronization of chaotic oscillators, Phys. Rev. Lett. 76, 1804-1807.
- [74] O.E. Rössler (1976), An equation for continuous chaos, Phys. Rev. A 57 (5), 397-398.
- [75] O.E. Rössler (1979), An equation for hyperchaos, *Phys. Lett. A* 71, 155-157.
- [76] D. Ruelle (1989), Chaotic Evolution and Strange Attractors, Cambridge University Press, Cambridge, New York.
- [77] N.F. Rulkov, M.M. Sushchik, L.S. Tsimring e H.D.I. Abarbanel (1995), Generalized synchronization of chaos in directionally coupled chaotic systems, *Phys. Rev. E* 51 (2), 980-994.
- [78] A. N. Sharkovkii (1964), Coexistence of cycles of a continuous map of a line into itself, Ukrainian Math. J. 16, 61-71.

[79] S. Smale (1965), Diffeomorphisms with many periodic points, *Differential and Combinatorial Topology*, Princeton University Press, Princeton, 63-80.

- [80] P. So, E. Barreto, K. Josić, E. Sander e S. Schiff (2002), Limits to the experimental detection of nonlinear synchrony, *Phys. Rev. E* 65 (4), R46225-46229.
- [81] J.C. Sommerer e E. Ott (1993), A physical system with qualitatively uncertain dynamics, *Nature* **365**, 136-140.
- [82] J.C. Sommerer e E. Ott (1994), Blowout bifurcations: the occurrence of riddld basins and on-off intermittency, *Phys. Lett. A* **188**, 39-47.
- [83] M. de Sousa Vieira, A.J. Lichtenberg e M.A. Lieberman (1992), Synchronization of regular and chaotic systems, Phys. Rev. A 46, 7359-7362.
- [84] A. Stefański (2000), Estimation of the largest Lyapunov exponent in systems with impacts, *Chaos, Solitons and Fractals* 11, 2443-2451.
- [85] A. Stefański e T. Kapitaniak (2003), Estimation of the dominant Lyapunov exponent of non-smooth systems on the basis of maps synchronization, *Chaos, Solitons and Fractals* **15**, 233-244.
- [86] A. Stefański e T. Kapitaniak (2003), Synchronization of two chaotic oscillators via a negative feedback mechanism, Int. J. Solids Structures 40, 5175-5185.
- [87] E.F. Stone (1992), Frequency entrainment of a phase coherent attractor, *Phys. Lett.* A 163 367-374.
- [88] M. Timme, F. Wolf e T. Geisel (2003), Unstable attractors induce perpectual synchronization and desynchronization, Chaos 13, 377-387.
- [89] S.C. Venkataramani, B. Hunt e E. Ott (1996), The bubbling transition, *Phys. Rev. E* 54, 1346-1360.
- [90] T. Yamada e H. Fujisaka (1983), Stability theory of synchronized motion in coupled-oscillator systems, *Prog. Theoret. Phys.* **69** (1), 32-47.
- [91] T. Yamada e H. Fujisaka (1983), Stability theory of synchronized motion in coupled-oscillator systems. II, Prog. Theoret. Phys. 70 (5), 1240-1248.

[92] A. Wolf, J.B. Swift, H.L. Swinney e J.A. Vastano (1985), Determining Lyapunov exponents from a time series, *Physica D* **16**, 285-317.

- [93] C.W. Wu e L.O. Chua (1994), A unified framework for synchronization and control of dynamical systems, *Int. J. Bifur. Chaos* 4 (4), 979-998.
- [94] A. Wolf (1984), Quantifying chaos with Lyapunov exponents, *Nonlinear Scientific Theory and Applications*, Manchester University Press, Manchester.